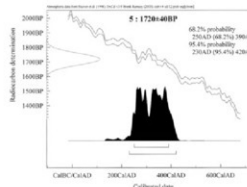


# 下老子笛川遺跡発掘調査報告

—能越自動車道建設に伴う  
埋蔵文化財発掘調査報告V—

## 第五分冊

自然科学分析・考察編



下老子笛川遺跡発掘調査報告書

第五分冊  
自然科学分析・考察編

富山県文化振興財団  
埋蔵文化財発掘調査報告第三集

二〇〇六年

財団法人 富山県文化振興財団  
埋蔵文化財調査事務所

2006年

# 下老子笛川遺跡発掘調査報告

— 能越自動車道建設に伴う  
埋蔵文化財発掘報告V —

第五分冊  
自然科学分析・考察編

2006年

財団法人 富山県文化振興財団  
埋蔵文化財調査事務所



# 目 次

第IX章	自然科学分析	1
1	概要	1
2	磨製石斧・打製石斧の使用痕分析	2
	株式会社アルカ 池谷勝典	
3	管玉製作工具と分割方法・二次加工方法の推定分析	12
	株式会社アルカ 馬場伸一郎	
4	プラント・オパール分析	50
	株式会社古環境研究所	
5	珪藻分析	66
	株式会社古環境研究所	
6	花粉分析	72
	株式会社古環境研究所	
7	土壤理化分析	89
	株式会社古環境研究所	
8	縄文土器の植物珪酸体分析	92
	株式会社古環境研究所	
9	樹種同定	95
(1)	埋没樹根・流木の樹種同定	95
	株式会社古環境研究所	
(2)	「焼失住居」炭化材の樹種同定	101
	株式会社古環境研究所	
(3)	保存処理木製品の樹種同定	106
	財団法人元興寺文化財研究所 井上美知子	
(4)	木製品の樹種同定	128
	株式会社パレオラボ 三村昌史	
10	骨片同定	137
	株式会社パレオラボ 黒澤一男	

11 年代測定 .....	143
(1) 縄文時代焼土の熱ルミネッセンス年代測定 .....	143
奈良教育大学 長友恒人・株式会社古環境研究所	
(2) 縄文土器の熱ルミネッセンス年代測定 .....	147
奈良教育大学 長友恒人・株式会社古環境研究所	
(3) 縄文時代自然遺物の放射性炭素年代測定 .....	151
株式会社古環境研究所	
(4) 炭化米の放射性炭素年代測定 .....	155
株式会社古環境研究所	
(5) 出土遺物の放射性炭素年代測定 .....	159
株式会社加速器分析研究所	
12 炭化米のDNA分析 .....	178
静岡大学 佐藤洋一郎・株式会社古環境研究所	
13 鉄製錐の金属学的調査 .....	206
株式会社九州テクノリサーチ・TACセンター 大澤正己	
<b>第X章 考察 .....</b>	<b>215</b>
1 条痕文時代 .....	215
2 周溝をもつ建物の分類と系譜 .....	247
3 焼失住居について .....	277
4 研波平野北部の古墳出現期土器 .....	285
5 下老子笹川遺跡の天王山式土器がもつ意義 .....	322
6 弥生時代の木製品 .....	327
7 玉作りについて .....	337
8 下老子笹川遺跡の中近世 .....	357
9 下老子笹川遺跡出土の種実遺体 .....	363
10 下老子笹川遺跡の古環境復元 .....	379
11 下老子笹川遺跡の年代について .....	389
<b>第XI章 結語 .....</b>	<b>401</b>

# 第IX章 自然科学分析

## 1 概要

下老子笠川遺跡では、現地調査期間（平成7～10年度）と報告書整理作業期間（平成11～17年度）の2期に分けてそれぞれ内容の異なる自然科学分析を行い、広い分野での遺跡の理解に努めた。

現地調査期間の分析は、現地調査中に必要な情報を得るために（水田を明らかにするプラント・オパール分析など）と現場が残っている状態でしかできない分析（花粉分析・埋没樹根の樹種同定など）などである。分析年度ごとにみていくと、平成8年度には、プラント・オパール分析を行い、イネ科のプラント・オパールを検出して古墳時代の水田を確認した。また、弥生時代の遺構と古墳時代の水田を検出したB1～3地区では、花粉分析を行った。それから、弥生時代の建物から出土した炭化米のDNA分析を行った。平成9年度には、平成8年度同様に水田関係でプラント・オパール分析、これに付随して土壤理化分析を行った。また、弥生時代の遺構と古墳時代の水田を検出したB5・6地区、繩文時代の遺構を検出したE3地区で花粉分析を行った。平成10年度には、繩文時代の遺構を検出したC3・4地区で花粉分析、C3・4・D2地区で自然流路内の埋没樹根・流木の樹種同定、C4地区で繩文時代の焼土の熱ルミネッセンス年代測定、C3・4・D3地区で炭化物・埋没樹根を探取し放射性炭素年代測定を行った。また、出土した繩文土器片で植物珪酸体分析・熱ルミネッセンス年代測定を行った。

報告書整理作業期間の分析は、主に現地でできなかった土器・木製品・石製品・金属製品などの遺物の分析を行った。木製品の樹種同定は、保存処理を行うものと行わないもの、炭化材の3つに分けて行った。放射性炭素年代測定は、炭化材・炭化米とそれ以外のものと2つに分けて行った。この他に骨同定、石器使用痕分析、管玉製作工具の分析、金属製品の分析を行った。  
(町田賢一)

分析機関	分析名	分析者名	分析年度	分析対象地区
石器使用痕	磨製石斧・打製石斧の使用痕分析	(株)アルカ 沢谷勝典	2001	C3・4・D1・3
瓦工具	管玉製作工具と分割方法・二次加工方法の推定分析	(株)アルカ 堀場伸一郎	2001	B5・6
プラント・オパール	プラント・オパール分析		1996	A7・8, B1～4
珪藻	珪藻分析		1997	B5・7, C1
			1997	B5・6, E3
			1998	B1～3
花粉	花粉分析		1997	B5・6, E3
		(株)古環境研究所	1998	C3・4
土壤	土壤理化分析		1997	B5・6
珪酸体	縄文土器の植物珪酸体分析		1998	C4, D2・3
	埋没樹根・流木の樹種同定		1998	C3・4, D3
樹種	焼失後炭化材の樹種同定		2003	B5
	保存処理木製品の樹種同定	(財)元興寺文化財研究所 井上美知子	2003	A2～8, B1～7, C3・4, D3, E2
	木製品の樹種同定	(株)パレオ・ラボ 三村昌史	2004	A5・6・8, B1～7, C1・3, D2
骨	骨片同定	(株)パレオ・ラボ 黒澤一男		A2・7, B5, C4
	縄文時代焼土の熱ルミネッセンス年代測定	長友恒人・(株)古環境研究所	2004	C4
年代	縄文土器の熱ルミネッセンス年代測定		1998	C4
	縄文時代自然遺物の放射性炭素年代測定	(株)古環境研究所		C3・4, D3
	炭化米の放射性炭素年代測定		2003	B5
	出土遺物の放射性炭素年代測定	(株)加速器分析研究所	2004	A5・8, B1・3～7, C1・4, D3, E3
DNA	炭化米のDNA分析	佐藤洋一郎・(株)古環境研究所	1996-2004	A7・8, B3・5～B7
鉄	鉄製品の金属学的調査	大澤正己	2005	B5

第1表 自然科学分析一覧

## 2 磨製石斧・打製石斧の使用痕分析

株式会社アルカ 池谷勝典

### (1) はじめに

下老子篠川遺跡から出土した磨製石斧3点、打製石斧7点について低倍率と高倍率による使用痕分析をおこなう。この分析は石器の装着方法、被加工物、使用法などを推定し、当時の石器がどのように作られ、使われていたのか明らかにしていくための有効な手段となる。

### (2) 観察方法

キーエンス社のデジタルHDマイクロスコープ(VH-7000)による低倍率ズーム(VH-Z05)と高倍率ズームレンズ(VH-Z450)を用いて高倍率の使用痕光沢の観察をおこなう。観察倍率は5倍～40倍と450倍～1000倍(倍率はマイクロスコープでの倍率で従来の金属顕微鏡の倍率比とは異なる)である。観察面は、中性洗剤で洗浄をおこない適宜アルコールを浸した脱脂綿で軽く拭き取り脂分などを取り除いた。観察範囲は、石器表面全体を詳細に観察し使用痕光沢および線状痕の認定をおこなった。使用痕光沢分類は東北大学の分類基準によっている(梶原・阿子島1981、阿子島1989)。

### (3) 分析資料について

資料の所属時期は、磨製石斧が縄文時代晩期から弥生時代中・後期に、打製石斧は縄文時代晩期後半に属する資料である。

以下、個別資料について詳述する。

#### 第1図・磨製石斧(第2分冊3112)

小形の扁平片刃石斧である。石材は滑石?である。右側辺には擦り切り痕が明瞭に残っている(写真3)。刃部には表裏面にはば直交する明瞭な線状痕が観察される(写真1、2)。その線状痕は裏面側により明瞭である(写真2)。

高倍率の使用痕観察では、不明光沢が観察される(写真4、5、6、7)。写真4、6、7は刃部に見られる光沢である。光沢の特徴は、やや明るい光沢で、表面に細かな凹凸が多数あり荒れた状況である。光沢が高所から低所に一様に広がるものも特徴的である。写真5は、鈍い光沢で表面に細かな凹凸があり、荒れた状況である。

以上、裏面側に使用痕が顕著なこと、線状痕が刃部に直交することから装着方法は柄に対して刃部が直交する横斧タイプの装着が考えられる。被加工物については不明である。

#### 第2図・磨製石斧(第1分冊324)

片刃状の定角式磨製石斧である。石材は流紋岩である。両側辺は、擦り切りによって分割されているようである。裏面側は、平坦になるように研磨されており、横断面形がかまぼこ状になるのが特徴である。刃部は、表裏から研磨がされており、特に裏面側に研ぎ直しの研磨が顕著にみられる。この研ぎ直しによって刃部は、両刃のようになっている。刃部平面形は、左側にかたよる偏刃である。これは、左側がよく対象物と接触し激しく摩滅した結果である。

使用痕は、裏面側によく観察される(写真1)。刃部にはば直交する線状痕が明瞭である。高倍率の使用痕観察では、不明光沢が見られる(写真2)。光沢の特徴は、鈍い光沢で表面に細かな凹凸が多数あり、荒れた表面である。光沢の広がりは高所から低所まで一様である。一見、E2タイプの光沢に見えるが、検討が必要である。写真3は、研磨整形された部分である。研磨による線状痕が明瞭に観察される。光沢も観察されるが、不明光沢である。光沢の特徴は、やや明るく、表面が細かな凹凸が

あり、荒れた表面である。光沢の広がりは、高所から中所までである。

以上、刃部使用痕の偏り、線状痕が直交することからこの石器は柄に対して刃部が直交する横斧タイプの装着の可能性が高い。被加工物については不明である。

#### 第2図・磨製石斧（第1分冊323）

小形の定角式磨製石斧である。石材は流紋岩？である。両側辺は、擦り切りによって分割されているようである。刃部はやや片刃状に整形されている。

刃部には、表裏に非常に明瞭な使用痕が観察され、表面側に顕著である（写真1）。線状痕は刃部に直交している。

高倍率の使用痕観察では、不明光沢が見られる（写真2、3）。光沢の特徴はやや明るい光沢で、表面が凸凹しており荒れた状態である。光沢の広がりは、高所から中所までである。

以上、刃部使用痕の偏り、線状痕が直交することからこの石器は横斧タイプの装着の可能性が高い。被加工物については不明である。

#### 第3図・打製石斧（第1分冊230）

石材は砂岩である。背面側に自然面を残す横長剥片を用いて、両側辺をハードハンマーの直接打撃で整形し、基部を作出している。形態は対称形でしゃもじ状になる。刃部もハードハンマーの直接打撃で円刃に整形されている。

高倍率の使用痕観察では、刃部のかなり広い範囲にBタイプの使用痕光沢が観察される（写真1、2、3）。Bタイプの使用痕光沢は、対象物がイネ科植物あるいは木の場合に特徴的にみられる光沢タイプである。また、光沢上に線状痕が観察される。線状痕は刃部にはほぼ直交するものである。

以上、光沢の分布が広いことと、線状痕が刃部に直交することから、推定される被加工物はイネ科植物で、石器の操作方法は切断であると考えられる。石器の装着方法については、不明である。

#### 第3図・打製石斧（第1分冊185）

石材は安山岩である。背面側に自然面を残す厚みのある剥片を用いて、両側辺の基部側を顕著に刃潰し加工を施している。刃部はハードハンマーの直接打撃で整形されている。使用痕は、刃部に刃こぼれと表面側の自然面が残っている部分に明瞭な摩耗と線状痕が観察される。線状痕は刃部にはほぼ直交するものである。裏面側にはほとんど摩耗および線状痕は観察されない。高倍率の使用痕観察では、刃部の摩耗部に不明光沢が観察される（写真2、3）。写真2は明るい光沢でやや滑らかな表面状態で、Bタイプに似ているがBタイプよりも表面が荒れている。写真3は鈍い光沢で、表面にピットが多数見られる不明光沢である。

以上の観察結果から、この石器は柄に対して刃部が直交する横斧タイプの装着の可能性が高く、被加工物については、不明である。

#### 第4図・打製石斧（第1分冊198）

石材は凝灰岩である。背面側に自然面を残す横長剥片を用いて、両側辺をハードハンマーの直接打撃で整形している。刃部には、加工は見られず素材剥片の縁辺をそのまま利用している。刃部には、わずかに摩耗が見られ（写真1）、刃部に直交する線状痕が観察される。刃部裏面側に顕著な使用痕がみられる。高倍率の使用痕観察では、刃部および基部に不明光沢が観察される（写真2、3、4）。写真3はバッチャ状でやや丸みを持っておりBタイプに似た光沢であるが、表面状態が荒れており光沢タイプは不明である。写真4は不明光沢である。光沢の特徴はやや明るい光沢で平坦で滑らかな表面状態である。このような光沢は局所的に見られるだけであるが、着柄痕の可能性も考えられる。

以上のことからこの石器については、装着方法、被加工物については不明である。

#### 第4図・打製石斧（第1分冊192）

石材は凝灰岩である。背面側に自然面を残す横長剥片を用いて、両側刃をハードハンマーの直接打撃で整形している。特に右側刃には顕著な刃潰し加工が観察される。また、刃部は斜刃であり、基部を中心に対称軸をとれば左斜め方向に傾いている。刃部に見られる使用痕は、刃こぼれと刃潰れ（写真1）のみで摩耗及び線状痕は観察されない。高倍率の使用痕観察でも光沢は観察されない。刃部の刃潰れ状況は、縁刃が白くなるくらいに潰れている部分がある。また刃こぼれはほぼ垂直方向からの衝撃によって起きたものである。

以上、刃部が斜刃であること、刃部の刃潰れと刃こぼれの状況からこの石器の装着方法は、柄に対して刃部が平行する縱斧タイプの装着であった可能性が高い。被加工物については不明である。

#### 第5図・打製石斧（第1分冊188）

石材は溶結凝灰岩である。背面側に自然面を残す横長剥片を用いて、両側刃をハードハンマーの直接打撃で整形している。刃部は刃こぼれが激しいために加工があったかどうか不明である。刃部の使用痕は、裏面側に摩耗が見られる（写真1）。また、刃こぼれも顕著で表面側に大きな刃こぼれが見られる。高倍率の使用痕観察では、不明光沢と線状痕が観察される（写真2、3）。線状痕は、刃部にはほぼ直交するものである。不明光沢の特徴は鈍い光沢で、表面に凹凸が多数あり荒れた表面状態である。

以上、表面側に刃こぼれが顕著であること、裏面側に摩耗がよくみられることから、装着方法は柄に対して刃部が直交する横斧タイプの装着が考えられ、被加工物については不明である。

#### 第5図・打製石斧（第1分冊196）

石材は泥岩である。背面側に自然面を残す厚みのある横長剥片を用いて、両側刃をハードハンマーの直接打撃で整形しており、刃潰し加工が見られる。刃部は元の形が大きく崩れており刃こぼれが激しく加工があったかどうか不明であるが、刃部摩耗を切っている剥離があり、刃部再生をおこなった可能性がある。刃部の使用痕は表裏に摩耗がみられ、裏面側に顕著に見られる。線状痕は、刃部にはほぼ直交するものである。高倍率の使用痕観察では、顕著な光沢は観察されない（写真2、3）。

以上、装着方法、被加工物については不明であるが、顕著な摩耗が刃部のかなり奥まで見られることと摩耗部に光沢がみられないことから対象物は土である可能性がある。

#### 第6図・打製石斧（第1分冊190）

石材は安山岩である。背面側に自然面を残す横長剥片を用いて、両側刃をハードハンマーの直接打撃で整形している。石器は素材剥片の厚みのあるバルブ付近を基部にしており両側刃に顕著な刃潰し加工が見られる。器体が湾曲しているのが特徴的である。刃部はほぼ直刃であるがやや右斜め上方向に傾いている。裏面側の左側に刃部再生による2枚の剥離面が見られる（観察位置図矢印箇所）。刃部の使用痕は、表面側にわずかに摩耗がみられる程度である（写真1）。高倍率の使用痕観察では、摩耗部に不明光沢と線状痕がわずかにみられる（写真2）。線状痕は刃部にはほぼ直交するものである。不明光沢の特徴は、鈍い光沢で表面が荒れた状況である。

以上、器体の湾曲、表面側に摩耗がみられることから柄に対して刃部が直交する横斧タイプの装着の可能性が高い。被加工物については不明である。

#### 第6図・打製石斧（第1分冊197）

石材は花崗岩である。背面側に自然面を残す横長剥片を用いて、両側刃をハードハンマーの直接打撃で整形している。刃部には、不整形な剥離面が見られるが、これは使用による刃こぼれと考えられ、

加工は見られない。刃部の平面形は右斜め上方向に傾いているが、使用による結果であると考えられる。刃部裏面側に顕著な摩耗が見られ、線状痕は刃部にはば直交する（写真1）。高倍率の使用痕観察では、刃部摩耗部に不明光沢がみられる（写真2、3）。不明光沢の特徴は、鈍い光沢で表面が荒れた状況である。*L58*などにみられた不明光沢と同じである。

以上、裏面側に摩耗が顕著であること刃部が斜めに傾くことから装着方法は柄に対して刃部が直交する横斧タイプの装着である可能性が高い。

#### （4）総合所見

磨製石斧については、分析した3点ともに使用痕の付き方、線状痕の方向、光沢の状況などほぼ同じ結果である。推定される装着方法についても横斧タイプの装着の可能性が高いものである。

打製石斧については、*230*にBタイプの使用痕光沢が観察され注目される。また、*230*と石材は違うが同じような形態、素材の用い方、作り方をしている*185*、*188*、*197*については、Bタイプの使用痕光沢は観察されなかった。この点についても注意が必要である。

今回分析した打製石斧については、少なくとも装着方法に2種類、横斧と縱斧装着があり、使用痕についても3種類以上、Bタイプのもの、不明光沢、光沢が見られないものがある。また、打製石斧の作り方にても側刃を刃潰し加工するものとしないもの、厚みのある素材を用いるものと薄い素材を用いるものの、形態が対称形になるものと非対称のものという具合に、打製石斧という名前で器種分類している石器の実際の内容は多様である。今回は10点のみの分析であるが、さらに資料数を増やし定量的な使用痕分析と型式学的分析をおこなえば打製石斧と器種分類された石器の具体的な内容が明らかになり、当時の石器の作り分けと使い分けが明らかになると考えられる。

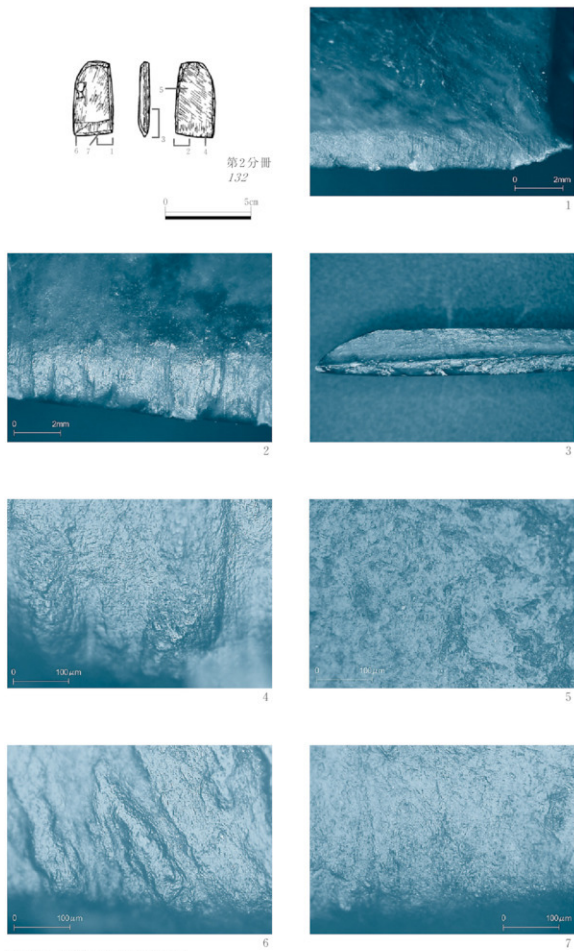
	精度		平滑度		広大度	高低差	連接度	その他の 特徴(縦状・横状) 〔横状・縦状・孔状〕
	外周コントラスト	内側コントラスト	きめ	まるさ				
A	きわめて 明るい	強い(削痕 部に残る)	なめらか	まるい	内部まで一 面に広がる	高所からはじまり全面を おおむ	一面おおいつくす	埋められた縦状痕 (filled-in striation) 彗星形の凹み (comet-shaped pit)
B	明るい	強い(バッヂ 状の光沢部)	なめらか	バラしがわら てまるい(水滴 状)	広い	高所から順に発達する 乳頭まで及ぶのはまれ	ドーム状バッヂが連携 していく	バッヂが縦形に連携、ビ ットは少ない
C	やや明る い	やや弱い(削 部の光沢部)	粗い	凹凸窓(そいた よう)	広い	低所の凹部を残して、中 高所に一様に広がる	バッヂとして発達せず はじめから網状につな がる	大小の無数のビット
D1	明るい	弱い(一様)	なめらか	平坦(はりついた よう)	難定される	微凹凸の高低がなくなる なる	縁辺に帯状に狭い面が できる	「掘けた空穴」の段を形成、ビ ットが多い
D2	明るい	やや弱い (平行溝状)	やや粗い	峰状で鋸い	難定される	微凹凸は変形して線上に なる	縁辺に帯状に狭い面が できる	鋸い溝状の線状痕、ビ ットが多い
E1	やや明る い	強い (小バッヂ部)	小バッヂ上のみ なめらか	小バッヂはやや まるい	縁辺のみの 鋸い分布	高所の小バッヂは明るく、 乳頭は原面の微凹部を まくらせる	小バッヂが独立して 連携しない	周囲の鋸い光沢(F2)と つなにセッティング生じる
E2	弱い	やや弱い	ごく微細に凹 凸つけし状)	光沢部全体が厚 膜でまるい	広い	なし(高所所と同様に ある)	強度の削減を伴って縁 辺に広く光沢帶が形成	多様な微凹部が多い、多く の微小円形削落 (micro-pothole)
F1	弱い	弱い	粗い	角ばっている	多様	なし(高所所とともに ある)	原面の微凹部を変えず 高所まで及ぶ	動ぎたがらつき (greasy luster)
F2	きわめて 弱い	弱い	原面を変えない	原面を変えない	多様	多様	未発達な小バッヂ	原面を変えない

第1表 使用痕光沢分類

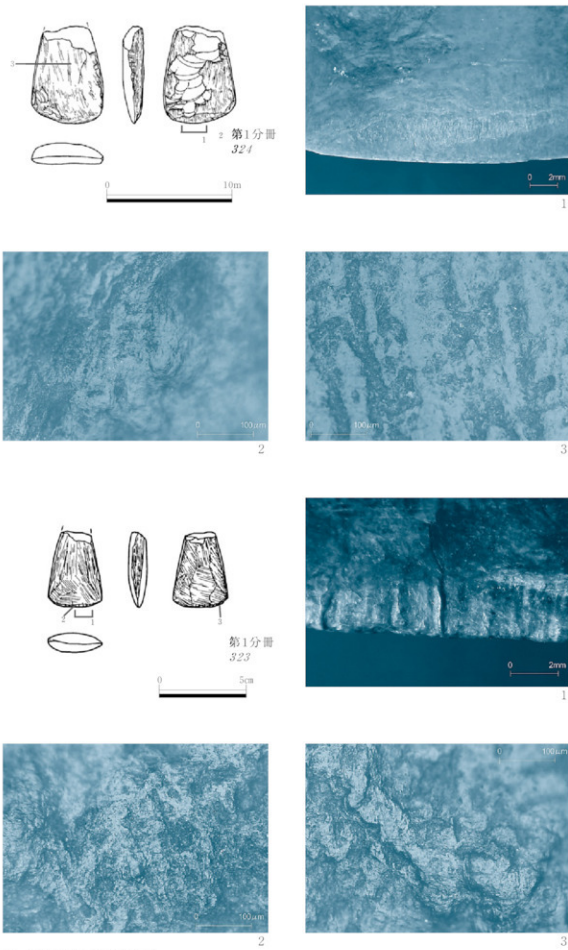
参考 阿子島香 1989『石器の使用痕』考古学ライブラリー-56 ニューサイエンス社 P20

#### 参考文献

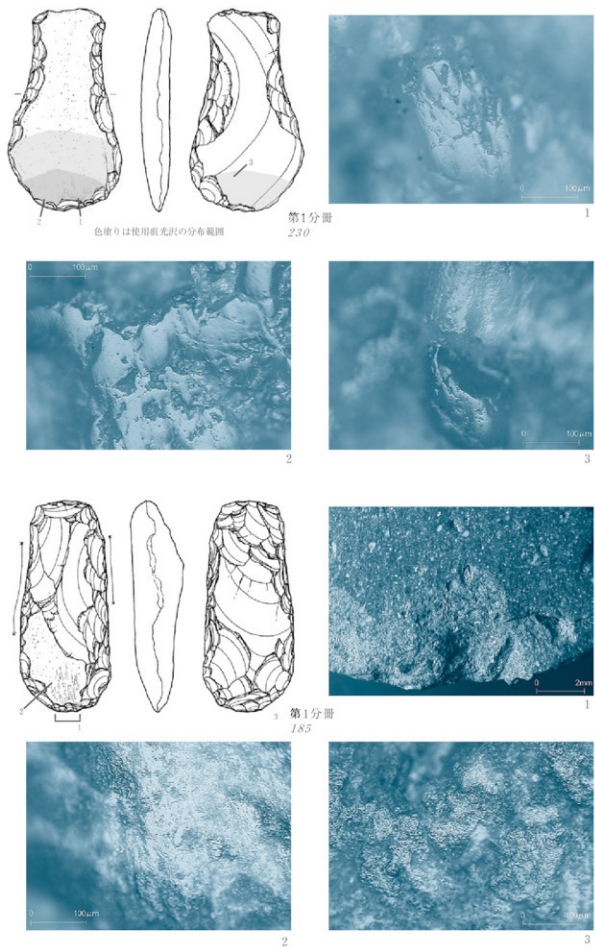
- 阿子島香 1989『石器の使用痕』考古学ライブラリー-56 ニューサイエンス社  
 親原洋・阿子島香 1981『直角製石器の実験使用痕研究—ポリッシュを中心とした機能推定の試み?』『考古学雑誌』67-1  
 角張淳一 2000『統一・石器研究についての感想』『東京考古』18 東京考古談話会  
 佐原 真 1994『斧の文化史』東京大学出版会



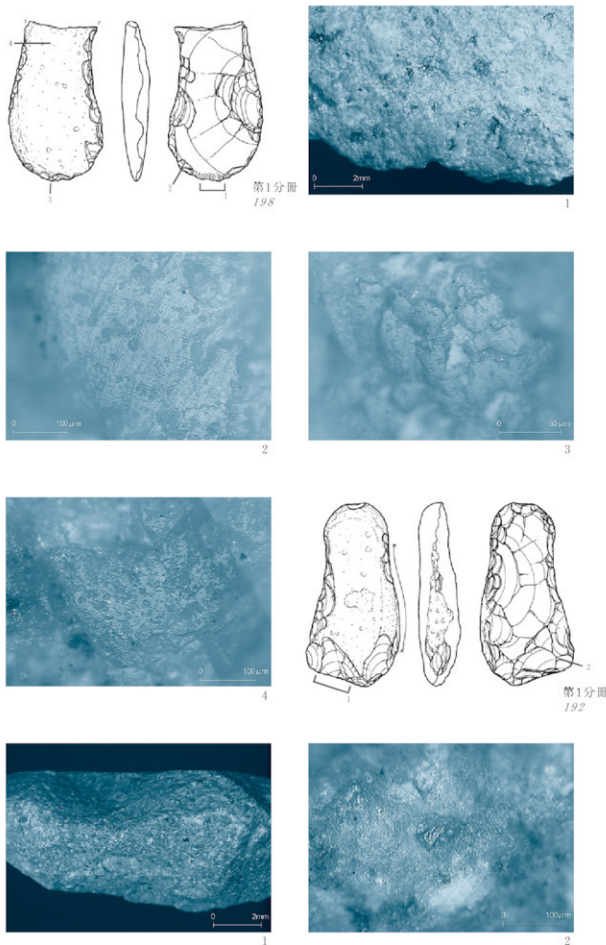
第1図 磨製石斧の使用痕(1)



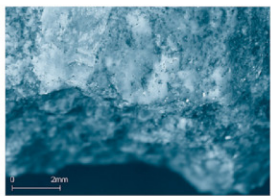
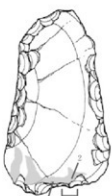
第2図 磨製石斧の使用痕(2)



第3図 打製石斧の使用痕(1)



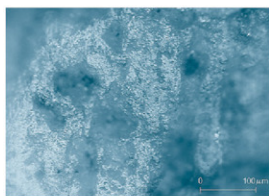
第4図 打製石斧の使用痕(2)



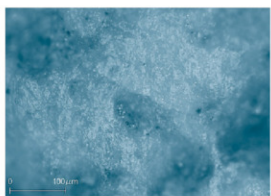
第1分冊  
188

1

色塗りは使用痕光沢の分布範囲

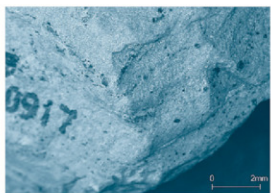


0  
100 μm  
2



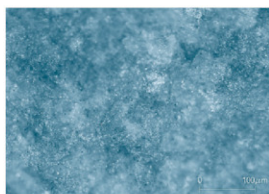
0  
400 μm  
3

3

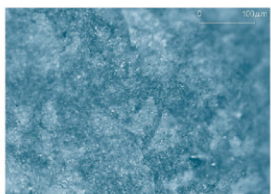


0  
2mm  
1

第1分冊  
196

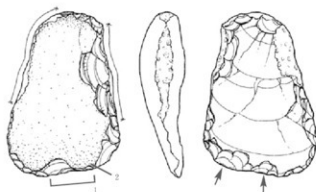


0  
100 μm  
2

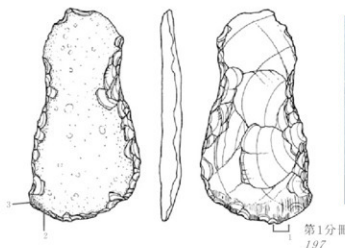
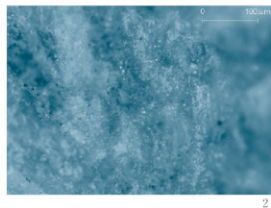
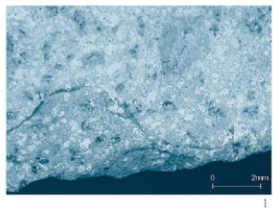


3

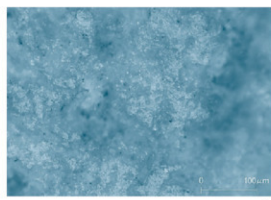
第5図 打製石斧の使用痕(3)



第1分冊  
190  
矢印は刃部再生の跡跡



第1分冊  
197



第6図 打製石斧の使用痕(4)

株式会社アルカ 馬場伸一郎

### (1) はじめに

本稿では下老子笹川遺跡から出土した管玉の加工工具を推定する分析を行うが、まずその前に学史的背景について簡単に触れておきたい。弥生後期後半～終末期にかけて、いわゆる玉作り工房が発見されており、工房より玉作り用鉄製工具が共伴して出土する例が確認されている。福井県林・藤島遺跡はその代表例である<sup>6</sup>（富山1997）、多数の管玉未成品とともにタガネ状・棒状・針状工具が出土し、玉作り工程の場面に合わせた工具の使い分けが推定されている。林・藤島遺跡以外でも京都府奈具岡遺跡で弥生中期後半の水晶製玉作り工房より鉄製工具が出土し（河野1997）、玉作りへの鉄製工具の導入は意外と早い段階から始まっていることが確認されている。しかし、あくまでその推定の根拠は工房から「管玉未成品と鉄製工具が共伴した」という状況証拠のみであり、実際の遺物観察にもとづく結論はまだ得られていないのが現状である。したがって、本稿で目論む「工具の先端形状や先端幅、工具の材質」と「身振り」、そして「固定具の存在」を推定していくことは、今後の玉作りの工具をより遺物の観察に基づいて実証的に証明していくことで意義をもつ。その上、特に玉作りに鉄製工具が導入されるか否かの問題は弥生時代の鉄器研究への影響も大きく、本稿で試みる玉作りの工具推定研究は、今後の弥生後期後半期の玉作りのモデル研究となることでも意義がある。

また玉作りの鉄製工具の普及時期を明らかにすることは、同時に、玉作りの技法的な段階変化と工具がどのような関係にあるのか、つまり中期後半段階に発達した施溝分割技術からどのように玉作りが変化していくのかを解明するのに重要な意義をもつ。工具の変化、特に鉄製工具の導入は従来の施溝分割技術を衰退・消滅に向かわせるほどの画期的な出来事であったことは想像に難くない。

このように、玉作りの製作工具を解明する意義の重要性を踏まえ、弥生後期後半の下老子笹川遺跡から出土した緑色凝灰岩管玉、鉄石英製管玉の製作工具を推定したいと思う。推定するにあたっては、まず実際の遺物に残された痕跡を観察することから始める。これは剥離面のもつ情報から如何に製作工具と分割方法を復元するかという試みでもある。なおその際には、荒削・形削工程品のみならず、剥片の観察も行う。次にそこから推定される剥離技術を実験し、どの痕跡がより実際の痕跡に適合するのかを導く。実験は特定の工具にのみ偏らせるのではなく、木・鹿角・石・鉄と可能性のあるあらゆる材質で実験することにする。

#### A 分析的目的

- ・玉作りの製作工具の種類を推定し、それがどの工程に使用されているのかを推定する。製作工具の種類は「先端形状・先端幅・材質」の3点を明らかにすることである。材質については、可能性のある、より適合する材質を実験結果を踏まえて推定する。
- ・管玉の素材となる角柱体の分割と、二次加工を行う際の「身振り」と「固定具」を推定する。直接打撃・間接打撃・押圧剥離とともに、台座等の固定具の存在を解明することを目的とする。

以上2点の解明のために、次の分析方法と手順を設定する。

#### B 分析の方法と手順

まず分析の前にどのようにして製作工具を推定するのかを具体的に説明する。初めに管玉未成品の剥離面を性格の異なる2種類に分ける。それは、①角柱体を獲得するために、石核を分割したときに形成される剥離面（以降これを分割面と呼ぶことにする）と、②角柱体の歪みを補正したり、形状を

整えたりする加工で発生する剥離面（これを二次加工面と呼ぶことにする）である。角柱体の長方形面4面のいずれかに1枚の大きな剥離痕が残される場合は分割面、角柱体に対し2・3mm程度の小規模な剥離痕が角柱体縁辺に連続している場合は二次加工面である。

次に分割面や二次加工面から、実際製作工具を推定する方法であるが、筆者は既に石川県羽咋市東的場タケノハナ遺跡で製作実験を行い、工具の推定を行っている（久田・馬場2003）。その方針と今回の方針は基本的には変わらない。それを以下に説明する。

まず剥離面のなかで注視すべき属性は、工具の衝撃痕が明瞭な打点付近の諸属性である。打点の形状（半円形・線状・点状など）・打点付近の潰れ具合・打点の径・連続する剥離痕の規模や並び具合である。これらは、①打点の形状や打点の潰れ具合は工具の先端形状を推定するのに役立つ属性であること、②打点の径は工具の先端径を直接反映する属性であること、③連続する剥離痕の様相は押圧剥離やその他身振りを推定するのに役立つ属性であることから注目される。重要なのは、打点が潰れるごとに打点の径の大きさは、人間のコントロールの及ばない痕跡であることで、どのような工具を使うのかという、人間の選択性以外は物理的な因果関係に基づいている。実験検証が可能な理由は、残された痕跡から物理的な因果関係を辿っていくことで、ある程度の工具の特徴を明らかにすることが可能だからである。

以下に挙げる既に証明された物理的因果関係を踏まえ、本稿でも分析を行うこととする。

- ・打点が円錐形を形成せず、なおかつ潰れと階段状剥離を生じる理由は、工具の先端が針状に尖っていることが原因である（山田・志村1989）。この場合、そのまま工具の先端が変形することなく石核側に食い込んでいる。
- ・打点の形状や径は製作工具の先端幅や先端形状をほぼ反映する（久田・馬場2003）。先端が1mm程度の針状に尖っていれば工具の先端幅は1mm程度の径となり、線状の打点形状であれば、工具の先端形状はマイナスドライバー状と推定できる。

また、今回の実験では、石材に「滑石」を用いた。滑石を用いたのは次の理由からである。

- ・緑色凝灰岩は入手が困難であるが、滑石は市販されていて入手しやすい。
- ・滑石は加工・変形が容易なので、玉作りの石核形状を実現しやすい。
- ・緑色凝灰岩よりも滑石は柔らかい石材であるが、実験工具による各種打撃衝撃痕が発生する因果関係は、石材が硬くても柔らかくても変わらない。
- ・滑石で剥離や分割が不可能な工具材質は、より硬い緑色凝灰岩でも剥離や分割は無理と判断できる。

したがって、工具の材質を推定することにも利点がある。

以上の物理的因果関係と実験石材を条件とし、次のような手順で分析を行った。

手順1：B5地区のS16・10(新・旧)・11およびB6地区のS121の各遺構から出土した管玉形削・荒削工程品に対し、属性表を作成する。属性表には、遺物番号・石材・管玉製作工程・打点の形状・打点の径・分割面の厚さ・素材分割の方法・全長・幅・重量を記入する。なお、B4地区において四角柱体の接合資料が1点得られており、今回の分析において接合資料という客観的にも重要な資料は重視して分析を行うため、分析対象資料とした。

手順2：属性表を作成した資料の中から、工具痕跡が良好な資料を抽出し、拡大写真撮影する。

手順3：工房から出土した剥片を対象に、その中から打点・打面の残るものを抽出し、手順1の結果推定された工具へ分類する（もちろん該当しないものが出てくれば、それも記述する）。必要であれば、良好な剥片の打点を拡大撮影する。そして、遺構単位で剥片分類結果の点数集計と重

量測定を行う。

手順4：手順1～3で推定された工具に近いものを現代工具の中から選択し、実験検証を行う。ここでより具体的な材質や形状の推定を行う。

### C 用語の定義

以下の用語については内容を予め定義する。

**角柱体の分割：**角柱体の分割とは、管玉の素材となる四角柱体を獲得する最終的な過程までの分割行為として定義する。四角柱体とは、管玉の直接素材となる四角柱状の素材として定義する。

**四角柱体の二次加工：**四角柱体獲得後、その歪みを補正したり、形状を整えるための加工として定義する。四角柱体を獲得するための分割、穿孔作業は本稿では二次加工に含めない。

**分割面：**角柱体および四角柱体を獲得するための石核を分割したときに形成される剥離面。

**二次加工面：**四角柱体に対し、歪みや形状を整えるための加工痕が残る剥離面。

**台座：**角柱体の分割時に石核を設置したものを台座と定義する。

**打点の形状：**コーンや曲げといった剥離の開始部ではなく、純粹に打点の形態的特徴を示す用語として定義する。文章では半円形状、線状、点状などと表現する。

## (2) 遺物の剥離面観察

### A 遺物の観察と分析

#### a 荒削工程品の観察

・低倍率による観察 荒削工程品の分割面の観察では、分割面の対辺に打点が認められるものが、打面の形態が判断できる26点中12点に認められた（第1表）。その12点のうち良好なものを写真1～10に提示した。写真1や写真2は打点付近が多少潰れながらも、コーンの形成が対辺どうしに認められる例である。分割面の厚さは22mm前後である。後に触れる打点の形状が半円状でなく、線状となるものは荒削工程にはほとんど認められない。

また対辺どうしに打点は認められないものの、片方の辺に半円状の打点が形成されるものが11点とやはり主体を占める。緑色凝灰岩では写真11や12、鉄石英では写真15と16が好例である。

このように荒削工程品では、対辺どうしの2箇所か、もしくは片方の辺に半円状の打点が認められることが一般的であり、対辺2箇所の打点の形成はいわゆる両極打撃によるものである。

・数値的な条件 上記の低倍率観察結果を数値的に分析してみよう。先に触れた第1表のように荒削工程品では半円状の打点をもつ資料が主体である。打点が潰れているものも、打撃方法は半円状の打点をもつ資料と同じで、潰れが進行したのか否かの違いだけである。したがって、打点形状の確認できる26点中、9割方は半円状の打点を発生させる工具と身振りで角柱体の分割が行われていたことを示している。

次に、分割面の厚さであるが、第1図のよう20～25mm前後を中心に、最大36mmまで分割されている。後述する形削工程品で中心となる10mm前後の分割例は認められない。したがって、工程で分割される厚みに応じて分割方法が変えられている可能性がここで生じる。これについては形削工程品のところでも再論する。

#### b 形削工程品の観察（側面剥離加工品含む）

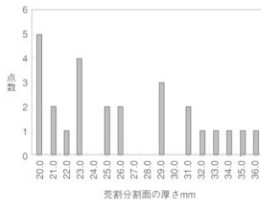
・低倍率による観察 まず形削工程品の分割面の観察結果から見ていきたい。この形削工程品が荒削工程品と大きくなるのは、打点の形状である。荒削工程品は半円状の打点を伴い、打点直下よりコーンが形成されるものがほとんどであったが、形削工程品は分割面の打点の形状が確認できる23点

分割面の打点の形状	点数
半円状	11
半円状+対辺に半円状	10
潰れ	1
潰れ+対辺に潰れ	2
線状	2
不明	15
—	13
総計	54

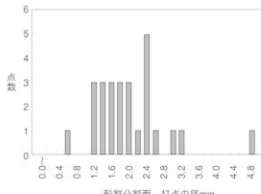
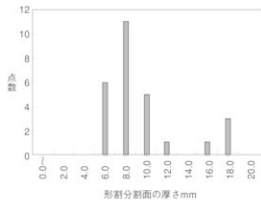
第1表 荒割工程品の分割面の打点の形状

分割面の打点の形状	点数
線状	16
線状+対辺に半円状	5
半円状	1
点伏	1
不明	19
—	98
総計	140

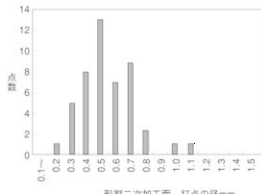
第2表 形割工程品の分割面の打点の形状



第1図 荒割工程品の分割面の厚さ



第3図 形割工程品の分割面の打点の径



第4図 形割工程品の分割面の打点の径

中16点が線状、5点が線状と対辺に半円状の打点をもつ資料であった。線状の打点で代表的な例は写真19の接合資料で、中央に打点の線状部分が抜けおちた状態がはっきりと確認できる。この抜けた部分は、工具の衝撃で砕けてしまった部分でもあり、写真21や写真22も同様である。写真47は先端工具が分割面に食い込み、顕著な階段状剥離が生じている例である。線状の打点の例としては、写真36・37・39・41・43・50が良好な例である。

一方、線状の打点の対辺に半円状の打点が見られる例も接合資料で確認できる例が多い。先に触れた写真19の資料では、写真21のように線状の打点の対辺にネガティブバルブが認められる例であり、写真29では、明瞭な半円状の打点とコーンが形成される。接合資料ではないが、写真45・46にも線状打点の対辺に、半円状の打点とコーンの形成が認められる。これは本稿でも議論の焦点となる注目すべき痕跡である。

次に、形割工程品の二次加工面の観察結果について説明する。二次加工面は四角柱体の四方の角を中心認められる剥離面であり、四角柱体の整形を目的とする加工である。写真55・56・59・70のように先端径が1mm程度と非常に細く、点状の打点を形成しているのが特徴的である。鉄石英でも同様で、写真73・74・76・78のように緑色凝灰岩と同様に1mm程度の点状の打点が認められ、石材差がないことは明らかである。

・数値的な条件 上記の低倍率の観察結果も踏まえ、数値的に分析してみると、第2表に示したように、分割面の打点の形状が確認できる23点中16点は線状の打点、5点は線状の打点と対辺に半円状の打点となり、線状の打点が圧倒的に多く、荒削工程と対照的である。また第2図に示されたように、分割面の厚さは6～10mmを中心としており、この点も荒削工程品と対照的で荒削工程品の厚さの約1/2程度となる。分割面の打点に残された打点の幅は第3図に示されたように2.4mmを中心に1.2～3mm、大きい場合は5mm近くとなり、ある程度の幅をもちつつ2.4mmを中心とすることが判明した。これは工具の先端幅を推定する有効な数値である。

次に二次加工面の数値的な分析では、第4図に示されたように0.5mmを中心に1mm程度の範囲に打点の径はほぼ収まっている。デジタルノギスの誤差の範囲もあるため、1mm以下の測定はさほど正確ではないが、1mm程度という数値は信頼できるものである。したがって、二次加工面には1mm程度という非常に小さい径の点状の打点が残されていることが明瞭となった。

## B 推定される分割方法・二次加工方法

実際の遺物に残された角柱体の分割面や二次加工面から、推定される工具の先端形状や幅の条件、打点の形状条件、打点の位置条件、石核の厚み条件は第3表の通りである。したがって、これら1～4の条件に適合する工具の選択と実験検証が次の作業となる。なお、この条件から外れる実験は対照実験と呼ばれ、より実験結果の可能性を高める意義がある。

条件	種類	打点の位置条件	打点の形状条件	工具先端形状・幅条件	石核の厚み条件
1	角柱体の分割	対辺2箇所に打点が認められる。	片方の打点は線状の打点となる。反対辺の打点は潰れを伴いつつもコーンとバルブが形成される。	線状の打点は先端幅2～4mm程度、厚1mm程度。	15mm前後
2	角柱体の分割	対辺2箇所に打点が認められる。	2箇所の打点とも半円状の打点で、潰れを伴うことが多い。	2箇所の打点とも幅広。	30mm前後
3	角柱体の分割	1箇所に打点が認められる。	打点は線状となり、付近は激しく潰れる。工具の先が食い込んだ様相を呈する。	先端幅2～4mm程度、厚1mm程度。	15mm前後
4	四角柱体の二次加工	1箇所に打点が認められる。	点状で、工具先端形状が打点に明瞭に残る。	先端径1mm程度の針先状。	-

第3表 遺物に残された剥離面から導き出された条件

### (3) 実験検証

本項では前項の遺物観察から得られた第3表の条件1～4に適合する工具と分割方法を実験で検証する。実験は角柱体の分割と四角柱体の二次加工の実験に分けて行うこととする。

#### A 実験検証 角柱体の分割の実験

##### a 実験① 扁平蝶ハンマーによる直接打撃 写真79～82

条件：固定／1人が手のひらに石核保持と打撃、身振り／直接打撃、ハンマー／凝灰岩製扁平蝶の幅の狭い面、実験回数／5回、実験石核の厚さ／15mm程度

結果：3回程度の打撃で分割はできたものの（写真81）、角柱体獲得としての成功は5回中2回と低い。狙いがあくまで目視のため、狙いがはずれ分割が失敗してしまうものも多い（写真80）。打撃面にはコーンクラックが明瞭で、打点にはコーンが形成される。

比較：直接打撃は石器製作で頻繁に使われる技術で、実際の遺物にも多く認められる。しかし遺物には第3表の条件1・2のように対辺2箇所に打点が認められるものが多く見られ、この方法ではそれを実現できない。

##### b 実験② チャート蝶三角台座での扁平蝶ハンマーによる直接打撃 写真83～94

条件：固定／1人が鋭角な部分をもつチャート蝶台座に石核固定と打撃、身振り／直接打撃、ハンマー／凝灰岩製扁平蝶の狭い面、実験回数／5回、実験石核の厚さ／15mm程度・30mm程度の2パターン。

結果：分割は全て成功した。チャート蝶三角台座に接している点をめがけて打撃するのが成功のコツである。上手になると打撃1回で分割が可能である。原理は両極打撃と同様、両側より圧縮力を生じさせる方法である。分割面にはハンマーの当たった打点と、ちょうど反対辺のチャート蝶台座に接していた点の2点に打点が認められ（写真86・89・90）、ハンマーの当たった面から太いフィッシャーが発生することが多く、そこより亀裂が発生していることがわかる。ハンマー側も台座側も潰れている打点が認められる一方で、写真86の上辺にある黄色の円形破線には、半円状の打点とその直下にコーンの形成も認められる。逆に台座に接する面は、打点の潰れが明瞭であるが、分割の亀裂を発させた太いフィッシャーは見当たらず、写真86・90のように台座の端突に食い込んだ痕跡を残す。そして形成される分割面はフラットである。なお、石核の厚みを2倍の30mm程度にして同様に分割を試みても写真92や写真94のように上辺に打撃痕、下辺に台座痕を残して分割できることが確認できた。

比較：実際の遺物で対辺に半円状の打点の残る分割面が認められており、第3表の条件2に挙げられた打点の形状・位置条件をクリアする。したがって角柱体分割の一方法と推定される。実験は石材が滑石であるため、打点の潰れは顕著であるが、実際の緑色凝灰岩では多少潰れ等は少なくなるであろう。なお実験②の方法はフラットな分割面が形成されやすいため、直方体状の石核をつくりだすのに有効な方法である。この実験と同じ剥離面をもつ遺物として写真1～10が挙げられる。

##### c 実験③ 安山岩鱗状石器による間接打撃 写真95・96

条件：固定／1人が石核保持・もう1人が打撃、身振り／間接打撃、工具／刃幅5mmの安山岩製の剥片、実験回数／5回、実験石核の厚さ／8.0～15.0mm

結果：4回程度の打撃を行ったものの、分割は全て縫折れを起こし、失敗に終わった（写真96）。15.5mmの厚さの石核は分割ができなかつたので、次に11.6mm、9.5mm、8.6mm、8.0mmと段階的に薄くし

ていったが、全て角柱体を獲得するに至らなかった。このように滑石で全て失敗しているので、緑色凝灰岩では分割すらできないことが推定される。

#### d 実験④ 鉄製マイナスドライバーによる間接打撃 写真103～110

条件：固定／1人が石核保持・もう1人が打撃、身振り／間接打撃、工具／刃幅4mmの鉄製マイナスドライバー、実験回数／15回、実験石核の厚さ／15.0～18.0mm

結果：分割は全て成功し、角柱体を獲得することができた。先の実験③よりも石核が厚いのにもかかわらず、分割は可能であった。なお、直方体の石核に並行に工具を当てるのではなく、斜め約45°に傾けて打撃を加えても、写真110のように分割の亀裂は石核の側辺に並行になるように進行していった。実験で生じた分割面の打点は線状となり、分割剥片どうしを接合させると打点付近でマイナスドライバーの形状が明瞭である（写真105・107）。これは実験④の打点の際立った特徴である。そして分割に際し、数回の打撃を行ったためドライバーが食い込んだ痕が明瞭で、付近の漬れも明瞭である（写真106・108）。

比較：第3表の条件3の典型例として挙げた写真47の打点の形状条件に一致する。写真47の遺物は工具先端の分割面への食い込みが写真106・108と同様、鮮明である。分析対象とした遺物には、条件3の打点の形状をもつ遺物はこれ1点のみであったため、遺跡内では一般的ではない方法と推定される。

#### e 実験⑤ チャート蝶三角台座上の鉄製マイナスドライバーによる間接打撃 写真97・98

条件：固定／実験②と同様のチャート蝶台座に、1人が実験②と同様の箇所に石核を固定・もう1人が打撃、身振り／間接打撃、工具／刃幅4mmの鉄製マイナスドライバー、実験回数／10回、実験石核の厚さ／8.0～15.0mm

結果：台座に使用したチャート蝶および実験石核を設置した箇所は、全て実験②と同様である。分割は全て失敗した。マイナスドライバーの先端が石核に明瞭に食い込んでいるが、写真98のように長軸方向に亀裂が入らず、全て短軸方向へ亀裂が入り、失敗した。分割する石核にマイナスドライバーをあてがい、さらにハンマーでドライバーを打撃するという2人体制で行う複雑な方法のため、石核の安定感が非常に悪い。したがって、マイナスドライバーによる間接打撃も不安定な状況下で実行せざるを得なかった。その影響が亀裂が短軸方向にずれてしまう原因ではないかと考える。もう一点重要なのは、分割面の痕跡に線状の打点は形成されるものの、対辺は塑性変形を起こし、台座に食い込む状態となるため、コーンやバルブは形成されない点である。したがって、この方法は第3表の条件1の打点の形状条件をクリアしない。

したがって固定が不安定で、なかなか条件1をクリアできないこの方法は実存しない方法と考えられる。

#### f 実験⑥ 鉄製三角台座上の扁平蝶ハンマーによる直接打撃 写真99～102

条件：固定／1人が鉄製三角台座の鋭角の突起部に石核を固定および打撃、身振り／直接打撃、ハンマー／凝灰岩製扁平蝶の狭い面、実験回数／10回、実験石核の厚さ／10mm・15mm

結果：この実験のハンマーは実験②と同じだが、実験②と異なるのは台座の種類で、より台座の突起部（石核と台座が接する部分）が一直線状になるものを選択した。これは石核が接する台座側の突起の形状と打点の形状の関係性を検証するのがねらいである。結果は、分割は全て成功し、実験②と同様、ハンマー側と台座側に2つの打点が形成された。これはハンマーと台座の両側から圧縮力が加わったためであり、形成される分割面はフラットであった。台座側からの衝撃痕が明

瞭なのは実験②と同じである。写真100の黄色の円形破線にはコーンとバルブが形成される。注目したいのは、台座に接する面の打点の形状である。写真101のように、幅が2mm程度の細長い打点の形状が生じた。これは写真99にあるように鉄製三角台座の突起部分（接合面のバリ部分）が直線状になっており、打撃されたときにそのまま石核がこの突起部分に食い込み、その結果、写真101のような線状の打点を生じたのである。台座がチャート碟の実験②の場合では、台座の突起の形状が直線状ではないため、写真85や写真88のように一定しない不規則な打点の形状となる。したがって、ハンマーの当たる側にコーンとバルブ、台座側に線状の打点、という2つの特徴を実験⑥の結果から指摘することができる。

**比較：**実際の遺物と比較してみよう。写真19・21・28・29・45・46のように線状の打点の対辺にコーンやバルブが認められ（黄色の円形破線部分）、実験⑥で形成された分割面と同じ特徴をもつ。つまり、第3表の条件1をこの実験⑥の結果はクリアしており、この方法を条件1を発生させる分割方法と推定する。下老子笛川遺跡の角柱体には写真19の遺物をはじめ、多数に認められる打点の特徴であるため、一般的な分割方法の一つと推定される。また、コーンとバルブが認められず、線状の打点のみ認められる写真31～44・48～54の遺物についても、実験⑥と同様の分割方法である可能性を考慮する必要がある。なお、この方法は、石核の厚みが20～30mm程度の荒削工程品には認められない。

多少、コーンとバルブが発生する背景について補足しておきたい。コーンとバルブの発生する打点には、引っ張り応力が発生することは石器の破壊力学研究で既に指摘されている（山田・志村1989）。

この引っ張りの力を発生させるためには、石核の打面に対し、やや斜め方向からハンマーを振り下ろす必要がある。通常の石核から石刃を剥離する様子を思い浮かべてもらえばよい。この一方で実験②と実験⑥のような台座側に接している面は台座に食い込み、そのまま変形するため、コーンやバルブは発達しない。打点付近は、いわゆる「クサビタイプ」と呼ばれるコーンとバルブの発達しない、階段状剥離が重なる様相となる。

このように、実験②と⑥で台座側の打点にコーンとバルブが発達しない原因や、扁平碟のハンマーで打撃した打点にコーンとバルブが発達する様子は、石器の破壊力学で既に実験で証明されている因果関係（山田・志村1989）に適合する結果である。

実験番号	工具の身振り	製作工程の場面	実験工具材質	推定される実際遺物	実験回数	工具・ハンマー、台座側の痕	フィッシャーの状態	剥離および分削の成功率	実際の遺物の剥離痕と比較
① 直接打撃	角柱体の分割	扁平碟	扁平碟	扁平碟	5	不明瞭	打点付近より放射状に発生	5回中2回成功	なし？
② 直接打撃	角柱体の分割	扁平碟+チャート碟三角台座	扁平碟+チャート碟三角台座	5(厚さ15mm) 5(厚さ30mm)	5	不明瞭	打点付近より放射状に発生	全て成功	荒削工程品に限定
③ 間接打撃	角柱体の分割	安山岩	石製盤	石製盤	5	不明瞭	なし	全て分削に失敗	なし
④ 間接打撃	角柱体の分割	鉄製マイナスドライバー	鉄製棒状盤	15	工具先端が分割面に食い込み明瞭	打点付近より放射状に発生	全て成功	形削工程品に限定	
⑤ 間接打撃	角柱体の分割	鉄製マイナスドライバー+チャート碟三角台座	鉄製棒状盤+チャート碟三角台座	10	工具先端が分割面に食い込み明瞭	打点付近より放射状に発生	厚さ8～15mmの全てに失敗	なし	
⑥ 直接打撃	角柱体の分割	扁平碟+鉄製三角台座	扁平碟+鉄製三角台座	10	台座側に線状の打点、工具打撃側にコーン形成	打点付近より放射状に発生	全て成功	形削工程品に限定	

第4表 実験①～⑥

## [角柱体分割方法の実験検証のまとめ]

- ・遺物の観察から導き出された条件に従い実験を行った結果、20~30mm程度の厚みの石核に対し、相対する辺に円錐形、あるいは潰れをともない階段状剥離が顕著な打撃痕の形成は、チャート碟の台座（三角台座）に石核を固定し、扁平碟で打撃する実験②のみで再現された。
- ・工具で打撃する面に、2~4mm程度の線状の打点と、激しい潰れとともに工具の先端形状が食い込む痕跡は、鉄製マイナスドライバーで打撃する実験④で再現された。
- ・台座側に線状の打点、ハンマーで打撃する面にコーン・バルブの形成が認められる痕跡は、実験⑥の方法で再現された。ただし、実験⑥の台座には金属材質のものを使用したが、重要なのは石核に接する台座の形状で、今回の鉄製三角台座の突起部分のように直線状になっているのが、実験結果で得られた台座形状の必要条件である。したがって、三角台座の材質が金属材質である必要はないことをここに明記しておく。
- ・実験②と同じ痕跡は石核の厚みが20~30mm程度ある荒削工程品に、実験①あるいは実験⑥と同じ痕跡は石核の厚みが10~15mm前後の形削工程品に認められる。したがって、下老子笹川遺跡では工程ごとに角柱体の分割方法が異なっていることが推定される。

## B 実験検証 四角柱体の二次加工の実験

## a 実験⑦ 鹿角による間接打撃 写真111・112

条件：固定／1人が石核保持・もう1人が打撃、身振り／間接打撃、工具／先端1mmの鹿角、実験回数／10回、石核の厚さ／15.0mm程度

結果：先端1mmに尖らせた鹿角は滑石に当たったとき全て先端が折れ、剥離ができなかった。滑石よりも鹿角が変形する材質であるため、鹿角自体が変形してしまうという結果を招いた。この結果、緑色凝灰岩でも剥離は不可能であり、この方法は実存しないと考えられる。

## b 実験⑧ 安山岩製石錐による間接打撃 写真113・114

条件：固定／1人が石核保持・もう1人が打撃、身振り／間接打撃、工具／先端1mmの安山岩製石錐、実験回数／15回、石核の厚さ／15.0mm程度

結果：先端1mm程度の石錐を工具として使用した結果、剥離は可能であったが、実験⑨の鉄製アイスピックに比べ剥離しづらかった。また写真114のように打面の幅や形成される剥離痕はランダムで統一性はない。その上、石錐の先端形状と幅は写真114の打面にそのまま認められず、石錐の幅3~4mmの打点が形成される。鉄製アイスピックの打面の工具先端幅や形状が明瞭である（写真116）のと対照的である。実際の四角柱体二次加工品の剥離面には、このような大きな打点の径をもつ剥離痕は認められない。したがって、この方法は実存しないものと考えられる。

## c 実験⑨ 鉄製アイスピックによる間接打撃 写真115~118

条件：固定／1人が石核保持・もう1人が打撃、身振り／間接打撃、工具／先端1mmの鉄製アイスピック、実験回数／15回、石核の厚さ／15.0mm程度

結果：実験は全て成功し、写真116・117・118のようにアイスピックの先端幅の残痕が明瞭である。

先の鹿角と石錐の実験の時に比べ、容易に剥離が可能であった。

比較：実験⑬の押圧剥離とともに、下老子笹川遺跡の四角柱体二次加工で一般的に見られる剥離痕と似た特徴をもつ。四角柱体の二次加工品は打点径が1mmと非常に細い先端の工具を用いていることを先に指摘したが、工具にある程度の硬度が必要でなおかつ先端を尖らせても潰れずに剥離が可能なものは鉄製であろう。この実験と同じ剥離面をもつ遺物として写真55・56・64・74などが挙

げられる。

**d 実験⑩ 木製棒による押圧剥離 写真121・122**

条件：固定／1人が石核保持・もう1人が打撃、身振り／押圧剥離、工具／先端1mmの木製棒、実験回数／15回、石核の厚さ／15.0mm程度

結果：滑石に先端の痕を残すことまでは可能だが、剥離にまではいたらなかった。写真122のように先端は潰れてしまった。滑石でこのような結果なので、緑色凝灰岩での剥離是不可能と推定される。

**e 実験⑪ 鹿角による押圧剥離 写真123・124**

条件：固定／1人が石核保持・もう1人が打撃、身振り／押圧剥離、工具／先端1mmの鹿角、実験回数／15回、石核の厚さ／15.0mm程度

結果：剥離は可能であったが、鉄製アイスピックに比べれば容易ではなかった。先端1mm幅の状態では剥離できず、先の木製棒と同様に先が潰れるのみであった。やがて先端が潰れ気味になり剥離が開始されるものの、写真124のように打点の幅はランダムとなり統一性がなく、3mm程度と幅広い。実際、遺物の剥離面と対比すると、先に観察した四角柱体の二次加工品にはこの実験で形成される打点幅の広い剥離痕は認められない。したがって、この方法は実存しないと考えられる。

**f 実験⑫ 安山岩製石錐押圧剥離 写真125・126**

条件：固定／1人が石核保持・もう1人が打撃、身振り／押圧剥離、工具／先端1mmの安山岩製石錐、実験回数／15回、石核の厚さ／15.0mm程度

結果：滑石に対して安山岩製石錐という石材対石材であるためだろうか、写真126のように打面で工具が滑って固定できず、剥離はできなかった。

**g 実験⑬ 鉄製アイスピック押圧剥離 写真127・128**

条件：固定／1人が石核保持・もう1人が打撃、身振り／押圧剥離、工具／先端1mmの鉄製アイスピック、実験回数／15回、石核の厚さ／15.0mm程度

結果：剥離は全て成功した。写真128のように鉄製アイスピックの先端形状と幅はそのまま打面に残されている。剥離も写真124の鹿角に比べ、一回り大きい剥離痕が形成される。剥離自体は安定した状態で行うことができ、鹿角や安山岩製石錐のように打面で滑って剥離しづらくなるようなことはなかった。

比較：四角柱体の二次加工品の側面剥離痕には打点の径が1mm程度の非常に細い打点で剥離されているものが数多く見られる。先の実験⑨の間接打撃か、この実験の押圧剥離かのいずれかを判定するためには、実験石材を緑色凝灰岩に統一して確認する必要があるため、今回は結論を出すことはできない。たが、鉄製アイスピックと同等の材質と先端形状・先端幅をもつ工具で剥離されていることは実験検証からも推定できる。この実験と同じ剥離面をもつ遺物として、写真55・56・64・74を挙げることができる。

[四角柱体の二次加工の実験検証のまとめ]

・遺物の観察から導き出された条件4に従い実験を行った結果、1mm程度の非常に小さな打点を形成できたのは鉄製アイスピックによる間接打撃および押圧剥離のみであった。しかし、実際の遺物で押圧剥離か間接打撃かを見分けることは困難である。

・安山岩製石錐など、多少硬度のある工具の場合、剥離は可能であるが、先端径1mm程度の非常に小さな打点を形成するには至らなかった。したがって、鉄製アイスピックによる間接打撃および押圧剥離は対照実験からも、より可能性の高い推定と考えることができる。

実験番号	工具の身振り	製作工程の場面	実験工具材質	推定される実際遺物	実験回数	工具痕	フィッシャーの状態	剥離および分割の成功率	実際の遺物の剥離痕と比較
⑦	間接打撃	四角柱体の二次加工	鹿角	鹿角	—	—	—	鹿角先端が変形し、剥離できず	
⑧	間接打撃	四角柱体の二次加工	安山岩	石錐	15	不明瞭	なし	剥離面形成されず	
⑨	間接打撃	四角柱体の二次加工	鉄製アイスピック	鉄製針状工具	15	剥離面に食い込み明瞭	打点直下より放射状に発生	全て成功	四角柱体の二次加工品にあり
⑩	押圧剥離	四角柱体の二次加工	竹串	木製棒	—	—	—	竹串先端が変形し、剥離できず	
⑪	押圧剥離	四角柱体の二次加工	鹿角	鹿角	—	—	—	鹿角先端が変形し、剥離できず	
⑫	押圧剥離	四角柱体の二次加工	安山岩	石錐	15	不明瞭	なし	剥離面形成されず	
⑬	押圧剥離	四角柱体の二次加工	鉄製アイスピック	鉄製針状工具	15	剥離面に食い込み明瞭	打点直下より放射状に発生	全て成功	四角柱体の二次加工品にあり

第5表 実験⑦～⑬

#### (4) 工房出土の剥片分類と観察

ここでは前項で観察した角柱体や石核等の管玉未成品が出土した工房で、出土した剥片類を観察する。(3)において、角柱体の分割方法と四角柱体の二次加工方法が、工具レベル・身振りレベル双方で、実験検証から既に具体的になっている。この実験検証と遺物照合の結果を踏まえて剥片を分類し、剥片側の観察・分析からも前項で推定した工具の種類と身振りの推定を補強するのが本項の目的である。

##### A 剥片の分類と実験剥離面との照合

まず工房より出土した剥片の分類を行う。白い紙の上に剥片類を広げ、ピンセットで分類する。その分類の基準は打点付近に残された痕跡および剥片サイズの2点の属性である。作業の結果、以下の剥片a・剥片b・剥片c 1・剥片c 2に分類された。その属性内容を説明する。

・剥片a（写真129・130） 打面の厚みが2～3mm程度あり、打点が明瞭である。コーンは顕著に発達していないが、ゆるやかな盛り上がりは認められる。そして打点の径が3mm程度と大きい。長さは20mm程度で、厚みは統一性がないが5mmの範囲に収まる。剥片のなかで最も大形の部類である。

・剥片b（写真131・132） 線状の打点で、工具の先端が分割面に食い込む様子が明瞭。剥片サイズには幅がある。

・剥片c 1（写真133・134） 点状に近い打点で、打点径が1mm前後と極めて小さい。しかし厚みは3mm程度あり、打面厚みも剥片c 2に比べ厚い。

・剥片c 2（写真135・136） 剥片c 1の打点と同じ特徴をもちながらも、打面厚・器体厚で1mm程度の小さな剥片。大きさは小指の爪程度である。

以上の分類を(3)の各実験で生じた剥離面と比較すると、剥片bは実験⑥の写真100・102の鉄製三角座側で生じる打点の様子と類似する。実験④の写真106・108の打点は工具の先端が食い込む様子が顕著であるため、剥片bの打点の様子とは異なると現段階では理解しておきたい。

剥片c 1とc 2は実験⑨の写真116～118と実験⑬の写真126・128に類似する。1mm程度の細い打点

の径が特徴的である。

剥片 a は、実験では生じていない剥離面であるので、角柱体の分割以前の作業、つまり石核整形時に大きくかたちを整える加工に生じる剥片であると推定される。

このように、出土剥片のうち、剥片 b と剥片 c 1 と剥片 c 2 は前項で行った各実験のうち、実験⑥・実験⑨・実験⑩の剥離面と同様の特徴をもっているため、これら該当する実験と同様の製作方法の存在が剥片からも補強された。

#### B 剥片 1 枚あたりの重量にみる工具・ハンマーの身振りの推定

次に、1 点あたりの平均重量を計算した。この作業の目的は先の剥片 a ~ c 2 の平均重量を測定することである。これら剥片の重量に順序があるのかどうかを検討する。次に、それが直接・間接・押圧の順で小さくなる打撃エネルギーと相関関係にあるのかを考えてみたい。

計測と統計処理の結果、緑色凝灰岩の剥片 a は 1.08g、剥片 b は 0.39g、剥片 c 1 は 0.27g、剥片 c 2 は 0.06g と差が認められる。この差は工房単位でみても同じ傾向が見出せる（第 6 表）。鉄石英の場合も同様で、剥片 a が 1.60g、剥片 b が 0.57g、剥片 c 1 が 0.26g、剥片 c 2 が 0.05g であった（第 7 表）。緑色凝灰岩の平均重量とも大差なく、緑色凝灰岩と同様に、剥片 a > 剥片 b > 剥片 c 1 > 剥片 c 2 の順である。この重量差について考えてみたい。海外の剥離実験研究を紹介した山田・吉村による、直接打撃・間接打撃・押圧剥離という剥離技術は打撃エネルギーの差としての順序関係にあることが指摘されており、その差は、剥離された剥片の打面の厚さと重量に表れるという（山田・吉村 1989、Dibble & Pelcin 1995）。つまり、直接打撃・間接打撃・押圧剥離の三つの剥離技術の結果は、剥片の打面の厚さと重量の差となって表れるということである。重量のより重い方から軽い方へと順序関係にある下老子笹川遺跡の剥片 a・剥片 b・剥片 c 1・剥片 c 2 は、打面の厚さにおいても同じ順序に並ぶ。したがって、Dibble & Pelcin の実験研究（Dibble & Pelcin 1995）を根拠にすれば、この順序は直接打撃・間接打撃・押圧剥離の剥離技術の違いと推定できる。緑色凝灰岩の剥片を例にとれば、剥片 a は 1.08g、剥片 b は 0.39g、剥片 c 1 は 0.27g、剥片 c 2 は 0.06g という平均重量を、数値的に剥片 a > 剥片 b・剥片 c 1 > 剥片 c 2 という順序にまとめることができる。したがって、剥片 a = 直接打撃、剥片 b・c 1 = 間接打撃、剥片 c 2 = 押圧剥離という身振りの違いを推定できよう。

剥片番号	地区	建物番号	区	石材	剥片類型		a類	b類	c 1類	c 2類				
					実験との比較で対応する番号		実験⑥	実験⑨⑩	実験⑩					
59	B 5	S I 10(新)	A 区	緑色凝灰岩	点数	7	12	15	48					
					重量 g	6.0	2.9	4.2	3.3					
					g/点	0.8571429	0.2416667	0.28	0.06875					
61	B 5	S I 10(新)	C 区	緑色凝灰岩	点数	7	5	9	29					
					重量 g	4.3	1.2	1.8	1.1					
					g/点	0.6142857	0.24	0.2	0.037931					
70	B 5	S I 11	A 区	緑色凝灰岩	点数	9	2	3	6					
					重量 g	8.6	2.1	1.0	0.5					
					g/点	0.9555556	1.05	0.3333333	0.0833333					
86	B 5	S I 10(旧)	A 区	緑色凝灰岩	点数	5	7	8	9					
					重量 g	10.4	2.7	2.4	0.7					
					g/点	2.08	0.3857143	0.3	0.0777778					
147	B 6	S I 21	B 区	緑色凝灰岩	点数	0	4	2	9					
					重量 g	0	0.9	0.4	0.6					
					g/点	-	0.225	0.2	0.0666667					
148	B 6	S I 21	C 区	緑色凝灰岩	点数	1	2	3	10					
					重量 g	2	2.8	0.8	0.5					
					g/点	2	1.4	0.2666667	0.05					
					点数	29	32	40	111					
					重量 g	31.3	12.6	10.6	6.7					
					g/点	1.0793103	0.39375	0.265	0.0603604					
					g/点(第二位)	1.08	0.39	0.27	0.06					

第 6 表 剥片類型別工房単位の剥片点数・重量測定（緑色凝灰岩）

剥片番号	地区	遺構番号	区	石材	剥片類型 実験との比較で対応する番号	a類	b類	c 1類	c 2類
						実験⑥	実験⑨⑩	実験⑨⑪	
1426	B 5	S I 10(新)	B区	鉄石英	点数	6	5	2	22
					重量g	15.7	1.5	0.4	1.0
					g／点	2.6166667	0.3	0.2	0.0454545
1427	B 5	S I 10(新)	C区	鉄石英	点数	12	11	12	19
					重量g	20.4	7.6	3.8	1.1
					g／点	1.7	0.6909091	0.3166667	0.0578947
1447	B 5	S I 11	B区	鉄石英	点数	0	0	2	0
					重量g	0	0	0.1	0
					g／点	—	—	0.05	—
1450	B 5	S I 10(旧)	A区	鉄石英	点数	7	0	1	1
					重量g	3.9	0	0.2	0.0
					g／点	0.5571429	—	0.2	0.0
合計・平均				鉄石英	点数	25	16	17	42
					重量g	40	9.1	4.5	2.1
					g／点	1.6	0.56875	0.2647059	0.05
					g／点(第二位)	1.60	0.57	0.26	0.05

第7表 剥片類型別工房単位の剥片点数・重量測定(鉄石英)

## (5) まとめ

(2) で提示した遺物の剥離面観察から得られた条件を復元するために、各種分析を行ってきた。その結果をここでまとめるとともに、分割技術の系統性の問題や、玉作り工房から出土した鉄製工具の様相について触れておきたい。

## A 工具と分割方法・二次加工方法の復元

角柱体の分割方法には3つの方法が推定された。1つはいわゆる両極打撃の要領で、石製の三角台座に石核を固定し、石製ハンマーの直接打撃で分割する方法(実験②)である。この方法は石核の厚みが20~30mm程度の場合に認められる方法である。2つめは1つめと同じく両極打撃の要領ではあるが、鋭角な突起をもつ断面三角形状の台座に石核を固定し石製ハンマーで直接打撃する方法(実験⑥)である。この方法は石核の厚みが10~15mm程度のものに認められ、20~30mm程度の石核には認められない。実験では鉄製の三角台座を用いたが、鉄製である必要はないことは先に触れたとおりであり、石核に接する箇所が一直線状の突起であることが必要条件である。3つめは先端形状がマイナスドライバー状の鉄製工具を用い、間接打撃で分割する方法(実験④)である。写真47のような場合は、実験④と打点付近の特徴が似ているため、一部このような方法もあることを推定した。ただし、この方法は遺跡内において一般的な方法ではない。

四角柱体の二次加工方法は、先端が針状の鉄製工具を用い、押圧剥離かあるいは間接打撃で剥離することが推定された。

これらの角柱体未成品の観察および実験検証で得られた結果と剥片分類の結果を、打点周囲の特徴や剥片サイズを手がかりに照合すると第8表のようにまとめられる。

		推定される作業内容	作業の結果生じる剥片 (剥片の分類)
作業1	石核形状の整形作業	石核縁辺の整形作業(通常の直接打撃)	剥片a
作業2	角柱体の分割	断面三角台座+扁平礫の直接打撃、鉄製錐による間接打撃	剥片b
作業3	四角柱体の二次加工	鉄製棒状・針状工具による間接打撃・押圧剥離	剥片c 1・剥片c 2

第8表 推定される下老子笠川遺跡の管玉製作作業と生じる剥片の種類

### B 角柱体分割方法の技術的系統性について

上記のなかで、特に四角柱体獲得のための分割方法は、技術的な系統性についても重要な問題を含んでいる。弥生中期に北陸地方で盛んに行われた管玉の四角柱体の獲得方法である施溝分割は、溝にタガネを挿し込んで分割する方法ではないことが、分割面の痕跡の観察で既に判明している（馬場・宮田2004）。その後、弥生中期の施溝分割の実態解明のために実験を行い、検討を加えた結果、石核の施溝部を断面三角形状の台座に固定し、反対面を石製ハンマーの平らな部分で打撃する方法を推定した（別稿準備中）。この弥生中期の施溝分割の方法が、今回の下老子笠川遺跡の角柱体分割方法と極めて似ていることは技術的な系統性を考える上で重要な材料となる。つまり、両極打撃同様に、両側の面から圧縮の力（工具側からの打撃と台座側の跳ね返り力の2つ）を利用して、平坦面を形成する分割を行うという点、そして三角台座を用いるという点の2点は、施溝が弥生後期に消滅しても継続する技術的要素なのである。ただし、三角台座自体も弥生中期は施溝よりも長い台座を用い、全ての施溝部に台座が接するように固定されているが、下老子笠川遺跡では石核の長軸よりも短い3~4mm程度しか石核と接することのできないような台座に変化する点も注目しておきたい。ただいずれにしろ、先の共通点から、弥生中期の四角柱体獲得方法である施溝分割方法と、今回下老子笠川遺跡で復元された弥生後期後半の角柱体の分割方法には、技術的系統関係を見出すことができる。

なお、分割する面の両側から圧縮の力を加えるというのは、玉作りだけの方法ではなく、モザイク画のタイルの獲得も同じ原理で行われている。第5図と第6図はモザイク画に使われるタイルの獲得方法についての手順が示されているが、特に第6図の鉄製ハンマーの先端が線状に尖り、対する台座側も鉄斧の先のように断面三角形の台座であることがわかる。この方法はモザイク画のタイルに必要なフラットな面を獲得するのに適した方法で、「石割りの方法」として広く世界に普及している方法であることがわかる（上哲男ほか1981）。管玉の四角柱体の獲得方法が、打撃工具と台座が異なるとは言え、同じ原理で行われていることは、玉作りの技術的系統を考える上で示唆的である。

### C 鉄製工具について

最後に、今回推定した鉄製工具について、類例を踏まえながら比較検討をしてみたい。第7図は石川県と福井県の弥生後期後半～末の遺跡の玉作り工房から出土した鉄製工具である。野島・河野両氏は、鉄製針状工具（第7図-41~62）の出現は弥生後期後半に、鍛造技術の革新的向上に伴って細い鉄棒状の鍛造加工が容易となったことを示す遺物として評価している（野島・河野2001）。このように、北陸地方の鉄製工具の製作技術的な向上とともに鉄製針状工具が出現する、ということをまず理解することができる。そうすると、これらの遺跡と凡そ近い時期である下老子笠川遺跡の、管玉に残された剥離面から推定された鉄製工具の存在は周辺地域の状況とも適合する結果と評価できる。下老子笠川遺跡の四角柱体二次加工方法の工具が、野島・河野氏のいう鉄製棒状工具（第7図-24~40）なのか、それとも鉄製針状工具のいずれかを決めるには、剥離面の打点の径のみしか情報を留めない下老子笠川遺跡の遺物からは難しい。この場合、野島・河野氏が実践するように各工房の管玉未成品の工程別組成と鉄製工具組成を比べることで、鉄製工具の機能を推定していく方法が現段階では有効と思われる（第9表）。野島・河野氏は、鉄製板状盤（第8図）や棒状盤（第7図-16~23）は分割や二次加工工具として、鉄製棒状工具は穿孔工程における下穴加工に使用され、鉄製針状工具が貫孔工程に使用される工具と推定している（野島・河野2001）。

筆者は実際遺物の鉄製工具の先端径や幅との適合性より、野島・河野氏の鉄製棒状盤を「角柱体の分割」工具として、鉄製棒状工具あるいは鉄製針状工具を調整剥離のための「四角柱体の二次加工」

工具として推定し、鉄製棒状工具と鉄製針状工具をめぐっては野島・河野氏の推定とは違う結果を導くことになった。

#### (6) おわりに

下老子篠川遺跡における角柱体の分割方法には、いわゆる両極打撃の原理で分割が行われる一方で、断面三角形の台座を使用するという新たな発見があった。また、四角柱体の二次加工には鉄製工具が使用されていることが推定された。施溝分割方法が一般的である弥生中期の玉作り技法からの継続要素として、両極打撃の原理が認められるという点が存在する一方で、角柱体分割時の台座の形状や種類、そして四角柱体の二次加工に鉄製工具が使用されるという変化要素も明瞭になった。今後、鉄製工具が遺物として出土していない場合でも、剥離痕跡より製作工具や分割方法・二次加工方法を推定していく方法は有効な手段であると考える。

#### 参考文献

- 上哲男ほか 1981「第3章モザイク」『絵画技法大系第10巻 その他技法II』 48~57頁 三麗社
- 角張淳一 2003「剥片剥離技術の検討および石器実測図の評価」『平成14年度愛知県埋蔵文化財センター年報』
- 河野一隆 1997「玉作と鉄器文化—京都府奈良岡遺跡の遺構・遺物の検討から—」『東日本における鉄器文化の受容と展開』第4回鉄器文化研究集会, 167~191頁
- 竹岡俊樹 1988『石器研究法』言叢社
- 富山正明 1997「林・藤島遺跡（泉田地区）出土の鉄製品－弥生後期の玉作り工具を中心に－」『東日本における鉄器文化の受容と展開』第4回鉄器文化研究集会, 167~191頁
- 中野山紀子 1998「下老子篠川遺跡の管玉について」『富山考古学研究』創刊号, 3~6頁 富山県文化振興財团
- 中野山紀子 1999「富山県の管玉製作について－弥生後期の遺跡を中心に－」『富山考古学研究』第2号, 111~114頁 富山県文化振興財团
- 中野山紀子 2000「玉作り作業空間の検討－下老子篠川遺跡の事例より－」『富山考古学研究』第3号, 27~32頁 富山県文化振興財团
- 野島永・河野一隆 2001「玉と鉄－弥生時代玉作り技術と交易－」『古代文化』53~4, 37~51頁 古代學協会
- 馬場伸一郎・宮田明 2004「緑色闘灰岩製管玉の施溝分割技術について（1）－石川県八日市地方遺跡の事例分析－」『アルカ研究論集』第2号, 57~64頁
- 久田正弘・馬場伸一郎 2003「石川県羽咋市東の場タケノハナ遺跡における管玉加工技術と角柱体の形成」『アルカ研究論集』第1号, 67~81頁
- 山田しょう・志村宗昭 1989「石器の破壊力学1・2」『旧石器考古学』38・39
- Harold L.Dibble&Andrew Pelsin 1995 The Effect of Hammer Mass and Velocity on Flake Mass *Journal of Archaeological Science* 22: 429~439

# 石割り作業

## ■大きな石から小さな石へ

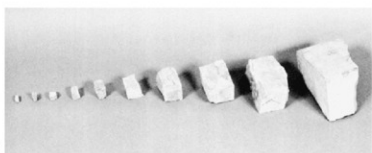
大きな石を割る場合は、重くて鋭い角度の刃の石割り台とハンマーを使用し、小さな石の場合には、軽くて鋭い刃の石割り台とハンマーを使用するのが原則です。石工は、こやす台という道具を使って大石をいとも簡単に割ります。ここでは、普通のハンマーと石割り用ハンマーの大、小2丁を使った石の割り方を紹介します。



ハンマーの頭の角と石割り台の角が、石を間に置いて一直線上にくるように打ちおろします。大きな石でも思いもよらぬほど簡単に割れるものです。



小さな石を割るとときは、小さなハンマーを使用します。



大きな石から順に半分に割ってピースをつくります。

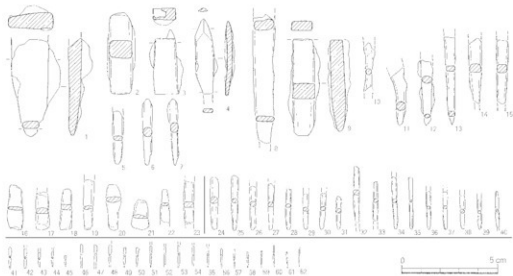
第5図 モザイク画のタイルの分割方法 その1 (1981『絵画技法全集第10巻』三麗社より)



小さな石の場合も大きい石を割る場合と同じです。

河底に落ちているような丸みのある石は、ハンマーのとがっていない方の頭を使いましょう。

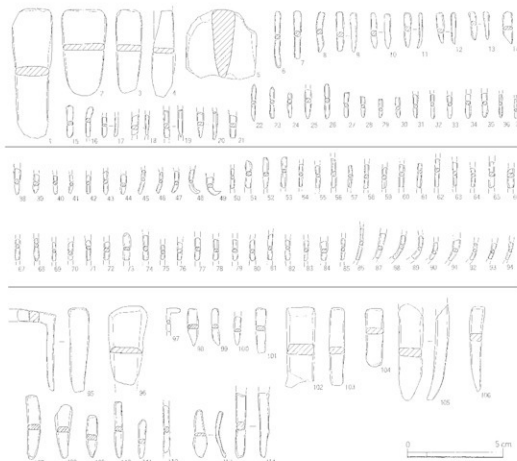
第6図 モザイク画のタイルの分割方法 その2 (1981『絵画技法大系第10巻』三麗社より)



第7図 石川・福井県の玉作り工房から出土した鉄製工具 (野島・河野 2001)

石川県塙崎遺跡: 1~15 福井県林・藤島遺跡: 16~62

棒状鋸: 16~23 棒状工具: 24~40 針状工具: 41~62



1~94, SH401, 95, SH408-32, 96, SH417, 97~100, SH20, 101, SH31  
102~103, SH134, 104~105, SH37, 106~112, SH46, 113~114, SH162

第8図 京都府奈具岡遺跡の水晶玉作り工房から出土した鉄製工具（野島・河野2001）

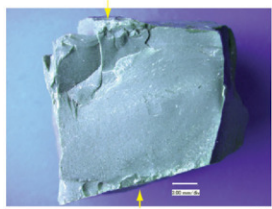
横：5 板状鑿：1~4・96・102~105 棒状鑿：7~21・98~101・106~111・113  
棒状工具：22~35・38~94・97~112 針状工具：36~37

堅穴造構名	原石	分割工程	整形工程	穿孔工程	成品	楔	板状鑿	棒状鑿	棒状工具	斜状工具	その他	類型
奈具岡SH401	7	702	387	127	3	1	4	15	71	2		A
奈具岡SH434	2	455	151	93	5		2					A
奈具岡SH446		336	267	22				6	1			A
奈具岡SH420	6	362	31	10	1			3	1		L字棒状品1	A
奈具岡SH437		35	3				2					A
奈具岡SH408-32	1	51	24								L字固定具1	B
奈具岡SH117		2					1					C
奈具岡SH462							1	1				D

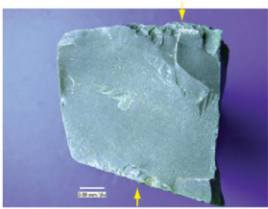
第9表 京都府奈具岡遺跡の水晶玉作り工房から出土した鉄製工具の組成  
(野島・河野2001)

第10表 荒割工程属性表

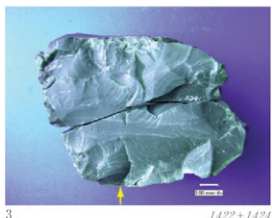
第11表 形割工程属性表



1 1103



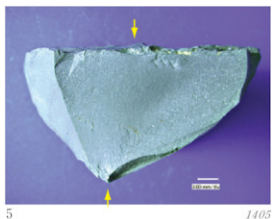
2 1104



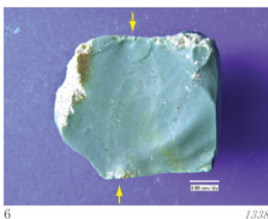
3 1422+1424



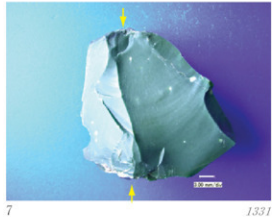
4 1422+1423+1424



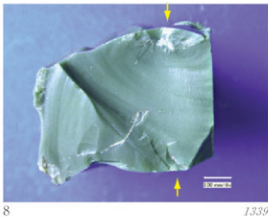
5 1405



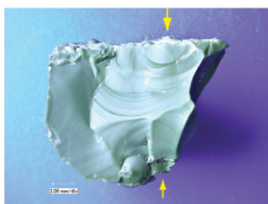
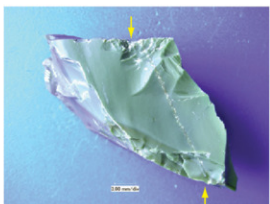
6 1338



7 1331



8 1339

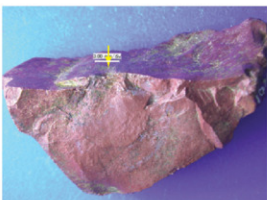


下老子苞川遺跡 荒割工程写真図版 2



17

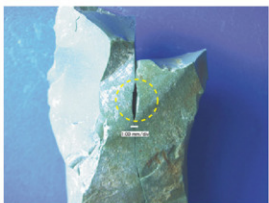
I207



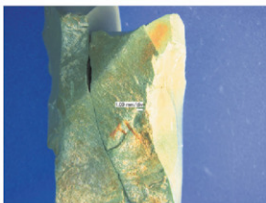
18

I206

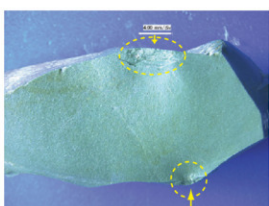
下老子箇川遺跡 荒割工程写真図版 3



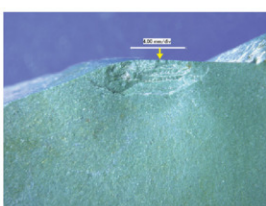
2958 + 2959



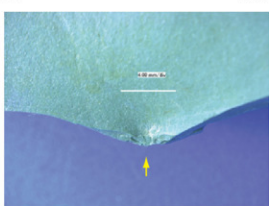
2958 + 2959



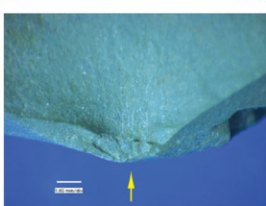
2958



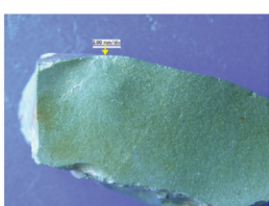
2958



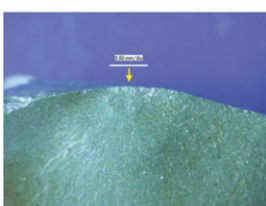
2958



2958

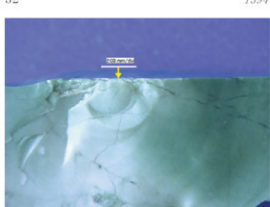
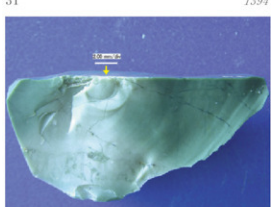
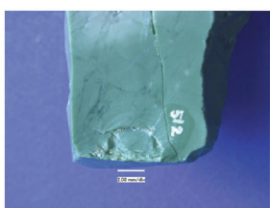
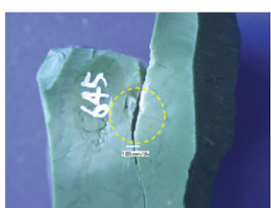
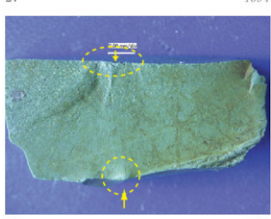
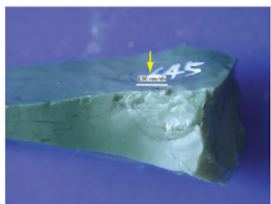


2959

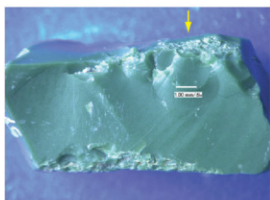


2959

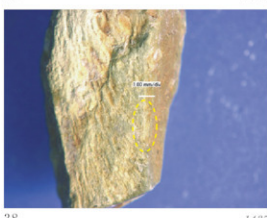
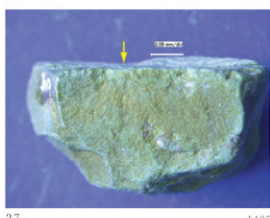
下老子笹川遺跡 形割工程写真図版1



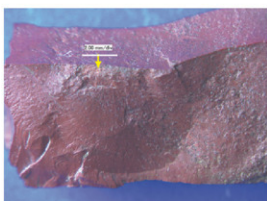
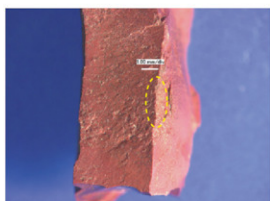
下老子鉢川遺跡 形割工程写真図版 2



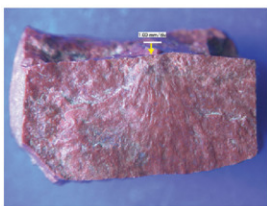
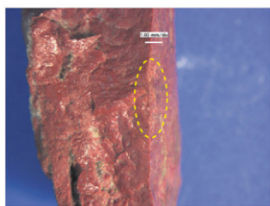
1123



1435

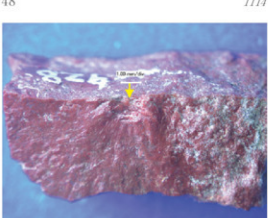
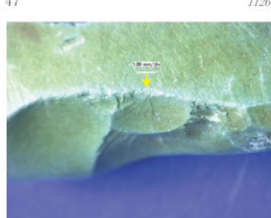
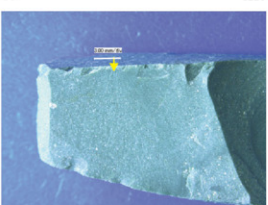
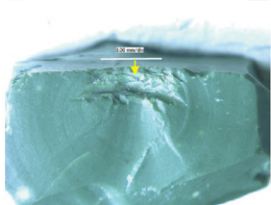
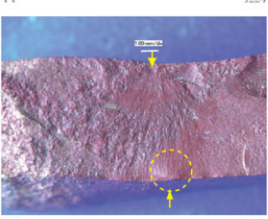
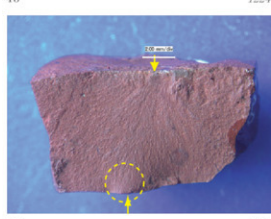
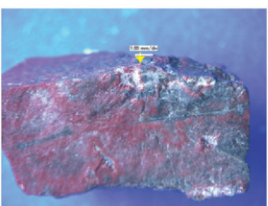
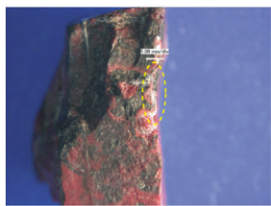


1226

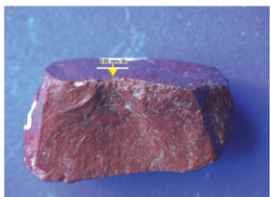


1229

下老子菴川遺跡 形割工程写真図版 3

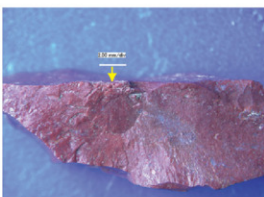


下老子笹川遺跡 形割工程写真図版 4



51

1238



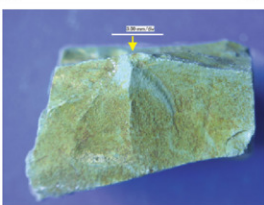
52

1236



53

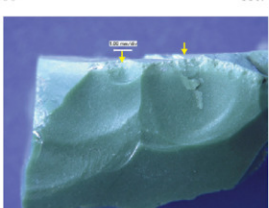
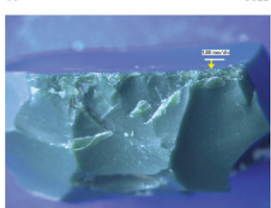
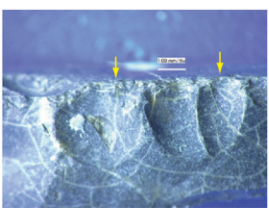
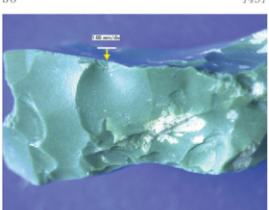
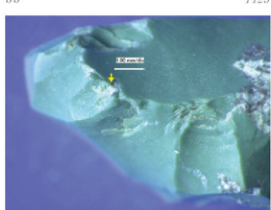
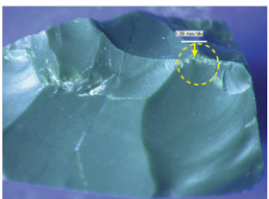
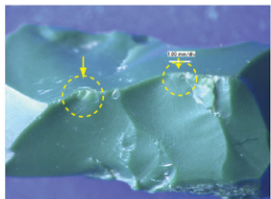
1446



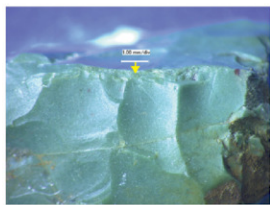
54

1450

下老子笠川遺跡 形割工程写真図版 5



下老子笛川遺跡 形割工程写真図版 6



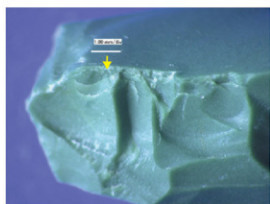
63

1138



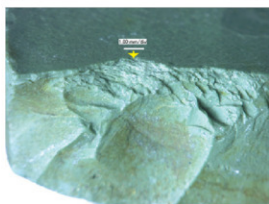
64

1705



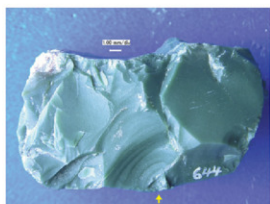
65

1139



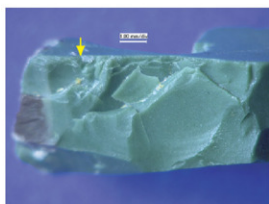
66

1134



67

1340



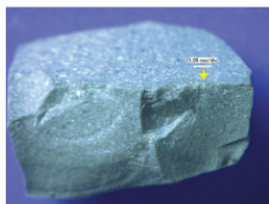
68

1704



69

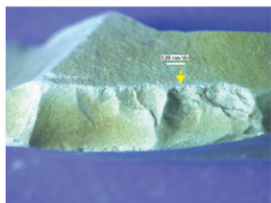
1437



70

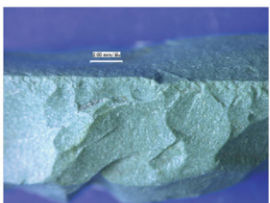
1445

下老子菴川遺跡 形割工程写真図版 7



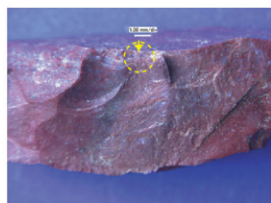
71

1440



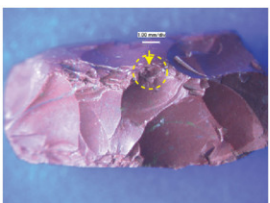
72

1124



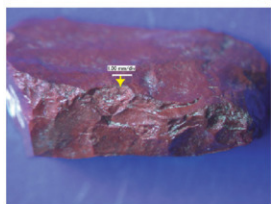
73

1236



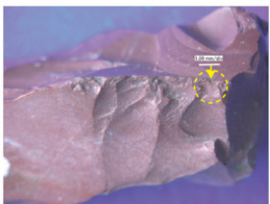
74

1261



75

1238



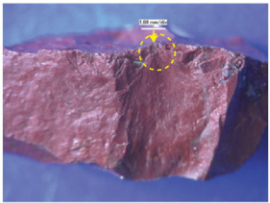
76

1373



77

1375



78

1253

下老子笛川遺跡 形割工程写真図版 8

※実験滑石の表面の縞目は節理とは無関係の鋸跡

※実験資料の置き方は上辺が工具打撃面・下辺が台座側で統一



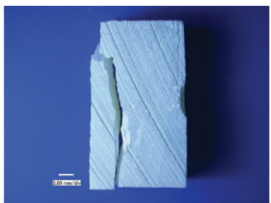
79

実験①



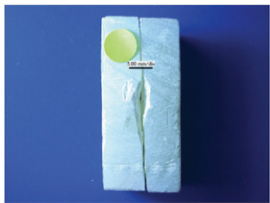
83

実験②



80

実験①-1 工具打撃面



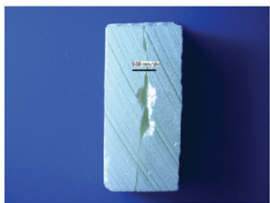
84

実験②-1 工具打撃面



81

実験①-2 工具打撃面



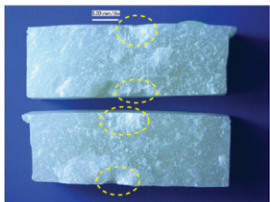
85

実験②-1 台座側



82

実験①-2



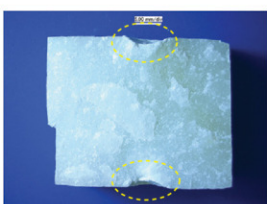
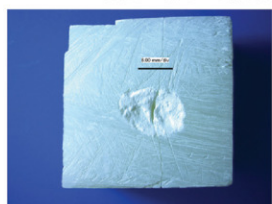
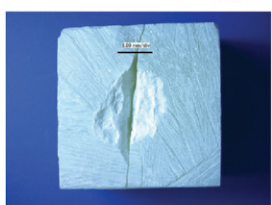
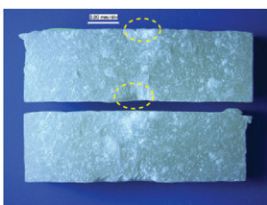
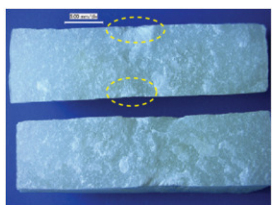
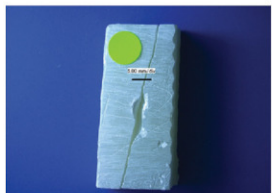
86

実験②-1 上辺打撃面 下辺台座側

## 滑石実験写真図版 1

※実験番号の枝番は実験資料が別であることを示す

※実験資料の置き方は上辺が工具打撃面・下辺が台座側で統一



滑石実験写真図版 2

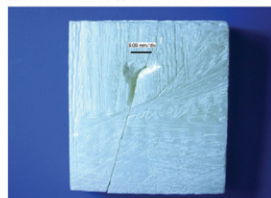
※実験番号の枝番は実験資料が別であることを示す

※実験資料の置き方は上辺が工具打撃面・下辺が台座側で統一



95

実験③



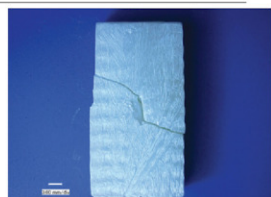
96

実験③失敗品



97

実験⑤



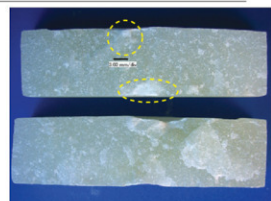
98

実験⑤失敗品



99

実験⑥(底部を練り消して固定)



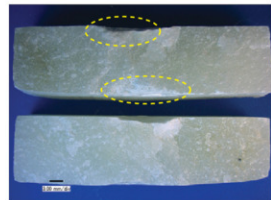
100

実験⑥-1



101

実験⑥-2 台座側

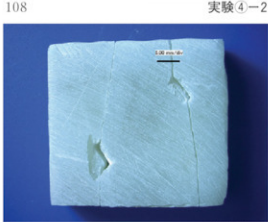
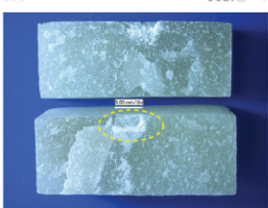
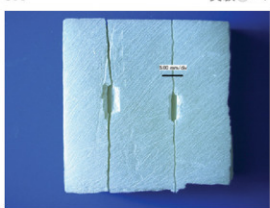
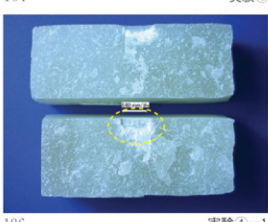
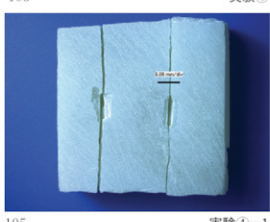
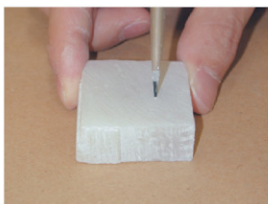


102

実験⑥-2

## 滑石実験写真図版 3

※実験番号の枝番は実験資料が別であることを示す



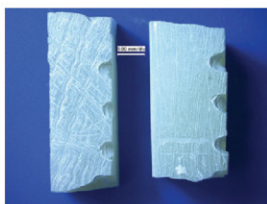
滑石実験写真図版 4

\*実験番号の枝番は実験資料が別であることを示す



111

実験⑦



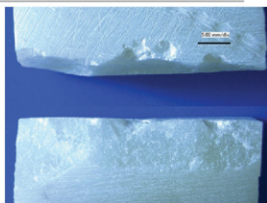
112

実験⑦



113

実験⑧



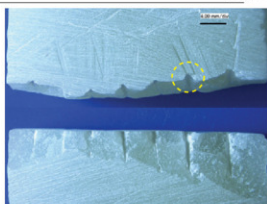
114

実験⑧



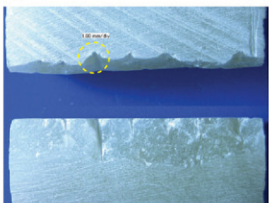
115

実験⑨



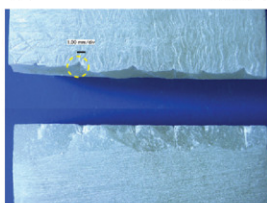
116

実験⑨-1



117

実験⑨-2

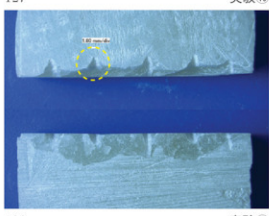
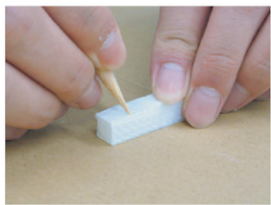


118

実験⑨-3

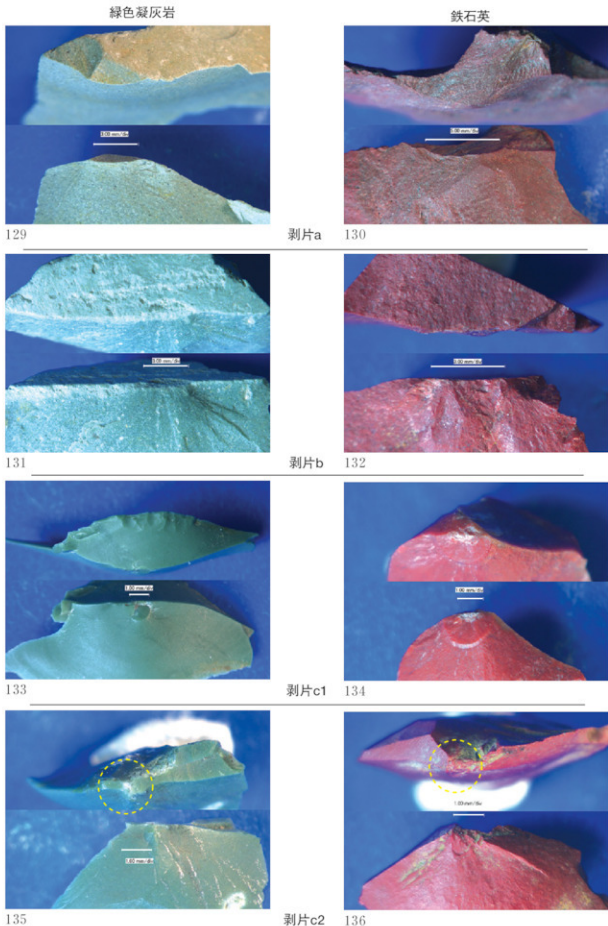
滑石実験写真図版 5

※実験番号の枝番は実験資料が別であることを示す



滑石実験写真図版 6

※実験番号の枝番は実験資料が別であることを示す



下老子釜川遺跡出土剥片の分類

## 4 プラント・オパール分析

株式会社古環境研究所

### (1) はじめに

植物珪酸体は、ガラスの主成分である珪酸 ( $\text{SiO}_2$ ) が植物の細胞内に蓄積したものであり、植物が枯死した後も微化石（プラント・オパール）となって土壤中に半永久的に残っている。プラント・オパール（植物珪酸体）分析は、この微化石を遺跡土壤などから検出し、その組成や量を明らかにする方法であり、イネをはじめとするイネ科栽培植物の同定および古植生・古環境の推定などに応用されている。

富山県高岡市に所在する下老子籠川遺跡の発掘調査では、調査区の広範囲にわたって黒色ないし黒褐色粘土層の堆積がみられ、古代の水田耕作層ではないかと推定された。そこで、同層における稲作の探査を目的に平成8年度・9年度にわたってプラント・オパール分析を行うことになった。

### (2) 分析法

プラント・オパールの抽出と定量は、「プラント・オパール定量分析法（藤原、1976）」をもとに、次の手順で行った。

- 1) 試料土の絶乾（105°C・24時間）
- 2) 試料土約1gを秤量、ガラスピーブ添加（直径約40μm、約0.02g）  
※電子分析天秤により1万分の1gの精度で秤量
- 3) 電気炉灰化法による脱有機物処理
- 4) 超音波による分散（300W・42KHz・10分間）
- 5) 沈底法による微粒子（20μm以下）除去、乾燥
- 6) 封入剤（オイキット）中に分散、プレバラート作成
- 7) 檢鏡・計数

検鏡は、おもにイネ科植物の機動細胞に由来するプラント・オパール（以下、プラント・オパールと略す）を同定の対象とし、400倍の偏光顕微鏡下で行った。計数は、ガラスピーブ個数が400以上になるまで行った。これはほぼプレバラート1枚分の精査に相当する。

検鏡結果は、計数值を試料1g中のプラント・オパール個数（試料1gあたりのガラスピーブ個数に、計数された植物珪酸体とガラスピーブの個数の比率を乗じて求める）に換算して示した。また、主な分類群（イネ、キビ族、ヨシ属、ウシクサ族、タケ亜科）については、この値に試料の仮比重（1.0と仮定）と各植物の換算係数（機動細胞珪酸体1個あたりの植物体乾重、単位： $10^{-5}\text{ g}$ ）を乗じて、単位面積で層厚1cmあたりの植物体生産量を算出した。換算係数は、イネは赤米、キビ族はヒエ、ヨシ属はヨシ、ウシクサ族はスキ、タケ亜科については数種の平均値を用いた。その値は、それぞれ2.94（種実重は1.03）、8.40、6.31、1.24、0.48である（杉山・藤原、1987）。

### (3) 平成8年度のプラント・オパール分析

#### A 試料

調査地点は、A 7地区、A 8地区、B 1地区、B 2地区、B 3地区、B 4地区的各調査区に掘られた合計24箇所のトレンチである。その内訳は、A 7地区で2地点（№1、№2）、A 8地区で2地点（№3、№4）、B 1地区で5地点（№5～№9）、B 2地区で4地点（№10～№13）、B 3地区で5地点（№14～№18）、B 4地区で6地点（№19～№24）である（第1図）。

調査区の土層は大きくⅠ層～Ⅴ層に分層された。Ⅰ層は現水田、Ⅱ層は黒褐色シルト、Ⅲ層は暗灰黄色シルト、Ⅳ層は黒色～黒褐色粘土（ただしB 4 地区では有機質が強くなる）、Ⅴ層は灰色シルト（ところによりオリーブ色あるいは黄色味がかる）である。分析試料の一覧を第1表に示す。

また、発掘調査の進捗に従い、古墳時代中期とみられる水田跡が広範囲にわたって検出された。そこで、これらの遺構における稲作の検証、および水田面と畔における密度の比較を目的にプランツ・オバール分析を行うことになった。調査地点は、B 1 地区の№25地点（X195, Y205）と№26地点（X205, Y200）、B 2 地区の№27地点（X200, Y237）と№28地点（X215, Y237）、B 3 地区の№29地点（X230, Y235）と№30地点（X245, Y237）の6 地点である。分析試料は、それぞれにおいて田面と畔より採取された。

第1表 分析試料一覧

調査地区	地点	試料
A 7 地区	№. 1	Ⅲ b 層、Ⅳ 層、Ⅴ 层
	№. 2	Ⅲ b 層、Ⅳ 层、Ⅴ 层
A 8 地区	№. 3	Ⅳ 层、Ⅴ 层
	№. 4	Ⅲ 层、Ⅳ 层、Ⅴ 层
B 1 地区	№. 5	Ⅱ 层、Ⅲ 层、Ⅳ 层、Ⅴ 层
	№. 6	Ⅱ 层、Ⅲ a 层、Ⅳ 层、Ⅴ 层
	№. 7	Ⅲ b 层、Ⅳ 层、Ⅴ 层
	№. 8	Ⅲ a 层、Ⅲ b 层、Ⅳ 层、Ⅴ 层
	№. 9	Ⅲ a 层、Ⅳ 层、Ⅴ 层
B 2 地区	№.10	Ⅱ 层、Ⅲ a 层、Ⅲ b 层、Ⅳ 层、Ⅴ 层
	№.11	Ⅲ b 层、Ⅳ 层、Ⅴ 层
	№.12	Ⅲ b 层、Ⅳ 层、Ⅴ 层
	№.13	Ⅱ 层、Ⅲ a 层、Ⅳ 层、Ⅴ 层
B 3 地区	№.14	Ⅲ 层、Ⅳ 层、Ⅴ 层
	№.15	Ⅱ 层、Ⅲ 层、Ⅳ 层、Ⅴ 层
	№.16	Ⅲ 层、Ⅳ 层、Ⅴ 层
	№.17	Ⅲ 层、Ⅳ 层、Ⅴ 层
	№.18	Ⅲ 层、Ⅳ 层、Ⅴ 层
B 4 地区	№.19	Ⅲ a 层、Ⅳ 层、Ⅴ 层
	№.20	Ⅳ 层、Ⅴ 层
	№.21	Ⅲ b 层、Ⅳ 层、Ⅴ 层
	№.22	Ⅳ 层、Ⅴ 层
	№.23	Ⅱ 层、Ⅳ 层
	№.24	Ⅰ 层、Ⅱ a 层、Ⅱ b 层、Ⅲ 层、Ⅳ 层、Ⅴ 层

## B 分析結果

採取された試料すべてについて分析を行った結果、本遺跡より検出されたプランツ・オバールのうち同定されたものは、イネ、ヨシ属、ウシクサ族、シバ属、サヤスカグサ属、タケ亜科の各分類群である。これらについて定量を行い、その結果を第3表に示した。なお、おもな分類群については顕微鏡写真を示した。

以下、土層別にプランツ・オバールの検出状況を記す。

### a Ⅰ層

№24地点のみで試料が採取された。分析の結果、イネ、ヨシ属、ウシクサ族、タケ亜科のプランツ・オバールが検出された。このうち、イネは非常に高い密度である。他の分類群についてはいずれもやや低い密度である。

**b II層**

No.5, No.6, No.10, No.13, No.15, No.23, No.24の7地点で試料が採取された。分析の結果、各試料とともにイネ、タケア科のプラント・オバールが検出された。イネはNo.13地点を除くいずれも高い密度である。ヨシ属はNo.15を除く各地点より検出された。No.10地点では非常に高い密度であり、No.5, No.6地点でも高い密度である。タケア科は各地点ともやや低い密度である。なお、No.23地点ではシバ属が認められたが、低い密度である。

**c III層**

No.1, No.2, No.4～No.19, No.21, No.24の計20地点において試料が採取された。分析の結果、イネはNo.4, No.6, No.9, No.15, No.16, No.18, No.19の各地点より検出された。No.9地点とNo.18地点では比較的高い密度である。ヨシ属はNo.2, No.4, No.6, No.7, No.9, No.17の各地点より検出されたが、いずれも低い密度である。タケア科はNo.2, No.6, No.7, No.8, No.9, No.10, No.11, No.12, No.13, No.16, No.17, No.18, No.19の各地点より検出された。密度は全体にやや低い値である。なお、No.4地点においてシバ属が検出されたが低密度である。ウシクサ族はいずれの試料からも検出されなかった。

**d IV層**

24地点すべてにおいて試料が採取された。分析の結果、イネはすべての地点より検出された。No.4, No.8, No.9, No.11, No.14, No.16, No.17, No.20, No.21の各地点では高い密度である。ヨシ属はNo.1～No.4, No.6～No.10, No.12～No.14, No.16, No.17, No.19～No.21, No.23, No.24の各地点で検出された。No.1, No.2, No.8, No.16, No.21では高い密度である。ウシクサ族はNo.1, No.7～No.9, No.11, No.15, No.17, No.20の各地点より検出されたがいずれも低密度である。タケア科はNo.14, No.18, No.24を除く各地点より検出された。ただし、密度はいずれも低い値である。なお、No.1地点ではサヤヌカグサ属が低密度ながら検出されたのでここに記しておく。シバ属は検出されなかった。

**e V層**

No.23地点を除く計23地点より試料が採取された。分析の結果、イネはNo.7, No.11の2地点で、ヨシ属はNo.7, No.16, No.24の3地点で、タケア科はNo.1, No.5, No.8, No.15, No.20, No.22, No.24の各地点で検出されたがいずれも低密度である。ウシクサ族、シバ属は検出されなかった。

**f 田面部と畦畔部**

分析の結果、イネは、すべての試料より検出された。このうち、No.27地点とNo.28地点の田面では高い密度である。ヨシ属は、No.25地点の田面と畦畔、No.27地点の畦畔、No.28地点の畦畔、No.29地点の田面と畦畔、No.30地点の田面と畦畔より検出された。密度はいずれもやや低い値である。ウシクサ族は、No.25地点の田面と畦畔、No.26地点の田面と畦畔、No.27地点の田面と畦畔、No.28地点の田面より検出された。密度は全体に低い値である。タケア科は、すべての試料より検出されたが、いずれも低い密度である。

**C 考察**

稲作跡（水田跡）の検証や探査を行う場合、通常、イネの植物珪酸体が試料1gあたりおよそ5,000個以上の密度で検出された場合に、そこで稲作が行われていた可能性が高いと判断している。また、プラント・オバール密度にピークが認められれば、上層から後代のものが混入した危険性は考えにくく、密度が基準値に満たなくとも稲作が行われていた可能性が高いと考えられる。以上のことを基準として稲作の可能性について考察を行う。

### a IV層

本層準では、すべての地点においてイネのプラント・オパールが検出された。プラント・オパール密度は、高い地点で7,500個／g、低い地点では700個／gとばらつきが大きく、平均値は2,500個／gとやや低い値である。ただし、ほとんどの地点でピーク（直上層で検出されないか直上層より高い密度）となっていることから上層からの混入の危険性は考えにくい。以上のことから、本層準は調査区のほぼ全域が水田耕作層であった可能性が考えられる。とくに、A 8 地区の北側からB 1 地区、B 2 地区、B 3 地区、B 4 地区の南側にかけての区域では、プラント・オパール密度が比較的高い値であることから、その可能性が高いと判断される。

なお、プラント・オパール密度が低いことについては、1) 稲作が行われていた期間が短かった、2) 稲の生産性が低かった、3) 稲藁の大部分が水田外に持ち出されていた、などの理由が考えれるがここでの直接的原因は不明である。

### b その他の層準

I 層では、No.24地点についてのみ分析を行ったところ、イネのプラント・オパールが17,800個／gと非常に高い密度で検出された。本層準は現代の耕作層であることから、当然の結果といえよう。

II層では、分析を行ったすべての地点よりイネのプラント・オパールが検出された。プラント・オパール密度は、No.10, No.15, No.23の各地点では10,000個／g以上、No.5, No.6 地点では5,000個／g以上と高い値である。したがって、本層準は水田耕作層と考えられる。

III層では、No.4, No.6, No.9, No.15, No.16, No.18, No.19の各地点でイネのプラント・オパールが検出された。したがって、これらの地点については稲作跡の可能性が考えられる。ただし、上述のとおり直上のII層が稲作層と考えられることから、あるいは本層準で検出されたものは上層からの混入である危険性も否定できない。

V層では、No.7 地点とNo.11地点の2地点でイネのプラント・オパールが検出された。ただし、いずれもプラント・オパール密度は600個／gと微量であるうえ、直上のIV層が高密度であることから上層からの混入とみなされる。

### c 田面部と畦畔部

B 1 地区、B 2 地区、B 3 地区より検出された水田遺構では、田面、畦畔とともにすべての試料からイネのプラント・オパールが検出された。したがって、当該遺構において稲作が行われていたことは確実であろう。

次に、田面部と畦畔部におけるプラント・オパールの検出密度を比較してみる。各々の平均値は、田面部で3,500個／g、畦畔部では約2,700個／gである。一見、田面部の方がやや高いようであるが、個別にみてみると田面の方が高密度である地点と畦畔の方が高密度である地点とがあり、両者に明瞭な違いは認められない。一般に、畦畔（小畦畔）は水田土壤で造られるのが普通であり、損壊した場合にも直近の田面の土壤を用いて修復される（いわゆる畦塗り）のが通例である。この場合、田面と畦畔ではプラント・オパール密度に大きな差異はみられない。今回の分析結果をみると、本遺跡においても例外ではなかったと言えよう。すなわち、畦の作り替えや畦塗りが頻繁に行われていたことが推察される。

### D まとめ

下老子笠川遺跡においてプラント・オパール分析を行い稲作跡の探査を試みた。その結果、IV層ではすべての地点においてイネのプラント・オパールが検出され、その大部分でプラント・オパール密

度のピークが認められたことから、調査区のはば全域が水田跡であると判断された。また、Ⅱ層についても同様に水田跡と考えられた。Ⅲ層については一部、水田跡の可能性が推定された。

なお、畦畔と田面におけるプラント・オパールの密度についても検討を行ったが、そこには明確な相違は認められなかった。

#### (4) 平成9年度のプラント・オパール分析

##### A 試料

本年度の調査区は、B 5 地区、B 6 地区、B 7 地区、C 1 地区の計4地区である。調査地点（試料採取地点）は、B 5 地区では№31～№42地点の12地点、B 6 地区では№43～№54地点の12地点、B 7 地区では№55～№74地点（№72地点は除く）の19地点、C 1 地区では№75～№90地点（№83地点は除く）の15地点の計58地点である（第1図）。

調査区の基本土層は、上位より暗オリーブ褐色シルト（I層、現水田）、黒褐色シルト（II層）、暗灰黄色シルト～粘土（III層）、黒色シルト～粘土（IV層）、灰黄色シルト～砂（V層）である。このうち、IVa層は平成8年度の発掘調査で水田遺構が検出された層準である。

分析試料は、各地点に掘削されたトレンチおよび試掘坑の壁面より採取された。分析試料の一覧を第2表に示す。

なお、発掘調査の結果、IVa層において弥生時代後期から古墳時代中期とされる水田跡が検出されたが、その後の土層断面の調査において、その直下のIV b層についても耕作層の可能性が示唆された。ここでは、プラント・オパール分析からIV b層における稻作の確認、さらにその他の層における稻作跡の可能性について検討を行った。

調査地点は、№91～96地点（B 5 地区）、№97～102地点（B 6 地区）、№103地点（B 7 地区）、№104地点（E 3 地区）の計14地点である（第1・2図）。

分析試料は、№91地点ではIV b層田面部、№92地点ではIV b層畦畔部、№93地点ではIV b層田面部、№94地点ではIV b層畦畔部、№95地点では上位より谷の埋土のオリーブ黒色シルト（試料①）、同オリーブ黒色有機質土（試料②）、V層（試料③）、№96地点では上位よりI層、II層、III a層、III b層、IV a層、IV b層、V層、№97地点ではIV b層田面部、№98地点ではIV b層畦畔部、№99地点ではIV b層田面部、№100地点ではIV b層畦畔部、№101地点では上位よりI層、III a層、III b層、IV a層、IV b層、V層、№102地点では上位よりII層、III a層、IV a層、IV b層、V層、№103地点ではSD2541の埋土のうち上位より黒褐色シルト質ローム（試料①）、黒色粘土質ローム（試料②）、黒褐色粘土質ローム（試料③）、№104地点では上位よりIII層、IV層、IV a層、V層においてそれぞれ採取された。

##### B 結果

採取された試料すべてについて分析を行った。本遺跡において同定されたプラント・オパールは、イネ、キビ族、ヨシ属、ウシクサ族、タケ亜科、シバ属およびマコモ属の7分類群である。これらの分類群について定量を行い、その結果を第4表に示した。なお、おもな分類群については顕微鏡写真を示した。

田面部と畦畔部の分析については稻作跡の探査が主目的であるため、同定は、イネ、キビ族（ヒエなどが含まれる）、ヨシ属、ウシクサ族（スキやチガヤなどが含まれる）、タケ亜科（ネササ節型、クマザサ属型、その他未分類）の主要な5分類群を中心に行った。

分析の結果、イネ、キビ族、ヨシ属、ウシクサ族、タケ亜科の他にサヤヌカグサ属、シバ属、マコモ属のプラント・オパールが検出された。これらについて定量を行いその結果を第4表に示す。

第2表 分析試料一覧

調査地区	地点	試料	調査地区	地点	試料
B 5 地区	No.31	III層, IV a層, IV b層, V層	B 6 地区	No.43	III b層, IV a層, IV b層, IV c層, V層
	No.32	III層, IV a層, IV b層, V層		No.44	III b層, IV a層, IV b層, V層
	No.33	III層, IV a層, IV b層, V層		No.45	III b層, IV a層, IV b層, V層
	No.34	IV b層, V層		No.46	III b層, IV a層, IV b層, V層
	No.35	III層, IV a層, IV b層, V層		No.47	I層, IV b層, V層
	No.36	III層, IV b層, V層		No.48	IV a層, IV b層
	No.37	IV a層, IV b層, V層		No.49	III層, IV a層, IV b層, V層
	No.38	IV b層, V層		No.50	III層, IV a層, IV b層, V層
	No.39	IV b層, V層		No.51	IV b層, V層
	No.40	IV b層, V層		No.52	III層, IV a層, IV b層, V層
	No.41	IV b層上, IV b層下, V層		No.53	III層, IV a層, IV b層, V層
	No.42	IV b層, V層		No.54	III層, IV a層, IV b層, V層
B 7 地区	No.55	II層, IV層, V層	C 1 地区	No.75	II層, レキ層, 埋土1, 埋土2, IV層, V層
	No.56	II層, III層, IV層, V層		No.76	II層, 埋土1, 埋土2
	No.57	IV層, V層		No.77	II層上, II層下
	No.58	II層, V層		No.78	II層上, II層下, IV層, IV'層上, IV'層下
	No.59	II層, IV層上, IV層下, V層		No.79	II層, 埋土1, 埋土2, スナ, IV層上, IV層下
	No.60	IV層上, IV層下, V層		No.80	II層上, II層下
	No.61	IV層上, IV層下, V層		No.81	II層
	No.62	IV層, V層		No.82	埋土1, 埋土2, 埋土3, 埋土4, 埋土5, IV層上, IV層下
	No.63	IV層, V層		No.84	III層, IV層
	No.64	II層, IV a層, IV b層, V層		No.85	埋土, III層, IV層上, IV層下
	No.65	II層, III層上, III層下, V層		No.86	埋土1, 埋土2, III層, III'層, IV層上, IV層下
	No.66	II層, III層上, III層下, IV層		No.87	III層, III'層, IV層上, IV層下
	No.67	IV層, V層		No.88	I層, II層, III層, III'層, IV層上, IV層下
	No.68	II層, III層		No.89	II層上, II層下, III層上, III層下, IV層, レキ層
	No.69	II層上, II層中上, II層中下, II層下, V層		No.90	II層, III層, III'層, IV層上, IV層下
	No.70	II層上, II層中上, II層中下, II層下			
	No.71	II層上, II層中, II層下, III層, IV層, V層			
	No.73	II層, IV層, V層			
	No.74	II層上, II層下, III層, V層			

### C 考察

稲作跡（水田跡）の検証や探査を行う場合、通常、イネのプラント・オパールが試料 1 gあたりおよそ 5,000 個以上の密度で検出された場合に、そこで稲作が行われていた可能性が高いと判断している。また、プラント・オパール密度にピークが認められれば、上層から後代のものが混入した危険性は考えにくく、密度が基準値に満たなくとも稲作が行われていた可能性は高いと考えられる。以上のことを見ると、IV 層（IV a 層、IV b 层）を中心に各地区ごとに稲作の可能性について検討を行う。

#### a B 5 地区

##### ① IV a 层

IV a 层は、当該地区では №31 地点、№32 地点、№33 地点、№35 地点、№37 地点の 5 地点において堆積が認められた。これらすべてについて分析を行った結果、イネのプラント・オパールはすべての地点において検出された。プラント・オパール密度は 1,500~4,400 個/g であり、地点間によりややばらつきがみられるものの、概ね高い密度である。したがって、これらの地点については本層準が耕作層であった可能性が高いと考えられる。

##### ② IV b 层

IV b 层は、当該調査区のすべての地点で堆積が認められた。全地点において分析を行ったところ、№36 地点を除く各地点よりイネのプラント・オパールが検出された。このうち、№31~№35 地点ではプラント・オパール密度は 2,000 個/g 前後とやや低い値であるのに対し、北側部分の №37~№42 地点ではおよそ 3,000~10,000 個/g と高い値である。したがって、本層準では当該調査区の北側部分については耕作層であった可能性が高いと考えられる。

##### ③ その他の層準

III 層は、当該地区の南東部の №31 地点、№32 地点、№33 地点、№35 地点、№36 地点の 5 地点において堆積が認められた。分析の結果、これらすべての地点においてイネのプラント・オパールが検出された。プラント・オパール密度は、3,000~5,000 個/g と各地点とも比較的高い値である。したがって、本層準においても稲作が行われていた可能性が高いと考えられる。

V 層は、当該地区のすべての地点で堆積が認められた。分析の結果、№32 地点、№35 地点、№38 地点、№41 地点および №42 地点においてイネのプラント・オパールが検出された。プラント・オパール密度は 700~2,200 個/g とやや低い値である。これらの地点はいずれも直上層が比較的高い密度であることから、ここで検出されたものは上層からの混入である可能性も考えられる。ただし、№42 地点以外は Y230 ライン上に位置していることから、あるいはこの部分については耕作層であった可能性も考えられる。

#### b B 6 地区

##### ① IV a 层

IV a 层は、№47 地点と №51 地点を除く各地点で堆積が認められた。これらの地点において分析を行ったところ、イネのプラント・オパールはすべての地点から検出された。したがって、本層準では当該地区においても耕作層であった可能性が考えられる。なお、プラント・オパール密度は、600~7,400 個/g と地点間において大きくばらついているものの、地区の中央から北側にかけてはおよそ 3,000~7,000 個/g と高い密度である。したがって、これらの地点については耕作層であった可能性が高いと考えられる。

## ②IV b 層

IV b 層は、当該地区でもすべての地点で堆積が認められた。全地点で分析を行ったところ、No.43地点、No.46地点を除く各地点よりイネのプラント・オパールが検出された。このうち、地区中央から北側にかけてのNo.45地点、No.47地点、No.48地点、No.50地点、No.51地点では3,000個／g以上の高い密度であり、No.52地点、No.53地点、No.54でもプラント・オパール密度は2,500個／g前後と比較的高い値である。以上のことから、本層準では地区の中央から北側にかけて耕作層であった可能性が考えられる。

## ③その他の層準

I 層はNo.47地点のみで分析を行った。プラント・オパール密度は10,000個／g以上と非常に高い値であり、現況が水田であることと一致する。

III層（III b 層）は、当該地区的中央東側を除く区域、すなわちNo.43地点、No.44地点、No.45地点、No.46地点、No.49地点、No.50地点、No.52地点、No.53地点、No.54地点で堆積が認められた。分析の結果、No.44地点、No.46地点を除く各地点においてイネのプラント・オパールが検出された。プラント・オパール密度は1,500～4,500個／gと比較的高い値である。したがって、本層準ではこれらの地点一帯で稲作が行われていた可能性が考えられる。

V層の堆積は当該地区のすべての地点で認められた。分析はNo.48地点を除く各地点について行った。その結果、No.44地点、No.47地点、No.51地点、No.52地点、No.53地点、No.54地点においてイネのプラント・オパールが検出された。したがって、これらの地点において稲作が行われていた可能性が考えられる。ただし、No.54地点以外はプラント・オパール密度は1,000個／g前後と低い値であることから、これらについては上層からの混入である可能性も考えられる。

## c B7 地区

### ①IV a 層、IV b 層

IV a 層、IV b 層は、当該地区ではNo.64地点のみで確認された。ここではイネのプラント・オパールがそれぞれ4,400個／g、3,600個／gと比較的高い密度で検出された。したがって、両層とも本地点については耕作層であった可能性が高いと考えられる。

### ②IV 層

当該地区では、IV層はNo.55～No.57地点、No.59～No.63地点、No.66地点、No.67地点、No.71地点、No.72地点において堆積が認められた。これらの地点について分析を行ったところ、地区南部から西側にかけてのNo.55～No.57地点、No.59～No.61地点、No.63地点、No.67地点においてイネのプラント・オパールが検出された。プラント・オパール密度の平均値は約6,500個／gと高い値である。したがって、本層準ではこれらの地点において稲作が行われていた可能性が高いと考えられる。

### ③その他の層準

II層では、No.55地点、No.56地点、No.58地点、No.59地点、No.64～No.66地点、No.68～No.71地点、No.73地点、No.74地点について分析を行った。イネのプラント・オパールはすべての地点より検出された。プラント・オパール密度の平均値は8,000個／g弱と非常に高い値である。したがって、本層準についても耕作層であった可能性が高いと考えられる。

III層では、No.56地点、No.65地点、No.66地点、No.68地点、No.71地点、No.74地点について分析を行った。イネのプラント・オパールはNo.56地点のみで検出された。プラント・オパール密度は3,100個／gと比較的高い値であることから、本地点において稲作が行われていた可能性が考えられる。

V層は、No.66地点、No.68地点、No.70地点を除く各地点において分析を行った。その結果、No.58地点

とNo.64地点よりイネのプラント・オバールが検出された。プラント・オバール密度はそれぞれ1,500個／g, 1,400個／gと低い値であることから、これらは上層からの混入とみなされる。

#### d C1 地区

##### ①IV層

当該地区では、IV層の堆積はNo.75地点、No.78地点、No.79地点、No.82～No.90地点で認められた。これらすべてについて分析を行った結果、No.78地点、No.79地点およびNo.82地点においてイネのプラント・オバールが検出された。プラント・オバール密度の平均値は4,000個／g弱と比較的高い値である。なお、これら3地点は地区の中央西側部分に隣接して位置していることから、本層準ではこれらの地点一帯において稲作が行われていた可能性が考えられる。

##### ②その他の層準

II層では、No.75～No.81地点、No.88～No.90地点について分析を行った。その結果、No.75～No.81地点とNo.89地点においてイネのプラント・オバールが検出された。プラント・オバール密度の平均値は約4,000個／gと比較的高い値である。したがって、これらの地点については耕作層であった可能性が高いと考えられる。

I層ではNo.88地点、III層ではNo.84～No.90地点、V層ではNo.75地点についてそれぞれ分析を行った。その結果、イネのプラント・オバールはいずれの試料からも検出されなかった。したがって、各層準ともこれらの地点では稲作が行われた可能性は認められない。

#### e IV b 層の田面部と畦畔部、及びその他の地区

##### ①IV b 層

IV b層では、No.91～No.94、No.96～No.102の計11地点について分析を行った。その結果、これらすべてにおいてイネのプラント・オバールが検出された。プラント・オバール密度は2,000～7,300個／g、平均値で3,900個／gと比較的高い値である。また、直上のIV a層との比較では、No.96地点で2,200個／gに対し3,200個／g、No.101地点では2,400個／gに対し3,500個／gと両地点においてはピークとなっている。以上から、B5地区、B6地区ではIV b層において稲作が行われていた可能性が高いと判断される。

##### ②その他の層

No.96地点、No.101地点さらにNo.102地点については、I層より最下層のV層まで連続的に分析を行った。現耕作土のI層では10,000個／g以上、床土とみられるII層では5,000個／g以上の密度でイネのプラント・オバールが検出された。このことは両層準が水田耕作土であることと矛盾しない。III a層およびIII b層では、一部でイネのプラント・オバールが検出されたものの、密度は1,000個／g前後と低い値である。直上のI層あるいはII層が高密度であることから、ここで検出されたものは上層等からの混入である可能性が高いと考えられる。水田層とされるIV a層では各地点においてイネのプラント・オバールが検出された。このうち、No.102地点で4,800個／gと高い密度である。また、No.96地点とNo.101地点では2,200～2,400個／gとやや低い密度であるものの、ピークが認められる。したがって、当該層についてもやはり耕作層であった可能性が高いと判断される。V層からはイネのプラント・オバールは検出されなかった。したがって、当該層については稲作の痕跡は認められない。

谷の埋土であるNo.95地点では試料①より、SD2541の埋土であるNo.103地点では試料①と試料②よりイネのプラント・オバールが検出された。したがって、これらが堆積した時期には近傍で稲作が行われていたと判断される。

第3表 下老子笹川遺跡のプラント・オバールの分析結果 平成8年度

試料	イネ	被出葉簇(年輪)×剥離部(茎)						被出葉被(年輪)×剥離部					
		分類別			分類別			分類別			分類別		
		キビ族 (イネ科)	ヨシ属 (ススキ 類風など)	シバ族 (ササ属 クサ属)	サヤヌカ 族	マコモ属 (ヨモギ ササ属)	タケヌカ (ヨモギ ササ属)	イネ (イネ科)	ヨシ族 (イネ科 類風など)	ヨシ属 (ススキ 類風など)	シバ族 (ササ属 クサ属)	サヤヌカ 族	マコモ属 (ヨモギ ササ属)
No.1	b b-1 b-2	7	263	13	14	7	0.21	0.02	15.92	0.13	0.03		
			90	13					3.78				
No.2	b b-1 b-2	7	135	95	7	0.43	0.15	0.46	0.04	5.97	0.03	2.15	
			34										
No.3	b-1 b-2 b-3	21 20	14	7	7	0.63	0.22	0.39	0.03	0.37	0.2	0.41	0.06
No.4	b-1 b-2 b-3	14 20	7	7	11	0.41	0.14	0.44	0.05	0.56	0.2	1.24	0.03
No.5	b-1 b-2 b-3	89	34		14	2.63	0.90	2.17	0.07				
No.6	b-1 b-2 b-3	19 11			13	0.56	0.20		0.06	0.33	0.12		
No.7	b-1 b-2 b-3	56 40	31		31	1.66	0.58	1.98	0.13	0.44	0.17	0.43	0.13
No.8	b-1 b-2 b-3	13	7		29	0.21	0.07	0.44	0.13	0.39	0.14	0.42	0.13
No.9	b-1 b-2 b-3	19 6	13	6	6	0.57	0.23	0.49	0.06	0.47	0.17	0.46	0.06
No.10	b-1 b-2 b-3	102	102		13	3.01	1.05	6.46	0.06				
No.11	b-1 b-2 b-3	27	22		7	0.8	0.28	1.37	0.03				
No.12	b-1 b-2 b-3	39 11	6	17	10	1.13	0.4		0.16	0.18			
No.13	b-1 b-2 b-3	30 26	6	7	11	0.33	0.12	1.02	0.08	0.96	0.33	1.64	0.08
No.14	b-1 b-2 b-3	102	102		7	0.22	0.08	0.93	0.04				
No.15	b-1 b-2 b-3	103	103		11	3.01	1.06		0.05				
No.16	b-1 b-2 b-3	19	6		6	0.57	0.2		0.08	0.03			
No.17	b-1 b-2 b-3	7	73		7	0.21	0.07	0.46	0.03	0.45	0.03		
No.18	b-1 b-2 b-3	31	12	6	6	0.9	0.32	0.78	0.08	0.03			
No.19	b-1 b-2 b-3	47			7	1.37	0.48		0.01				
No.20	b-1 b-2 b-3	13	7		6	0.37	0.13		0.03				
No.21	b-1 b-2 b-3	32	13	6	6	0.93	0.32	0.8	0.08	0.01			
No.22	b-1 b-2 b-3	36	73		7	1.07	0.38	4.6	0.03				
No.23	b-1 b-2 b-3	20	12	6	10	4.69	1.64	0.75	0.09	1.80	0.03		
No.24	b-1 b-2 b-3	109	12	6	10	0.29	0.10	1.35	0.03	1.41	0.06	0.11	
No.25	b-1 b-2 b-3	12	25	5	10	0.24	0.1	1.43	0.03	0.43	0.06	0.1	
No.26	b-1 b-2 b-3	43	13		10	0.75	0.44	0.15	0.03	0.76	0.03	0.11	
No.27	b-1 b-2 b-3	59	6	24	10	0.88	0.31	0.38	0.11	1.74	0.63	0.24	0.13
No.28	b-1 b-2 b-3	14	14		7	0.41	0.14	0.87	0.03				
No.29	b-1 b-2 b-3	13	14		7	1.56	0.52	0.88	0.03	0.43	0.11	0.16	
No.30	b-1 b-2 b-3	35	14		7	0.43	0.15	0.89	0.03	1.03	0.36	0.13	
			28		10	0.83	0.29	0.44	0.02				

第4表 下老子 笹川遺跡のプラント・オパールの分析結果 平成9年度(1)

試料	イチ	物理的性質 (単位: ×100倒)				電気的性質 (単位: ×10 <sup>-4</sup> ohm)				物理的性質 (単位: ×100倒)				
		キビ酸 (ヒエ酸など)	ヨシ属 の葉	ウシタサ の葉(ススキ など)	シバ属	サヤミク ダリ属	マコモ属	タケモ属 (おもに ササ科)	イチ (イチ科)	キビ酸 (ヒエ酸など)	ヨシ属 の葉	ウシタサ の葉(ススキ など)	シバ属	タケモ属 (おもに ササ科)
No31	■	32	7	20	7	7	7	66	1.08	0.38	0.86	0.27	0.32	0.02
	■	44	7	7	7	7	7	29	0.43	0.15	0.46	0.16	0.14	0.02
	■	15	7	7	7	7	7	22	0.43	0.15	0.46	0.09	0.11	0.02
No32	■	7	7	7	7	7	7	7	1.7	0.50	0.95	0.25	0.39	0.02
	■	17	7	7	7	7	7	26	0.43	0.15	0.92	0.25	0.39	0.02
	■	15	7	7	7	7	7	29	0.40	0.13	0.92	0.23	0.38	0.02
No33	■	27	7	19	13	7	7	7	0.43	0.15	1.21	0.16	0.35	0.02
	■	38	7	19	13	7	7	26	1.73	0.39	1.21	0.16	0.36	0.02
	■	28	7	19	6	7	7	26	0.43	0.13	1.21	0.16	0.36	0.02
No34	■	14	7	7	7	7	7	6	0.83	0.26	0.85	0.07	0.20	0.02
	■	14	7	7	7	7	7	7	0.42	0.15	0.85	0.07	0.20	0.02
	■	30	7	15	15	7	7	15	1.07	0.37	0.92	0.18	0.36	0.02
No35	■	36	8	8	8	7	7	19	1.12	0.39	0.4	0.08	0.09	0.02
	■	14	7	7	7	7	7	7	0.42	0.15	0.46	0.08	0.09	0.02
	■	7	7	7	7	7	7	7	0.21	0.08	0.46	0.08	0.09	0.02
No36	■	41	7	20	7	7	7	31	1.72	0.42	1.28	0.08	0.04	0.02
	■	15	7	15	7	7	7	31	0.42	0.15	0.46	0.18	0.04	0.02
	■	21	7	7	7	7	7	7	0.42	0.15	0.44	0.09	0.04	0.02
No37	■	31	8	8	8	7	7	6	0.92	0.32	1.58	0.03	0.03	0.02
	■	21	7	7	7	7	7	42	0.62	0.22	0.44	0.09	0.03	0.02
	■	33	7	13	7	7	7	13	0.98	0.34	0.42	0.17	0.06	0.02
No38	■	22	7	7	7	7	7	22	0.65	0.23	0.42	0.17	0.11	0.02
	■	29	7	7	7	7	7	36	0.89	0.3	0.39	0.16	0.06	0.02
	■	73	7	15	7	7	7	22	2.15	0.75	0.18	0.11	0.05	0.02
No39	■	1	7	7	7	7	7	14	1.73	0.61	0.43	0.17	0.03	0.02
	■	59	7	14	14	7	7	22	0.82	0.99	0.43	0.17	0.03	0.02
	■	14	7	7	7	7	7	22	0.6	0.21	0.43	0.17	0.03	0.02
No40	■	41	7	20	7	7	7	31	1.72	0.42	1.28	0.08	0.04	0.02
	■	15	7	15	7	7	7	31	0.42	0.15	0.46	0.18	0.04	0.02
	■	21	7	7	7	7	7	7	0.42	0.15	0.44	0.09	0.04	0.02
No41	■	31	8	8	8	7	7	6	0.92	0.32	1.58	0.03	0.03	0.02
	■	21	7	7	7	7	7	42	0.62	0.22	0.44	0.09	0.04	0.02
	■	33	7	13	7	7	7	13	0.98	0.34	0.42	0.17	0.06	0.02
No42	■	1	7	7	7	7	7	14	1.73	0.61	0.43	0.17	0.03	0.02
	■	59	7	14	14	7	7	22	0.82	0.99	0.43	0.17	0.03	0.02
	■	14	7	7	7	7	7	22	0.6	0.21	0.43	0.17	0.03	0.02
No43	■	21	8	8	8	7	7	10	0.61	0.21	0.32	0.32	0.05	0.02
	■	6	7	6	7	7	7	6	0.19	0.02	1.2	0.08	0.03	0.02
	■	32	7	7	7	7	7	7	0.35	0.12	0.32	0.07	0.03	0.02
No44	■	22	7	7	7	7	7	15	0.65	0.23	0.41	0.46	0.09	0.07
	■	18	7	7	7	7	7	12	0.53	0.18	0.39	0.47	0.09	0.06
	■	50	7	7	7	7	7	7	0.6	0.21	0.39	0.47	0.09	0.06
No45	■	15	7	7	7	7	7	5	0.43	0.15	0.36	0.06	0.02	0.02
	■	35	7	12	7	7	7	12	1.01	0.36	0.73	0.06	0.02	0.02
	■	43	7	14	7	7	7	13	1.06	0.44	0.9	0.09	0.03	0.02
No46	■	12	7	6	6	6	6	6	0.34	0.12	0.74	0.07	0.03	0.02
	■	12	7	6	6	6	6	6	0.34	0.12	0.74	0.07	0.03	0.02
	■	12	7	6	6	6	6	6	0.34	0.12	0.74	0.07	0.03	0.02
No47	■	136	7	15	7	7	7	73	4.06	1.42	0.61	0.46	0.18	0.35
	■	40	13	6	6	7	7	7	1.17	0.41	0.84	0.07	0.03	0.02
	■	6	6	6	6	7	7	7	0.17	0.06	0.84	0.07	0.03	0.02
No48	■	1	7	7	7	7	7	6	0.17	0.06	0.84	0.07	0.03	0.02
	■	43	7	6	6	7	7	40	0.16	0.06	0.84	0.07	0.03	0.02
	■	45	6	6	6	7	7	23	1.93	0.47	0.36	0.36	0.11	0.09
No49	■	56	12	7	7	7	7	6	1.95	0.58	0.79	0.07	0.03	0.02
	■	7	7	7	7	7	7	21	0.21	0.07	0.84	0.07	0.03	0.02
	■	14	7	7	7	7	7	7	0.21	0.07	0.84	0.07	0.03	0.02
No50	■	74	74	20	7	7	7	14	0.4	0.14	4.69	0.25	0.16	0.06
	■	51	74	22	7	7	7	34	2.19	0.77	0.27	0.27	0.04	0.04
	■	7	7	7	7	7	7	7	1.5	0.53	0.27	0.27	0.04	0.04
No51	■	20	7	7	7	7	7	6	0.88	0.31	0.76	0.07	0.03	0.02
	■	13	7	7	7	7	7	7	0.38	0.13	0.76	0.07	0.03	0.02
	■	41	7	7	7	7	7	7	1.2	0.42	0.43	0.08	0.03	0.02
No52	■	48	14	14	14	7	7	34	1.4	0.49	0.86	0.17	0.16	0.07
	■	20	7	7	7	7	7	7	0.21	0.07	0.86	0.17	0.16	0.07
	■	25	7	7	7	7	7	7	0.21	0.07	0.86	0.17	0.16	0.07
No53	■	36	30	12	7	7	7	18	1.06	0.37	1.89	0.15	0.09	0.03
	■	25	30	6	6	7	7	6	0.73	0.26	0.89	0.08	0.05	0.03
	■	20	7	7	7	7	7	26	1.15	0.4	0.41	0.08	0.13	0.03
No54	■	21	7	14	7	7	7	7	0.61	0.21	0.44	0.17	0.03	0.1
	■	21	6	6	7	7	7	21	0.63	0.22	0.44	0.17	0.03	0.1
	■	21	7	14	7	7	7	7	0.63	0.22	0.44	0.17	0.03	0.1
No55	■	26	19	6	6	7	7	13	1.14	0.4	1.22	0.24	0.06	0.05
	■	26	19	19	7	7	7	14	0.76	0.27	0.86	0.24	0.06	0.05
	■	58	6	6	6	7	7	19	1.72	0.6	0.41	0.08	0.09	0.05
No56	■	16	12	6	6	7	7	19	0.86	0.32	1.21	0.25	0.06	0.05
	■	16	6	6	7	7	7	15	0.47	0.17	0.34	0.2	0.07	0.05
	■	56	12	12	7	7	7	31	1.64	0.57	0.78	0.15	0.15	0.07
No57	■	25	6	13	7	7	7	13	0.74	0.26	0.4	0.15	0.06	0.05
	■	15	6	13	7	7	7	7	0.43	0.15	0.46	0.15	0.06	0.05
	■	178	6	6	7	7	7	51	0.52	1.83	0.4	0.24	0.15	0.07
No58	■	1	7	7	7	7	7	32	2.07	0.72	0.81	0.08	0.15	0.07
	■	1	7	7	7	7	7	21	2.29	0.8	0.45	0.09	0.14	0.07
	■	109	36	7	7	7	7	58	3.22	1.13	2.3	0.09	0.38	0.07
No59	■	100	30	7	14	7	7	57	2.98	1.03	0.45	0.18	0.22	0.07
	■	100	30	7	14	7	7	6	0	0	0	0	0	0
	■	100	30	7	14	7	7	24	3.89	1.36	2.06	0.08	0.38	0.07
No60	■	100	30	7	14	7	7	57	3.47	1.31	2.06	0.08	0.38	0.07
	■	100	30	7	14	7	7	6	0	0	0	0	0	0
	■	100	30	7	14	7	7	14	0	0	0	0	0	0
No61	■	100	30	7	14	7	7	24	3.89	1.36	2.06	0.08	0.38	0.07
	■	100	30	7	14	7	7	57	3.47	1.31	2.06	0.08	0.38	0.07
	■	100	30	7	14	7	7	6	0	0	0	0	0	0
No62	■	100	30	7	14	7	7	14	0	0	0	0	0	0
	■	100	30	7	14	7	7	24	3.89	1.36	2.06	0.08	0.38	0.07
	■	100	30	7	14	7	7	57	3.47	1.31	2.06	0.08	0.38	0.07
No63	■	100	30	7	14	7	7	14	0	0	0	0		

第4表 下老子笹川遺跡のプラント・オパールの分析結果 平成9年度(2)

試料	イモ	抽出濃度 (mg/L, 大豆固形量)				抽出濃度 (mg/L, 大豆固形量)						
		キニ酸 (ヒニ酸 %)	ヨシ属 ラジタサ 族(ススキ 属など)	シバ属 ササ属	マコシ属 ササ属	タケ属 セトウチク ササ属	イモ	(イモ)	キニ酸 (ヒニ酸 %)	ヨシ属 ラジタサ 族(ススキ 属など)	シバ属 ササ属	マコシ属 ササ属
S-64	II	100	13	10	8	85	3.56	1.85	0.8	0.04	0.76	0.05
	R-44	44	7	5	3	11	1.20	0.42	0.45	0.07	0.05	0.05
	K-6	36	7	5	3	36	1.07	0.38	0.46	0.18		
	V	13	7	5	3	2	0.42	0.15	0.09	0.03	0.03	0.03
S-65	II-1	7	7	5	3	2	0.05	0.02	0.03	0.03	0.03	0.07
	V	13	7	5	3	15	0.05	0.02	0.03	0.03	0.03	0.07
S-66	II-2	22	7	5	3	2	0.64	0.21	0.04	0.04		
	N-1	22	7	5	3	2	0.64	0.21	0.04	0.04		
S-67	N	63	13	10	8	19	1.80	0.65	0.16	0.09	0.09	0.09
S-68	II	53	13	10	8	26	1.55	0.54	0.83	0.08	0.13	0.08
S-69	II-1	107	6	13	8	28	3.16	1.11	0.4	0.16	0.18	0.04
	II-2	53	6	13	8	28	3.16	1.11	0.4	0.16	0.18	0.04
	K-6	53	6	13	8	29	3.51	1.61	0.56	0.09	0.14	0.03
	K-4	50	6	13	8	14	1.46	0.51	0.45	0.09	0.07	0.04
S-70	V	2	2	2	2	11	1.00	0.37	0.06	0.06	0.06	0.04
	II-1	30	6	13	8	34	1.17	0.49	0.43	0.08	0.16	0.06
	II-2	140	6	13	8	32	3.24	1.13	1.09	0.41	0.08	0.16
	K-4	110	6	13	8	32	3.24	1.13	1.09	0.41	0.08	0.16
	K-2	20	6	13	8	32	3.24	1.13	1.09	0.41	0.08	0.16
	K-3	20	6	13	8	34	2.04	0.75	0.46	0.09	0.16	0.06
	K-5	20	6	13	8	34	1.68	0.69	0.46	0.09	0.16	0.06
S-71	V	15	7	5	3	31	0.85	0.31	0.18	0.18	0.24	
	II	28	7	5	3	31	0.85	0.31	0.18	0.18	0.24	
S-72	N	36	7	5	3	14	0.81	0.29	0.44	0.09	0.07	0.04
S-73	V	2	2	2	2	2	2	2	2	2	2	0.04
S-74	II-1	113	13	7	5	66	3.31	1.16	0.84	0.08	0.32	
	II-2	31	10	7	5	66	3.31	1.16	0.84	0.08	0.32	
S-75	V	11	7	5	3	16	0.92	0.32	0.56	0.08	0.08	0.07
	K-1	53	6	8	5	27	1.77	0.61	0.39	0.08	0.18	
	K-2	53	6	8	5	33	0.36	0.13	0.26	0.06	0.06	
	K-3	48	6	8	5	38	1.42	0.5	0.38	0.08	0.19	
	K-4	48	6	8	5	38	1.42	0.5	0.38	0.08	0.19	
S-76	V	2	2	2	2	2	2	2	2	2	2	0.06
	II-1	53	7	5	3	41	1.51	0.53	0.46	0.09	0.21	
	II-2	70	6	12	8	56	2.22	0.77	0.39	0.15	0.27	
	II-3	70	6	12	8	42	0.69	0.26	0.26	0.08	0.16	
S-77	V	13	7	5	3	31	0.61	0.21	0.44	0.1	0.1	
	II-1	53	7	5	3	33	2.72	0.95	0.86	0.16	0.27	
	II-2	53	7	5	3	36	3.80	1.31	0.87	0.16	0.27	
	K-1	53	7	5	3	36	3.80	1.31	0.87	0.16	0.27	
S-78	V	13	7	5	3	32	1.18	0.46	0.42	0.11	0.16	
	II-1	6	5	3	3	34	0.81	0.29	0.39	0.11	0.16	
	K-2	6	5	3	3	34	0.81	0.29	0.39	0.11	0.16	
	K-3	20	6	12	8	39	0.38	0.13	0.41	0.16	0.19	
S-79	V	17	6	5	3	39	0.37	0.13	0.8	0.08	0.09	
	II-1	53	6	8	5	39	0.37	0.13	0.8	0.08	0.09	
	II-2	53	6	8	5	39	0.37	0.13	0.8	0.08	0.09	
	K-1	53	6	8	5	39	0.37	0.13	0.8	0.08	0.09	
S-80	V	5	5	3	3	23	1.52	0.53	0.46	0.09	0.11	
	II-1	53	6	8	5	37	1.01	0.36	0.46	0.09	0.11	
S-81	V	6	5	3	3	6	0.18	0.06	0.86	0.08	0.08	
	II-1	6	5	3	3	6	0.18	0.06	0.86	0.08	0.08	
	II-2	12	6	12	8	38	0.18	0.06	0.86	0.08	0.08	
S-82	V	6	5	3	3	38	0.18	0.06	0.86	0.08	0.08	
	II-1	20	6	12	8	39	0.74	0.26	0.4	0.16	0.09	
	II-2	20	6	12	8	39	0.74	0.26	0.4	0.16	0.09	
S-83	V	12	7	5	3	39	0.74	0.26	0.4	0.16	0.09	
S-84	V	12	7	5	3	39	0.74	0.26	0.4	0.16	0.09	
S-85	V	7	5	3	3	6	6	0.06	0.03	0.03	0.03	
	K-1	7	5	3	3	6	6	0.06	0.03	0.03	0.03	
	K-2	7	5	3	3	6	6	0.06	0.03	0.03	0.03	
	K-3	7	5	3	3	6	6	0.06	0.03	0.03	0.03	
S-86	V	32	13	10	8	6	2.08	0.66	0.16	0.03	0.03	
	II-1	32	13	10	8	6	2.08	0.66	0.16	0.03	0.03	
	II-2	32	13	10	8	6	2.08	0.66	0.16	0.03	0.03	
S-87	V	12	7	5	3	39	0.74	0.26	0.4	0.16	0.09	
	K-1	6	5	3	3	41	0.41	0.15	0.41	0.08	0.08	
	K-2	6	5	3	3	41	0.41	0.15	0.41	0.08	0.08	
	K-3	6	5	3	3	41	0.41	0.15	0.41	0.08	0.08	
S-88	V	7	5	3	3	41	0.41	0.15	0.41	0.08	0.08	
	K-1	7	5	3	3	41	0.41	0.15	0.41	0.08	0.08	
	K-2	7	5	3	3	41	0.41	0.15	0.41	0.08	0.08	
	K-3	7	5	3	3	41	0.41	0.15	0.41	0.08	0.08	
S-89	V	13	13	10	8	6	0.8	0.26	0.16	0.03	0.03	
	II-1	13	13	10	8	6	0.8	0.26	0.16	0.03	0.03	
	II-2	13	13	10	8	6	0.8	0.26	0.16	0.03	0.03	
	K-1	13	13	10	8	6	0.8	0.26	0.16	0.03	0.03	
S-90	V	7	5	3	3	41	0.41	0.15	0.41	0.08	0.08	
	K-1	7	5	3	3	41	0.41	0.15	0.41	0.08	0.08	
	K-2	7	5	3	3	41	0.41	0.15	0.41	0.08	0.08	
	K-3	7	5	3	3	41	0.41	0.15	0.41	0.08	0.08	
S-91	大豆固形	45	13	10	8	13	1.31	0.46	0.46	0.09	0.09	0.06
S-92	大豆固形	20	7	5	3	30	0.59	0.21	0.41	0.08	0.16	0.11
S-93	大豆固形	38	6	5	3	6	0.11	0.03	0.4	0.06	0.06	0.06

第4表 下老子笠川遺跡のプラント・オバールの分析結果 平成9年度(3)

試料	穀物測定(単位: ×100mg/g)						穀粒測定(単位: mg/g)					
	分類群			分類群			分類群			分類群		
	イネ	キビ属 (ヒエ属な ど)	ヨシ属	ウツカサ (アマメイ タケなど)	シバ属	サヤミカ ガサ属	マコモ属	タケ属 (おもにタ ケ属)	イネ科 (ヒエ属な ど)	キビ属 (ヒエ属な ど)	ヨシ属	ウツカサ (アマメイ タケなど)
No85	1.1	高	高	10	7	7	10	0.15	0.06	0.33	0.13	0.06
	2.0						7					0.03
	2.7			7			7			0.44		0.03
	1.2			14	7		21	4.37	1.06			
	3.0			7			21	4.37	0.8	0.44		0.2
	2.7			7			21	4.37	0.8	0.44		0.2
No86	3.0	高	高	6	6	6	6	0.37	0.13	0.4		0.03
	3.3			6			22	0.22	0.08	0.46		0.11
	2.9			7			22	0.22	0.08	0.46		0.11
	2.2			44	7		37	0.45	0.23	2.77		0.18
	3.0			6	6		13	0.95	0.33	0.41	0.08	0.06
	3.2			7			13	0.95	0.33	0.41	0.08	0.06
No87	Nb10m	73	7	15	7	7	44	2.14	0.75	0.46	0.18	0.21
No88	Nb10m	43	7	7	7	7	28	1.20	0.44	0.09	0.14	
No89	Nb10m	44	7	7	7	7	22	1.29	0.45	0.61	0.09	0.17
No90	Nb10m	35	7	7	7	7	35	1.03	0.36	0.44	0.09	0.17
	153			15	7		58	4.49	1.52		0.18	0.26
No101							7					0.03
	Na	24		24	8		57	0.71	0.20		0.3	0.27
	Nb	35		14	7		14	1.02	0.36	0.87	0.09	0.02
	V	7		7			58	0.26	0.07			0.04
	Na	63		7	7		58	0.26	0.06	0.45	0.09	0.2
	Nb	14		7			2	0.4	0.14	0.43		0.03
No102	Na	48		7			20	1.4	0.49	0.43		0.1
	Nb	43		7			35	1.25	0.44		0.09	0.17
	V	7					2					0.04
No103				22	7		7	0.64	0.22	0.46		0.13
	22			6			7	0.17	0.06			0.03
	22			7			19					0.09
No104							256					1.23
	N						352					0.18
	Na											

E 3 地区では、Ⅲ層、Ⅳ層、Ⅳa 層、V 層の各層について分析を行ったが、イネのプラント・オバールはいずれからも検出されなかった。よって、本地点に関しては V 層堆積時よりⅢ層堆積時まで稲作が行われた形跡は認められない。

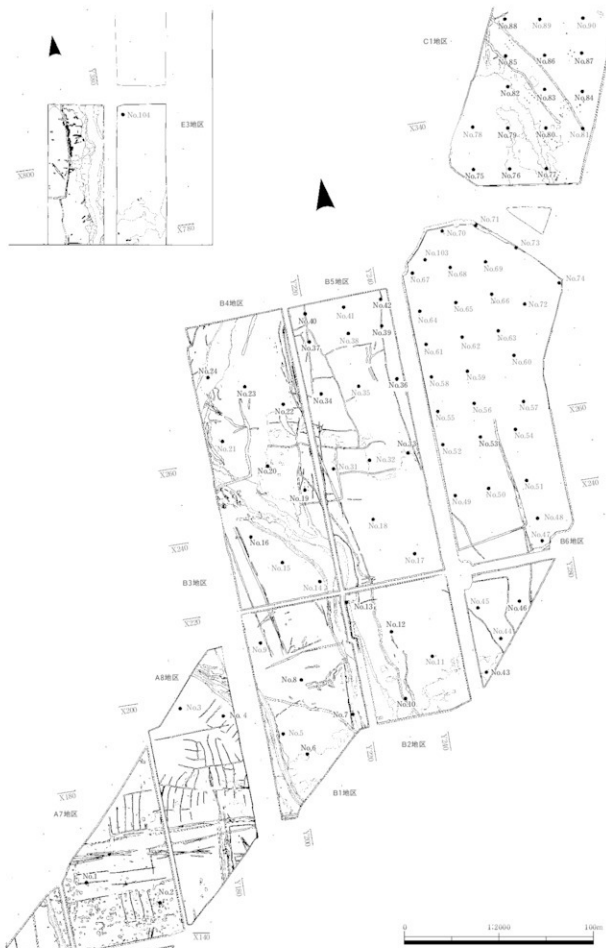
#### D まとめ

下老子笠川遺跡においてプラント・オバール分析を行い、稲作跡の探査を試みた。その結果、水田跡の可能性が考えられていたⅣa 層、Ⅳb 層、Ⅳ 層のうち、Ⅳa 層では B 6 地区全域から B 5 地区の南西部にかけての一帯、Ⅳb 層では B 5 地区の北側一帯と B 6 地区の中央～北側、Ⅳ 層では B 7 地区の南西部と C 1 地区の中央西側に水田跡が包蔵されている可能性が認められた。他の層準では、Ⅱ 層が B 7 地区の全域から C 1 地区の南側にかけて、Ⅲ 層が B 5 地区の南東部から B 6 地区にかけて、V 層では B 5 地区中央部についても耕作跡である可能性が示唆された。

また、再度Ⅳb 層を中心として稲作跡の可能性を検討した。その結果、水田跡の可能性が考えられたⅣb 層では、B 5 地区と B 6 地区においては稲作が行われていた可能性が高いと判断された。また、Ⅳa 層についても耕作層であったと判断された。

#### 参考文献

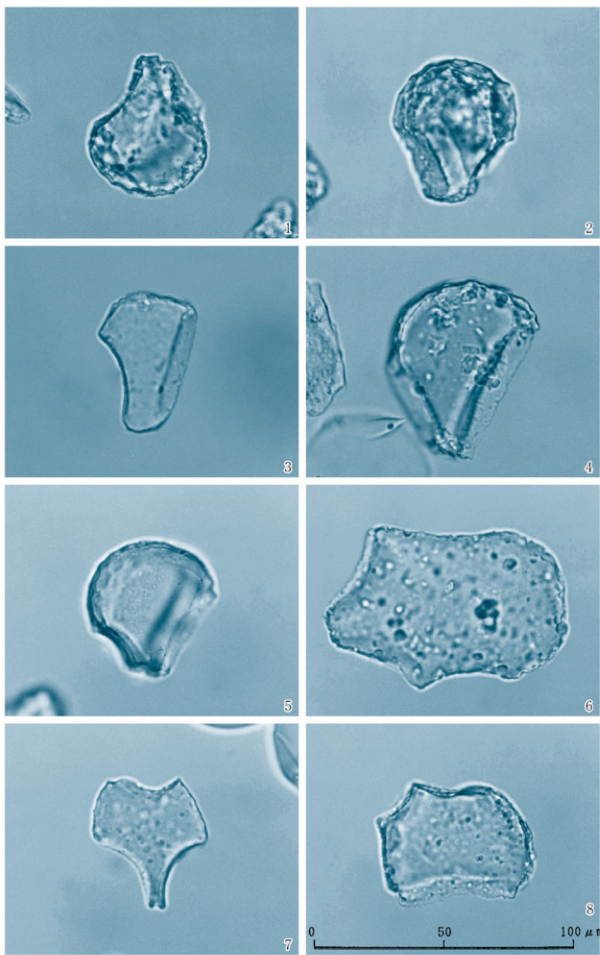
- 杉山真二・藤原宏志(1987)川口市赤山陣屋跡道路におけるプラント・オバール分析。赤山一古環境編一、川口市道路調査会報告、10, 281-298。
- 藤原宏志(1976)プラント・オバール分析法の基礎的研究(1) -数種イネ科栽培植物の粒体標本と定量分析法-、考古学と自然科学、9, 15-29。
- 藤原宏志(1979)プラント・オバール分析法の基礎的研究(3) -福岡・板付遺跡(夜臼式)水田および群馬・日高遺跡(弥生時代)水田におけるイネ(*O. sativa L.*)生産量の推定-、考古学と自然科学、12, 29-41。
- 藤原宏志・杉山真二(1984)プラント・オバール分析法の基礎的研究(5) -プラント・オバール分析による水田址の探査-、考古学と自然科学、17, 73-85。



第1図 プラント・オバル分析試料採取地点 (1/2000)



第2図 プラント・オパール分析試料採取地点 (1/1000)



図版 植物珪酸体（プラント・オバール）の顕微鏡写真

1. №25地点畦畔 イネ 2. №27地点畦畔 イネ 3. №27地点畦畔 ウシクサ族(ススキ属)  
イネ 5. №61地点IV b層 イネ 6. №96地点IV a層 ヨシ属 7. №101地点IV a層 シバ属  
タケ面科(ネギサ節)

株式会社古環境研究所

## (1) はじめに

珪藻は、10~500μmほどの珪酸質殻を持つ单細胞藻類で、殻の形やこれに刻まれた模様などから多くの珪藻種が調べられている。また、現生の生態から特定環境を指標する珪藻種群も設定されている。

(小杉1988 安藤1990) 一般的に、珪藻の生育域は海水域から淡水域まで広範囲に及び、中には河川や沼地などの水成環境以外の陸地においてもわずかな水分が供給される環境、例えばコケの表面や湿った岩石の表面などで生育する珪藻種（陸生珪藻）も知られている。こうした珪藻種あるいは珪藻群集の性質を利用して、過去の堆積物中の珪藻化石の解析から、堆積物の堆積環境について知ることが可能である。

ここでは、これら珪藻化石の環境指標種群を用いて、下老子笠川遺跡の堆積物について堆積環境の検討を行った。

## (2) 試料

検討した堆積物は、B 5 地区№1 地点の I 層（試料№8）、II 层（試料№9）、III a 层（試料№10）、III b 层（試料№11）、IV a 层（試料№12）、IV b 层（試料№13）、V 层（試料№14）の 7 試料、B 6 地区№2 地点の I 层（試料№19）、III a 层（試料№21）、III b 层（試料№22）、IV a 层（試料№23）、IV b 层（試料№24）、V 层（試料№25）の 6 試料、E 3 地区№3 地点の III 层（試料№40）、IV 层（試料№41）、IV a 层（試料№42）、V 層（試料№43）の 4 試料の合計 17 試料である。

なお、B 5 地区と B 6 地区では IV a 层と IV b 层が弥生から古墳時代の水田跡の層準であり、E 3 地区では IV 层が縄文時代晩期の集落跡の層準である。

## (3) 処理方法

試料は、以下の方法で処理を行い、珪藻用プレパラートを作成した。

- 1) 試料から湿潤重量約 1 g 程度取り出し、秤量した後ビーカーに移し 30% 過酸化水素水を加え、加熱・反応させ、有機物の分解と粒子の分散を行う。
- 2) 反応終了後、水を加え 1 時間程してから上澄み液を除去し、細粒のコロイドを捨てる。この作業を 7 回ほど繰り返す。
- 3) 残渣を遠心管に回収し、マイクロビペットで適量取り、カバーガラスに滴下し乾燥させる。乾燥後は、マウントメディアで封入しプレパラートを作成する。

作成したプレパラートは顕微鏡下 1000 倍で観察し、珪藻化石 200 個体前後について同定・計数した。

なお、珪藻化石が少ない試料については、プレパラート全面について精査した。

## (4) 珪藻化石の環境指標種群について

珪藻化石の環境指標種群は、主に安藤（1990）が設定した環境指標種群に基づいた。なお、環境指標種群以外の珪藻種については、淡水種は広布種として扱った。また、破片のため属レベルで同定した分類群は、その種群を不明として扱った。以下に、安藤（1990）が設定した淡水域における環境指標種群の概要を示す。

[中～下流性河川指標種群 (K)]：中～下流部、すなわち河川沿いに河成段丘、扇状地および自然堤防、後背湿地といった地形が見られる部分に集中して出現する種群である。これらの種は、柄またはさやで基物に付着し、体を水中に伸ばして生活する種が多い。

〔最下流性河川指標種群（L）〕：最下流部の三角州の部分に集中して出現する種群である。これらの種は、水中を浮遊しながら生育している種が多い。これは、河川が三角州地帯に入ると流速が遅くなり、浮遊生の種でも生育できるようになるためである。

〔湖沼浮遊生指標種群（M）〕：水深が約1.5m以上で、水生植物は岸では見られるが、水底には生育していない湖沼に出現する種群である。

〔湖沼沼澤湿地指標種群N（N）〕：湖沼における浮遊生種としても、沼澤湿地における付着生種としても優勢な出現が見られ、湖沼・沼澤湿地の環境を指標する可能性が大きい。

〔沼澤湿地付着生指標種群（O）〕：水深1m内外で、一面に植物が繁殖している所および湿地で、付着の状態で優勢な出現が見られる種群である。

〔高層湿原指標種群（P）〕：尾瀬ヶ原湿原や霧ヶ峰湿原などのように、ミズゴケを主とした植物群落および泥炭層の発達が見られる場所に出現する種群である。

〔陸域指標種群（Q）〕：上述の水域に対して、陸域を生息地として生活している種群である。（陸生珪藻と呼ばれている）

#### （5）珪藻化石の特徴と堆積環境

全試料から検出された珪藻化石は、淡水種73分類群25属55種3亜種である（第1表）。比較的多く検出されたB 5 地区No. 1 地点において2 硅藻分帶が設定されるものの、他地点では珪藻化石は破片が多く、その数も少ない。以下では、各層位ごとに珪藻化石の特徴とその環境について述べる。

##### A I 層（B 5 地区No. 1 地点, B 6 地区No. 2 地点）

堆積物 1 g 中の珪藻殻数は約4.03×104個および8.02×104個、完形殻の出現率は約17%および約28%である。珪藻化石は沼澤湿地付着生指標種群の*Pinnularia viridis*や*Stauroneis phoenicenteron*などが比較的多く、中～下流性河川指標種群や陸域指標種群などが随伴する。なお、B 6 地区No. 2 地点ではやや水深がある水域に生育する*Fragilaria construens*や*Fragilaria pinnata*が多く出現する。

こうしたことから、概ね沼澤地環境が推定されるが、B 6 地区No. 2 地点ではやや水深のある環境が見られる。

##### B II 層（B 5 地区No. 1 地点）

堆積物 1 g 中の珪藻殻数は約2.35×105個、完形殻の出現率は約17%である。珪藻化石は、沼澤湿地付着生指標種群の*Pinnularia viridis*や*Stauroneis phoenicenteron*あるいは*Cymbella subaequalis*などが多く、中～下流性河川指標種群が随伴する。こうしたことから、概ね沼澤地環境が推定される。

##### C III層以下（B 5 地区No. 1 地点, B 6 地区No. 2 地点, E 3 地区No. 3 地点）

全体的に珪藻化石は、破片が多くその数も少ない。こうした珪藻化石が少ないことは、堆積後の統成過程において珪藻殻が溶出した可能性が高い（Murakami1996）。ただし、検出された珪藻化石は、*Pinnularia*属や*Synedra ulna*などの破片が多いことから、これら堆積物は明らかな水域で堆積したことは間違いない。

#### 引用文献

安藤一男（1990）淡水産珪藻による環境指標種群の設定と古環境復元への応用、東北地理、42, 73-88.

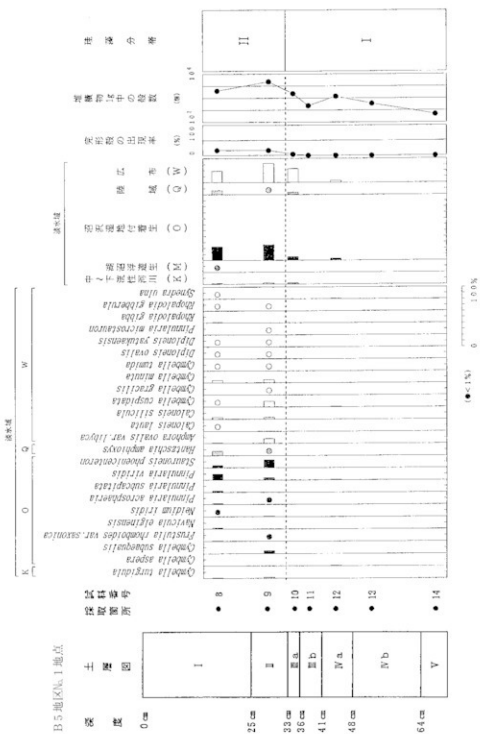
小杉正人（1988）珪藻の環境指標種群の設定と古環境復元への応用、第四紀研究、27, 1-20.

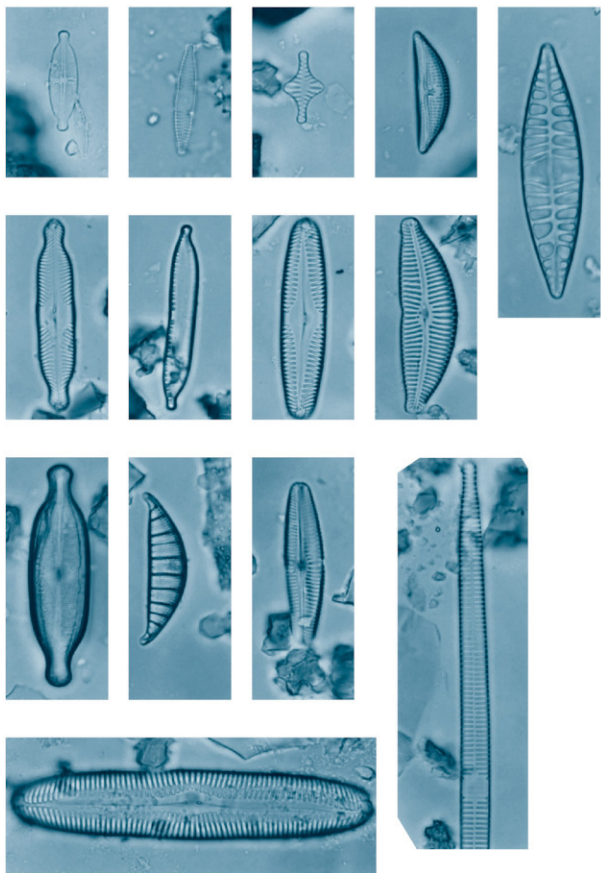
Murakami T. (1996) Siliceous Remains Dissolution at Sphagnum-bog Naganoyama a Wetland in Aichi Prefecture, Central Japan. Quat.Res (Daiyonki Kenkyu), 35 (1), 17-23.

分類群	種群	B5 地區 N.1 地點							B6 地區 N.2 地點							E3 地區 N.3 地點						
		8	9	10	11	12	13	14	19	21	22	23	24	25	40	41	42	43				
<i>Achnanthus exigua</i>	✓	-	-	-	-	-	-	-	3	-	-	-	-	-	-	-	-	-	-	-	-	-
<i>A. inflata</i>	✓	1	-	-	-	-	-	-	-	-	-	-	-	-	-	-	-	-	-	-	-	-
<i>A. lanceolata</i>	✗	-	-	-	-	-	-	-	1	-	-	-	-	-	-	-	-	-	-	-	-	-
<i>A. spp.</i>	✗	-	-	-	-	-	-	-	1	-	-	-	-	-	-	-	-	-	-	-	-	-
<i>Amphora ovalis</i> var. <i>lyrica</i>	✓	3	18	2	-	-	-	-	7	-	-	-	-	-	-	-	-	-	-	-	-	-
<i>Anomooneis sphaerophora</i>	✓	1	-	-	-	-	-	-	-	-	-	-	-	-	-	-	-	-	-	-	-	-
<i>Caloneis bacillum</i>	✗	-	-	-	-	-	-	-	3	-	-	-	-	-	-	-	-	-	-	-	-	-
<i>C. lauta</i>	✗	2	-	-	-	-	-	-	-	-	-	-	-	-	-	-	-	-	-	-	-	-
<i>C. silicula</i>	✗	7	6	-	-	-	-	-	2	-	2	-	-	-	-	-	-	-	-	-	-	-
<i>Cocconeis placostula</i>	✗	-	-	-	-	-	-	-	-	-	-	-	-	-	-	-	-	-	-	-	-	-
<i>Cyclotella costata</i>	✗	1	-	-	-	-	-	-	-	-	-	-	-	-	-	-	-	-	-	-	-	-
<i>C. cospida</i>	✗	0	-	-	-	-	-	-	-	-	-	-	-	-	-	-	-	-	-	-	-	-
<i>C. gracilis</i>	✗	1	19	-	-	-	-	-	4	-	-	-	-	-	-	-	-	-	-	-	-	-
<i>C. leptoceros</i>	✗	2	-	-	-	-	-	-	-	-	-	-	-	-	-	-	-	-	-	-	-	-
<i>C. minuta</i>	✗	8	11	2	-	-	-	-	10	-	-	-	-	-	-	-	-	-	-	-	-	-
<i>C. nivaliformis</i>	✗	0	-	1	-	-	-	-	-	-	-	-	-	-	-	-	-	-	-	-	-	-
<i>C. subaequalis</i>	✗	0	-	10	8	-	-	-	-	-	-	-	-	-	-	-	-	-	-	-	-	-
<i>C. tumida</i>	✗	1	2	-	-	-	-	-	-	-	-	-	-	-	-	-	3	-	1	-	-	-
<i>C. turgida</i>	✗	3	5	-	-	-	-	-	6	-	-	-	-	-	-	-	-	-	-	-	-	-
<i>C. spp.</i>	✗	9	11	3	1	20	-	-	8	-	5	2	-	-	-	-	-	-	-	-	-	-
<i>Diploneis finnica</i>	✗	-	-	-	-	-	-	-	1	-	-	-	-	-	-	-	-	-	-	-	-	-
<i>D. ovalis</i>	✗	1	2	-	-	-	-	-	-	-	-	-	-	-	-	-	-	-	-	-	-	-
<i>D. yatkaensis</i>	✗	1	2	-	-	-	-	-	-	-	-	-	-	-	-	-	-	-	-	-	-	-
<i>D. spp.</i>	✗	9	2	3	-	-	-	-	4	-	-	-	-	-	-	-	-	-	-	-	-	-
<i>Epithemia</i> spp.	-	-	-	-	-	-	-	-	-	-	-	-	-	-	-	-	-	-	-	-	-	-
<i>Eunota pectinalis</i>	✗	0	-	-	-	-	-	-	-	-	-	-	-	-	-	-	-	-	-	-	-	-
<i>E. praeerupta</i>	✗	-	1	-	-	-	-	-	-	-	-	-	-	-	-	-	-	-	-	-	-	-
<i>E. praeerupta</i> var. <i>bidenta</i>	✗	0	-	-	-	-	-	-	-	-	-	-	-	-	-	-	-	-	-	-	-	-
<i>E. spp.</i>	✗	?	2	1	-	-	-	-	-	-	-	-	-	-	-	-	-	-	-	-	-	-
<i>Fragilaria brevistriata</i>	✗	-	-	-	-	-	-	-	1	-	-	-	-	-	-	-	-	-	-	-	-	-
<i>F. construens</i>	✗	-	-	-	-	-	-	-	10	-	-	-	-	-	-	-	-	-	-	-	-	-
<i>F. leptostaura</i>	✗	-	-	-	-	-	-	-	1	-	-	-	-	-	-	-	-	-	-	-	-	-
<i>F. pinnata</i>	✗	-	-	-	-	-	-	-	1	-	-	-	-	-	-	-	-	-	-	-	-	-
<i>Frustulia rhomboides</i> var. <i>saxonica</i>	✗	0	3	2	-	-	-	-	2	-	-	-	-	-	-	-	-	-	-	-	-	-
<i>F. spp.</i>	✗	-	-	1	-	-	-	-	-	-	-	-	-	-	-	-	-	-	-	-	-	-
<i>Gyrophora acuminata</i>	✗	0	-	-	-	-	-	-	-	-	-	-	-	-	-	-	-	-	-	-	-	-
<i>G. spp.</i>	✗	-	-	-	-	-	-	-	-	-	-	-	-	-	-	-	-	-	-	-	-	-
<i>Gyrosigma</i> spp.	✗	-	-	-	-	-	-	-	-	-	-	-	-	-	-	-	-	-	-	-	-	-
<i>Hantzschia amphioxys</i>	✗	14	1	2	-	-	-	-	9	-	-	-	-	-	-	-	3	-	-	-	-	-
<i>Melosira ambigua</i>	✗	-	-	-	-	-	-	-	1	-	-	-	-	-	-	-	-	-	-	-	-	-
<i>M. cryptoccephala</i>	✗	-	-	-	-	-	-	-	1	-	-	-	-	-	-	-	-	-	-	-	-	-
<i>M. cuspida</i>	✗	1	-	-	-	-	-	-	-	-	-	-	-	-	-	-	1	-	1	-	-	-
<i>M. elginiensis</i>	✗	0	4	-	-	-	-	-	1	6	-	-	-	-	-	-	-	-	-	-	-	-
<i>M. motica</i>	✗	-	-	-	-	-	-	-	-	-	-	-	-	-	-	-	-	-	-	-	-	-
<i>M. popula</i>	✗	-	-	-	-	-	-	-	-	-	-	-	-	-	-	-	-	-	-	-	-	-
<i>M. spp.</i>	✗	?	4	1	-	-	-	-	-	-	-	-	-	-	-	-	-	-	-	-	-	-
<i>Nitzschia alpinum</i>	✗	-	-	-	-	-	-	-	-	-	-	-	-	-	-	-	-	-	-	-	-	-
<i>N. iridis</i>	✗	0	1	3	-	-	-	-	-	-	-	-	-	-	-	-	-	-	-	-	-	-
<i>N. productum</i>	✗	0	1	1	-	-	-	-	-	-	-	-	-	-	-	-	-	-	-	-	-	-
<i>N. spp.</i>	✗	?	4	5	-	-	-	-	-	-	-	-	-	-	-	-	-	-	-	-	-	-
<i>Nitzschia amphibia</i>	✗	-	-	-	-	-	-	-	-	-	-	-	-	-	-	-	-	-	-	-	-	-
<i>N. parvula</i>	✗	-	-	-	-	-	-	-	-	-	-	-	-	-	-	-	-	-	-	-	-	-
<i>N. tyblionella</i>	✗	-	-	-	-	-	-	-	-	-	-	-	-	-	-	-	-	-	-	-	-	-
<i>N. spp.</i>	✗	?	5	1	-	-	-	-	-	-	-	-	-	-	-	-	-	-	-	-	-	-
<i>Pinnularia acerosphaeris</i>	✗	0	5	2	-	-	-	-	1	-	-	-	-	-	-	-	-	-	-	-	-	-
<i>P. braunii</i>	✗	1	-	-	-	-	-	-	-	-	-	-	-	-	-	-	-	-	-	-	-	-
<i>P. gibba</i>	✗	0	1	1	-	-	-	-	-	-	-	-	-	-	-	-	-	-	-	-	-	-
<i>P. hemisterna</i>	✗	-	-	-	-	-	-	-	-	-	-	-	-	-	-	-	-	-	-	-	-	-
<i>P. interrupta</i>	✗	1	-	-	-	-	-	-	-	2	-	-	-	-	-	-	-	-	-	-	-	-
<i>P. microstomatum</i>	✗	-	2	-	-	-	-	-	-	-	3	-	-	-	-	-	-	-	-	-	-	-
<i>P. subcapitata</i>	✗	0	5	-	-	-	-	-	1	-	-	-	-	-	-	-	-	-	-	-	-	-
<i>P. viridis</i>	✗	0	20	8	-	-	-	1	2	-	6	-	-	-	-	-	-	-	-	-	-	-
<i>P. spp.</i>	?	70	52	35	3	50	10	-	45	-	2	-	-	-	-	-	-	-	-	1	-	-
<i>Shoplodia gibba</i>	✗	3	-	-	-	-	-	-	-	-	7	-	-	-	-	-	-	-	-	-	-	-
<i>S. gibberula</i>	✗	2	1	-	-	-	-	-	-	-	2	-	-	-	-	-	-	-	-	1	-	-
<i>Stauroneis acuta</i>	✗	1	-	-	-	-	-	-	-	-	-	-	-	-	-	-	-	-	-	-	-	-
<i>S. phaeocentera</i>	✗	0	8	25	1	-	-	1	-	-	15	-	-	-	-	-	-	-	-	-	-	-
<i>S. spp.</i>	?	-	-	-	-	-	-	-	-	-	-	-	-	-	-	-	-	-	-	-	-	-
<i>Surrella ulna</i>	✗	2	1	2	1	-	-	-	-	-	-	-	-	-	-	1	3	5	-	1	-	13
<i>S. spp.</i>	?	-	-	-	-	-	-	-	-	-	-	-	-	-	-	-	-	-	-	-	-	-
<i>Thalassiosira transpatree</i>	✗	1	-	-	1	1	-	-	-	-	-	-	-	-	-	1	3	1	-	-	-	-
Unknown	?	5	5	3	4	5	1	-	-	-	-	-	-	-	-	1	-	-	-	-	-	-

第1表 珍藻分析結果

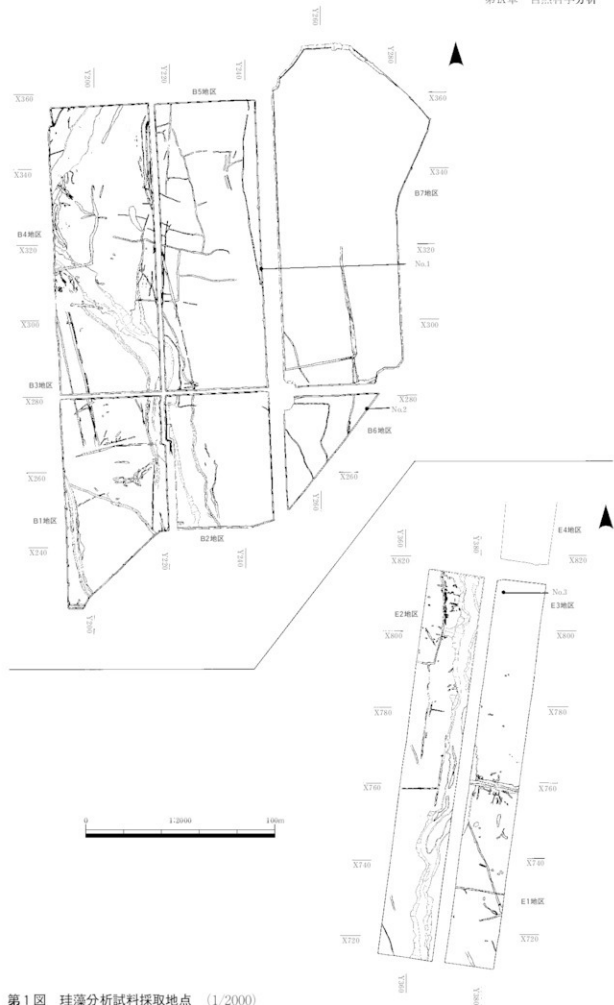
第2表 珪藻ダイアグラム





— 10  $\mu$  m

図版 珪藻化石の顕微鏡写真



第1図 珪藻分析試料採取地点 (1/2000)

## 6 花粉分析

株式会社古環境研究所

### (1) はじめに

種子植物やシダ植物等が生産する花粉・胞子は、分解されにくく堆積物中に比較的良好に保存される。花粉は、風媒花植物であれば空中に飛散し、虫媒花植物ならば昆虫により運搬され、多くの場合、地表に落下後土壌中あるいは雨水や河川で運搬され水域に堆積する。花粉分析では、堆積物より抽出した花粉の種類構成や相対比率から地層の対比を行ったり、植生や土地条件などの古環境や古気候の推定が行われる。一般には、比較的広域に分布する水成堆積物を対象として、堆積盆地などのやや広域な植生や環境の復元に用いられるが、考古遺跡では、堆積域の狭い遺構などの堆積物から、局地的な植生や環境の復元にも用いられる。

### (2) 方法

花粉粒の分離抽出は、基本的には中村（1973）を参考にし、試料に以下の順で物理化学処理を施して行った。

- 1) 5%水酸化カリウム溶液を加え15分間湯煎する。
- 2) 水洗した後、0.5mmの篩で藻などの大きな粒子を取り除き、沈澱法を用いて砂粒の除去を行う。
- 3) 25%フッ化水素酸溶液を加えて30分放置する。
- 4) 水洗した後、冰酢酸によって脱水し、アセトトリシス処理（無水酢酸9：1濃硫酸のエルドマン氏液を加え1分間湯煎）を施す。
- 5) 再び冰酢酸を加えた後、水洗を行う。
- 6) 沈渣に石炭酸フクシンを加えて染色を行い、グリセリンゼリーで封入しプレパラートを作製する。

以上の物理・化学の各処理間の水洗は、1500rpm、2分間の遠心分離を行った後、上澄みを捨てるという操作を3回繰り返して行った。

検鏡はプレパラート作製後直ちに、生物顕微鏡によって300～1000倍で行った。花粉の同定は、鳥倉（1973）および中村（1980）をアトラスとし、所有の現生標本との対比で行った。結果は同定レベルによって、科、亜科、属、亜属、節および種の階級で分類した。複数の分類群にまたがるものはハイフン（-）で結んで示した。なお、科・亜科や属の階級の分類群で一部が属や節に細分できる場合はそれらを別の分類群とした。イネ属に関しては、中村（1974, 1977）を参考にし、現生標本の表面模様・大きさ・孔・表層断面の特徴と対比して分類し、個体変化や類似種があることからイネ属型とした。

### (3) 平成8年度の花粉分析

#### A 試料

調査区の土層は、下位より灰色砂（V層）、黒褐色粘土（IV層）、黄灰色粘質土（III b層）、暗灰黄色シルト（III a層）、黒褐色シルト（II層）、現水田（I層）に分層された。このうち、IV層からは弥生古墳時代の水田遺構が検出されていた。

調査地点は、B1地区№1地点（X182, Y213）、B2地区№2地点（X185, Y242）と№3地点（X195, Y247）、B3地区№4地点（X221, Y215）と№5地点（X227, Y205）の5地点である。分析試料は、№1地点ではI層～IV層、№2地点ではI層、III a層、III b層、IV層、№3地点ではII層、№4地点ではI層、III a層、III b層、IV層、№5地点ではII層においてそれぞれ採取された。

## B 結果

出現した分類群は、樹木花粉36、樹木花粉と草本花粉を含むもの4、草本花粉25、シダ植物胞子2形態の計67である。これらの学名と和名および粒数を第1・2表に示す。主要な分類群を写真に示す。以下に出現した分類群を示す。

### 〔樹木花粉〕

モミ属、トウヒ属、ツガ属、マツ属複維管束亞属、マツ属單維管束亞属、スギ、コウヤマキ、イチイ科ーイスガヤ科ーヒノキ科、クルミ属、サワグルミ、ハンノキ属、カバノキ属、クマシデ属ーアサダ、クリーシイ属、ブナ属、コナラ属コナラ亞属、コナラ属アカガシ亞属、ニレ属ーケヤキ、エノキ属ームクノキ、アカメガシワ、サンショウウ属、キハダ属、ウルシ属、モチノキ属、ニシキギ科、カエデ属、トチノキ、ブドウ属、シナノキ属、ミズキ属、ハイノキ属、モクセイ科、トネリコ属、ツツジ科、ニワトコ属ーガマズミ属、スイカズラ属

### 〔樹木花粉と草本花粉を含むもの〕

クワ科ーイラクサ科、バラ科、マメ科、ウコギ科

### 〔草本花粉〕

ガマ属ーミクリ属、サジオモダカ属、オモダカ属、イネ科、イネ属型、カヤツリグサ科、ホシクサ属、ミズアオイ属、タデ属、タデ属サナエタデ節、ソバ属、アザゼーヒユ科、ナデシコ科、キンボウゲ属、カラマツソウ属、アブラナ科、ツリフネソウ属、ノブドウ、アリノトウグサ属ーフサモ属、セリ科、ナス科、オオバコ属、タンボボア科、キクア科、ヨモギ属

### 〔シダ植物胞子〕

単条溝胞子、三条溝胞子

以下、各地点の花粉群集は花粉構成と主要花粉の層位の変化によって、花粉帯に区分された。以下に設定された花粉帯の特徴を地点ごとに記す。

#### a 層位による変遷

花粉構成および主要花粉の層位による変遷は各地点とも同じ変遷を示し、下位より2帯2亞帯の花粉帯が設定された。

I帯（II、IIIa、IIIb、IV層）：樹木花粉の占める割合が草本花粉より高く、スギ、ハンノキ属、コナラ属コナラ亞属の出現率が高い。他にトチノキ、ブナ属、ニワトコ属ーガマズミ属が伴われる。草本花粉ではイネ科、カヤツリグサ科、ヨモギ属の出現率がやや高い。

a 亜帯（IIIa、IIIb、IV層）では、草本花粉の占める割合がやや低く、イネ属型の出現率は低い。IV層はイネ属型の出現率が他層より高く、シダ植物胞子の占める割り合いが高い。

b 亜帯（II層）はイネ属型とイネ科の出現率が高くなることによって特徴づけられ、試料によっては栽培植物であるソバ属が伴われる。

II帯（I層）：マツ属複維管束亞属とアブラナ科の増加によって特徴づけられる。

#### b 地点間による変化

各地点における花粉構成の異なりや花粉組成の大きな相違ではなく、小さな変化がみられる。

I帯 a 亜帯（IIIa、IIIb、IV層）ではB1地区№1地点が他地点より樹木花粉の占める割合が高い。B2地区№2地点のIIIa層はイネ属型の出現率がやや高い。I帯 b 亜帯（II層）ではイネ属型の出現率がB1地区№1地点が最も高く、B2地区№3地点が最も低い。

II帯（I層）では地点間における変化はみられない。

### c 花粉分析から推定される植生と環境

以下に、下部より推定される植生と環境を復元する。

#### 1) IV層, III a, III b層の時期（I帶 a亜帯）

周辺はやや森林が多く、スギとナラ類（コナラ属コナラ亜属）の森林が地域的な森林として分布していた。遺跡およびその周囲はイネ科やカヤツリグサ科の水湿地草本の生育する湿地の環境であったとみなされ、生態的にみて、ハンノキ（ハンノキ属）の湿地林が形成され、トチノキ等の河辺林が分布していたと考えられる。樹木花粉の占め割合はB 1 地区A 地点が他地点より高く、森林域に近い。

各層の時期とも、水田が営まれていたと推定されるが、分布が狭く断続的に営まれていたと考えられる。層位的にはIV層の時期に水田がやや分布するが、III a層の時期は衰退する。III b層の時期はB 2 地区D 地点の周辺で他地点より速く水田が拡大された可能性がある。

#### 2) II層の時期（I帶 b亜帯）

水田が大きく拡大する。それに伴って森林は減少する。ソバ（ソバ属）の畑作も営まれる。

#### 3) I層の時期（II帶）

水田に加え、アブラナ科植物やソバなどの畑作が盛行する。森林植生ではマツの二次林が成立し分布する。

### （4）平成 9 年度の花粉分析

#### A 試料

検討した堆積物は、B 5 地区№6 地点の I 層（試料№8）、II 層（試料№9）、III a 層（試料№10）、III b 層（試料№11）、IV a 層（試料№12）、IV b 層（試料№13）、V 層（試料№14）の 7 試料、B 6 地区№7 地点の I 層（試料№19）、III a 層（試料№21）、III b 層（試料№22）、IV a 層（試料№23）、IV b 層（試料№24）、V 層（試料№25）の 6 試料、E 3 地区№8 地点の III 層（試料№40）、IV 層（試料№41）、IV a 層（試料№42）、V 層（試料№43）の 4 試料の合計 17 試料である。

なお、B 5 地区と B 6 地区では IV a 層と IV b 層が弥生から古墳時代の水田跡の層準であり、E 3 地区では IV 層が縄文時代晩期の集落跡の層準である。

#### B 結果

##### a 分類群

分析の結果、出現した分類群は、樹木花粉34、樹木花粉と草本花粉を含むもの4、草本花粉28、シダ植物胞子2形態の計68である。これらの学名と和名および粒数を第3～5表に示し、主要な分類群を写真に示す。以下に出現した分類群を記す。

##### 〔樹木花粉〕

モミ属、ツガ属、マツ属複維管束亜属、マツ属單維管束亜属、スギ、コウヤマキ、イチイ科—イスガヤ科—ヒノキ科、クルミ属、サワグルミ、ハンノキ属、カバノキ属、ハシバミ属、クマシデ属—アサダ、クリーシイ属、ブナ属、コナラ属コナラ亜属、コナラ属アカガシ亜属、ニレ属—ケヤキ、エノキ属—ムクノキ、センダン属、キハダ属、ウルシ属、モチノキ属、カエデ属、トチノキ、ブドウ属、ツタ、ミズキ属、エゴノキ属、モクセイ科、トネリコ属、ツツジ科、ニワトコ属—ガマズミ属、スイカズラ属

##### 〔樹木花粉と草本花粉を含むもの〕

クワ科—イラクサ科、バラ科、マメ科、ウコギ科

## 〔草本花粉〕

ガマ属—ミクリ属, サジオモダカ属, オモダカ属, イネ科, イネ属型, カヤツリグサ科, ミズバシヨウ属, ホシクサ属, イボクサ, ミズアオイ属, カラハナソウ属, タデ属, タデ属サナエタデ節, ソバ属, アカザ科—ヒユ科, ナデシコ科, キンボウゲ属, アブラナ科, ツリフネソウ属, スミレ属, アカバナ科, アリノトウグサ属—フサモ属, チドメグサ亜科, セリ亜科, オオバコ属, タンボボ亜科, キク亜科, ヨモギ属

## 〔シダ植物胞子〕

單条溝胞子, 三条溝胞子

## b 花粉群集の特徴

下老子笹川遺跡の花粉群集は、下部より4つの特徴ある花粉帶に区分された。以下に花粉帶に沿って、花粉群集の特徴を記す。

## 1) I 帯: E 3 地区のIV層・IV a 層・V 層

樹木花粉の占める割合が草本花粉より極めて高く、クリーシイ属が著しく優占する。他は低率でハンノキ属、トチノキ、ニワトコ属—ガマズミ属、アカザ科—ヒユ科、ヨモギ属などが出現する。

## 2) II 帯: B 5 地区のIV b 層・V 層, B 6 地区のIV b 層・V 層

樹木花粉より草本花粉およびシダ植物胞子の占める割合が高い。上位に向かってシダ植物胞子の割合は低くなる。樹木花粉ではスギ、ハンノキ属が優占し、クリーシイ属、ブナ属、コナラ属コナラ亜属などが伴われる。草本花粉ではイネ属型を含むイネ科、カヤツリグサ科、ヨモギ属の出現率が高い。B 5 地区 № 6 地点がイネ属型を含むイネ科の出現率が高く、B 6 地区 № 7 地点のほうがヨモギ属の出現率が高い。

## 3) III 帯: B 5 地区のIII a 層・III b 層・IV a 層, B 6 地区のIII b 層・IV a 層

樹木花粉の割合が高くなり、スギ、ハンノキ属の出現率が増加する。草本花粉ではイネ属型を含むイネ科、カヤツリグサ科、ヨモギ属などが主に出現する。イネ属型の出現率はB 6 地区 № 7 地点のほうが高い。

## 4) IV 帯: B 5 地区のI 層・II 層, B 6 地区のI 层・III a 層

草本花粉の占める割合が高くなり、イネ属型を含むイネ科の出現率が高くなる。他に草本花粉ではアブラナ科の出現率が高くなる特徴を示す。樹木花粉ではマツ属複雜管束亜属の出現率が高くなる。

## c 花粉分析から推定される植生と環境

各時代の植生と環境を花粉分析から推定する。

## 1) 繩文時代晚期 (I 帶, E 3 地区のIV層・IV a 層・V 層)

クリーシイ属の花粉の出現率が高いが、小型であるクリ花粉の占める割合が高い。このことから、周囲はクリ林に覆われていたと推定される。他にハンノキ属、トチノキ、ニワトコ属—ガマズミ属の樹木とアカザ科—ヒユ科、ヨモギ属の草本も分布していたとみられる。クリ林は照葉樹林帯と落葉広葉樹林帯の中間に途中相として形成され、温帶の中央付近で寒暖の差の著しい気候を示唆する。なお、クリ林が半栽培による人為によって形成された可能性もある。いずれにせよ、クリは優良な食糧となる。

## 2) 弥生～古墳時代 (II 帯, B 5 地区のIV b 層・V 層, B 6 地区のIV b 層・V 層)

周囲は草本やシダ植物が優勢であり、イネ属型の検出から水田であったとみなされる。V層は下部であるが、耕作によりイネ属型が混ざり込んだ可能性がある。V層の時期はやや乾燥した環境であり、

IV b層の時期では湿润化する。B 5 地区のほうがB 6 地区より稻作の集約性が高く、B 6 地区はより乾燥した環境と推定される。森林はスギ、ハンノキ属が多く、クリ、シイ属、ブナ属、ナラ類（コナラ属コナラ亜属）などで構成される。I 帯よりは湿润化したことが示唆される。

### 3) 弥生～古墳時代以降（Ⅲ带、B 5 地区のⅢa層・Ⅲb層・Ⅳa層、B 6 地区のⅢb層・Ⅳa層）

スギとハンノキ属の森林が拡大したとみられる。ハンノキ属は植生上から湿地性のハンノキが考えられ、河辺林や湿地林が拡大したと推定される。堆積地は草本が生育し、水田等の環境が考えられる。B 5 地区のほうがイネ属型花粉の出現率が高く、集約性が高いと判断される。なお、上位に向かって森林が減少し、水田が拡大したようである。

### 4) 近現代まで（Ⅳ带、B 5 地区のⅠ層・Ⅱ層、B 6 地区のⅠ層・Ⅲa層）

水田が広く営まれ、アブラナ科など集約性の高い畑作が行われたとみられる。森林植生ではニヨウマツ類（マツ属複維管束亜属）が増加し、マツ林が二次林として形成されたと判断される。

## （5）平成10年度の花粉分析

### A 試料

試料は、C 4 地区№9地点のⅢ層（試料1）、Ⅳ層上（試料2）、Ⅳ層下（試料3）、V層（試料4）、C 3 地区№10地点のⅢ層（試料5）、Ⅳ層上（試料6）、Ⅳ層下（試料7）、V層（試料8）の計8点である。なお、Ⅳ層は縄文時代晩期の堆積層である。

### B 結果

#### a 分類群

出現した分類群は、樹木花粉28、樹木花粉と草本花粉を含むもの3、草本花粉12、シダ植物胞子2形態の計45である。これらの学名と和名および粒数を第6・7表に示し、主要な分類群を写真に示す。以下に出現した分類群を記す。

#### 〔樹木花粉〕

モミ属、ツガ属、マツ属複維管束亜属、マツ属単維管束亜属、スギ、コウヤマキ、イチイ科一イヌガヤ科ヒノキ科、クルミ属、サワグルミ、ハンノキ属、カバノキ属、クマシデ属—アサダ、クリ、シイ属、ブナ属、コナラ属コナラ亜属、コナラ属アカガシ亜属、ニレ属—ケヤキ、エノキ属—ムクノキ、キハダ属、ウルシ属、モチノキ属、ニシキギ科、カエデ属、トチノキ、グミ属、トネリコ属、ニワトコ属—ガマズミ属

#### 〔樹木花粉と草本花粉を含むもの〕

クワ科—イラクサ科、マメ科、ウコギ科

#### 〔草本花粉〕

ガマ属—ミクリ属、イネ科、カヤツリグサ科、アカザ科ヒユ科、キンボウゲ属、アブラナ科、ツリフネソウ属、チドメグサ亜科、セリ亜科、タンボボ亜科、キク亜科、ヨモギ属

#### 〔シダ植物胞子〕

單条溝胞子、三条溝胞子

### b 花粉群集の特徴

#### 1) C4 地区

Ⅲ層（試料1）、Ⅳ層上（試料2）、Ⅳ層下（試料3）、V層（試料4）の4層準について分析を行った。各層準とも概ね花粉組成は類似する。すなわち樹木花粉の占める割合が高く、クリ、コナラ属コナラ亜属が優占し、ハンノキ属、スギ、トチノキの出現率がやや高い。草本花粉ではイネ科、カヤツ

リグサ科、ヨモギ属が主に出現する。上位に向かってコナラ属コナラ亜属がやや増加し、クリが減少傾向を示す。

### 2) C 3 地区

V層（試料8）では、コナラ属コナラ亜属、ハンノキ属、クリ、トチノキ、キハダ属の出現率が高く、樹木花粉の占める割合が高い。草本花粉ではイネ科、ヨモギ属が出現率が比較的高い。IV層上（試料6）、IV層下（試料7）になると、トチノキが高率になり、クリ、ハンノキ属、コナラ属コナラ亜属、スギが伴われる。キハダ属は低率になる。草本花粉ではイネ科、ヨモギ属が主に出現する。III層（試料5）では、トチノキが低率になり、クリが高率に優占する。

#### c 花粉分析から推定される植生と環境

C 4 地区では、V層からIII層にかけては植生は大きく変化せず、クリ、ナラ類（コナラ属コナラ亜属）を主とする落葉広葉樹林が分布し、ハンノキ属、スギ、トチノキが伴われる。クリ、ナラ類は比較的乾燥したところに生育し、C 4 地区周辺はやや乾燥した環境であったと考えられる。クリは虫媒花植物であり、現地性が高い。ハンノキ属やトチノキは湿地性の樹木であり、近隣の湿地に湿地林を形成していたと推定される。ナラ林が上位に向かってやや拡大、クリ林はやや減少する。イネ科、ヨモギ属を主とする草本も生育し、樹木の疎な日当たりの良いところも分布していたとみられる。

C 3 地区では、V層には、ナラ類（コナラ属コナラ亜属）、ハンノキ属、クリ、トチノキ、キハダ属を要素とする森林の存在が考えられるが、ナラ類（コナラ属コナラ亜属）やクリの分布する乾燥した環境とトチノキやハンノキ属の生育する湿った環境が隣接していたと推定される。イネ科、ヨモギ属を主とする草本も生育し、樹木の疎な日当たりの良いところも分布していたと推定される。IV層になると、トチノキ林が形成され分布する。トチノキは虫媒花植物であり、現地性が高く、C 3 地区周辺がトチノキ林に覆われていたと考えられる。III層では、トチノキが減少し、クリ林が拡大する。なお、特に人為性の高い草本の増加はみられないことから、人為的かどうかは不明である。クリ林の拡大から乾燥化が考えられる。

#### （6）まとめ

下老子笛川遺跡の花粉分析の結果、縄文時代晩期を挟む時期（V層～III層）においては、基本的にはクリ、ナラ類を主とする落葉広葉樹林が分布し、ハンノキ属、トチノキの生育する湿地が分布していたと推定された。C 3 地区周辺では、IV層（縄文時代晩期）にトチノキ林が形成され分布し、III層になるとトチノキが減少しクリ林が拡大したと推定された。

#### 参考文献

- 中村純（1973）花粉分析、古今書院、82–110.
- 金原正明（1993）花粉分析法による古環境復原、新版古代の日本第10巻古代資料研究の方法、角川書店、248–262.
- 鳥倉巳三郎（1973）日本植物の花粉形態、大阪市立自然科学博物館収蔵目録第5集、60.
- 中村純（1980）日本産花粉の標識、大阪自然史博物館収蔵目録第13集、91.
- 中村純（1974）イネ科花粉について、とくにイネ（*Oryza sativa*）を中心として、第四紀研究、13、187–193.
- 中村純（1977）稲作とイネ花粉、考古学と自然科学、第10号、21–30.

第1表 下老子笠川遺跡における花粉分析結果(1)

第2表 下老子筐川遺跡における花粉分析結果(2)

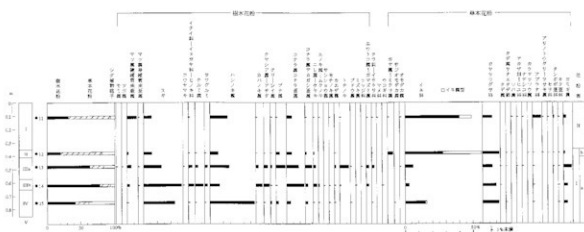
表3 下老子笠川遺跡における花粉分析結果(3)

第6表 下老子笹川遺跡における花粉分析結果(6)

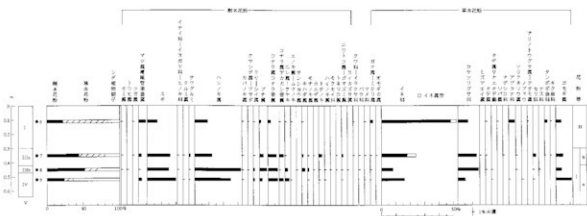
第5表 下老子筍川遺跡における花粉分析結果(5)

第7表 下老子篠川遺跡における花粉分析結果(7)

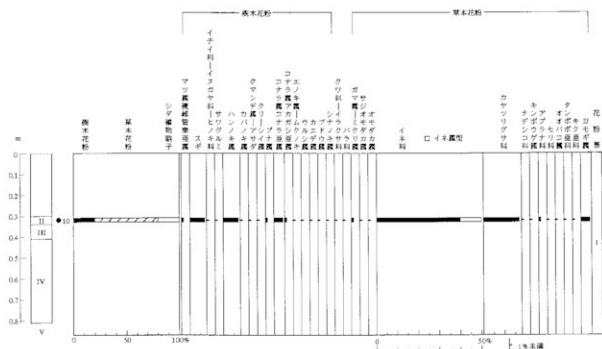
学名	和名	C3(No.1)周辺地			
		III層	IV層上	IV層下	V層
Arboreal pollen	樹木花粉				
<i>Tsuga</i>	ツガ属	1		1	
<i>Pinus</i> subgen. <i>Diploxylon</i>	マツ属複葉松管束也属	7	6	7	9
<i>Pinus</i> subgen. <i>Haploxylon</i>	マツ属單葉管束也属	2			
<i>Cryptomeria japonica</i>	スギ	13	19	18	10
<i>Sciadopitys verticillata</i>	コラヤマキ				1
Taxaceo-Cephalotaxaceo-Cepressaceae	イチイ科・イヌガヤ科・ヒノキ科	3		1	1
<i>Juglans</i>	クルミ属	1	2	1	6
<i>Pterocarya rhoifolia</i>	サザンカ属	1		2	1
<i>Alnus</i>	ハンノキ属	19	15	13	32
<i>Betula</i>	カバノキ属	8	1	1	
<i>Carpinus-Ostrya japonica</i>	クマシデ属・アサダ	6	3	1	6
<i>Castanea crenata</i>	クリ	97	25	36	27
<i>Castanopsis</i>	シイ属	3	2	4	16
<i>Fagus</i>	ブナ属	1	1		2
<i>Quercus</i> subgen. <i>Lepidobalanus</i>	コラマツ属コナラ属	22	15	18	35
<i>Quercus</i> subgen. <i>Cyclobalanopsis</i>	コラマツ属カガシ属	2			6
<i>Ulmus-Zelkova serrata</i>	ニレ属・ケヤキ	5	1	2	3
<i>Celtis-Aphananthe aspera</i>	エノキ属・ムクノキ	1	1	1	3
<i>Phellodendron</i>	ホウズク属	2	3		23
<i>Rhus</i>	ウラジロ属			1	3
<i>Ilex</i>	モチノキ属	2			
<i>Acer</i>	カエデ属	1			2
<i>Aesculus turbinata</i>	トチノキ	23	95	98	27
<i>Fraxinus</i>	トリノキ属	1			
<i>Sambucus-Viburnum</i>	ゴヨトク属・ガマズミ属	3			
Arboreal + Nonarboreal pollen	樹木・草木花粉				
Moraceae-Urticaceae	クワ科・イラクサ科	2	2	1	
Araliaceae	ワコギ科	1			
Nonarboreal pollen	草木花粉				
<i>Typha-Spartanium</i>	ガマ属・ミクリ属	1			
Gramineae	イネ科	16	10	14	33
Cyperaceae	ガヤツリグサ科	6	3	1	13
Chenopodiaceae-Amaranthaceae	アカザ科・ヒユ科	3			2
<i>Ranunculus</i>	キンポウゲ属				1
Croceiflorae	アフラナ科				1
<i>Impatiens</i>	ワリフレソツ属				1
Apidae	セリバ科	2		2	2
Lactucoideae	タンボボ科			1	
Asteroidae	キク科	1	1		2
<i>Artemisia</i>	ヨモギ属	15	7	8	19
Fern spore	シダ植物類子				
Monosporite type spore	单胞清孢子	26	15	20	95
Trilete type spore	三清孢子	12	5	7	26
Arboreal pollen	樹木・草木花粉	222	188	208	213
Arboreal + Nonarboreal pollen	樹木・草木花粉	3	2	1	0
Nonarboreal pollen	草木花粉	41	24	26	74
Total pollen	花粉總數	266	214	235	287
Unknown pollen	未定同花粉	6	4	2	7
Fern spore	シダ植物類子	38	20	27	121
Helminth eggs	寄生虫卵	(-)	(-)	(-)	(-)
	明らかに消化液	(-)	(-)	(-)	(-)



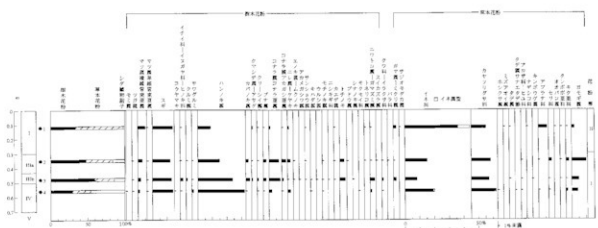
第1図 下老子笠川遺跡B1地区No.1地点における花粉ダイアグラム（花粉総数が基數）



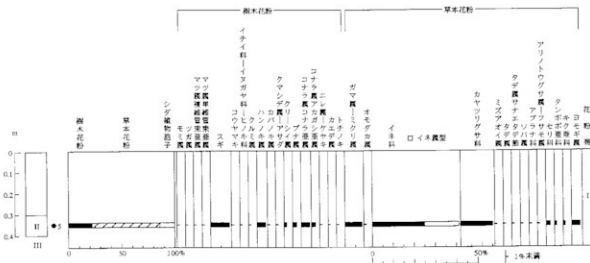
第2図 下老子笛川遺跡B2地区N°2地点における花粉ダイアグラム（花粉総数が基準）



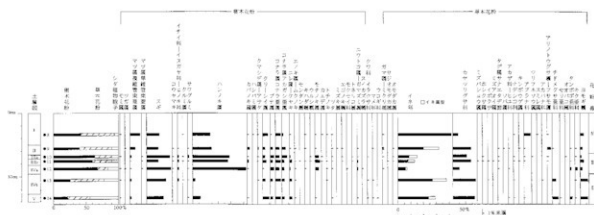
第3図 下老子笛川遺跡B2地区N°3地点における花粉ダイアグラム（花粉総数が基準）



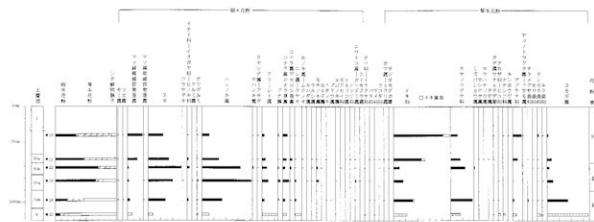
第4図 下老子笛川遺跡B3地区N°4地点における花粉ダイアグラム（花粉総数が基準）



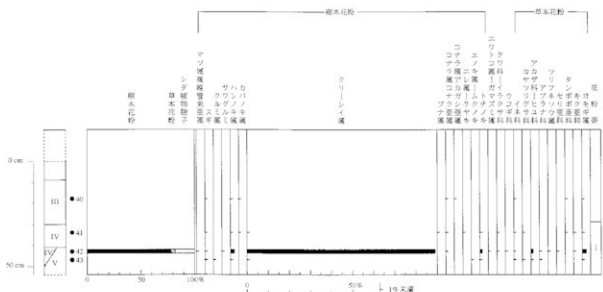
第5図 下老子笹川遺跡B3地区No.5地点における花粉ダイアグラム（花粉総数が基準）



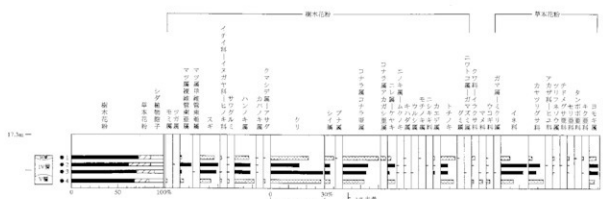
第6図 下老子笹川遺跡B5地区No.6地点における花粉ダイアグラム（花粉総数が基準）



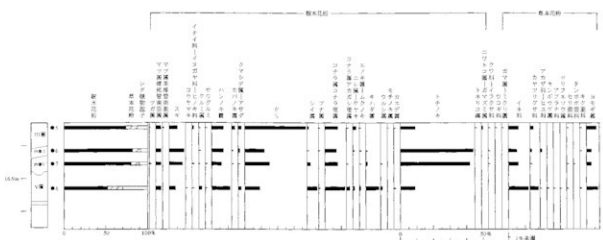
第7図 下老子塙川遺跡B6地区No.7地点における花粉ダイアグラム（花粉総数が基準）



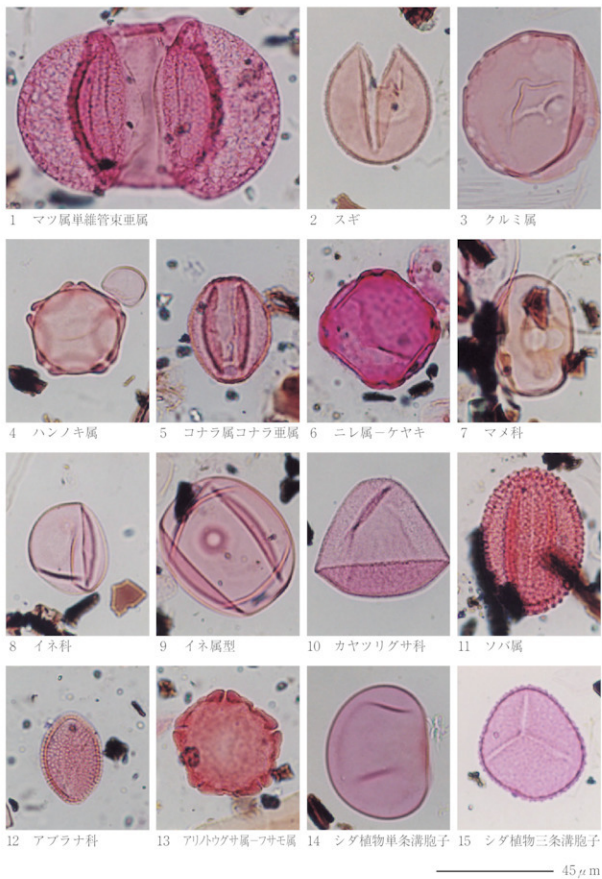
第8図 下老子笹川遺跡E 3地区No. 8地点における花粉ダイアグラム（花粉総数が基準）



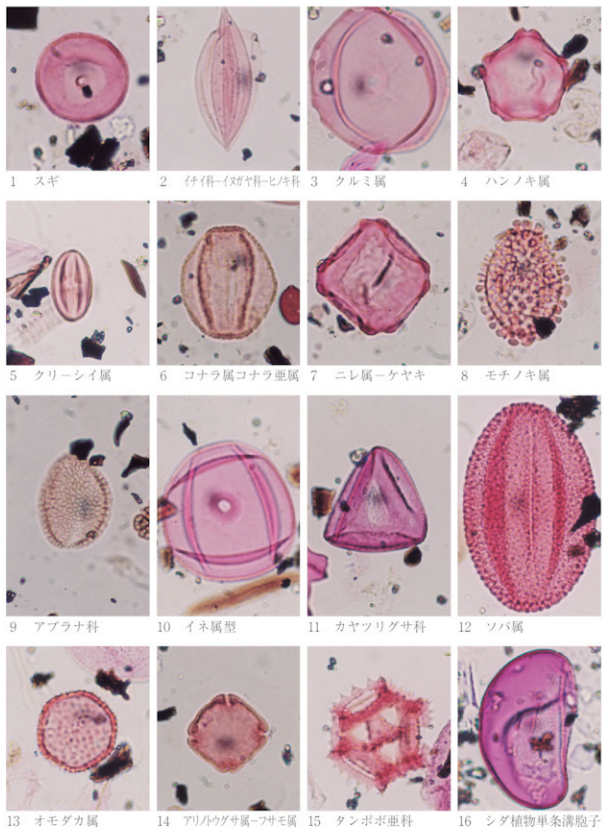
第9図 下老子笹川遺跡C 4地区No. 9地点における花粉ダイアグラム（花粉総数が基準）



第10図 下老子笹川遺跡C 3地区No. 10地点における花粉ダイアグラム（花粉総数が基準）



図版1 下老子笹川遺跡の花粉・胞子遺体

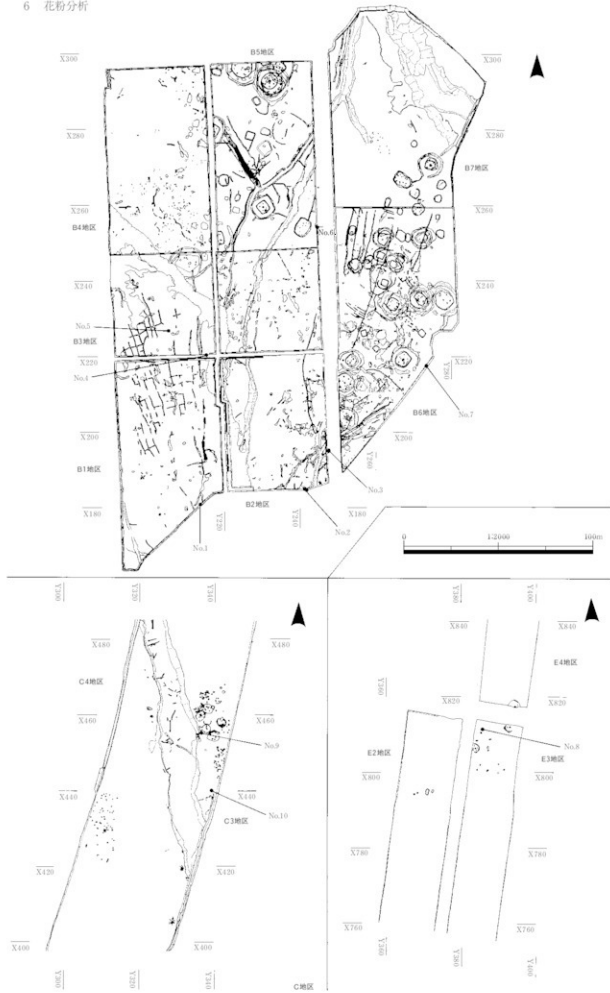
— 45  $\mu$ m —

図版2 下老子笹川遺跡の花粉・胞子遺体



図版3 下老子峠遺跡の花粉・胞子遺体

6 花粉分析



第11図 花粉分析試料採取地点 (1/2000)

## 7 土壤理化学分析

株式会社古環境研究所

### (1) はじめに

下老子笹川遺跡では、IV a層において弥生時代後期から古墳時代中期とされる水田跡が検出されたが、その直下のIV b層についても水田耕作層の可能性が示唆された。ここでは、両層準の堆積物について水素イオン濃度(pH)およびマンガン(MnO<sub>2</sub>)含有量を測定し、土壤理化学分析の視点から耕作土の可能性について検討を行った。

### (2) 試料および方法

測定試料は、B 5 地区No 1 地点のIV a層とIV b層、B 6 地区No 2 地点のIV a層とIV b層の計4 試料である。

測定方法は、水素イオン濃度についてはガラス電極法で、マンガン含有量については原子吸光光度法が用いられた。

### (3) 所見

測定結果を第1表に示す。

測定項目	単位	B 5 地区		B 6 地区	
		IV a層	IV b層	IV a層	IV b層
p H(H <sub>2</sub> O)	—	4.2	3.6	4.5	3.1
Mn O <sub>2</sub>	mg/100g	11.0	23.1	18.3	23.9

第1表 水素イオン濃度(pH)、マンガン(MnO<sub>2</sub>)含有量測定結果

一般に、水田土壤の水素イオン濃度(pH)は中性近くに保たれる傾向にある。これは、水田の場合、灌漑水により塩基が補給されること、湛水状態では土粒子間は水で満たされているため酸素不足の上、有機物分解に伴う微生物の活発な活動により酸素の消費が著しいことから還元状態になるためである。

また、水田表土中の酸化マンガンは、湛水後微生物作用によって還元され2価マンガンに変わると、酸化態に比べ水に溶けやすく、同時に生成された炭酸などの溶解作用も加わって土壤溶液中に溶け、水の下降運動により溶脱する。下層の酸化層に達すると酸化マンガンに酸化され溶解度を減じ沈殿する。稲作が継続されるとこの現象は毎年繰り返され、長年の間には表土中のマンガンは減少し、下層に集中する。

以上のこと考慮した上で各堆積層の特性についてみてみる。

#### A 水素イオン濃度

IV a層ではB 5 地区で4.2、B 6 地区で4.5、IV b層ではそれぞれ3.6と3.1と両地点ともほぼ近い値である。いずれも酸性値を示しているが、IV b層の方がやや小さく酸性が強いようである。水素イオン濃度の点からは、両層とも酸性が強く水田土壤としてはやや不適と判断される。ただし、測定値は水田廃絶後上位にI～III層が埋積した時点のものであり、水田が表土であった時の値とは限らない。

したがって、長年にわたる水分の浸透等による塩基の溶脱によって、酸性が強まった可能性は十分考えられる。

#### B マンガン含有量

IV a 層では B 5 地区で 11.0mg, B 6 地区で 18.3mg, IV b 層ではそれぞれ 23.1mg と 23.9mg と両地点ともに IV b 層が高い値である。上述のように、マンガンは下層に集中する傾向にある点から判断するならば、IV a 層が耕作層であった可能性は高いといえよう。

以上のように、水素イオン濃度、マンガン含有量を比較検討した結果、IV a 層については水田耕作層であった可能性が高いと判断される。

なお、地表面下に埋積された土壌については、後代の堆積層の影響を受けるため、当該層が地表面であった時点の理化学データを得ることは困難である。特に上層が水田層である場合、耕作や湛水が強く影響し、地表面時とは大きく異なる土壌特性になってしまう。本遺跡では、Ⅲ層が非耕作土であることから、IV a 層については地表面当時の特性をある程度保持している可能性が考えられるが、IV b 層に関しては IV a 層の影響が懸念され、地表面当時の特性を保持している可能性は低い。よって、これらの分析からは IV b 層についての判断は困難である。



第1図 土壤理化学分析試料採取地点 (1/800)

## 8 純文土器の植物珪酸体分析

株式会社古環境研究所

### (1) はじめに

植物珪酸体は、ガラスの主成分である珪酸 ( $\text{SiO}_2$ ) が植物の細胞内に蓄積したものであり、植物が枯死した後も微化石（プラント・オパール）となって土壤中に半永久的に残っている。植物珪酸体（プラント・オパール）分析は、この微化石を遺跡土壤などから検出し、その組成や量を明らかにする方法であり、イネをはじめとするイネ科栽培植物の同定および古植生・古環境の推定などに応用されている。

ここでは下老子鉢川遺跡より出土した土器について、当該時期における稲作の可能性を探る目的で植物珪酸体分析を行った。

### (2) 試料

分析試料は、第1表に示す7点である。

試料No	地区	出土地点	遺物番号
1	C 4	S I 4	
2	C 4	7号土器集中地点	第1分冊 65
3	C 4	6号土器集中地点	第1分冊 49
4	C 4	7号土器集中地点	第1分冊 56
5	C 4	3号土器集中地点	第1分冊 46
6	D 3	11号土器集中地点	第1分冊 246
7	D 2	9号土器集中地点	第1分冊 244

第1表 分析試料一覧

### (3) 分析法

植物珪酸体の抽出と定量は、「プラント・オパール定量分析法（藤原, 1976）」および「プラント・オパール土器胎土分析法（藤原, 1982）」を基本に、次の手順で行った。

- 1) 土器片を採図（コピー）する。
- 2) 土器片を3~4cm角程度に分割し分析試料とする。
- 3) 試料の表面を研削し異物を除去する。
- 4) 超音波照射（200W・42KHz・5分間）により洗浄する。
- 5) 煮沸後再び超音波照射（200W・42KHz・10分間）により試料を軟化する。
- 6) 試料を圧碎し土壤化する。
- 7) 試料土を恒温乾燥機（105°C・24時間）で絶乾する。
- 8) 試料土約1gを秤量し、ガラスピーブ（直径約40μm、約0.02g）を添加する。
- 9) 電気炉灰化法により脱有機物処理を行う。
- 10) 超音波照射（300W・42KHz・10分間）により分散する。
- 11) 沈底法により微粒子（20μm以下）を除去後乾燥する。
- 12) 封入剤（オイキット）中に分散し、プレパラートを作成する。

検鏡は、おもにイネ科植物の機動細胞（葉身にのみ形成される）に由来する植物珪酸体（以下、植物珪酸体と略す）を同定の対象とし、400倍の偏光顕微鏡下で行った。計数は、ガラスピーブ個数が2000

以上になるまで行った。これはほぼプレパラート5枚分の精査に相当する。

検鏡結果は、計数値を試料1 g中の植物珪酸体個数（試料1 gあたりのガラスピーズ個数に、計数された植物珪酸体とガラスピーズの個数の比率を乗じて求める）に換算して示した。

#### （4）分析結果

植物珪酸体分析の結果を第1図、第2表に示す。

土器片7点について分析を行った結果、ヨシ属、ウシクサ族（スキ属型）、タケ亜科（ネザサ節型、クマザサ属型、その他）の植物珪酸体が検出された。ただし、全体に植物珪酸体の風化が激しいことから、一般の土壤試料に比べ同定の精度が劣ることは否めない。

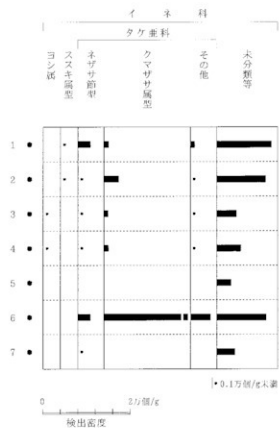
#### （5）所見

下老子笹川遺跡より出土した縄文時代晩期後半とされる土器片7点について植物珪酸体分析を行つたが、イネの植物珪酸体はいずれの試料からも検出されなかつた。したがつて、これらの土器試料からは当該時期において稲作が行われた痕跡は認められない。ただし、土器の胎土よりイネの植物珪酸体が検出されることは希であり、よほど水田土壤を用いて土器を製作するか、あるいは人為的に稻藁を土器に混入させるかしない限りイネの植物珪酸体が含まれている可能性は低いと考えられる。よつて、今回の土器試料よりイネの植物珪酸体が検出されなかつたからといって、当該時期における稲作の可能性を否定するものではない。

なお、試料№6からはクマザサ属型がきわめて高い密度で検出されている。このことから、当該土器の原料となった粘土は、クマザサ属の繁茂していた地点で採取されたか、あるいは土器の製作過程においてクマザサ属が人為的に混入された可能性が高い。

#### 参考文献

- 藤原宏志（1976）プラント・オパール分析法の基礎的研究（1）—数種イネ科栽培植物の珪酸体標本と定量分析法—、考古学と自然科学、9、15-29。  
 藤原宏志（1982）プラント・オパール分析法の基礎的研究（4）—熊本地方における縄文土器胎土に含まれるプラント・オパールの検出—、考古学と自然科学、14、55-65。



第1図 下老子塙川遺跡出土土器の植物珪酸体分析結果

※主な分類群について表示

分類群＼	試料	1	2	3	4	5	6	7
イネ科	Gramineae (Grasses)							
ヨシ属	<i>Phragmites</i>				4	3		
ススキ属型	<i>Miscanthus</i> type		4	4				
タケ亜科	Bambusoideae (Bamboo)							
ネザサ節型	<i>Pleioblastus</i> sect. <i>Nezasa</i> type	32	4	8	3		31	5
クマザサ属型	<i>Sasa</i> (except <i>Miyakozasa</i> ) type	12	36	11	12		333	
その他	Others	12	7	4	3		44	
未分類等	Unknown	124	114	45	59	35	115	42
植物珪酸体総数		184	161	71	80	35	523	46

第2表 下老子塙川遺跡出土土器の植物珪酸体分析結果

検出密度 (単位: ×100個/g)

## 9 樹種同定

### (1) 埋没樹根・流木の樹種同定

株式会社古環境研究所

#### A 試料

試料は、下老子笠川遺跡より出土した縄文時代晩期の流木21点と埋没樹根6点である。試料の記載は結果表とともに示す。

#### B 方法

カミソリを用いて、試料の新鮮な基本3断面（木材の横断面、放射断面、接線断面）を作製し、生物顕微鏡によって60~600倍で観察した。樹種同定は解剖学的形質および現生標本との対比によって行った。

#### C 結果

結果を第1表に示す。主要な分類群については顕微鏡写真を示した。以下に同定の根拠となった特徴を記す。

##### a ヤナギ属 *Salix* ヤナギ科 写真図版1

横断面：小型で放射方向にややのびた丸い道管が、単独あるいは数個放射方向に2~3複合し、散在する散孔材である。

放射断面：道管の穿孔は單穿孔で、道管相互の壁孔は交互状で密に分布する。放射組織は異性である。

接線断面：放射組織は、単列の異性放射組織型である。

以上の形質よりヤナギ属に同定される。ヤナギ属には、タチヤナギ、カワヤナギなどがあり、北海道、本州、四国、九州に分布する。落葉の高木または低木である。

##### b ハンノキ属 *Alnus* カバノキ科 写真図版2

横断面：小型で丸い道管が、放射方向に連なる傾向をみて散在する散孔材である。

放射断面：道管の穿孔は階段穿孔板からなる多孔穿孔で、階段の数は10~30本ぐらいである。放射組織は平伏細胞からなる。

接線断面：放射組織は、同性放射組織型で単列である。

以上の形質よりハンノキ属に同定される。ハンノキ属は北海道、本州、四国、九州、沖縄に分布する。落葉の高木または低木である。

##### c クリ *Castanea crenata* Sieb. et Zucc. ブナ科

横断面：中型の道管が、年輪界にむけて径を減じながら火炎状に配列する半環孔材である。

放射断面：道管の穿孔は單穿孔である。放射組織は平伏細胞からなる。

接線断面：放射組織は同性放射組織型で単列のものがほとんどであるが、まれに2列幅となる。

以上の形質よりクリに同定される。なお本試料は根材である為、上記の通り道管の配列などが幹材や枝材と異なる傾向を示す。クリは北海道の西南部、本州、四国、九州に分布する。落葉の高木で、通常高さ20m、径40cmぐらいであるが、大きいものは高さ30m、径2mに達する。耐朽性強く、水湿によく耐え、保存性の極めて高い材で、現在では建築、家具、器具、土木、船舶、彫刻、薪炭、椎茸など広く用いられる。

d コナラ属コナラ節 *Quercus sect. Prinus* ブナ科 写真版3

横断面：年輪のはじめに大型の道管が、1列配列する環孔材である。晩材部では薄壁で角張った小道管が、火炎状に配列する。早材から晩材にかけて道管の径は急激に減少する。

放射断面：道管の穿孔は單穿孔で、放射組織は平伏細胞からなる。

接線断面：放射組織は同性放射組織型で、単列のものと大型の広放射組織からなる複合放射組織である。

以上の形質よりコナラ属コナラ節に同定される。コナラ属コナラ節にはカシワ、コナラ、ナラガシワ、ミズナラがあり、北海道、本州、四国、九州に分布する。落葉高木で、高さ15m、径60cmぐらいに達する。材は強韌で弾力に富み、建築材などに用いられる。

e モクレン属 *Magnolia* モクレン科

横断面：小型の道管が、単独あるいは放射方向に2～3個複合して多数散在する散孔材である。早材から晩材にかけて、導管の径は緩やかに減少する。

放射断面：道管の穿孔は單穿孔で、道管相互の壁孔は階段状である。纖維状仮道管がしばしば薄い横隔壁で仕切られている。放射組織はほとんどが平伏細胞であるが、上下端のみ直立細胞からなる異性である。

接線断面：放射組織は異性放射組織型で、1～3細胞幅である。

以上の形質よりモクレン属に同定される。モクレン属にはホオノキ、コブシなどがあり、北海道、本州、四国、九州に分布する、常緑または落葉の高木ないし低木である。

試料(地区/地点/試料)	樹種	(和名/学名)
C4 No1 埋没樹根	バラ科	Rosaceae
C3 No2 埋没樹根1	トチノキ	<i>Aesculus turbinata</i> Blume
C3 No3 埋没樹根2	広葉樹	broad-leaved tree
C3 No4 埋没樹根3	コナラ属アカガシ亜属	<i>Quercus</i> subgen. <i>Cyclobalanopsis</i>
C3 No5 埋没樹根4	クリ	<i>Castanea crenata</i> Sieb. et Zucc.
C4 No6 流木1	トネリコ属	<i>Fraxinus</i>
C4 No7 流木2	トネリコ属	<i>Fraxinus</i>
C4 No8 流木3	トネリコ属	<i>Fraxinus</i>
C4 No9 流木4	ヤナギ属	<i>Salix</i>
C4 No10 流木5	トネリコ属	<i>Fraxinus</i>
C4 No11 流木6	トネリコ属	<i>Fraxinus</i>
C4 No12 流木7	トネリコ属	<i>Fraxinus</i>
C4 No13 流木8	トネリコ属	<i>Fraxinus</i>
C4 No14 流木9	トネリコ属	<i>Fraxinus</i>
C4 No15 流木10	コナラ属コナラ節	<i>Quercus sect. Prinus</i>
D3 No16 流木1	ヒサカキ属	<i>Eurya</i>
D3 No17 流木2	ハンノキ属	<i>Alnus</i>
D3 No18 流木3	トネリコ属	<i>Fraxinus</i>
D3 No19 流木4	キハダ属	<i>Phellodendron</i>
D3 No20 流木5	モクレン属	<i>Magnolia</i>
D3 No21 流木6	トネリコ属	<i>Fraxinus</i>
D3 No22 流木7	トネリコ属	<i>Fraxinus</i>
D3 No23 流木8	トネリコ属	<i>Fraxinus</i>
D3 No24 流木9	トネリコ属	<i>Fraxinus</i>
D3 No25 流木10	トネリコ属	<i>Fraxinus</i>
D3 No26 流木11	トネリコ属	<i>Fraxinus</i>
D3 No27 埋没樹根	トネリコ属	<i>Fraxinus</i>

第1表 下老子笛川遺跡出土木材の樹種同定結果

f キハダ属 *Phellodendron* ミカン科

横断面：年輪のはじめに大型でやや厚壁の丸い道管が、単独あるいは2個複合して2～3列配列する環孔材である。晩材部では薄壁で方形の小道管が、多数集合して斜め方向および接線方向に帯状に配列する。早材から晩材にかけて、道管の径は徐々に減少する。

放射断面：道管の穿孔は單穿孔である。放射組織は同性である。小道管の内壁にはらせん肥厚が存在する。

接線断面：放射組織は多列の同性放射組織型で、紡錘形を呈する。幅は1～5細胞幅である。小道管の内壁にはらせん肥厚が存在する。

以上の形質よりキハダ属に同定される。キハダ属には、キハダ、ヒロハノキハダなどがあり、北海道、本州、四国、九州に分布する。落葉の高木で、高さ25m、径1mに達する。

g ヒサカキ属 *Eurya* ツバキ科

横断面：小型の道管が、ほぼ単独で密に分布する散孔材である。

放射断面：道管の穿孔は階段穿孔板からなる多孔穿孔で、階段の数は多く50を越える。放射組織は平伏細胞、方形細胞、直立細胞からなる。

接線断面：放射組織は、異性放射組織型で、1～3細胞幅で、多列部と比べて單列部が長い。

以上の形質よりヒサカキ属に同定される。ヒサカキ属にはヒサカキ、ハマヒサカキなどがあり、本州、四国、九州、沖縄に分布する。常緑の小高木で、通常高さ10m、径30cmである。材は強さ中庸で、器具などに用いられる。

h トネリコ属 *Fraxinus* モクセイ科 写真図版4・5・6

横断面：年輪のはじめに中型から大型で厚壁の丸い道管が1～3列配列する環孔材である。孔圈部外では小型で厚壁の丸い道管が、単独あるいは放射方向に2～3個複合して散在する。道管の径は早材から晩材にかけて急激に減少する。

放射断面：道管の穿孔は單穿孔である。道管の内部にはチローシスが著しい。木部柔組織は早材部で周囲状、晩材部で翼状または適合翼状である。放射組織は同性で、すべて平伏細胞からなる。

接線断面：放射組織は同性放射組織型で、1～3細胞幅である。

以上の形質よりトネリコ属に同定される。なお、D3地区No27埋没樹根の試料は、根材である為、横断面に於いて、道管が散孔状に配列する。トネリコ属にはヤチダモ、トネリコ、アオダモ、シオジなどがあり、北海道、本州、四国、九州に分布する。落葉または常緑の高木である。材は建築、家具、道具、器具、旋作、薪炭など広く用いられる。

i コナラ属アカガシ亜属 *Quercus* subgen. *Cyclobalanopsis* ブナ科 写真図版7

横断面：中型から大型の道管が、1～数列幅で年輪界に関係なく放射方向に配列する放射孔材である。道管は単独で複合しない。

放射断面：道管の穿孔は單穿孔で、放射組織は平伏細胞からなる。

接線断面：放射組織は同性放射組織型で、単列のものと大型の広放射組織からなる複合放射組織である。

以上の形質よりコナラ属アカガシ亜属に同定される。コナラ属アカガシ亜属にはアカガシ、イチイガシ、アラカシ、シラカシなどがあり、本州、四国、九州に分布する。常緑高木で、高さ30m、径1.5m以上に達する。材は堅硬で強靭、弾力性強く耐湿性も高い。特に農耕具に用いられる。

## j バラ科 Rosaceae 写真図版8

横断面：やや小型の丸い道管が、単独あるいは2～3個放射方向および斜め方向に複合して散在する散孔材である。

放射断面：道管の穿孔は單穿孔で、放射組織は異性である。道管内部に着色物質が見られる。

接線断面：放射組織は異性放射組織型で1～5細胞幅である。

以上の形質よりバラ科に同定される。バラ科には、バラ属、サクラ属、ナシ亜科などの材があるが、本試料は根材である為、それぞれの材の特徴が顕著に現ないので、バラ科に同定にとどまる。

k トチノキ *Aesculus turbinata* Blume トチノキ科 写真図版9

横断面：小型の道管が、単独ないし数個複合してまばらに散在する散孔材である。

放射断面：道管の穿孔は單穿孔で、道管の内壁にはらせん肥厚が存在する。放射組織はすべて平伏細胞からなり同性である。放射組織と道管との壁孔は、小型で密に分布する。

接線断面：放射組織は単列の同性放射組織型である。道管の内壁にはらせん肥厚が存在する。

以上の形質よりトチノキに同定される。なお本試料は根材である為、トチノキの幹材に見られるような、放射組織の層階状配列は不明瞭である。トチノキは北海道、本州、四国、九州に分布する。落葉の高木で、通常高さ15～20m、径50～60cmに達する。材は軟らかく緻密であるが耐朽性、保存性がなく、容器などに用いられる。

## l 広葉樹 broad-leaved tree

横断面：道管が存在する。

放射断面：道管と放射組織が存在する。

接線断面：道管と放射組織が存在する。

以上の形質より広葉樹に同定される。なお本試料は保存状態が悪く、広範囲の観察が困難な為、広葉樹の同定にとどまる。

## D 所見

同定された樹種は、トネリコ属16、バラ科、ヤナギ属、ハンノキ属、クリ、コナラ属コナラ節、コナラ属アカガシ亜属、モクレン属、キハダ属、ヒサカキ属、トチノキ、広葉樹が各1であった。トチノキ、トネリコ属、ヤナギ属、ハンノキ属は低湿なところを好み、河辺や湿地に生育し、河辺林や湿地林を形成する樹種である。流木の樹種の組成は、河辺に生育していた樹木を強く反映していると考えられる。とくにトネリコ属が多いことから、本遺跡の縄文時代晩期には、トネリコ属の河辺林が分布していたことが考えられる。なお、クリ、コナラ属コナラ節、コナラ属アカガシ亜属、モクレン属、キハダ属、ヒサカキ属は温帯の森林に普通に生育する樹木である。

## 参考文献

佐伯浩・原田浩（1985）針葉樹材の細胞、木材の構造、文永堂出版、20～48。

佐伯浩・原田浩（1985）広葉樹材の細胞、木材の構造、文永堂出版、49～100。



写真図版 下老子笹川遺跡出土木材の顕微鏡写真



第1図 埋没樹根・流木の樹種同定試料採取地点 (1/1000)

## (2) 「焼失住居」炭化材の樹種同定

株式会社古環境研究所

## A はじめに

木材は、セルロースを骨格とする木部細胞の集合体であり、解剖学的形質から、概ね属レベルの同定が可能である。木材は、花粉などの微化石と比較して移動性が少ないとから、比較的近隣の森林植生の推定が可能であり、遺跡から出土したものについては、木材の利用状況や流通を探る手がかりとなる。

## B 試料

試料は、B5地区で検出された「焼失住居」のSI8より出土した炭化材2点、同じくSI9より出土した炭化材2点（屋根材1点、貯蔵穴の蓋材1点）、同じくSI10（新）より出土した炭化材3点（屋根材2点、建物中央の材1点）である。ここではなるべく異なった種類について同定するように試料を選別した。

## C 方法

試料を割折して、炭化材の新鮮な横断面（木口と同義）、放射断面（柾目と同義）、接線断面（板目と同義）の基本3断面の切片を作製し、落射顕微鏡によって50~1000倍で観察した。同定は、解剖学的形質および現生標本との対比によって行った。

## D 結果

結果を第1表に示し、主要な分類群の顕微鏡写真を図版に示す。以下に同定の根拠となった特徴を記す。

a スギ *Cryptomeria japonica* D.Don スギ科 写真図版1

仮道管、樹脂細胞および放射柔細胞から構成される針葉樹材である。

横断面：早材から晩材への移行はやや急で、晩材部の幅が比較的大い。樹脂細胞が見られる。

放射断面：放射柔細胞の分野壁孔は典型的なスギ型で、1分野に2個存在するものがほとんどである。

接線断面：放射組織は単列の同性放射組織型で、10細胞高以下のものが多い。樹脂細胞が存在する。

以上の形質よりスギに同定される。スギは本州、四国、九州、屋久島に分布する。日本特産の常緑高木で、高さ40m、径2mに達する。材は軽軟であるが強韌で、広く用いられる。

b クルミ属 *Juglans* クルミ科 写真図版2

横断面：大型で丸い道管が、単独あるいは2~数個放射方向に複合してまばらに散在する散孔材である。早材から晩材にかけて、道管の径は徐々に減少する。軸方向柔細胞が多少波打ちながら、短接線状に1列に並び、網状柔組織をつくる傾向がある。

放射断面：道管の穿孔は單穿孔である。放射組織はほとんどすべて平伏細胞からなるが、ときおり上下の縁辺にいくぶん大きい方形細胞が見られる。

接線断面：放射組織は同性放射組織型で、1~3細胞幅である。

以上の形質よりクルミ属に同定される。クルミ属にはオニグルミ、ヒメグルミがあり、北海道、本州、四国、九州に分布する。落葉の高木で、高さ15~30m、径70~90cmである。材は耐朽性、保存性は低いが、狂いが少なく輻性に富んでいて、建築、器具、彫刻など広く用いられる。

c コナラ属コナラ節 *Quercus sect. Prinus* ブナ科 写真図版3

横断面：年輪のはじめに大型の道管が、1~2列配列する環孔材である。晩材部では薄壁で角張つ

た小道管が、散在ないし火炎状に配列する。早材から晩材にかけて道管の径は急激に減少する。

放射断面：道管の穿孔は單穿孔で、放射組織は平伏細胞からなる。

接線断面：放射組織は同性放射組織型で、単列のものと大型の広放射組織からなる複合放射組織である。

以上の形質よりコナラ属コナラ節に同定される。コナラ属コナラ節にはカシワ、コナラ、ナラガシワ、ミズナラがあり、北海道、本州、四国、九州に分布する。落葉高木で、高さ15m、径60cmぐらいに達する。材は強靭で弾力に富み、建築材などに用いられる。

#### d コナラ属クヌギ節 *Quercus sect. Aegilops* ブナ科 写真図版4

横断面：年輪のはじめに大型の道管が、1～2列配列する環孔材である。晩材部では厚壁で丸い小道管が、単独でおよそ放射方向に配列する。早材から晩材にかけて道管の径は急激に減少する。

放射断面：道管の穿孔は單穿孔で、放射組織は平伏細胞からなる。

接線断面：放射組織は同性放射組織型で、単列のものと大型の広放射組織からなる複合放射組織である。

以上の形質よりコナラ属クヌギ節に同定される。コナラ属クヌギ節にはクヌギ、アベマキなどがあり、本州、四国、九州に分布する。落葉の高木で、高さ15m、径60cmに達する。材は強靭で弾力に富み、器具、農具などに用いられる。

#### e ヤマグワ *Morus australis* Poiret クワ科 写真図版5

横断面：年輪のはじめに中型から大型の丸い道管が、単独あるいは2～3個複合して配列する環孔材である。孔圈部外の小道管は複合して円形の小塊をなす。道管の径は徐々に減少する。

放射断面：道管の穿孔は單穿孔で、小道管の内壁にはらせん肥厚が存在する。放射組織はほとんどが平伏細胞であるが、上下の縁辺部の1～3細胞ぐらいは直立細胞である。

接線断面：放射組織は上下の縁辺部が直立細胞からなる異性放射組織型で、1～6細胞幅である。小道管の内壁にはらせん肥厚が存在する。

以上の形質よりヤマグワに同定される。ヤマグワは北海道、本州、四国、九州に分布する落葉高木で、通常高さ10～15m、径30～40cmである。材は堅硬、韌性に富み、建築などに用いられる。

#### E 所見

下老子篠川遺跡の「焼失住居」で検出された炭化材は、スギ1点、クルミ属1点、コナラ属コナラ節2点、コナラ属クヌギ節1点、ヤマグワ2点であった。そのうちS I 8の材2点は、クルミ属とコナラ属クヌギ節であった。S I 9の屋根材と考えられる材はスギ、貯蔵穴の蓋材と考えられる材はヤマグワであった。S I 10（新）の屋根材と考えられる材2点はともにコナラ属コナラ節。建物中央の材はヤマグワであった。いずれも高木になる樹木であり、温帯に広く分布する。

#### 参考文献

佐伯浩・原田浩（1985）針葉樹材の細胞、木材の構造、文永堂出版、20～48。

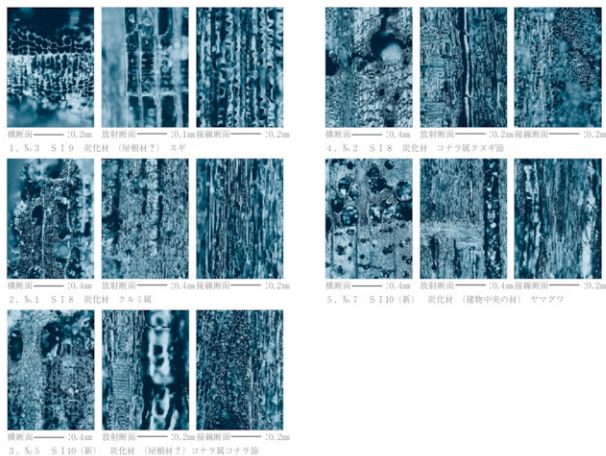
佐伯浩・原田浩（1985）広葉樹材の細胞、木材の構造、文永堂出版、49～100。

島地謙・伊東隆夫（1988）日本の遺跡出土木製品総覧、雄山閣、296。

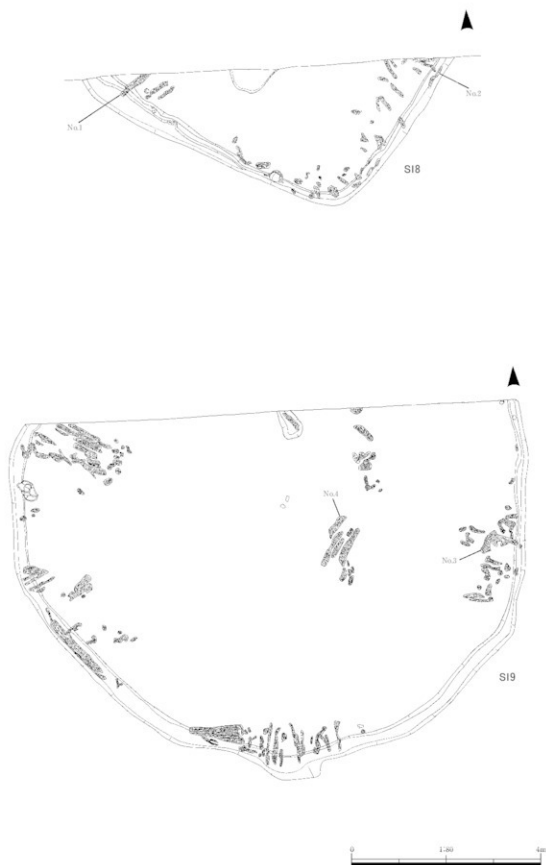
山田昌久（1993）日本列島における木質遺物出土遺跡文献集成、植生史研究特別第1号、植生史研究会、242。

試料		結果(学名/和名)	
No.1	S I 8 炭化材	<i>Juglans</i>	クルミ属
No.2	S I 8 炭化材	<i>Quercus sect. Aegilops</i>	コナラ属クヌギ節
No.3	S I 9 炭化材 (屋根材?)	<i>Cryptomeria japonica</i> D.Don	スギ
No.4	S I 9 炭化材 (貯蔵穴の蓋材?)	<i>Morus australis</i> Poiret	ヤマガワ
No.5	S I 10 (新) 炭化材 (屋根材?)	<i>Quercus sect. Prinus</i>	コナラ属コナラ節
No.6	S I 10 (新) 炭化材 (屋根材?)	<i>Quercus sect. Prinus</i>	コナラ属コナラ節
No.7	S I 10 (新) 炭化材 (建物中央の材)	<i>Morus australis</i> Poiret	ヤマガワ

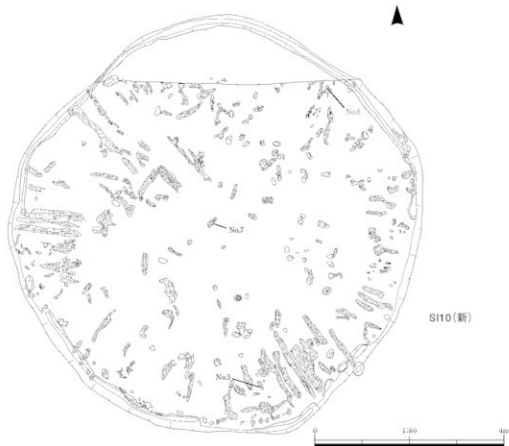
第1表 下老子笹川遺跡における樹種同定結果



写真図版 下老子笹川遺跡出土炭化材の顕微鏡写真



第1図 「焼失住居」炭化材樹種同定試料採取地点 (1/80)



第2図 「焼失住居」炭化材樹種同定試料採取地点 (1/80)

## (3) 保存処理木製品の樹種同定

財団法人元興寺文化財研究所 井上美知子

樹種の分類は、花、果実、葉など、種ごとに分化の進んだ器官の形態に基づいている。しかし木材組織は、種ごとの分化が進んでいないため、組織上大きな特徴を有する種を除き、同定できない場合がある。種の同定が困難な場合は、科、亜科、族、亜族、属、亜属、節、亜節（分類の大きい順）のいずれかで表した。

※科、亜科、族、亜族、属、亜属、節、亜節、種の分類は、主に原色日本植物図鑑（保育社）によった。

## A 切片作製

カミソリの刃で遺物をできるだけ傷つけないように注意しながら、木材組織の観察に必要な木口面（木口）、板目面（接線断面）、柾目面（放射断面）の3方向の切片を正確に作製した。

※遺物が完形であるなどの理由で試料採取が困難な場合は、鑑定に必要な面のみ切片作製を行った。

## B 永久プレパラート作製

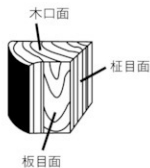
切片はサフランで染色後、水分をエチルアルコール、n-ブチルアルコール、キシレンに順次置換し、非水溶性の封入剤（EUKITT）を用いて永久プレパラートを作製した。

## C 同定方法

針葉樹については、早材から晩材への移行、樹脂道の有無、樹脂細胞の有無および配列、ラセン肥厚の有無、分野壁孔の形態等、広葉樹については道管の大きさや配列状態および穿孔の形態、柔組織の分布や結晶細胞の有無、放射組織の形態等を生物顕微鏡または電子顕微鏡（SEM）で観察し同定した。

## 参考文献

1. 島地 謙、伊東隆夫 1998『日本の遺跡出土木製品総覧』雄山閣
2. 平井信二 1972~1982『木の事典』（第1巻~17巻）かなえ書房
3. 日本材料学会木質材料部門専門委員会 1982『木材工学辞典』工業出版社株式会社、泰流社
4. 島地 謙、伊東隆夫 1996『図説 木材組織』地球社
5. 北村四郎、村田 源 1994『原色日本植物図鑑』保育社
6. うこぎの町米沢垣根の会 ホームページ



第1表 木製品樹種(1)

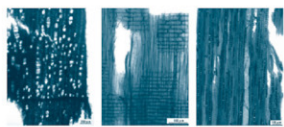
樹種固有番号	樹種名	樹種名	場所	
1 4 2802	下駄	ヤシップ木		
2 5 2229	板村	スギ		
3 5 2230	板村	モクノキ		
4 5 654	道桟橋	ブナ		
5 5 2558	道桟橋	タガヤ		
6 4 254	脚	サイカチ		
7 4 2801	下駄	スギ		
8 5 254	脚	モクノキ		
9 5 652	道桟橋	ブナ		
10 5 282	下駄	モリラ		
11 6 2801	道桟橋	ブナ		
12 4 2228	道桟橋	ブナ		
13 5 2802	道桟橋	ブナ		
14 5 2559	脚	モクノキ		
15 5 280	道桟橋	ブナ		
16 5 652	道桟橋	モクノキ		
17 4 272	下駄の脚	ヒカリヤシ科(ヤリワ、アヌチロ、ネズコ)		
18 5 269	柄物(竹製)	タケ		
19 5 2559	脚	モクノキ		
20 5 222	下駄脚	ヤシラ		
21 5 274	木口	ブナ		
22 6 202	柱根	ヒカリヤシ科	ヒカリヤシ科に属する樹種 ヒノキ。アヌチロ、モリラ、ネズコ等	
23 4 2801	道桟橋	ブナ		
24 5 280	脚	タケ	タケ科に属する樹種 ドロノキ。ヤツチラシ、ハッコチ等	
25 5 2559	脚	モクノキ		
26 5 652	上もじ	スギ		
27 5 282	道桟橋	ブナ		
28 5 291	床(木製部材)	アラカシ屋敷		
29 5 288	枕板	ヒノキ	ヒノキ科に属する樹種 ヒノキ。アヌチロ、ヤリワ、ネズコ等	
30 5 2559	枕板	ヒカリヤシ科(ヤリワ、アヌチロ、ネズコ)	ヒカリヤシ科に属する樹種 ヒノキ。アヌチロ、モリラ、ネズコ等	
31 5 260	枕板	ヤシラ		
32 5 282	枕板	ヒカリヤシ科(ヤリワ、アヌチロ、ネズコ)	ヒカリヤシ科に属する樹種 ヒノキ。アヌチロ、モリラ、ネズコ等	
33 4 280	下駄	モクノキ	モクノキ科に属する樹種 ヒメツバツ、モウカセヒヨウ等	
34 4 2220	床(木製部材)	コクダ筋	コクダ筋に属する樹種 ハシリ、ミツカラ、コクダ等	
35 5 252	柱根	ヒカリヤシ科(スダジイ)		
36 5 2559	柱根	スダジイ		
37 4 282	柱根	ブナ		
38 5 280	柱根	モクノキ		
39 4 280	床(木製部材)	モクダ筋	モクダ筋に属する樹種 アカツミ、タロマツ等	
40 5 2559	柱根	モクノキ	モクノキ筋に属する樹種 ミツカラ、モウカセヒヨウ等	
41 5 2559	柱根	スギ		
42 5 302	脚	スギ		
43 5 252	柱根	コクダ筋	コクダ筋に属する樹種 ハシリ、ミツカラ、コクダ等	
44 5 2228	柱根	コクダ筋	コクダ筋に属する樹種 ハシリ、ミツカラ、コクダ等	
45 5 2220	柱根	タケ	タケ科に属する樹種 クヌギ、アベマキ等	
46 5 2559	柱根	タケ		
47 5 282	柱根	コクダ筋	コクダ筋に属する樹種 ハシリ、ミツカラ、コクダ等	
48 5 280	下駄の脚	スギ		
49 5 280	脚	モクノキ		
50 4 453	道桟橋	ブナ		
51 5 2559	道桟橋	モクノキ		
52 5 2559	道桟橋	モクノキ		
53 5 2559	道桟橋	モクノキ		
54 5 2220	柱根	タケ	タケ科に属する樹種 クヌギ、アベマキ等	
55 5 2559	柱根	タケ		
56 5 2559	柱根	タケ		
57 5 2559	柱根	タケ		
58 5 2559	柱根	タケ		
59 5 2559	柱根	タケ		
60 5 2559	柱根	タケ		
61 5 2559	柱根	タケ		
62 5 2559	柱根	タケ		
63 5 2559	柱根	タケ		
64 5 2462	床(木製部材)	スダジイ		
65 5 33	枕板	ヒノキ		
66 5 280	枕板	ヒカリヤシ科	ヒカリヤシ科に属する樹種 ヒノキ。アヌチロ、モリラ、ネズコ等	
67 5 280	枕板	モリ		
68 5 2559	枕板	モリ		
69 5 2559	枕板	モリ		
70 5 2559	枕板	モリ		
71 5 639	音器枕板	ヒカリヤシ科	ヒカリヤシ科に属する樹種 ヒノキ。アヌチロ、モリラ、ネズコ等	
72 5 648	音器枕板	モリ		
73 5 2559	脚の脚	モリ		
74 5 2559	脚の脚	ヒカリヤシ科(ヤリワ、アヌチロ、ネズコ)	ヒカリヤシ科に属する樹種 ヒノキ。アヌチロ、モリラ、ネズコ等	
75 5 2462	枕板	モリ		
76 5 2462	枕板	モリ		
77 5 2462	モリスケ影刷	タケ	ヒカリヤシ科(アヌチロ、ヤリワ、ネズコ)	ヒカリヤシ科に属する樹種 ヒノキ。アヌチロ、モリラ、ネズコ等
78 5 28	音器枕板	モリ		
79 5 28	音器枕板	モリ		
80 5 668	脚?	タケ		
81 5 647	音器枕板	モリ		
82 5 647	音器枕板	モリ		
83 5 647	音器枕板	モリ		
84 5 647	音器枕板	モリ		
85 5 2559	脚(木製部材)	ヒカリヤシ科	ヒカリヤシ科に属する樹種 ヒノキ。アヌチロ、モリラ、ネズコ等	
86 5 667	脚(木製部材)	ヒノキ		
87 5 667	脚(木製部材)	ヒノキ		
88 5 667	脚(木製部材)	ヒノキ		
89 5 667	脚(木製部材)	ヒノキ		
90 5 667	脚(木製部材)	ヒノキ		
91 5 658	脚?	ヒカリヤシ科	ヒカリヤシ科に属する樹種 ヒノキ。アヌチロ、モリラ、ネズコ等	
92 5 665	音器枕板	ヒノキ	ヒカリヤシ科に属する樹種 ヒノキ。アヌチロ、モリラ、ネズコ等	
93 5 667	脚(木製部材)	ヒノキ		
94 5 667	脚(木製部材)	モリ		
95 5 2559	脚(木製部材)	モリ		
96 5 2559	脚(木製部材)	モリ		
97 5 2559	脚(木製部材)	モリ		
98 5 2559	脚(木製部材)	モリ		
99 5 30	音器枕板	モリ		
100 5 647	音器枕板	モリ		
101 5 652	脚(木製部材)	モリ		
102 5 649	脚(木製部材)	モリ		
103 5 654	脚(木製部材)	モリ		
104 5 259	上もじ枕木製品	モリ		

第1表 木製品樹種(2)

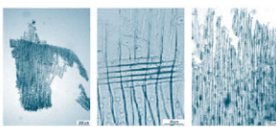
樹種同定番号	分類番号	通称番号	通称名	樹種名	備考
100	4	328	第	スギ	
100	4	329	第	スギ	
100	4	330	第	スギ	
106	4	327	第	スギ	
109	3	3483	加工木(塗装)	スギ	
110	2	322	加工木	スギ	
111	2	1036	施	クスギ	クスギ樹に属する樹種 クスギ、アベマキ等
112	2	323	施材	スギ	
113	2	328	施材	スギ	
114	2	327	木頭	スギ	
115	2	918	柱	ヤマダラ	
116	2	809	柱	ヤマダラ	
117	2	807	柱	ヤマダラ	
118	2	808	柱	ヤマダラ	
119	2	922	柱	ヤマダラ	
120	2	922	柱	ヤマダラ	
121	2	924	柱	ミスマツ	
122	2	802	柱	カエデ	カエデ樹に属する樹種 カリエニシデ、クリハダカシ等
123	2	803	柱	カエデ	
124	2	828	柱	カエデ	カエデ樹に属する樹種 カスギ、アベマキ等
125	2	827	柱	カエデ	カエデ樹に属する樹種 カスギ、アベマキ等
126	2	829	柱	コナラ	コナラ樹に属する樹種 コナラ(カシワ、スズカラ)、クスギ(クスギ、アベマキ等)、アカガシ系属(アカガシ、アラカシ)等
127	2	830	柱	クスギ	クスギ樹に属する樹種 クスギ、アベマキ等
128	2	831	柱	カエデ	カエデ樹に属する樹種 カスギ、アベマキ等
129	2	832	柱	ヤマダラ	
130	2	832	柱	クスギ	クスギ樹に属する樹種 クスギ、アベマキ等
131	2	833	柱	スギ	
132	2	834	柱	コナラ	コナラ樹に属する樹種 カシワ、スズカラ等
133	2	836	柱	ヤマウシ	
134	2	837	柱	ヤマウシ	
135	2	832	椅子脚	スギ	
136	2	832	椅子脚	スギ	
137	2	832	椅子脚	スギ	
138	2	840	柱	ヤマダラ	
139	2	921	柱	コナラ	コナラ樹に属する樹種 カシワ、スズカラ等
140	2	800	袖	スギ	
141	2	1040	袖	スギ	
142	2	805	(脚)	スギ	
143	2	2414	足踏部材(脚・床脚)	スギ	
144	2	2415	足踏部材(脚・床脚)	スギ	
145	2	2403	棒材	スギ	
146	2	2402	棒材	スギ	
147	2	2403	棒材	スギ	
148	2	2407	棒材	スギ	
149	2	2589	棒材	スギ	
150	2	2402	棒材	スギ	
151	2	2421	又脚	クスギ	クスギ樹に属する樹種 クスギ、アベマキ等
152	2	1042	又脚	スギ	
153	2	2401	脚(柱)	スギ	
154	2	3474	ヘラ木本品	スギ	
155	4	602	漆器	ブナ	
156	2	3475	鳥居	スギ	
157	2	862	板	ヤマダラ	
158	2	862	板	スギ	
159	2	862	板	スギ	
160	2	862	板	スギ	
161	2	1030	袖	スギ	
162	2	2262	袖	スギ	
163	2	602	板	スギ	
164	2	2470	木枕乳脂品	計数物	
165	2	842	柱	コナラ	
166	2	947	板	ヤマウシ	
167	2	848	板	ヤマダラ	
168	2	850	板	計数物	
169	2	850	袖	スギ	
170	2	602	板	スギ	
171	2	3484	棒材	スギ	
172	2	3482	棒材	スギ	
173	2	3480	棒材	スギ	
174	2	3479	袖	スギ	
175	2	3480	袖(腰)	スギ	
176	2	3473	棒材	スギ	
177	2	2412	棒材	スギ	
178	2	2416	足踏部材	スギ	
179	2	2416	足踏(脚?)	スギ	
180	2	2417	棒材	スギ	
181	2	2418	足踏部材	スギ	
182	2	2417	足踏部材	スギ	
183	2	2409	角材	ブナ料(コナラ)、クスギ	コナラ樹に属する樹種 コナラ(カシワ、スズカラ)、クスギ(クスギ、アベマキ等)、アカガシ系属(アカガシ、アラカシ)等
184	2	1046	足踏部材	スギ	
185	2	1043	棒材	スギ	
186	2	2425	柱	スズメ	
187	2	809	木串(木盛り)	サナギ	サナギ目に属する樹種 ドロノキ、ヤマタガシ、ハコヤセ等
188	2	809	木串(木盛り)	スギ	
189	2	840	棒材	スギ	
190	4	742	漆器	ブナ	
191	4	746	漆器	トチノキ	
192	4	740	下駄	スギ	
193	4	742	漆器	スギ	
194	2	2412	足踏部材	スギ	
195	2	2412	足踏(脚)	スギ	
196	2	2402	直角部材	クスギ	
197	2	2406	直角部材	クスギ	
198	2	2406	直角部材	クスギ	
199	2	2406	直角部材	クスギ	
200	2	2402	直角部材	クスギ	
201	2	1030	直角部材	クスギ	
202	4	312	直角部材	クスギ	
203	2	808	直角部材	クスギ	
204	2	808	直角部材	クスギ	
205	2	808	直角部材	クスギ	
206	2	808	直角部材	クスギ	
207	2	808	直角部材	クスギ	
208	2	808	直角部材	クスギ	
209	2	808	直角部材	クスギ	
210	2	808	直角部材	クスギ	
211	2	808	直角部材	クスギ	
212	2	808	直角部材	クスギ	
213	2	808	直角部材	クスギ	
214	2	808	直角部材	クスギ	
215	2	808	直角部材	クスギ	
216	2	808	直角部材	クスギ	
217	2	808	直角部材	クスギ	
218	2	808	直角部材	クスギ	
219	2	808	直角部材	クスギ	
220	2	808	直角部材	クスギ	
221	2	808	直角部材	クスギ	
222	2	808	直角部材	クスギ	
223	2	808	直角部材	クスギ	
224	2	808	直角部材	クスギ	
225	2	808	直角部材	クスギ	
226	2	808	直角部材	クスギ	
227	2	808	直角部材	クスギ	
228	2	808	直角部材	クスギ	
229	2	808	直角部材	クスギ	
230	2	808	直角部材	クスギ	
231	2	808	直角部材	クスギ	
232	2	808	直角部材	クスギ	
233	2	808	直角部材	クスギ	
234	2	808	直角部材	クスギ	
235	2	808	直角部材	クスギ	
236	2	808	直角部材	クスギ	
237	2	808	直角部材	クスギ	
238	2	808	直角部材	クスギ	
239	2	808	直角部材	クスギ	
240	2	808	直角部材	クスギ	
241	2	808	直角部材	クスギ	
242	2	808	直角部材	クスギ	
243	2	808	直角部材	クスギ	
244	2	808	直角部材	クスギ	
245	2	808	直角部材	クスギ	
246	2	808	直角部材	クスギ	
247	2	808	直角部材	クスギ	
248	2	808	直角部材	クスギ	
249	2	808	直角部材	クスギ	
250	2	808	直角部材	クスギ	
251	2	808	直角部材	クスギ	
252	2	808	直角部材	クスギ	
253	2	808	直角部材	クスギ	
254	2	808	直角部材	クスギ	
255	2	808	直角部材	クスギ	
256	2	808	直角部材	クスギ	
257	2	808	直角部材	クスギ	
258	2	808	直角部材	クスギ	
259	2	808	直角部材	クスギ	
260	2	808	直角部材	クスギ	
261	2	808	直角部材	クスギ	
262	2	808	直角部材	クスギ	
263	2	808	直角部材	クスギ	
264	2	808	直角部材	クスギ	
265	2	808	直角部材	クスギ	
266	2	808	直角部材	クスギ	
267	2	808	直角部材	クスギ	
268	2	808	直角部材	クスギ	
269	2	808	直角部材	クスギ	
270	2	808	直角部材	クスギ	
271	2	808	直角部材	クスギ	
272	2	808	直角部材	クスギ	
273	2	808	直角部材	クスギ	
274	2	808	直角部材	クスギ	
275	2	808	直角部材	クスギ	
276	2	808	直角部材	クスギ	
277	2	808	直角部材	クスギ	
278	2	808	直角部材	クスギ	
279	2	808	直角部材	クスギ	
280	2	808	直角部材	クスギ	
281	2	808	直角部材	クスギ	
282	2	808	直角部材	クスギ	
283	2	808	直角部材	クスギ	
284	2	808	直角部材	クスギ	
285	2	808	直角部材	クスギ	
286	2	808	直角部材	クスギ	
287	2	808	直角部材	クスギ	
288	2	808	直角部材	クスギ	
289	2	808	直角部材	クスギ	
290	2	808	直角部材	クスギ	
291	2	808	直角部材	クスギ	
292	2	808	直角部材	クスギ	
293	2	808	直角部材	クスギ	
294	2	808	直角部材	クスギ	
295	2	808	直角部材	クスギ	
296	2	808	直角部材	クスギ	
297	2	808	直角部材	クスギ	
298	2	808	直角部材	クスギ	
299	2	808	直角部材	クスギ	
300	2	808	直角部材	クスギ	
301	2	808	直角部材	クスギ	
302	2	808	直角部材	クスギ	
303	2	808	直角部材	クスギ	
304	2	808	直角部材	クスギ	
305	2	808	直角部材	クスギ	
306	2	808	直角部材	クスギ	
307	2	808	直角部材	クスギ	
308	2	808	直角部材	クスギ	
309	2	808	直角部材	クスギ	
310	2	808	直角部材	クスギ	
311	2	808	直角部材	クスギ	
312	2	808	直角部材	クスギ	
313	2	808	直角部材	クスギ	
314	2	808	直角部材	クスギ	
315	2	808	直角部材	クスギ	
316	2	808	直角部材	クスギ	
317	2	808	直角部材	クスギ	
318	2	808	直角部材	クスギ	
319	2	808	直角部材	クスギ	
320	2	808	直角部材	クスギ	
321	2	808	直角部材	クスギ	
322	2	808	直角部材	クスギ	
323	2	808	直角部材	クスギ	
324	2	808	直角部材	クスギ	
325	2	808	直角部材	クスギ	
326	2	808	直角部材	クスギ	
327	2	808	直角部材	クスギ	
328	2	808	直角部材	クスギ	
329	2	808	直角部材	クスギ	
330	2	808	直角部材	クスギ	
331	2	808	直角部材	クスギ	
332	2	808	直角部材	クスギ	
333	2	808	直角部材	クスギ	
334	2	808	直角部材	クスギ	
335	2	808	直角部材	クスギ	
336	2	808	直角部材	クスギ	
337	2	808	直角部材	クスギ	
338	2	808	直角部材	クスギ	
339	2	808	直角部材	クスギ	
340	2	808	直角部材	クスギ	
341	2	808	直角部材	クスギ	
342	2	808	直角部材	クスギ	
343	2	808	直角部材	クスギ	
344	2	808	直角部材	クスギ	
345	2	808	直角部材	クスギ	
346	2	808	直角部材	クスギ	
347	2	808	直角部材	クスギ	
348	2	808	直角部材	クスギ	
349	2	808	直角部材	クスギ	
350	2	808	直角部材	クスギ	
351	2	808	直角部材	クスギ	
352	2	808	直角部材	クスギ	
353	2	808	直角部材	クスギ	
354	2	808	直角部材	クスギ	
355	2	808	直角部材	クスギ	
356	2</				



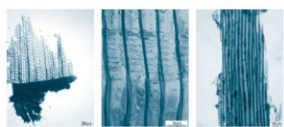




1. 下駄 (233) ヤシャブキ



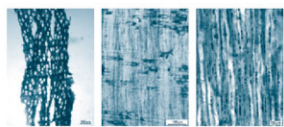
7. 下駄 (202) スギ



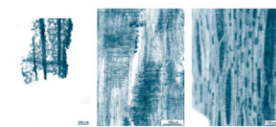
2. 板材 (239) スギ



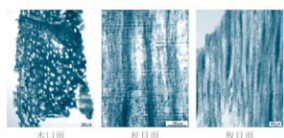
8. 衣子 (438) ブナ



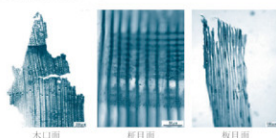
3. 漆器椀 (453) トチノキ



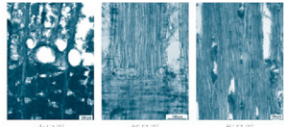
9. 漆器椀 (451) ブナ



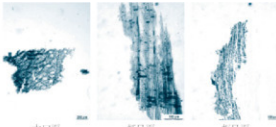
4. 漆器椀 (454) ブナ



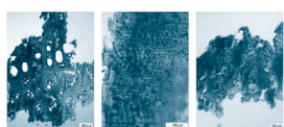
10. 下駄 (284) サワラ



5. 漆器椀 (238) ケヤキ



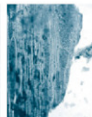
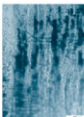
11. 漆器椀 (281) ブナ?



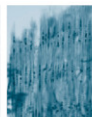
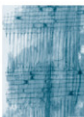
6. 箕 (234) ケヤキ?



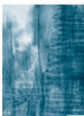
12. 漆器椀 (278) ブナ?



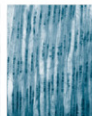
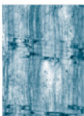
13. 漆器楓 (282) ブナ?



14. 漆器楓 (279) トチノキ



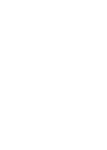
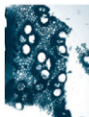
15. 漆器楓 (280) ブナ



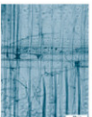
16. 漆器楓 (452) トチノキ



17. 下駄の衝 (177) ヒノキ亜科 (サワラ, アスナロ, ネズコ)



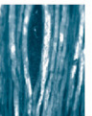
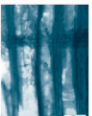
18. 痢杓 (169) タケ



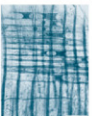
19. 上桶側板 (172) サクラ



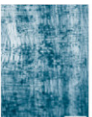
20. 下桶側板 (173) サクラ



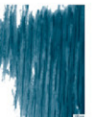
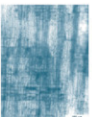
21. 木臼 (174) ブナ



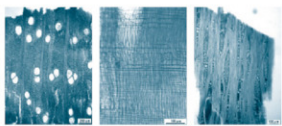
22. 柱楓 (101) ヒノキ亜科



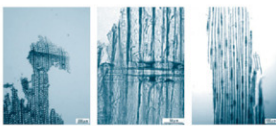
23. 漆器楓 (181) ブナ



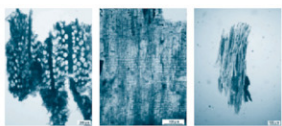
24. 箸 (185) ヤナギ科



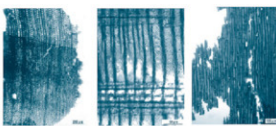
26. しゃもじ (182) エノキ



32. 桶側板 (183) ヒノキ亜科 (サワラ, アスナロ, ネズコ)



27. 漆器柄 (182) ブナ



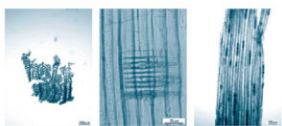
33. 下駄 (193) 五葉松類



28. 用途不明部材 (191) アカガシ亜属



34. 用途不明部材 (230) コナラ属



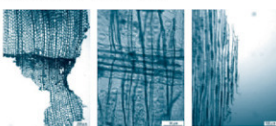
29. 底板 (188) ヒノキ亜科



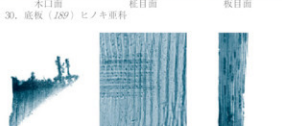
35. 柱根 (224) シイ属 (スダジイ?)



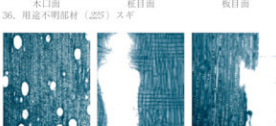
30. 底板 (189) ヒノキ亜科



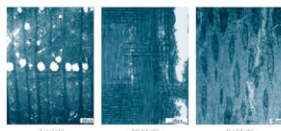
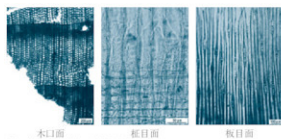
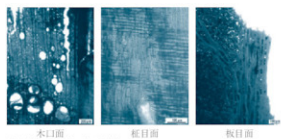
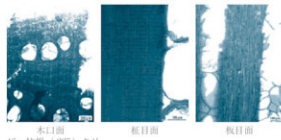
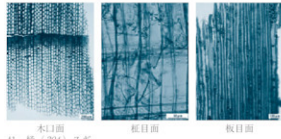
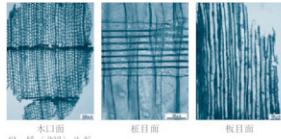
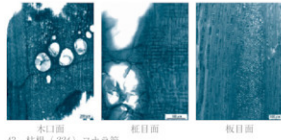
36. 用途不明部材 (225) スギ



31. 桶底板 (190) サワラ

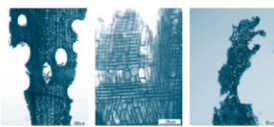


37. 柱根 (202) スダジイ

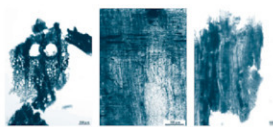
38. 柱根 フジキ  
木口面 梓目面 板目面44. 柱根 (228) コナラ節  
木口面 梓目面 板目面39. 用途不明部材 (460) 二葉松類  
木口面 梓目面 板目面45. 柱根 (225) クスガ節  
木口面 梓目面 板目面40. 団扇形輪紋? (1) ウコギ属  
木口面 梓目面 板目面46. 柱根 (225) クリ  
木口面 梓目面 板目面41. 楠 (234) スギ  
木口面 梓目面 板目面47. 柱根 (227) コナラ節  
木口面 梓目面 板目面42. 楠 (232) スギ  
木口面 梓目面 板目面48. 下駄の歯 (338) ケヤキ  
木口面 梓目面 板目面43. 柱根 (224) コナラ節  
木口面 梓目面 板目面49. 塗漆楓 (皿) (435) ブナ  
木口面 梓目面 板目面



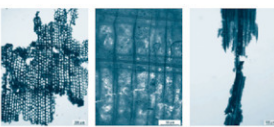
50. 漆器柄 (326) トチノキ



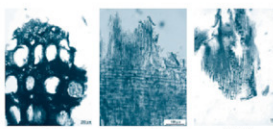
56. 柱根 (232) コナラ節



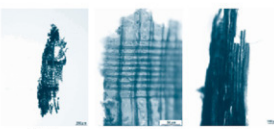
51. 漆器柄 (327) ケヤキ



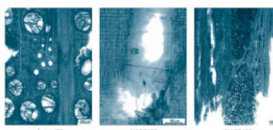
57. 箸 (328) スギ又はヒノキ



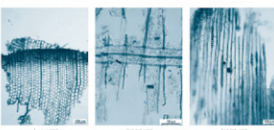
52. 漆器柄 (334) ケヤキ



58. 有孔板 (329) ヒノキ



53. 柱根 (239) クスガ節



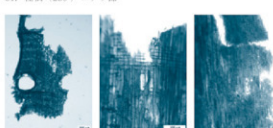
59. 用途不明部材 (675) スギ



54. 柱根 (237) コナラ節



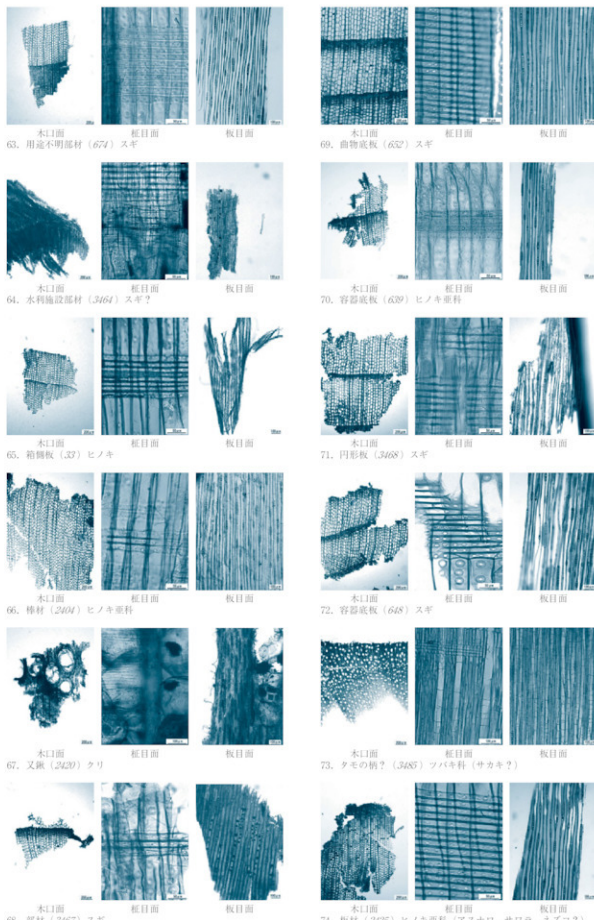
60. 箸 (657) ヒノキ?

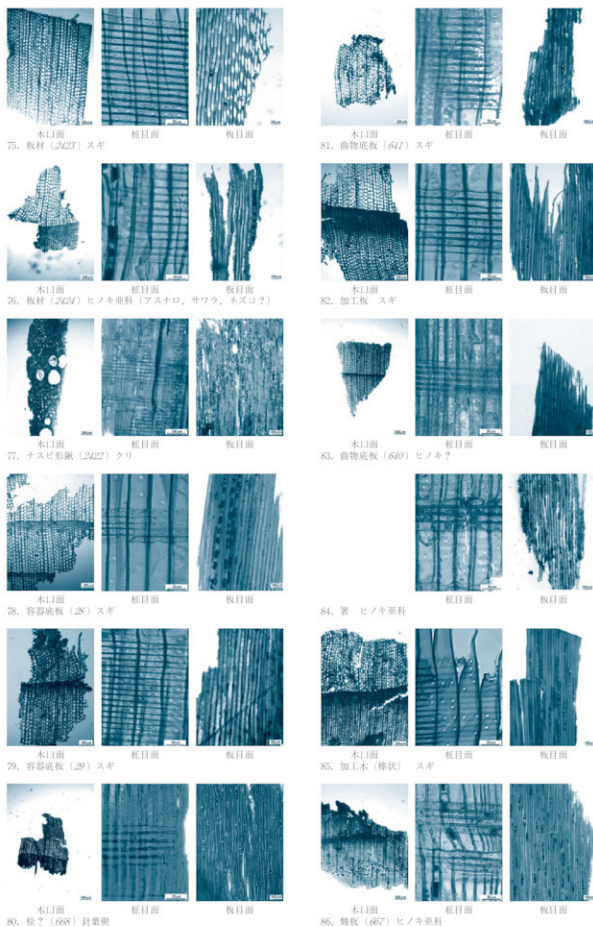


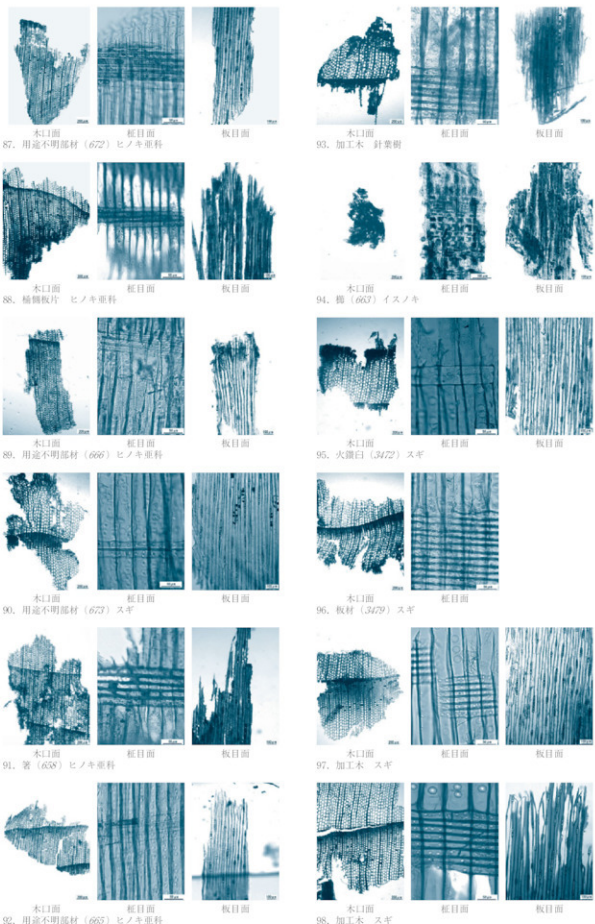
55. 柱根 (237) クスガ節

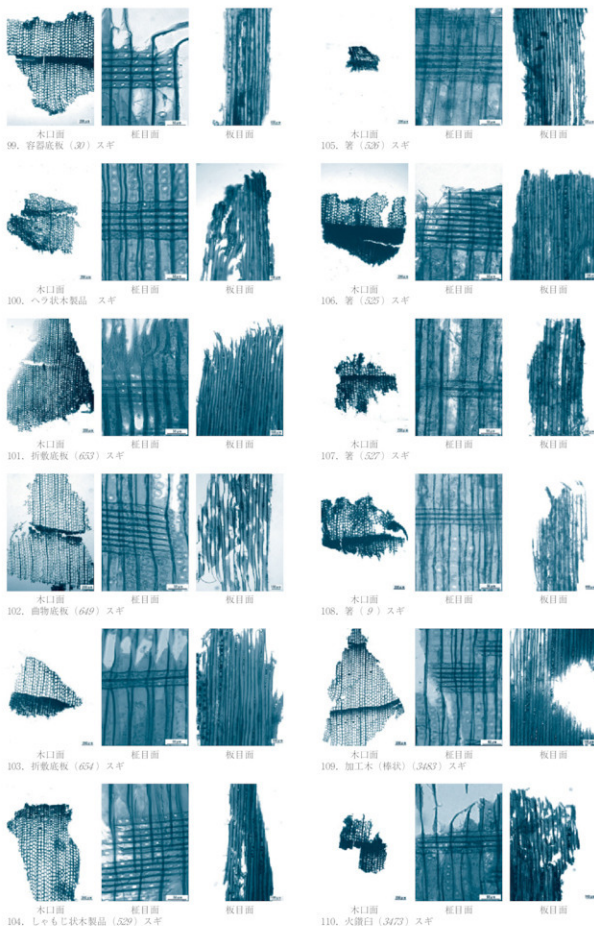


62. 容器底板 (6) スギ







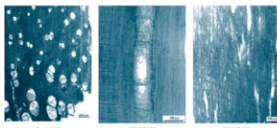




111. 跡? (L936) クヌギ節



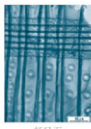
板目面



117. 柱根 (L22) ヤマグワ



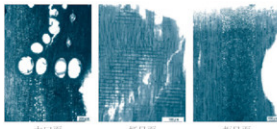
112. 板材 (L939) スギ



板目面



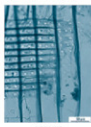
板面



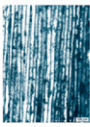
118. 柱根 (L27) コナラ節



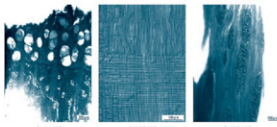
113. 板材 (L938) スギ



板目面



板面



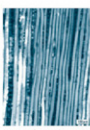
119. 柱根 (L22) ヤマグワ



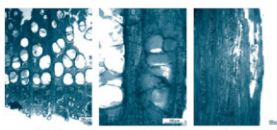
114. 火薙臼 (3477) スギ



板目面



板面



120. 柱根 (L22) ヤマグワ



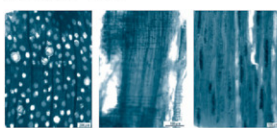
115. 柱根 (L28) ヤマグワ



板目面



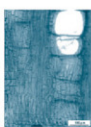
板面



121. 柱根 (L27) ヒメシャラ



116. 柱根 (L29) ヤマグワ



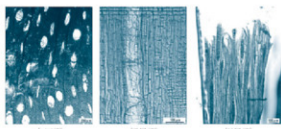
板目面



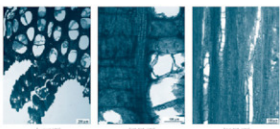
板面



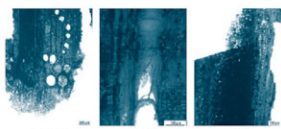
122. 柱根 (L25) カエデ科



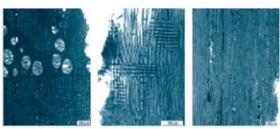
123. 柱根 (825) マカンバ



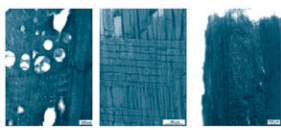
129. 柱根 (822) ヤマグワ



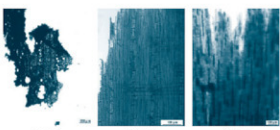
124. 柱根 (828) クスギ節



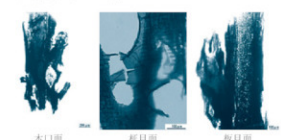
130. 柱根 (827) クスギ節



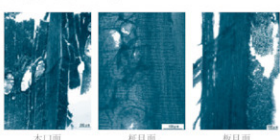
125. 柱根 (827) クスギ節



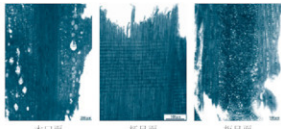
131. 柱根 (825) コナラ節



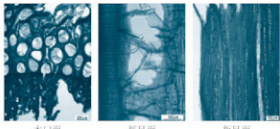
126. 柱根 (829) コナラ節



132. 柱根 (824) コナラ節



127. 柱根 (827) クスギ節



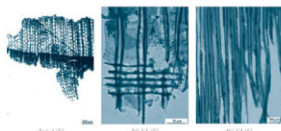
133. 柱根 (826) ヤマウルシ



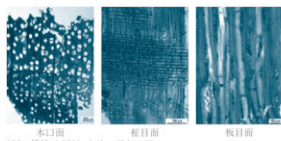
128. 柱根 (831) カエデ科



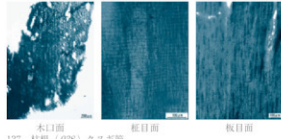
134. 柱根 (827) ヤマウルシ



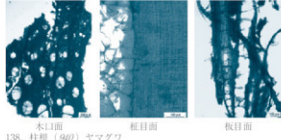
135. 椅子脚部 (932) スギ



136. 棒材 (887) ウリハガカエデ



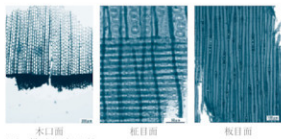
137. 柱根 (888) クヌギ節



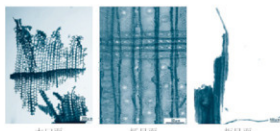
138. 柱根 (940) ヤマグワ



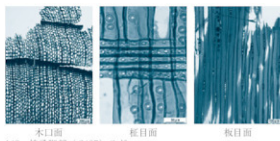
139. 柱根 (942) コナラ節



140. 桶 (950) スギ



141. 板材 (1940) スギ



142. 椅子脚部 (2407) スギ



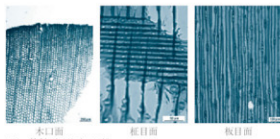
143. 建築部材(壁・床材) (2414) スギ



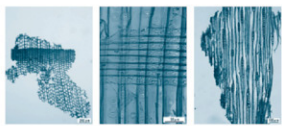
144. 建築部材(壁・床材) (2415) スギ



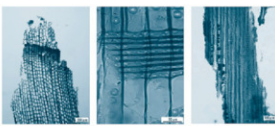
145. 棒材 (2462) スギ



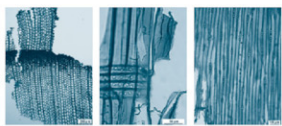
146. 棒材 (2401) スギ



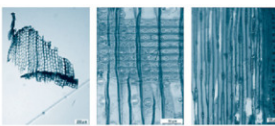
147. 棒材〔2402〕スギ



153. 加工材〔3477〕スギ



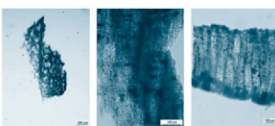
148. 棒材〔2400〕スギ



154. ヘラ状木製品〔3474〕スギ



149. 棒材〔2289〕スギ



155. 漆器桙〔662〕ブナ?



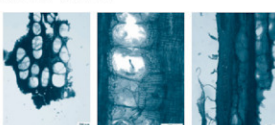
150. 棒材〔2405〕スギ



156. 鳥羽?〔3475〕スギ



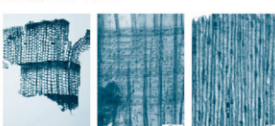
151. 叉脚〔2422〕クメギ



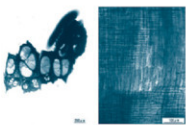
157. 板材〔964〕ヤマグワ



152. 柱根〔J874〕ヤマグワ



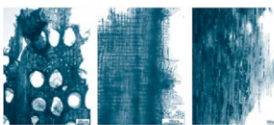
158. 脊台?〔954〕スギ



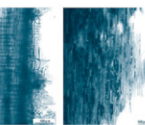
159. 板材 (967) タラノキ



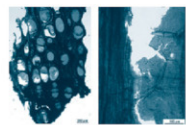
板目面



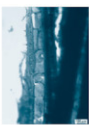
165. 柱根 (842) コナラ節



板目面



160. 加工木 (棒状) ヤチダモ



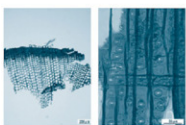
板目面



166. 篦板 (947) ヤマウルシ



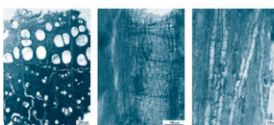
板目面



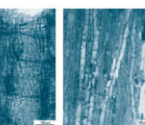
161. 桁 (282) スギ



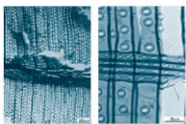
板目面



167. 篦板 (948) ヤマグワ



板目面



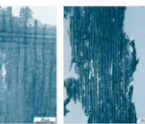
162. 桁 (2161) スギ



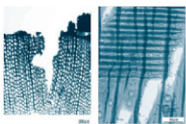
板目面



168. 板材 (956) 鈎葉樹



板目面



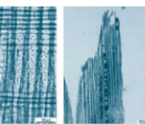
163. 板材 (853) スギ



板目面



169. 脚 (609) スギ



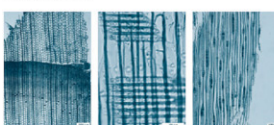
板目面



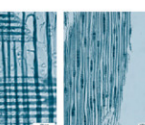
164. ヤス状木製品 (3470) 鈎葉樹



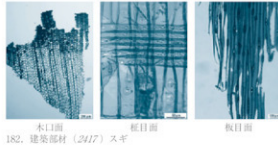
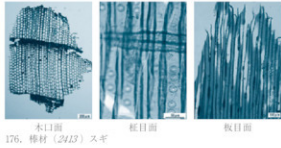
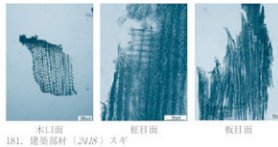
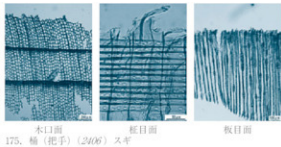
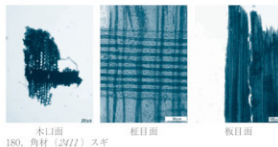
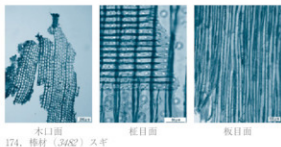
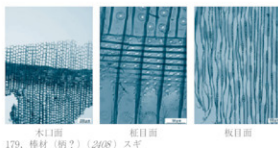
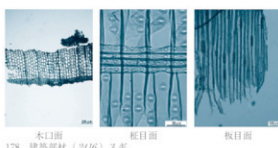
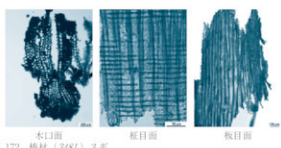
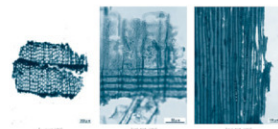
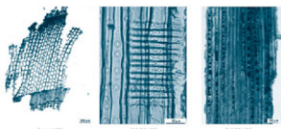
板目面



170. 底板 (642) スギ



板目面





183. 角材 (2409) ピノ

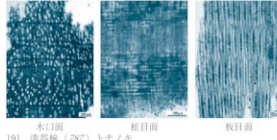
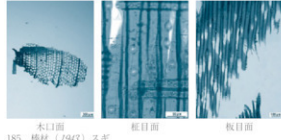


189. 板材 (867) ピノ



184. 建部材 (1946) ピノ

190. 漆器楕 (62) ピノ



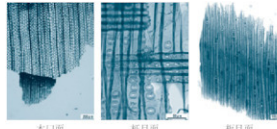
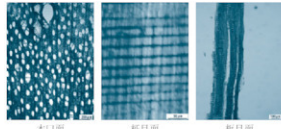
185. 柁材 (2943) ピノ

191. 漆器楕 (287) ドチノキ



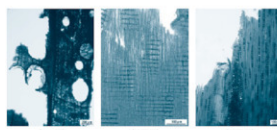
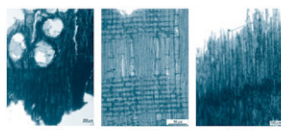
186. 柱根 (1825) ピノメ

192. 下駄 (389) ピノ



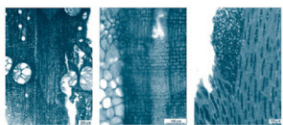
187. 水器 (水盛り) (869) ヤマドリ

193. 下駄 (767) ピノ



188. ナスビ形鉢 (949) クスギ

194. 直柄平鉢 (2388) クスギ



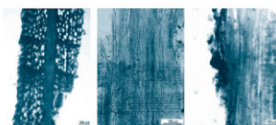
195. 直柄平歛 (2286) クヌギ節



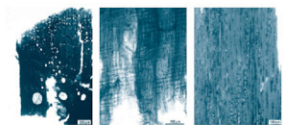
201. 直柄平歛 (JB35) クヌギ節



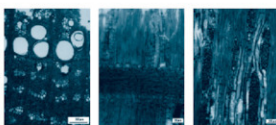
196. 直柄平歛 (2286) クヌギ節



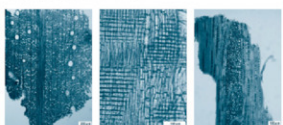
202. 漆器桺 (JB3) ブナ



197. 直柄平歛 (2286) コナラ節



203. 水準器 (水盛り) (JB58) ケヤキ



198. 直柄平歛 (2284) ブナ科



199. 直柄平歛 (2297) クヌギ節



200. ナスピ形又歛 (JB57) コナラ節

## (4) 木製品の樹種同定

株式会社パレオ・ラボ 三村昌史

## A はじめに

下老子篠川遺跡から出土した木製品のうち計67点の樹種同定結果を報告する。樹種同定の対象となる器種は柱材・礎板・桶側板・柄・杭・曲物底板・折敷底板・箸などで、様々な性格のものを含んでいる。このうち、A地区では溝や井戸から出土した桶側板や箸、柱材、板材などで、中世・近世の出土材が中心である。B地区では弥生後期の堅穴建物の柱根や礎板、水田に続く古墳時代の水利施設の杭、溝から出土した古墳時代の水利施設の杭、その他古代～中世の折敷底板や近世の桶側板などがある。C地区では弥生時代の掘立柱建物の柱材や礎板が主となる。

ここでは、これらの木製品に使用された樹種を同定し、各器種の用材の特徴を明らかにするとともに、用材選択の背景にある材質をはじめとした木材特性と製品の製作・使用法との関連性について調査を行った。

## B 試料と方法

出土木製品から直接、横断面・放射断面・接線断面の3断面について木取りや肉眼視できる組織を確認しながら剥刀を用いて切片をスライスし、ガムクロラール（抱水クロラール50g、アラビアゴム粉末40g、グリセリン20ml、蒸留水50mlの割合で調整した混合液）で封入してプレパラートを作成した。検鏡は光学顕微鏡にて40～400倍で行い、所有の現生標本と対照することにより同定を行った。

## C 見出された樹種

樹種同定の結果一覧を第5表に示す。同定対象とした67点の出土材中に見出された樹種は16分類群で、内訳は針葉樹で4分類群（スギ・ヒノキ・サワラ・アスナロ）、広葉樹で12分類群（ヤナギ属・ハンノキ属・ハニノキ属・クリ・コナラ属・コナラ節・ケヤキ・ニレ属・クワ属・カツラ属・カラスザン・ショウ・ニガキ・ヌルデ・トネリコ属）であった。

これら見出された分類群について同定の根拠とした材組織の解剖学的特徴、および分布・生態・材質等は以下の通りである。

a スギ *Cryptomeria japonica* (L.f.) D.Don スギ科 写真図版1 a - 1 c

仮道管と放射柔組織、および樹脂細胞からなる針葉樹材。晩材部は量多く明瞭。分野壁孔はスギ型で大きく、1分野にふつう2個。スギは高木になる常緑針葉樹で、天然分布は年間降水量の多い地域に限られ、日本海側にはまとまった分布域が多い。生育地は湿地周辺や谷部、尾根沿いなど幅広く、低地から比較的高標高のブナ林までみられる。材は通直で軽軟、保存性は中庸、適度な強度があり割裂性・加工性に優れる。

b ヒノキ *Chamaecyparis obtusa* (Sieb. et Zucc.) Endl. ヒノキ科 写真図版2 a - 2 c

仮道管と放射柔組織、および樹脂細胞からなる針葉樹材。晩材部は量少ない。分野壁孔は大型のトウヒ型からヒノキ型でやや大きく、1分野にふつう2個。ヒノキは主に暖温帯（福島県以南）に分布し山地の尾根沿いや緩斜面などに生育する、高木になる常緑針葉樹である。現在のまとまった分布は中部地方や紀伊半島、四国南部にある。材は通直でやや軽軟、加工し易く強度に優れる上、耐朽性が著しく高い。

c サワラ *Chamaecyparis pisifera* (Sieb. et Zucc.) Endl. ヒノキ科 写真図版3 a - 3 c

仮道管と放射柔組織、および樹脂細胞からなる針葉樹材。晩材部はやや少ない。分野壁孔は孔口の角度が水平に近いやや大きなヒノキ型～孔口の狭いやや小さなスギ型で、ふつう1分野に2個。サワ

ラは高木になる常緑針葉樹であり、主に温帯下部～暖温帶の山地や渓畔に見られる。現在の分布の中心は中部地方にある。材は通直、軽軟で割裂・加工は容易、水湿には耐性がある。

d アスナロ *Thujopsis dolabrata* Sieb. et Zucc. ヒノキ科 写真図版4 a - 4 c

仮道管と放射柔組織、および樹脂細胞からなる針葉樹材。晩材部はしばしば量多い。分野壁孔はヒノキ型で小さく、ふつう孔口は狭く、1分野に2-4個。放射組織にはしばしば内容物が多い。アスナロは主に温帶に分布する高木になる常緑針葉樹で、耐陰性が高い。材は通直、軽軟で割裂・加工容易。耐朽性は良好で水湿に強い。

e ヤナギ属 *Salix* ヤナギ科 写真図版5 a - 5 c

小型で丸い道管が、ほとんど単独でやや密に分布する散孔材。道管の穿孔は單一。放射組織は單列異性。ヤナギ属には多くの種が含まれ、その多くは河畔などの日当たりの良い湿润な砂質土壤を好む種が多いが、日当たりの良い乾いた土壤を好む種もある。材は軽軟で加工容易であり、保存性は低い。

f ハンノキ属ハンノキ亜属 *Alnus* subgen. *Alnus* カバノキ科 写真図版6 a - 6 c

小型で放射方向に伸びたやや丸い道管が密に分布する散孔材。道管の穿孔は階段状で20本程度。放射組織は單列同性でしばしば複合状のものも交える。ヤシャブシ亜属の中にも複合放射組織を有するものがあり、その場合は道管の分布密度等により区別される。ハンノキ亜属には山中や崩壊の起きる上流部の渓畔にみられるヤマハンノキ、湿地内や河畔の湿润地にみられるハンノキなどが含まれる。いずれも温帶～暖温帶に分布し高木になる落葉広葉樹で、しばしば群生する。材質は種によって若干異なるが、硬さ・重さなどの性質は概して中庸である。

g クリ *Castanea crenata* Sieb. et Zucc. ブナ科 写真図版7 a - 7 c

年輪の始めに大型で丸い道管が単独で1-2列に並び、晩材部では小型でやや角張った薄壁の道管が火炎状に配列する環孔材。道管の穿孔は單一。放射組織は單列同性。クリは主に温帯下部・暖温帶に広く分布する落葉広葉樹で、明るい林内や向陽地に多くみられる。材は重硬で弹性に富み、割裂は容易、耐朽性が高い。

h コナラ属コナラ節 *Quercus* sect. *Prinus* ブナ科 写真図版8 a - 8 c

年輪の始めに大型の丸い道管が単独で1-2列に並び、晩材では小型でやや角張った道管が火炎状に配列する環孔材。道管の穿孔は單一。放射組織は單列同性のものに広放射組織が混在する。いわゆるナラ類の材で、温帯下部～暖温帶に分布するコナラ、温帯に分布しコナラよりより高標高地域からみられ、上部ではブナと混生することの多いミズナラなどが含まれる。いずれも重硬で弹性を持つ材で、保存性は中庸、割裂・加工は困難である。

i ニレ属 *Ulmus* ニレ科 写真図版9 a - 9 c

年輪の始めに大型でやや楕円形の道管が単独または1-2個複合して2列ほど並び、晩材部では小型で薄壁のやや角張った道管が多数集合して接線状～斜めに連なった帶状に分布する環孔材。道管の穿孔は單一、放射組織は同性で1-6列程度。ニレ属には高木になる落葉広葉樹が数種含まれ、アキニレやハルニレなどが含まれる。アキニレは中部以西に分布し、河畔や石灰岩地・やせ地などにみられ、ハルニレは富山県では比較的高標高の河畔・乾燥した湿原周辺などの適湿地にみられる。材は重さ・硬さが中庸～やや重硬、弹性がある。

j ケヤキ *Zelkova serrata* (Thunb.) Makino ニレ科 写真図版10 a - 10 c

年輪の始めに大型の丸い道管が単独で1-2列に並び、晩材部では小型の薄壁で角張った道管が多数集合して接線方向あるいはやや斜めに帶をなす環孔材。道管の穿孔は單一。放射組織は主に上下端

のみ直立細胞からなる異性で、しばしば大型の結晶を含む。ケヤキは高木になる落葉広葉樹で、谷沿いや河畔の肥沃な土壤にみられ、温帯に広く分布する。材はやや重硬で韌性もあり、均質で切削加工は容易、割裂性は中庸で保存性に優れる。

k クワ属 *Morus* クワ科 写真図版11 a - 11 c

年輪のはじめに大型で丸い道管が単独あるいは1 - 2個複合して1 - 2列並び、年輪界付近ではごく小型の角張った道管が数個集合して斜上状・接線状に配列する環孔材。道管の穿孔は単一。放射組織は異性で1 - 5列ほど、上下端の直立細胞は1 - 2個連なる。クワ属には数種含まれるが、母植物としては分布からヤマグワが考えられる。ヤマグワは温帯～暖温帯に広く分布し、谷沿いや河畔の適湿地や林縁などの向陽地にみられる、低木～小高木の落葉広葉樹である。材はやや重硬で強靭である。

l カツラ属 *Cercidiphyllum* カツラ科 写真図版12 a - 12 c

小型で角張った道管が単独あるいは複合して密に分布する散孔材。道管の穿孔は階段状で20 - 30本程度。放射組織は異性でスリムな1 - 2列、しばしば他の放射組織と連絡する。カツラ属にはカツラ、ヒロハカツラの2種が含まれ、ヒロハカツラは高標高地域に分布する。いずれも河畔や溪畔にみられる落葉広葉樹で高木になり、材は均質かつ軽軟で切削加工し易い。

m カラスザンショウ *Zanthoxylum altanoides* Sieb. et Zucc. ミカン科 写真図版13 a - 13 c

中型で丸く薄壁の道管が主に単独、時に放射方向を中心に複合してまばらに分布する散孔材。年輪界付近では道管直径は小さくなる。木部柔細胞は周囲状およびターミナル状となる。道管の穿孔は單一で、放射組織は1 - 4列の同性で紡錘形をなす。カラスザンショウは暖温帯に分布し小高木～高木になる落葉広葉樹で、裸地や伐採跡、林縁などに多くみられる先駆的な樹種である。材はやや軽軟である。

n ニガキ *Picrasma quassoides* (D.Don) Benn. ニガキ科 写真図版14 a - 14 c

年輪の始めに丸く厚壁の道管が単独または1 - 2個複合して並び、その後は径を除減するとともに道管の分布密度を下げ、晩材部ではごく小型で丸く厚壁の道管が数個塊状にまとまって分布する環孔材。道管の穿孔は單一で、内腔には着色物質がみられる。木部柔細胞は周囲状で、晩材部では小道管に伴って翼状・帶状となる。放射組織はほとんど同性に近く1 - 6列。ニガキは温帯下部～暖温帯の山中にみられる落葉広葉樹で、小高木～高木になる。材は重さ・硬さ中庸程度で、強度も中庸である。

o スルデ *Rhus javanica* L. var. *roxburghii* (DC.) Rehder et Wils. ウルシ科

写真図版15 a - 15 c

中型で丸い道管が、年輪の始めに単独あるいは1 - 2個複合して数列ならび、その後径を減じて小型でやや丸い道管が放射方向に数個複合あるいは塊状に集合して散在し、年輪界付近ではごく小型で方形の道管が斜め～接線方向に配列する環孔材。道管の穿孔は單一。木部柔細胞は周囲状。放射組織は異性で1 - 3列、しばしばいびつな形状をなす。スルデは暖温帯に分布する落葉広葉樹で、半裸地や伐採跡地、林縁などの日当たりのよい立地にみられる先駆的な樹種である。材は重さ・硬さ中庸程度で、やや脆い。

p トネリコ属 *Fraxinus* モクセイ科 写真図版16 a - 16 c

大型で丸い道管が年輪の始めに1列に並び、晩材部ではごく小型で厚壁の道管がほぼ単独に分布する環孔材。木部柔細胞は周囲状。道管の穿孔は單一。放射組織は同性で、1 - 3列。トネリコ属には林内に生育するアオダモ、日当たりの良い山中や林縁など乾性立地に生育するマルバアオダモなどがある。材は重さ・硬さが中庸～やや重硬、加工は困難でなく、韌性がある。

## D 考察

時代別にまとめた器種の用材を第1・2表に示す。ここでは、時代別に各器種の用材とその選択の背景について考察を加えていくこととする。

時代	弥生後期								弥生			計	
	柱根	礎板	杭	針状 木製品	矢板	加工材	加工板	板材	柱根	礎板	板状		
針葉樹	スギ	—	—	—	1	1	1	1	—	—	5	11	
	ヒノキ	—	—	—	1	—	—	—	—	—	—	1	
	アスナロ	—	—	—	—	—	—	1	—	—	—	1	
広葉樹	クリ	—	2	—	—	—	—	—	—	—	—	2	
	コナラ節	1	1	—	—	—	—	—	1	4	—	7	
	ニレ属	1	—	—	—	—	—	—	—	—	—	1	
	ケヤキ	2	—	—	—	—	—	—	—	—	—	2	
	クワ属	2	—	1	—	—	—	—	1	—	—	4	
	カツラ属	1	—	—	—	—	—	—	—	—	—	1	
	ニガキ	1	—	—	—	—	—	—	1	—	—	2	
	マルデ	—	—	—	—	—	—	—	1	—	—	1	
	トネリコ属	—	—	—	—	—	—	—	4	—	—	4	
計		8	3	1	1	1	1	1	3	8	4	5	37

第1表 時代別・各器種の用材(1)

時代	古墳			古代～中世		中世		中世～近世		近世				計				
	水利施設	曲物底板	直物底板	折敷底板	曲物底板	直物底板	板状	杭	柱	底板	柱根	檻板側	著	加工板	板状木製品	柄	小片	
針葉樹	スギ	3	1	2	1	1	2	1	—	1	—	1	—	—	—	—	—	13
	サワラ	—	—	—	—	—	—	—	—	—	—	—	2	1	1	—	—	4
	アスナロ	—	—	—	—	—	—	—	—	—	1	2	—	—	—	—	1	4
広葉樹	針葉樹	—	—	—	—	—	—	—	—	—	—	—	—	—	—	—	1	1
	ナナギ属	—	—	—	—	—	—	—	—	—	—	1	—	—	—	—	—	1
	ハンノキ亜属	—	—	—	—	—	—	—	—	—	1	—	—	—	—	—	3	4
広葉樹	クリ	—	—	—	—	—	—	—	1	—	—	—	—	—	—	—	—	1
	カラスサンショウ	—	—	—	—	—	—	—	—	—	—	—	—	—	—	1	—	1
	広葉樹	—	—	—	—	—	—	—	—	—	—	—	1	—	—	—	—	1
計		3	1	2	1	1	2	1	1	1	2	3	2	2	1	2	5	30

第2表 時代別・各器種の用材(2)

## 弥生時代後期の出土材

弥生後期の出土材では、堅穴建物の柱材や礎板といった建築材や、矢板などの土木材、その他板材などがあり、その多くがB地区からの出土で、一部A地区出土のものを含む(第1表)。

建物	S 19					S 110(新)					S 111					S 119					計
	柱根	柱	杭	礎板	柱	柱根	柱	杭	柱	柱	柱根	柱	柱	柱	柱	柱	柱	柱	柱	柱	
広葉樹	クリ	—	—	2	—	—	—	—	—	—	—	—	—	—	—	—	—	—	—	—	2
	コナラ節	—	—	1	—	—	—	—	—	—	—	—	—	—	—	—	—	—	—	—	1
	クワ属	1	—	—	—	—	—	—	—	—	—	—	1	—	—	—	—	—	—	—	2
	ニレ属	—	—	—	—	1	—	—	—	—	—	—	—	—	—	—	—	—	—	—	1
	ケヤキ	2	—	—	—	—	—	—	—	—	—	—	—	—	—	—	—	—	—	—	2
	カツラ属	—	—	—	—	—	—	—	—	—	—	—	1	—	—	—	—	—	—	—	1
	ニガキ	—	—	—	—	—	—	—	—	—	—	—	1	—	—	—	—	—	—	—	1
	計	3	—	3	—	—	1	—	2	—	—	—	1	—	—	—	—	—	—	—	10

\*多主柱型-S 19, 10(新), 15, 4 本主柱型-S 111

## 第3表 B地区堅穴建物の構成材

柱材の樹種としては、コナラ節・ニレ属・ケヤキ・クワ属・カツラ属・ニガキなど、全体として様々な広葉樹材が見出されており、また建物毎にみても、複数の樹種が用いられていることがわかる(第3表)。これらの樹種はいずれも小高木あるいは高木になるので柱材に見合う径長の材が得られ、また材質でみても硬く丈夫な部類の材が多い。また、柱穴から出土した補強材などの可能性が想定される杭にも、広葉樹材のクワ属が用いられており、柱材の結果と共通している。

礎板にはいずれも硬く丈夫なクリ・コナラ節が見出されているが、このうちクリは割裂性に優れる材で、礎板のような板材を割り出しやすいことから選択されたと想定される。残りのコナラ節は割裂

困難な材であるが、柱目材であることから軟らかい組織である広放射組織（木口面で放射方向に走る髓線として確認される）を利用するなどして工夫され、用いられたものと推測される。

矢板や板材、そのほかの板材状の加工材には針葉樹材であるスギがすべてに用いられている。スギのような針葉樹は直通した伸長をし、多くの広葉樹と異なり無限幹と称されるように途中で幹が分かれることなく、そのため材も直通した丸木が得られる。加えて木理が直通で材が割裂容易であるため、板材を割り出すのに適していることから選択されたのであろう。

また、S I 7 から出土した針葉木製品には、スギと比較してより均質で切り削り加工に適するヒノキが用いられている。

#### 弥生時代の出土材

弥生時代と考えられている出土材に、建物の柱材や礎板、および板状の加工材があり、すべてC地区出土である（第1表）。

建物 (柱穴数)	S B11 (6)	S B12 (5)	S B13 (4)	S I 27 (4)	計
樹種／器種	柱	柱	礎板	柱	
広葉樹	コナラ節	1	—	4	—
	ニガキ	—	1	—	1
	ヌルデ	—	1	—	1
	トネリコ属	—	2	—	4
計	1	4	4	2	11

第4表 建物の構成材

柱材全体で見出されたのはコナラ節・クワ属・ニガキ・ヌルデ・トネリコ属といった様々な広葉樹材で、やはり柱材に見合う径長の得られる樹種で材質も丈夫なものが多い傾向にある。建物毎にみても、点数の揃っている S B12 の結果を見る限り複数の樹種が用いられているようである（第4表）。こうした点は堅穴建物の柱材の結果と調和的で、建物の建築用材としての特徴に共通性が見出される。

また、礎板は4点がそれぞれ S B13 の柱穴から出土したもので、いずれも硬く丈夫なコナラ節の材が用いられている。同一の樹種であることから、原本から効率よく割り出されて用いられた可能性も想定される。

#### 古墳時代・古代～中世の出土材

古墳時代のものには、B地区の自然流路から水田へ出引水するための溝と想定されている S D2250 から出土した杭があり、3点いずれにもスギが用いられている（第2表）。これらの杭は二方柱に取られた角材状で、器形からみても何らかの構造の一部を成していたことが想定され、スギが割り出すのに適することから用材とされたのであろう。そのほか、1点ある曲物底板もスギであり、同様に割裂性のよい針葉樹材が用材とされている。

古代～中世のものには、B地区出土の折敷底板や板材状の加工材、およびD地区出土の曲物底板があるが、こちらも割材から製作される関係上、スギがすべてに用いられている（第2表）。

#### 中世～近世の出土材

中世～近世にかけての出土材は、A地区から出土した掘立柱建物の柱材や井戸枠の桶側板、および井戸出土の柄や箸、B地区から出土した桶側板や曲物底板、C地区から出土した桶側板などがある（第2表）。

まず、柱材の用材をみてみると、A 5 地区の掘立柱建物（S B 5）の柱材にはアスナロ、A 2 地区の掘立柱建物（S B 2）柱材にはハンノキ亜属の材が見出されていて、針葉樹が用いられていることは弥生時代の結果とは異なる傾向である。器形に着目すると、ハンノキ亜属の柱材は芯持丸木

のまま用いられているが、アスナロの柱材の方はその割裂性を利用して角材状に調整されており、製作法と用材との間に対応関係が窺える。

桶側板や曲物底板、そのほか板材状の加工材には全体としてアスナロやサワラが多く、スギは少ない傾向にあり、弥生時代後期・古墳時代・古代～中世の同様な出土材にスギが多用されていたのとは対照的である。なお、桶に関してみると、井戸枠の桶にはスギが用いられており、一方自然流路等から出土した実用の桶の可能性があるものにはアスナロが用いられているという違いも認められる。

箸には一般に削り出した針葉樹材が用いられるが、本遺跡では削り出しのものと芯持丸木を用いたものが出土しており、削り出しの方には広葉樹（詳細な同定不可）が、また芯持丸木の方にはヤナギ属の材が用いられていた。

柄は丸木ではなく板目材やみかん割材を整形したもので、板目材にはサワラ、みかん割材にはカラスザンショウが用いられており、どちらも割裂容易で加工容易な材が用いられている。

#### E おわりに

以上のように、本遺跡では弥生時代後期の堅穴建物や弥生時代の掘立柱建物の柱材には様々な広葉樹材が用いられ、逆に板材や割材状の製品には針葉樹材のスギが多用されており、木材資源の中から各器種の使用法・製作法・器形などに応じて樹種が使い分けられていたことが明らかになった。また、時代が下り近世になると、掘立柱建物にもアスナロが用いられるようになるほか、割材や板材状の製品にはスギに代わってアスナロ・サワラといった針葉樹材が用いられるようになる傾向が認められた。

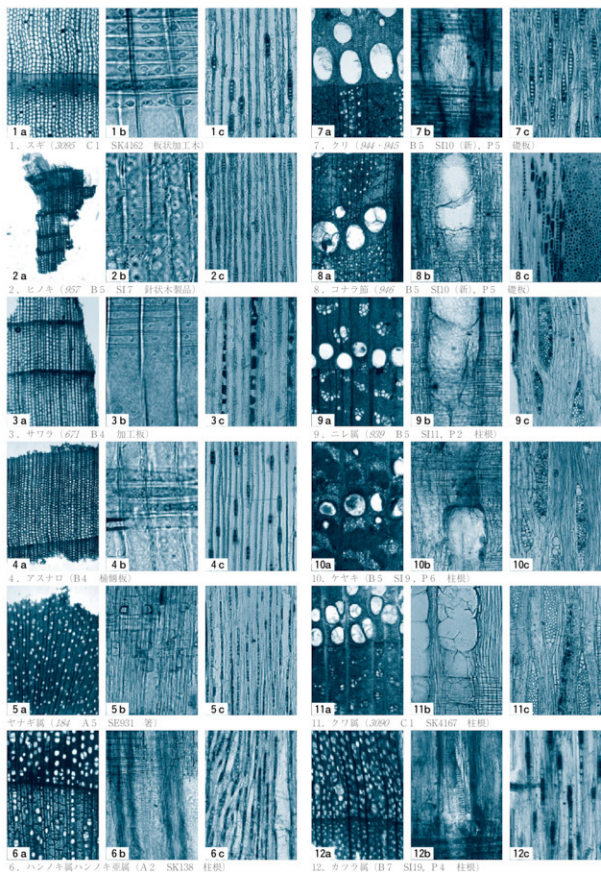
スギの多用は県内の諸遺跡でも確認されるように北陸地方における木材利用の特色のひとつであるが、およそ中世以降の出土材には本遺跡のようにスギ以外の針葉樹材も比較的見出されている（例えば、元興寺文化財研究所1998、2002、2003；パリノ・サーヴェイ株式会社1994）。こうした針葉樹材は杓子・曲物・木札など遺跡外からもたらされる可能性のある製品に偏り、それらの樹種の検出自体が流通を指し示していることが多いものと想定される。ただ、本遺跡では弥生後期の針状木製品にヒノキが用いられていたので、資源としてはスギ以外の針葉樹も少ないと存在はしていたとも類推され、スギよりも均質な材質を要求される製品には選択されて用いられたことがあったと推察される。

#### 引用文献

- 元興寺文化財研究所（1998）樹種鑑定報告書、「富山県文化振興財団埋蔵文化財発掘調査報告書第9集 五社遺跡発掘調査報告書－能越自動車道建設に伴う埋蔵文化財発掘報告Ⅰ－第二分冊」財团法人富山県文化振興財団埋蔵文化財調査事務所、39-64
- 元興寺文化財研究所（2002）樹種鑑定報告書、「富山県文化振興財団埋蔵文化財発掘調査報告書第14集 石名木舟遺跡発掘調査報告書－能越自動車道建設に伴う埋蔵文化財発掘報告Ⅱ－第三分冊 自然科学の分析編、写真図版編」財团法人富山県文化振興財団埋蔵文化財調査事務所、78-120
- 元興寺文化財研究所（2003）樹種鑑定報告書、「富山県文化振興財団埋蔵文化財発掘調査報告書第18集 中名Ⅰ・V遺跡発掘調査報告書－公害防除特別土地改良事業に伴う埋蔵文化財発掘報告Ⅲ－」財团法人富山県文化振興財団埋蔵文化財調査事務所、431-454
- パリノ・サーヴェイ株式会社（1994）針原東遺跡から出土した木製品の材同定、「小杉針原東遺跡発掘調査報告書」富山県小杉町教育委員会、141-154

第5表 樹種同定結果一覧

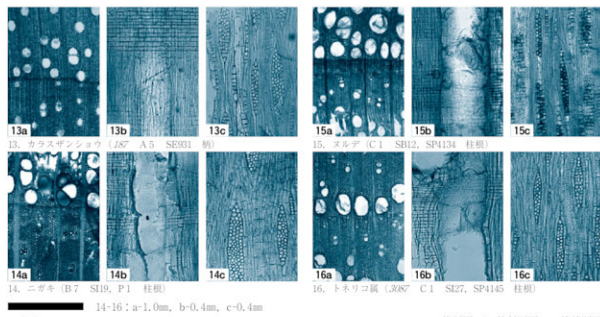
道番番号	分譲番号	器種	樹種	本取り	地区・遺構	出土地点	時期	備考
		柱根	トネリコ属	芯持丸木	C1 SB12, SP4176		弥生	
		柱根	ニガキ	追柾目	C1 SB12, SP4136		弥生	削材
		柱根	トネリコ属	追柾目	C1 SZ27, SP4147		弥生	
		柱根	アルデ	芯持	C1 SB12, SP4134		弥生	側面加工
		加工木(縫板)	コナラ節	みかん割	C1 SB14, SP4138		弥生	
		柱根	クワ属	板目	B5 SB, P5		弥生後期	
		柱根	ケヤキ	半裁	B5 SB, P6		弥生後期	
		柱根	ケヤキ	板目	B5 SB, P6		弥生後期	角材状
		柱根	ニガキ	みかん割	B7 SH19, P1		弥生後期	
		柱根	カツラ属	みかん割	B7 SH19, P4		弥生後期	
		柱根	ハンノキ属	芯持丸木	A2 SK138		近世	
457	4	底板	スギ	板目	A4	X88Y93	中世～近世	
168	4	著	広葉樹	削出	A4 SE510		近世	
103	4	柱根	アヌナコ	二方柾	A5 SR2, SP886		近世	角材状
184	4	著	ヤナギ属	芯持丸木	A5 SE931		近世	
187	4	柄	カラスザンショウ	みかん割	A5 SE931		近世	板目
		机	スギ	芯持丸木	A5 SK1151		中世～近世	
197	4	桶彌板	スギ	板目	A6 SE1390		近世	
332	4	板状	スギ	板目	A8 SD1915		中世	
331	4	板状	スギ	板目	A8 SD1915		中世	
365	2	板材(板矢)	スギ	板目	A8 SD2102	X180Y176	弥生後期	
34	4	加工木(板矢)	スギ	板目	B1 SD2201	X217Y216	古代～中世	
		水利施設柾	スギ	二方柾	B1 SD2250	X213Y214	古墳	角材状
346	4	水利施設柾	スギ	二方柾	B1 SD2250	X213Y214	古墳	角材状
363	4	水利施設柾	スギ	二方柾	B1 SD2250	X213Y214	古墳	角材状
647	2	曲物底板	スギ	板目	B2	X210Y236IIIa層	古墳	
508	4	柄	ヤワラ	板目	B3 SD2802	X245Y205	近世	
1942	2	加工木	スギ	板目	B3 SD2875	X236Y221	弥生後期	
		桶彌板	アヌナコ	板目	B4	X267Y195IIa層	近世	
		加工板	ヤワラ	板目	B4	X269Y201IIa層	近世	
671	4	加工板(打版)	ヤワラ	板目	B4	X283Y199IIb層	近世	
		柱	クリ	芯去削出	B4 SB14, SP3038	X251Y214	中世～近世	分割材の面取
655	4	折板底板	スギ	板目	B5	X256Y232II層	古代～中世	
		折板底板	スギ	板目	B5	X256Y234III層	古代～中世	
943	2	礎板	クリ	板目	B5 SH10(新), P4		弥生後期	
944・945	2	礎板	クリ	板目	B5 SH10(新), P5		弥生後期	
946	2	礎板	コナラ節	板目	B5 SH10(新), P5		弥生後期	
929	2	柱根	ニレ属	芯持丸木	B5 SH11, P2		弥生後期	
962	2	加工材	スギ	板目	B5 SH15		弥生後期	
1875	2	柱根	クワ属	板目	B5 SK3612		弥生後期	
3476	2	板材	アヌナコ	板目	B5	X276Y223IV層	弥生後期	
937	2	針状木製品	ヒノキ	削出	B5 SJ7		弥生後期	
2160	2	柱根	コナラ節	芯持丸木	B6 SK3747		弥生後期	
2762	2	加工板(円形板)	スギ	板目	B6 SK3980		弥生後期	
		机	クワ属	板目	B6 SH15, P5		弥生後期	
2410	2	板材	スギ	板目	B7 SD4002		弥生後期	
960	2	板材	スギ	板目	B7 SH19		弥生後期	
3088	2	柱根	トネリコ属	芯持丸木	C1 SB12, SP4109		弥生	
3089	2	柱根	コナラ節	芯持丸木	C1 SB11, SP4128		弥生	
3096	2	板状加工木	スギ	二方柾	C1 SK4169		弥生	角材に近い
3091	2	板状加工木	スギ	板目	C1 SK4169		弥生	
3097	2	板状加工木	スギ	追柾目	C1 SK4169		弥生	
3095	2	板状加工木	スギ	二方柾	C1 SK4162		弥生	角材に近い
3097	2	柱根	トネリコ属	芯持丸木	C1 SZ27, SP4145		弥生	
3090	2	柱根	クワ属	芯持丸木	C1 SK4167		弥生	(中空)
3092	2	加工木(縫板)	コナラ節	板目	C1 SB13, SP4139		弥生	
3093	2	加工木(縫板)	コナラ節	二方柾	C1 SB13, SP4140		弥生	角材状
3094	2	加工木(縫板)	コナラ節	みかん割	C1 SB13, SP4141		弥生	
3098	2	板状加工木	スギ	板目	C1 SK4154		弥生	
733	4	板状木製品	ヤワラ	板目	C3 SD4301	X410Y315	古墳	
234	4	桶彌板	アヌナコ	板目	C3 SD4301	X415Y310	近世	
745	4	曲物底板	スギ	板目	D2 SD4708	X583Y357	古代～中世	
		小片	ハンノキ属	芯持丸木	A2 SK282		近世	d=0.3
		小片	アヌナコ	—	A2 SK282		近世	小破片
		小片	針葉樹	—	A2 SK283		近世	小破片
		小片	ハンノキ属	芯持丸木	A2 SK283		近世	d=0.3
		小片	ハンノキ属	芯持丸木	A2 SK283		近世	d=0.3



1~4: a=1.0mm, b=0.1mm, c=0.4mm 7~11: a=1.0mm, b=0.4mm, c=0.4mm  
 scale bar 5,6,12: a=1.0mm, b=0.2mm, c=0.4mm

a:横断面 b:放射断面 c:接線断面

図版1 出土材・木材組織光学顕微鏡写真



図版2 出土材・木材組織光学顕微鏡写真

## 10 骨片同定

株式会社パレオ・ラボ 黒澤一男

### (1) はじめに

ここでは、富山県高岡市にある下老子笠川遺跡より検出された骨片について分類・同定を行なった。試料は、A 2 地区 S K 117 (近世後半), A 7 地区 S I 1 B 区周溝 (弥生終末), B 5 地区 S I 8 B 区 (弥生後半), C 4 地区 S I 9 炉 (縄文晩期末), C 4 地区 S O 3 (縄文晩期末) より採取され、骨片の点数にして100点以上のものである。

なお、同定に際しては国立歴史民俗博物館西本研究室で所有している現生標本を観察させていただき、それら標本との比較により同定をおこなった。同博物館の西本豊弘教授には試料の監査していただき、ご助力をいただいた。この場をお借りして感謝の意を表する。

### (2) 同定結果 (第1表)

同定は基本的に現生標本との比較により行った。以下にそれぞれの遺構ごとに同定結果を述べる。

#### ・ A 2 地区 S K 117

2 試料 (No.44・45) は同一の骨の破片である。それは緻密質表面に細かいシワが見られることから、おそらくヒト四肢骨幹部の破片である。1 試料 (No.85) には複数の骨片が含まれるが、5 cm × 7 cm 程度の板状骨があり、その板状骨の内側には細かい溝が認められる。また小さな板状骨には陵がみられることなどからヒト頭蓋骨と同定される。もう 1 試料 (No.86) 骨幹部破片 2 点と、海綿状組織の見られる骨片 3 点が含まれるが、破片であるため、同定は不可能であるが緻密質表面に細かいシワがあること、同一の遺構からヒト頭蓋骨が検出されていることから、おそらくヒトのものであり、胸骨破片と思われる。

#### ・ A 7 地区 S I 1 周溝 B 区

泥の中に白色の骨片が複数含まれる。これらは細片化しているため、同定は不可能である。

#### ・ B 5 地区 S I 8 B 区

0.2cm～1.5cm の白色の骨片が複数含まれる。いずれも緻密質部分のみが残存し、スポンジ状の海綿質部分は磨耗してしまい残っていない。前述のように残存状態が悪いため同定は不可能である。

#### ・ C 4 地区 S I 9 炉

0.2cm～0.7cm の白色の骨片が複数含まれ、1 点のみ 2 cm 程度の円錐状の骨片が存在する。この骨片は、骨の緻密質部分を加工したものと思われる。これらの試料についての動物種などの同定は不可能である。

#### ・ C 4 地区 S O 3 燃土

0.1cm～2 cm の骨片が多数含まれる。それらには、小型の鳥類とカエル類の破片が多く、魚類や小型の哺乳類のものも含まれる。その中で部位等の同定が可能なものは、魚類が 12 点、両生類が 20 点、爬虫類が 7 点、鳥類が 2 点、哺乳類が 3 点である。

魚類は小型の椎骨が 8 点と、咽頭歯が 4 点検出された。椎骨は大きいもので椎体横径 3.3mm, 6 個は椎体横径 2 mm 弱と非常に小型である。咽頭歯が検出されていることもあり、おそらくウグイ亞科と考えられる。

両生類は、カエル類の下顎骨・上腕骨・橈尺骨・腸骨・椎骨・尾椎が検出されている。それらの大きさは、現生標本のウシガエルとほぼ同等である。

爬虫類は、ヘビ類の椎骨破片が7点検出されている。

鳥類は、小型の中手骨が2点検出されている。それらはスズメ程度の大きさであり、多数含まれる破片もスズメぐらいの小型の鳥類のものである。

哺乳類は、歯冠部破片が検出されている。おそらく、ウサギやネズミのような小型の哺乳類のものである。

その他に、指骨が多数検出されている。

### (3) おわりに

ここでは下老子笹川遺跡より検出された骨片について分類・同定を行なった。100点以上の骨片が検出されているものの、焼骨であるため大半は細片化しており、同定にはいたらなかった。しかし、その中でも一部動物種や部位など同定できるものがあった。以下にそれらの結果に基づきまとめる。

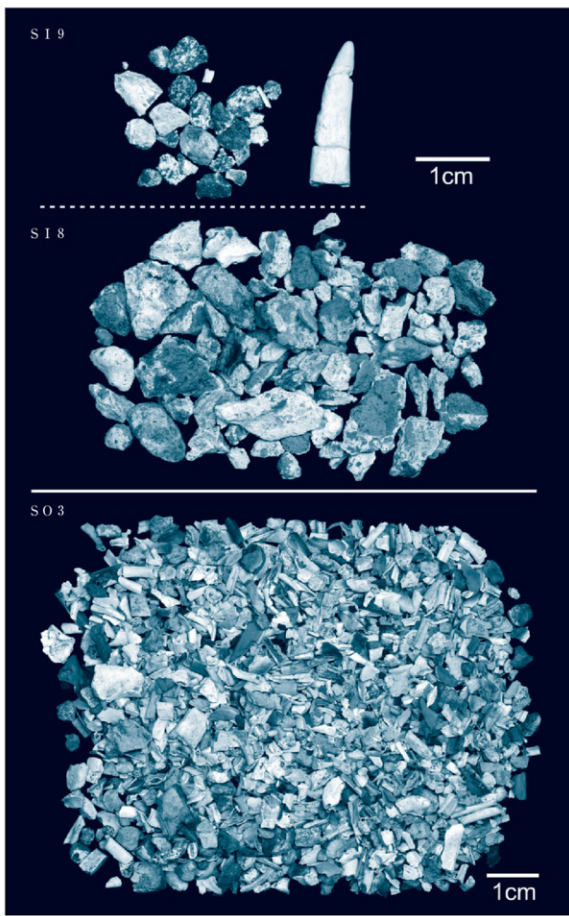
近世後半の遺構A 2 地区 S K117からは人骨が検出された。頭蓋骨の状態からおそらく成人のものであると考えられる。

縄文晩期末の焼土C 4 地区 S O 3には、小型鳥類とカエル類が多数含まれていた。そのほかウグイなどの魚類や小型哺乳類が含まれていた。これらは焼骨であるため、焼いて食した残滓であると思われる。一般的に縄文晩期の焼骨で多く含まれるシカやイノシシが本遺跡では検出されず、小型のものがほとんどであった。また、同様に晩期などの焼骨で多く検出されるものにサケ科魚類がある。サケ科の骨は非弱であるため、完形での出土は稀であり、椎骨破片として検出されることが多い。今回多数の破片を確認したが、サケ科の骨片といえるものは検出することはできなかった。それらのことをふまえ、今回確認した試料から当時の食生活を考えると、カエル類や小型鳥類を主とした質素な動物質の食料を使用していたと考えられる。また、カエル類については他の遺跡でも検出されているが、非焼骨での検出が多い。しかし、ここでは焼骨として検出されており、食していたと考えた。今後、他の遺跡においても食料としてのカエル類の検出も重要であると思われる。

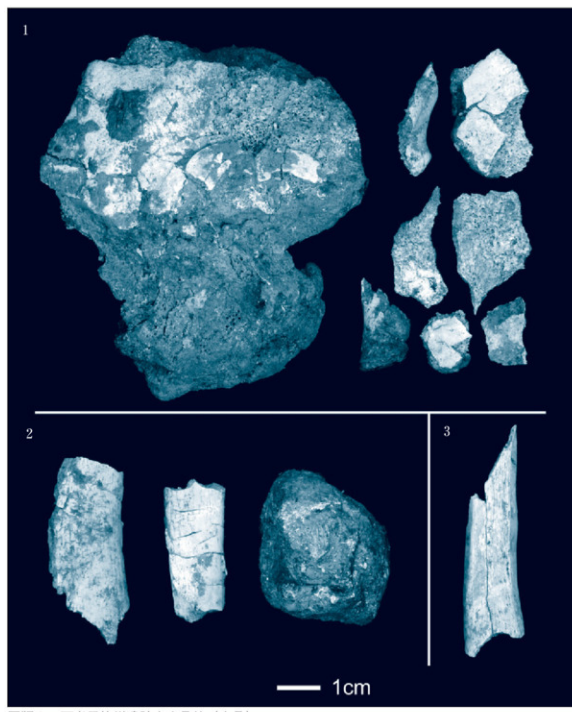
前述の2遺構以外の弥生終末のA 7 地区 S I 1 周溝と弥生後半の遺構B 5 地区 S I 8 および縄文晩期末の炉C 4 地区 S I 9 からも多数の骨片が検出されているが、残存状態が悪く、同定にはいたらなかった。

資料番号	地区 遺構	出土地点	種名	部位	左右	残存度	備考
1	A 2 地区 S K117		No.44, 45	ヒト		四肢骨	骨幹部破片
2			No.85	ヒト		頭蓋骨	破片
3			No.86	ヒト		胸骨?	破片
4	A 7 地区 S I 1	B区周溝	不明	不明		不明	破片
5	B 5 地区 S I 8	B区	不明	不明		不明	破片
6	C 4 地区 S I 9	炉	不明	不明		椎骨	破片多数
7	C 4 地区 S O 3	焼土	ウグイ亜科? (コイ目)	椎骨			8個
				頭顎骨			4個
			カエル	下顎骨	左	破片	2個
				上腕骨	右	遠位端	ウシガエルサイズ
				桡尺骨	右	近位端	2個
				腸骨	左	遠位端	ウシガエルサイズ
			ヘビ類	椎骨		破片	1個、破片9個
			小型トリ	中手骨	左	近位端	2個
					左	遠位端	
			小型哺乳類	歯		歯冠部破片	3個
			カエルor小型哺乳類	指骨			多数

第1表 下老子笹川遺跡出土動物種部位観察表

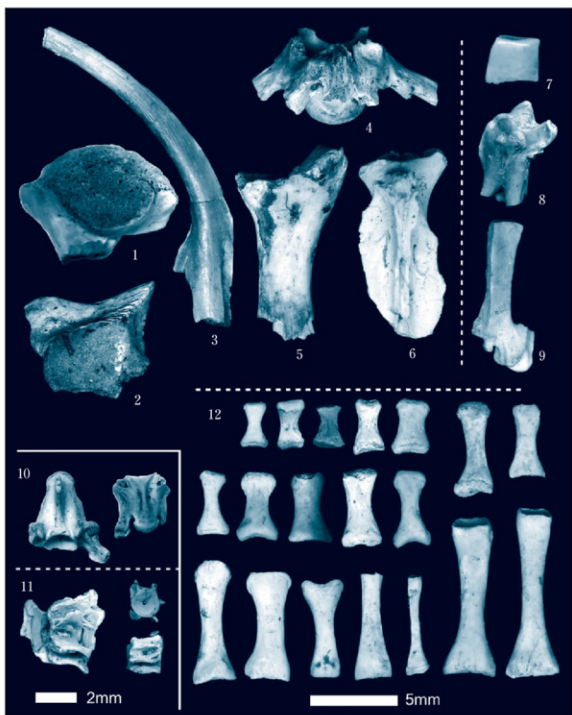


图版1 下老子洼川遗迹出土骨片



図版2 下老子塙川遺跡出土骨片（人骨）

1 頭蓋骨 2 胸骨？他 3 四肢骨



图版3 下老子笨川遺跡出土動物骨（小型動物類）

1 ~ 6 カエル類 (1 上腕骨 右 遠位端 2 肘骨 左 遠位端 3 下顎骨 左

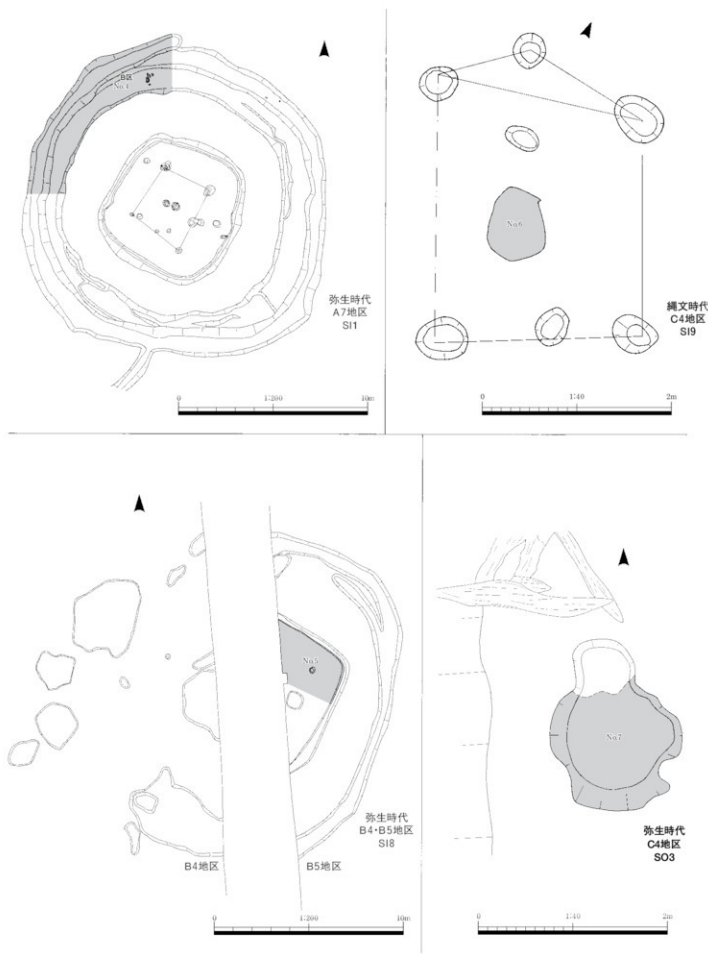
4 椎骨 5 楔尺骨 右 近位端 6 尾椎)

7 小型哺乳類 齧冠部破片

8 · 9 小型鳥類 中手骨 (2 左 近位端 3 左 遠位端)

10 ベビ類 椎骨 11ウグイ亜科? 椎骨

12 カエル類or小型哺乳類 指骨



第1図 骨同定試料採取地点 (No. 6 + No. 7 1/40, No. 4 + No. 5 1/200)

## 11 年代測定

### (1) 縄文時代焼土の熱ルミネッセンス年代測定

奈良教育大学 長友恒人  
株式会社古環境研究所

#### A はじめに

遺跡の焼土に含まれる石英粒子を測定試料として熱ルミネッセンス (TL) 法により年代測定を試みた。(石英粗粒子法) 測定用の試料は S I 1 炉 (試料 2), S I 4 炉 (試料 3) および S O 3 (試料 1) から採取した。焼土の表面を肉眼で観察した状態では、黄土色に変色しており、加熱されているようではあった。しかし、変色した層厚は必ずしも厚くはなかった。熱ルミネッセンス法で焼土を試料として年代測定をする場合、土が十分に(約500°C以上) 加熱されていることが必要である。炉跡であっても高温まで加熱されていない可能性もあることを考慮して、焼土との比較のために、焼けていない土も採取した。

現場での試料採取は日中に行ったので、暗幕をかけた状態で焼土の表面 1 cm 以下を削り取ってその下の変色した部分の土を測定試料とした。表面を削り取ったのは太陽光にさらされて TL の減衰が起きている部分を測定試料としないためである。

#### B 試料処理

今回の測定は、土中に含まれる粒径 100 μm 程度の石英粒子を測定試料とする石英粗粒子法を適用した。100 μm 程度の石英粒子のみを選別するために、以下のような試料処理を行った。

まず、土を水簸して粘土鉱物を除去した後、標準ふるいで 75~250 μm の鉱物のみを選別した。次に、20% の塩酸で 1 時間処理をして炭酸塩鉱物と鉄分の一部を溶解した後、フランツ型マグネットックセパレーターですべての磁性鉱物を除去した。最後に、非磁性鉱物を 20% のフッ化水素酸で 40 分処理をして石英以外の鉱物を溶解した。

#### C 測定と解析

年代を決定するためには、土が加熱されてから現在までに石英粒子が吸収した放射線量(蓄積線量)と石英が 1 年間に吸収する放射線量(年間線量)を測定して、(蓄積線量) ÷ (年間線量) から TL 年代を算出する。TL 強度の放射線量依存性(TL 強度と放射線量の関係)は必ずしも比例的ではない。このことから、付加的な人为放射線量と比較して蓄積線量を決定する付加線量法では、等価線量とスプラリニア補正の測定をする必要がある。等価線量とスプラリニア補正の和が蓄積線量である。

#### a 測定

蓄積線量と等価線量の測定には、H a r s h a w - 2000A 型 TL リーダーを使用した。昇温速度 10°C / 秒、最高温度 460°C ないし 540°C の条件で測定した。検出波長は 350~570 nm である。

#### b 等価線量とスプラリニア補正值の測定

付加線量法では、人为的に放射線を照射していない試料(N: ナチュラルと称す)の他に、人为的に放射線を照射・吸収させた試料を用意する。今回はナチュラルにコバルト-60 ガンマ線を 5 G y, 10 G y, 15 G y 照射・吸収させた試料(以下、N + 5 G y などと称す)を測定して等価線量を決定した(S O 3 と焼けていない比較試料は付加線量を 50 G y, 100 G y, 150 G y, 200 G y とした)。スプラリニア補正值は 500°C で 5 分間アニールしたものに 15 G y, 30 G y, 45 G y の人为放射線量を吸収させた試料を測定した。

S O 3 の測定結果（グローカーブ）を第1図に示す。

グローカーブから等価線量を決定するためには、放射線量を横軸にとり、T L強度を縦軸に取った生長曲線を作成する（第2図：S O 3）。この図からS O 3 の等価線量は7.3G yであることがわかる。加熱が不十分な石英のT L強度は見かけ上大きくなる。

#### c 年間線量測定

年間線量は現地においてガンマ線量と宇宙線量を測定した。松下産業製のCaSO<sub>4</sub>:Tm熱ルミネッセンス線量計素子UD-110Sを5個ポリエチレンチューブに密封し、さらに厚さ1mm、長さ50cmの銅パイプに封入して現場の地層に打ち込んだ。ただし、測定試料を採取した地点での測定是不可能であったので、焼土と同じ層位である東側土壁IV層に銅パイプを打ち込んだ。31日後にこれを掘り出して測定し、年間線量に換算した。

ベータ線量の測定は焼土の一部を用いて以下のように測定した。焼土をタンガロイ製の乳鉢で粉碎し、直径50mm、高さ5mmのアルミニウムリングに詰めてプレス成型したものを2枚作製した。これをアルファ線を遮蔽するためのポリエチレンシートをはさんでHarshaw製のCaSO<sub>4</sub>:Dy粉末を薄く広げて、ガンマ線遮蔽用の厚さ20cmの鉛箱にいれた。これを24日間放置した後に取り出して測定し、年間線量に換算した。

#### D 結果と考察

##### a S O 3について

生長曲線の第2図から等価線量は7.3G yである。スプラリニア補正值は-2.1G yであった。スプラリニア補正值の誤差は約±9G yであり、実際には補正值は0G yであると見なしてよい。そうすると蓄積線量は7.3G yであり、年間線量は $3.00 \pm 0.21 \text{ mG y}$ であるから、T L年代は2,400年となる。前述したように加熱が不十分な焼土は見かけ上古い年代を示すが、この試料は加熱がかなり十分になされており、上記のT L年代は焼土のT L年代を示すと考えられる。誤差は10%程度が見込まれる。

##### b S I 1炉について

等価線量は27.4G yであった（第3図）。蓄積線量はこれにスプラリニア補正值を加算したものであるが、仮にこの等価線量を年間線量3.38mG y／年で割るとT L年代は8,100年となる。考古学的に予想される年代およびS O 3との比較からS I 1は焼けてはいるが、S O 3よりは加熱の程度が弱いと考えられる。

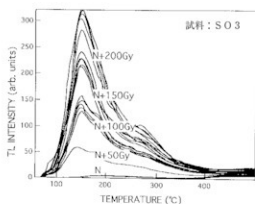
##### c S I 4炉について

グローカーブ（第4図）からもわかるように、ナチュラルと付加線量を与えた試料のT L強度は大きな差がない。生長曲線から等価線量を見積もると、75.8G yであった。この等価線量を年間線量3.47mG y／年で割ると21,800年となる。次項の焼けていない土の結果と比較すると、加熱はされているが、その程度は極めて弱く、一時的に加熱されたものと解釈できる。

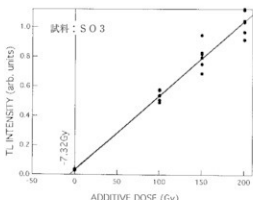
##### d 焼けていない土について

焼土の試料と比較するために焼けていない土を測定した。第5図に示すように等価線量は124.4G yであった。この地点の年間線量を直接測定していないが、年間線量をS I 1炉、S I 4炉、S O 3の平均値3.28mG y／年と仮定すると、約38,000年に相当する。焼けていない土がより古い地質年代を示さないのは、太陽光によるT Lの減衰によるものと考えられる。この結果から、38,000年に近い年代を示す土は焼けていないと判断してよいであろう。

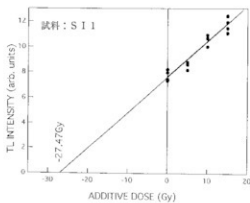
以上の結果から、測定した3つの試料はいずれも焼けているが、その加熱の程度に相違が認められる。S O 3 は十分に加熱されており、そのTL年代は焼土の年代を示していると考えてよいであろう。S I 1 炉とS I 4 炉はS O 3 ほどには加熱が十分ではないが、加熱されたことは焼けていない土の測定結果との比較から確認することができる。



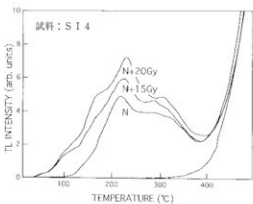
第1図 S O 3 のグローカーブ



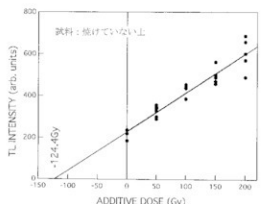
第2図 S O 3 の生長曲線と等価線量



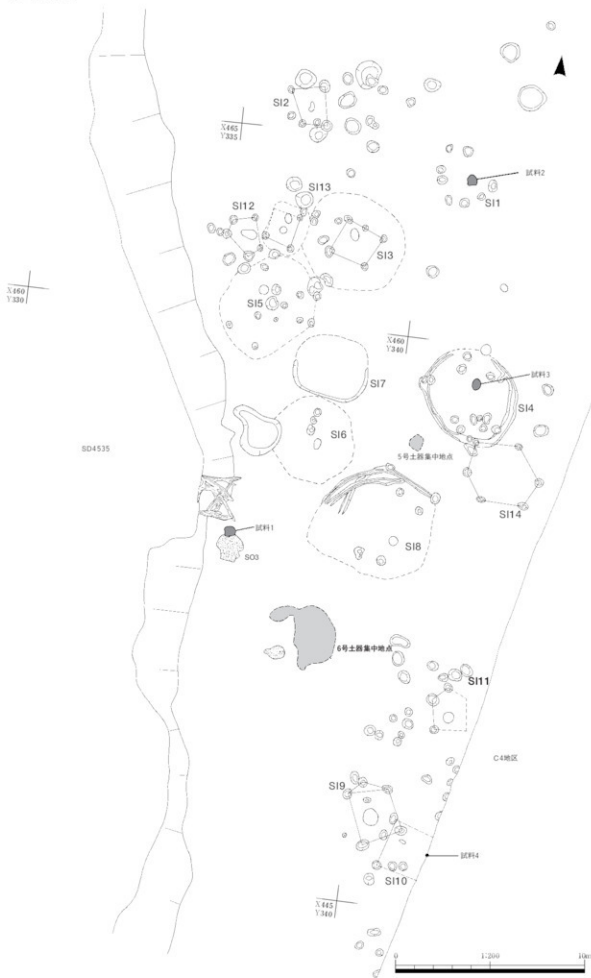
第3図 試料 S I 1 の生長曲線と等価線量



第4図 試料 S I 4 のグローカーブ



第5図 焼けていない土の生長曲線と等価線量



第6図 焼土の熱ルミネッセンス年代測定試料採取地点 (1/200)

## (2) 縄文土器の熱ルミネッセンス年代測定

奈良教育大学 長友恒人  
株式会社古環境研究所

## A はじめに

土器を測定試料として石英粗粒子法による熱ルミネッセンス (TL) 年代測定を行った。

TL 年代測定では試料中の鉱物が吸収したアルファ線、ベータ線、ガンマ線と宇宙線の放射線量を測定して年代に換算する。宇宙線以外の放射線は、土器の内部と周囲の土に含まれるウラン系列、トリウム系列の放射性元素とカリウム-40から放射される。

土器の胎土中でアルファ線は $10\text{ }\mu\text{m}$ 程度、ベータ線は $1\text{ mm}$ 程度しか透過しないので、周囲の土からのアルファ線とベータ線は胎土内部の鉱物には吸収されていない。また、土器は発掘後に太陽光に露光しているが、内部は遮光されているので、その TL は減衰しないが、表面付近の TL は減衰している。このように土器の内部と表面付近の放射線吸収の状況の違いと表面付近の TL 減衰を考慮し、土器の表面を $1\text{ mm}$ 程度削り落として TL が減衰していない部分のみを測定試料とする。このことによって、土中の放射性元素からのアルファ線とベータ線の影響も除去することができる。また、処理した石英をフッ素処理することにより表面層を $10\text{ }\mu\text{m}$ ほどエッチングすることによって、胎土中のアルファ線の影響も除去する。これが石英粗粒子法の特徴である。

## B 試料処理

土器片のひとつひとつは測定試料とするには小さすぎたので、同一遺構出土の土器片を一括して処理した。試料1「7号土器集中地点」(第1分冊65) 試料2「6号土器集中地点」(第1分冊49) 試料3「S I 4」のいずれの遺構についても同じ処理法を採用した。

測定試料となる $100\text{ }\mu\text{m}$ 程度の石英粒子を選択的に取り出すために、以下のような手順で試料処理を行った。

- 1) 表面部分ダイヤモンドバーで約 $1\text{ mm}$ 程度除去する。
- 2) アルミ板に挟み、万力で徐々に粉碎して、 $30\text{ メッシュ}$  ( $500\text{ }\mu\text{m}$ ) の篩にかける。
- 3) 乾式で $60\text{ メッシュ}$  ( $250\text{ }\mu\text{m}$ ) と $200\text{ メッシュ}$  ( $75\text{ }\mu\text{m}$ ) の標準篩により鉱物の粒度分けをする。
- 4)  $75\text{~}250\text{ }\mu\text{m}$  の鉱物を $20\%$ 塩素で60分間処理をする。
- 5) 洗浄後、 $50^\circ\text{C}$ の恒温槽で乾燥させる。
- 6) フランツ型マグネットィックセパレーターで非磁性鉱物と磁性鉱物を分離する。
- 7) 非磁性鉱物を $20\%$ フッ酸で60分間処理をする。

洗浄・乾燥後、秤量したところ、得られた石英試料の重量は、「7号土器集中地点」 $684\text{mg}$ 、「6号土器集中地点」 $186\text{mg}$ 、「S I 4」 $238\text{mg}$ であった。

「7号土器集中地点」は等価線量測定用とスプラリニアリティ補正用の試料を分けることができたが、「6号土器集中地点」と「S I 4」は試料の量が少ないので、等価線量を測定した試料を $350^\circ\text{C}$ 、30分間アニールしてスプラリニアリティ補正用の試料とした。

## C 測定

H a r s h a w - 2000 A型 TL リーダーにより測定した。ルミネッセンスの検出波長は光学フィルターを用いて $350\text{~}570\text{nm}$ とした。測定は窒素雰囲気で昇温速度 $10^\circ\text{C}/\text{秒}$ 、最高温度 $460\text{~}480^\circ\text{C}$ で行った。

**a 等価線量測定**

付加線量法によって等価線量を評価した。付加線量はC o -60線源で「7号土器集中地点」については5 G y, 10 G y, 15 G y, 20 G yとし、試料総量が少ない「6号土器集中地点」と「S I 4」は5 G y, 10 G y, 15 G yとした。

測定例として、「7号土器集中地点」のグローカーブ（第1図）と、直線フィッティングにより等価線量を評価するための生長曲線（第2図）を示す。

**b スプラリニアリティ補正**

「7号土器集中地点」は500°Cで5分間アニールした試料を用いて5 G y, 10 G y, 15 G yの放射線量を与えて補正值を決定した。「6号土器集中地点」と「S I 4」は等価線量を測定した試料を改めて500°Cで5分間アニールして、5 G y, 10 G y, 15 G yの放射線量を与えて測定した。

等価線量とスプラリニアリティ補正および蓄積線量（等価線量＋スプラリニアリティ補正）を第1表に示す。

試料	等価後量 (G y)	スプラリニアリティ補正 (G y)	蓄積線量 (G y)
7号土器集中地点	7.66	1	8.66
6号土器集中地点	5.34	1.81	7.15
S I 4	6.28	0.2	6.48

第1表 等価線量とスプラリニアリティ補正および蓄積線量の測定結果

**c 年間線量測定**

現場において土器包含層のガンマ線量測定を実施した。ガンマ線以外の放射線を遮蔽する厚さ1mmの銅パイプ中に、高感度のTLD（熱ルミネッセンス線量計）素子を封入したものを31日間埋め込んで1年間の線量に換算した。ただし、各遺構の土壤は除去されていたので、トレンチの東壁面の同一層で測定した。

ベータ線量は、土器の表面部分と粒度分けをした残りの不要な胎土を粉碎して2枚のコイン状にプレスして、その間に高感度のTLD素子粉末を挟み込み、自然放射線を遮蔽するために、厚さ15cmの鉛の箱に入れ、17日後に取り出して測定し年間線量に換算した。土器は乾燥していたが、実際に土中にはあったときには水分を含んでいたはずである。このことを考慮して土中の土器の含水率が50%であったと仮定してベータ線量を算出した。結果を第2表に示す。

試料	ベータ線年間線量 (m G y / y)	ガンマ+宇宙線年間線量 (m G y / y)	総年間線量 (m G y / y)
7号土器集中地点	1.77	1.58	3.33
6号土器集中地点	1.44	1.58	3.02
S I 4	1.63	1.58	3.21

第2表 年間線量の測定結果

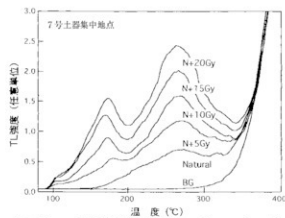
**D 結果**

T L年代は蓄積線量を年間線量で割ることによって得られる。結果を第3表に示す。なお、誤差については既に述べた土器埋没中の水分含有量を推定しているので正確にはいえないが20%程度を見込

む必要があるであろう。また、今回の測定では、各遺構毎に土器を一個ずつ処理・測定するのではなく、まとめて行ったので、その平均値が測定されたと解釈される。

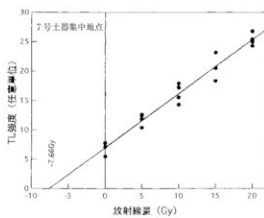
試料	蓄積線量 (Gy)	年間線量 (mGy/y)	TL年代 (年前)
7号土器集中地点	8.66	3.33	2,600
6号土器集中地点	7.15	3.02	2,400
SIA	6.48	3.21	2,000

第3表 TL年代



第1図 7号土器集中地点のTLグローカーブ

各線量毎に3または4本のグローカーブの平均値を示した。



第2図 7号土器集中地点の等価線量を評価するための生長曲線

各線量に示した点は測定数であり、ばらつきの程度がわかる。



第3図 土器の熱ルミネッセンス年代測定試料採取地点 (1/600)

## (3) 縄文時代自然遺物の放射性炭素年代測定

株式会社古環境研究所

## A 試料と方法

No.	試 料	試料の種類	前処理・調製	測定法
1	C 4 地区 S D4535 東側埋没樹根	木 材	酸／アルカリ／酸洗浄 石墨調製	AMS 法 (加速器質量分析法)
2	C 3 地区 S D4535 東側埋没樹根	木 材	酸／アルカリ／酸洗浄 ベンゼン処理	$\beta$ -線計数法 (液体シンチレーション法)
3	C 3 地区 S D4535 西側埋没樹根	木 材	酸／アルカリ／酸洗浄 ベンゼン処理	$\beta$ -線計数法 (液体シンチレーション法)
4	C 4 地区 S O 3	炭化物	酸／アルカリ／酸洗浄 石墨調製	AMS 法 (加速器質量分析法)
5	C 4 地区 S O 4	炭化物	酸／アルカリ／酸洗浄 石墨調製	AMS 法 (加速器質量分析法)
6	D 3 地区 S D4906 東側埋没樹根	木 材	酸／アルカリ／酸洗浄 ベンゼン処理	$\beta$ -線計数法 (液体シンチレーション法)

第1表 試料と方法

## B 測定結果

試料名	$^{14}\text{C}$ 年代 (年 B P)	$\delta^{13}\text{C}$ (‰)	補正 $^{14}\text{C}$ 年代 (年 B P)	暦年代	測定 No. Beta-
No. 1	2430±50	-27.7	2390±50	2 $\sigma$ BC 595-387 (79.5%) BC 751-686 (14.9%) BC 667-637 (4.9%) BC 622-614 (0.7%) 1 $\sigma$ BC 538-397 (97.8%) BC 701-696 (2.2%)	125080
No. 2	2340±60	-28.7	2280±60	2 $\sigma$ BC 418-176 (97.0%) BC 490-460 (1.8%) BC 452-440 (0.7%) BC 505-493 (0.6%) 1 $\sigma$ BC 295-229 (49.8%) BC 401-352 (44.3%) BC 220-211 (5.9%)	124286
No. 3	2370±60	-28.5	2310±60	2 $\sigma$ BC 539-201 (99.3%) BC 706-695 (0.7%) 1 $\sigma$ BC 414-351 (54.9%) BC 298-227 (37.7%) BC 223-210 (4.3%) BC 479-470 (3.2%)	124287
No. 4	2670±60	-27.9	2620±60	2 $\sigma$ BC 913-73 (78.9%) BC 650-545 (14.5%) BC 691-661 (6.6%) 1 $\sigma$ BC 847-758 (86.4%) BC 893-875 (7.1%) BC 683-670 (6.5%)	124288
No. 5	2650±50	-26.6	2620±50	2 $\sigma$ BC 903-748 (88.0%) BC 643-590 (5.6%) BC 687-666 (5.0%) BC 579-561 (1.4%) 1 $\sigma$ BC 836-767 (100.0%)	124289
No. 6	2490±60	-27.4	2450±60	2 $\sigma$ BC 673-405 (75.9%) BC 763-680 (24.1%) 1 $\sigma$ BC 556-413 (59.8%) BC 748-688 (26.7%) BC 665-644 (9.5%) BC 589-580 (3.9%)	126134

第2表 測定結果

(2  $\sigma$  : 95.4% probability, 1  $\sigma$  : 68.3% probability)

a  $^{14}\text{C}$  年代測定値

試料の $^{14}\text{C} / ^{12}\text{C}$  比から、単純に現在（A D 1950年）から何年前（B P）かを計算した値。 $^{14}\text{C}$  の半減期は5,568年を用いた。

b  $\delta^{13}\text{C}$  測定値

試料の測定 $^{14}\text{C} / ^{12}\text{C}$  比を補正するための炭素安定同位体比 ( $^{13}\text{C} / ^{12}\text{C}$ )。この値は標準物質 (PDB) の同位体比からの千分偏差 (‰) で表す。

c 補正 $^{14}\text{C}$  年代値

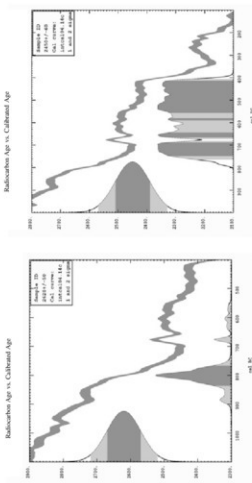
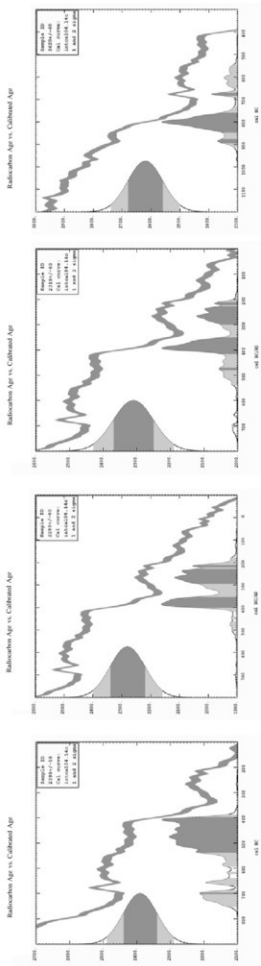
$\delta^{13}\text{C}$  測定値から試料の炭素の同位体分別を知り、 $^{14}\text{C} / ^{12}\text{C}$  の測定値に補正值を加えた上で算出した年代。

d 历年代

過去の宇宙線強度の変動による大気中 $^{14}\text{C}$  濃度の変動を補正することにより、歴年代（西暦）を算出した。補正には年代既知の樹木年輪の $^{14}\text{C}$  の詳細な測定値を使用した。この補正是10,000年B Pより古い試料には適用できない。

e 測定No

測定は、Beta Analytic Inc. (Florida,U.S.A) において行われた。Beta-は同社の測定Noを意味する。





第1図 縄文時代自然遺物の放射性炭素年代測定試料採取地点 (1/1000)

## (4) 炭化米の放射性炭素年代測定

株式会社古環境研究所

## A 試料と方法

試料名	地点・層準	種類	前処理・調整	測定法
No 1	S I 8 A区	炭化米	酸-アルカリ-酸洗浄	AMS
No 2	S I 8 B区	炭化米	酸-アルカリ-酸洗浄	AMS
No 3	S I 9 A区	炭化米	酸-アルカリ-酸洗浄	AMS
No 4	S I 9 B区	炭化米	酸-アルカリ-酸洗浄	AMS
No 5	S I 10 (新) A区	炭化米	酸-アルカリ-酸洗浄	AMS
No 6	S I 10 (新) B区	炭化米	酸-アルカリ-酸洗浄	AMS
No 7	S I 11 B区	炭化米	酸-アルカリ-酸洗浄	AMS
No 8	S I 11 D区	炭化米	酸-アルカリ-酸洗浄	AMS

※1) AMSは加速器質量分析法: Accelerator Mass Spectrometry

## 第1表 試料と方法

## B 測定結果

試料名	測定No. (Beta-)	$^{14}\text{C}$ 年代 (年BP)	$\delta^{13}\text{C}$ (‰)	補正 $^{14}\text{C}$ 年代 (年BP)	曆年代(西暦)	
					2 $\sigma$ AD 53-236 (99.9%)	AD 34-35 (0.1%)
No. 1	185250	1890±40	-25.6	1880±40	2 $\sigma$ AD 53-236 (99.9%)	AD 34-35 (0.1%)
					1 $\sigma$ AD 73-141 (72.4%)	AD 149-170 (14.9%)
						AD 194-210 (12.7%)
No. 2	185251	1830±40	-25.8	1820±40	2 $\sigma$ AD 85-259 (93.2%)	AD 291-322 (6.3%)
						AD 284-289 (0.5%)
					1 $\sigma$ AD 136-235 (100.0%)	
No. 3	185252	1910±40	-24.8	1910±40	2 $\sigma$ AD 16-216 (98.8%)	AD 5-13 (1.2%)
					1 $\sigma$ AD 52-131 (96.6%)	AD 31-36 (3.4%)
No. 4	185253	1770±40	-23.8	1790±40	2 $\sigma$ AD 127-345 (100.0%)	
					1 $\sigma$ AD 208-258 (47.1%)	AD 165-196 (21.8%)
						AD 297-320 (17.2%)
No. 5	185254	1960±40	-25.7	1950±40	2 $\sigma$ B C40-AD 128 (100.0%)	
					1 $\sigma$ AD 3-85 (96.4%)	AD 110-115 (3.6%)
No. 6	185255	1920±40	-26.5	1900±40	2 $\sigma$ AD 23-223 (100.0%)	
					1 $\sigma$ AD 53-137 (95.7%)	AD 199-206 (3.4%)
						AD 33-36 (1.0%)
No. 7	185256	1830±40	-25.7	1820±40	2 $\sigma$ AD 85-259 (93.2%)	AD 291-322 (6.3%)
						AD 284-289 (0.5%)
					1 $\sigma$ AD 136-235 (100.0%)	
No. 8	185257	1860±40	-25.7	1850±40	2 $\sigma$ AD 71-249 (100.0%)	
						1 $\sigma$ AD 125-226 (98.5%)
						AD 94-96 (1.5%)

## 第2表 測定結果

a  $^{14}\text{C}$ 年代測定値

試料の $^{14}\text{C} / ^{12}\text{C}$ 比から、単純に現在(AD 1950年)から何年前かを計算した値。 $^{14}\text{C}$ の半減期は、国際的慣例により Libby の 5,568 年を用いた。

b  $\delta^{13}\text{C}$ 測定値

試料の測定 $^{14}\text{C} / ^{12}\text{C}$ 比を補正するための炭素安定同位体比( $^{13}\text{C} / ^{12}\text{C}$ )。この値は標準物質(PDB)の同位体比からの千分偏差(‰)で表す。

c 補正 $^{14}\text{C}$ 年代値

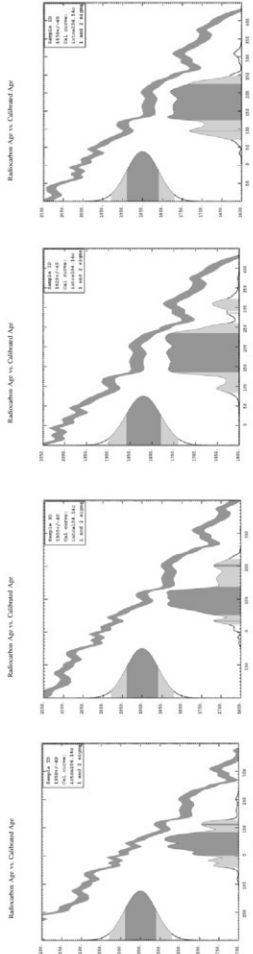
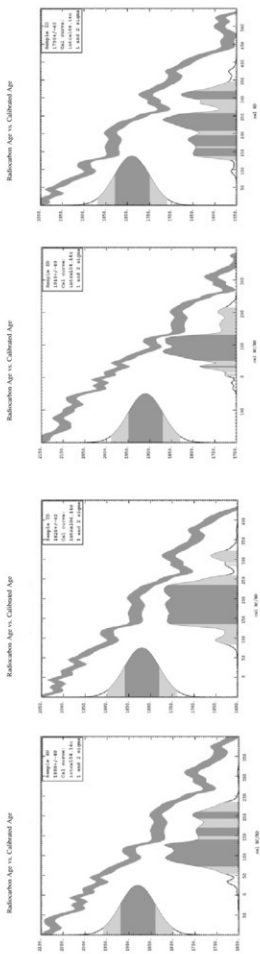
$\delta^{13}\text{C}$ 測定値から試料の炭素の同位体分別を知り、 $^{14}\text{C} / ^{12}\text{C}$ の測定値に補正值を加えた上で算出した

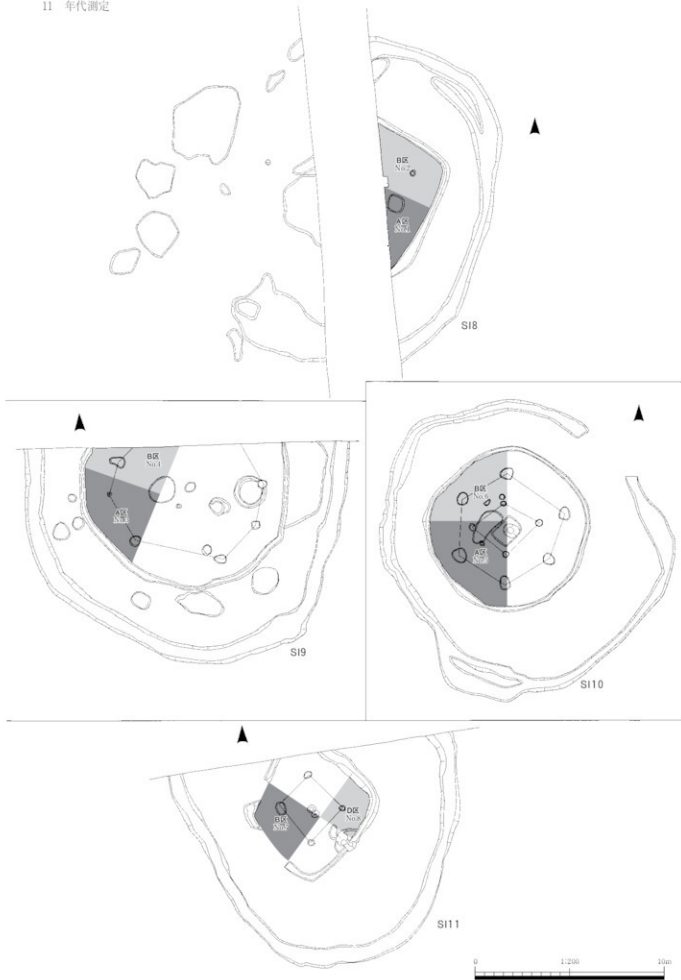
年代。

#### d 历年代

過去の宇宙線強度の変動による大気中<sup>14</sup>C濃度の変動を較正することにより算出した年代（西暦）。calはcalibrationした年代値であることを示す。較正には、年代既知の樹木年輪の<sup>14</sup>Cの詳細な測定値、およびサンゴのU-T H-T h年代と<sup>14</sup>C年代の比較により作成された較正曲線を使用した。最新のデータベースでは約19,000年B Pまでの換算が可能となっている。ただし、10,000年B P以前のデータはまだ不完全であり、今後も改善される可能性がある。

歴年代の交点とは、補正<sup>14</sup>C年代値と歴年代較正曲線との交点の歴年代値を意味する。 $1\ \sigma$  (68%確率)と $2\ \sigma$  (95%確率)は、補正<sup>14</sup>C年代値の偏差の幅を較正曲線に投影した歴年代の幅を示す。したがって複数の交点が表記される場合や、複数の $1\ \sigma$ ・ $2\ \sigma$ 値が表記される場合もある。





第9図 放射性炭素年代測定用炭化米試料採取地点 (1/200)

## (5) 出土遺物の放射性炭素年代測定

株式会社加速器分析研究所

## A 年代測定

- 年代値の算出には、Libbyの半減期5568年を使用しています。
- B P 年代値は、1950年からさかのぼること何年前かを表しています。
- 付記した誤差は、標準偏差 ( $1\sigma$ ) に相当する年代で、次のように算出しています。

複数回（通常は4回）の測定値について $\chi^2$ 検定を行い、測定値のばらつきが小さい場合には測定値の統計誤差から求めた値を用い、ばらつきが大きい場合には不偏分散の平方根（標準偏差）と統計誤差から求めた値を比較して大きい方を誤差としています。

- $\delta^{13}\text{C}$ の値は、通常は質量分析計を用いて測定しますが、AMS測定の場合に同時に測定される $\delta^{13}\text{C}$ の値を用いることもあります。

$\delta^{13}\text{C}$ 補正をしない場合の同位体比および年代値も参考に掲載しておきます。

同位体比は、いずれも基準値からのずれを千分偏差 (‰ ; パーミル) で表したものです。

$$\delta^{13}\text{C} = [({}^{14}\text{AS} - {}^{14}\text{AR}) / {}^{14}\text{AR}] \times 1000 \quad (1)$$

$$\delta^{13}\text{C} = [({}^{13}\text{AS} - {}^{13}\text{APDB}) / {}^{13}\text{APDB}] \times 1000 \quad (2)$$

ここで、 ${}^{14}\text{AS}$  : 試料炭素の ${}^{14}\text{C}$ 濃度 :  $({}^{14}\text{C} / {}^{12}\text{C})_{\text{S}}$  または  $({}^{14}\text{C} / {}^{12}\text{C})_{\text{R}}$

${}^{14}\text{AR}$  : 標準現代炭素の ${}^{14}\text{C}$ 濃度 :  $({}^{14}\text{C} / {}^{12}\text{C})_{\text{R}}$  または  $({}^{14}\text{C} / {}^{12}\text{C})_{\text{R}}$

$\delta^{13}\text{C}$ は、質量分析計を用いて試料炭素の ${}^{13}\text{C}$ 濃度 ( ${}^{13}\text{AS} = {}^{13}\text{C} / {}^{12}\text{C}$ ) を測定し、P D B (白亜紀のペレムナイト(矢石)類の化石) の値を基準として、それからのずれを計算します。

但し、IAAでは加速器により測定中に同時に ${}^{13}\text{C} / {}^{12}\text{C}$ も測定していますので、標準試料の測定値との比較から算出した $\delta^{13}\text{C}$ を用いることもあります。この場合には表中に（加速器）と注記します。

また、 $\Delta^{14}\text{C}$ は、試料炭素が $\delta^{13}\text{C} = -25.0$  (‰) であるとしたときの ${}^{14}\text{C}$ 濃度 ( ${}^{14}\text{AN}$ ) に換算した上で計算した値です。（1）式の ${}^{14}\text{C}$ 濃度を、 $\delta^{13}\text{C}$ の測定値をもとに次式のように換算します。

$${}^{14}\text{AN} = {}^{14}\text{AS} \times (0.975 / (1 + \delta^{13}\text{C} / 1000)) \cdots {}^{14}\text{AS} \text{として } {}^{14}\text{C} / {}^{12}\text{C} \text{ を使用するとき}$$

または

$$= {}^{14}\text{AS} \times (0.975 / (1 + \delta^{13}\text{C} / 1000)) \cdots {}^{14}\text{AS} \text{として } {}^{14}\text{C} / {}^{13}\text{C} \text{ を使用するとき}$$

$$\Delta^{14}\text{C} = [({}^{14}\text{AN} - {}^{14}\text{AR}) / {}^{14}\text{AR}] \times 1000 \text{ (‰)}$$

貝殻などの海洋が炭素起源となっている試料については、海洋中の放射性炭素濃度が大気の炭酸ガス中の濃度と異なるため、同位体補正のみを行なった年代値は実際の年代との差が大きくなります。多くの場合、同位体補正をしない $\delta^{13}\text{C}$ に相当するB P 年代値が比較的よくその貝と同一時代のものと考えられる木片や木炭などの年代値と一致します。

${}^{14}\text{C}$ 濃度の現代炭素に対する割合のもう一つの表記として、p M C (percent Modern Carbon) がよく使われており、 $\Delta^{14}\text{C}$ との関係は次のようになります。

$$\Delta^{14}\text{C} = (\text{p M C} / 100 - 1) \times 1000 \text{ (‰)}$$

$$\text{p M C} = \Delta^{14}\text{C} / 10 + 100 \text{ (%)}$$

国際的な取り決めにより、この $\Delta^{14}\text{C}$ あるいはp M Cにより、放射性炭素年代 (Conventional Radiocarbon Age ; y r B P) が次のように計算されます。

$$T = -8033 \times \ln [(\Delta^{13}\text{C} / 1000) + 1]$$

$$= -8033 \times \ln (\text{pMC} / 100)$$

## B 化学処理工程について

試料から炭素物質を物理的・化学的に選別、抽出して、加速器質量分析計のイオン源に用いる炭素粉末（グラファイト）を調製する工程を以下に示す。

### a 木製品と炭化物

#### ① Pick up

カッターとメスを使って、表面に付着している汚れを除去し、内部より必要量を切り出す。

#### ② AAA処理（酸-アルカリ-酸処理）

地下水によって別の層から運ばれて、試料内部に染み込んだ汚染物質を化学的に除去することを目的に行う。

全ての操作は10mlガラス製遠沈管中で行い、遠心分離によって上澄みを分離して、ポリスピンドルで溶液を除く。

・酸処理・・・主として地下水によって別の層から運ばれ析出した炭酸塩を除去する。

1 N 塩酸を加え80°Cで数時間加熱した後、超純水で洗浄する。

・アルカリ処理・・・フミン酸等を除去する。

0.001N～1 N 水酸化ナトリウム水溶液により、段階的に濃度を上げながら80°Cで数時間加熱する。

溶液が着色しなくなつてから濃度を上げるのが原則だが、試料の腐植が進んでいる場合は多量に溶解してしまう恐れがあるので、状態に応じてアルカリの濃度、加熱温度、時間を調節する。

アルカリ処理後、超純水で溶液が中性になるまで繰り返し洗浄する。

・酸処理・・・アルカリ処理中に生成した炭酸塩を除去する。

1 N 塩酸で数時間加熱した後、超純水で溶液が中性になるまで繰り返し洗浄する。

・乾燥

試料は、遠沈管中で80°Cに加熱して乾燥させる。

#### ③ 酸化

試料中の炭素を酸化させ二酸化炭素にする。



・炭素量として1～2 mgを含む試料を、石英アンプル管（φ 6 mm、長さ40mm）に入れ、1 gの酸化銅とともに石英管（φ 9 mm、長さ300mm）に入れる。

・真空ラインにて管内を真空にして封じ切り、500°C (30分)、850°C (2時間)で加熱する。

#### ④ 精製

酸化して生成した二酸化炭素と水などの混合ガスから、二酸化炭素ガスを単離するために行う。

液体窒素とエタノール・ドライアイスの温度差を利用して、真空ラインにて CO<sub>2</sub>を精製する。

#### ⑤ 還元

二酸化炭素を還元し、炭素粉末（グラファイト）にする。



・真空ラインにて鉄粉（触媒として使用）の入った還元用反応管に、精製したCO<sub>2</sub>と水素を投入する。

・鉄粉のある還元用反応管底部のみを650℃で10時間加熱する。

#### ⑥ カソード詰め

得られたグラファイトを内径1mmの容器（カソード）にハンドプレス機で詰め、それを加速器に装着して測定準備が完了する。

### b 土器付着炭化物

#### ① Pick up

カッターとメスを使って土器表面から炭化物を削り取る。この際、できる限り土器本体の土が入らないように注意する。

#### ② バインダー除去

土器補強のために使用したバインダーや、土器片の接合に用いた接着剤をできる限り除去するために行った。

全ての操作は10mlガラス製遠沈管中で行った。

・アセトンで超音波洗浄を行う。（10分間×2回）【主として接着剤の除去】

・乾燥した後、超純水を入れて80℃で3日間加熱する。この間、一日3回超純水を交換する。【主としてバインダー17の除去】

#### ③ AAA処理（酸-アルカリ-酸処理）

バインダー除去を行った試料を10mlガラス製遠沈管に入れ、処理を行う。

操作は木製品・炭化物のAAA処理に同じ。ただし、土器付着炭化物は粉末や粒状で、アルカリに溶解しやすい状態である場合が多いので、その状態に応じてアルカリの濃度は0.001N～0.01Nに調整して行った。

以降木製品・炭化物の工程④～⑥に同じ。

### C 9SDH-2ベレトロン加速器質量分析装置について

#### IAA-AMS

加速器システムは米国NEC社製のタンデム加速器をベースにした<sup>14</sup>C-AMS専用装置である。

イオン源MC-SNICSは、セシウムスパッタ型負イオンであり、134試料装填可能な大型の装置である。

AMS装置を特徴づける安定同位元素イオンの測定方法としては逐次入射方式を採用し、<sup>12</sup>C、<sup>13</sup>C及び<sup>14</sup>Cの負イオンを逐次選び、加速器に繰り返し入射して加速する。

加速器本体は、3MeVベレトロンであり、荷電変換システムを採用している。測定時の加速電圧は2.6MeVに設定する。

<sup>12</sup>C、<sup>13</sup>C及び<sup>14</sup>Cイオンの検出にはそれぞれ専用の検出器が設けられ、<sup>12</sup>C、<sup>13</sup>Cは電流値で、<sup>14</sup>Cは個数として検出される。これらから同位体比（<sup>14</sup>C/<sup>12</sup>C）が算出され、統計処理のち年代値を算出する。

### D 历年補正のグラフについて

IAAではOxCal（Oxford University）によりプログラムされたソフトを使用して歴年代較正を行なっており、算出方法は確立分布法を用いている。

\*歴年代較正のコンピューターソフトとして現在利用できるものには、C A L I B 4 (University of Washington), O x C a l (Oxford University) 等がある。これらのプログラムはウェブページからダウンロード可能であり、歴年代較正プログラムはいずれも、I N T C A L 98 (Stuiver et al, 1998) に報告されている<sup>14</sup>C年代-歴年代較正データを用いている。

《歴年代較正はどのように行なわれデータが算出されるのか。》

まず、歴年較正には一般的に交点法と確立法がある。

交点法とは、<sup>14</sup>C年代値とその誤差範囲を起点として横軸に平行に線を引き、歴年代較正曲線との交点を垂直におろして較正歴年代とその誤差を求める方法である。

《確立法とは》

まず、<sup>14</sup>C年代値がガウス関数の確立分布で得られると仮定する。次に土  $3\sigma$  の範囲を、例えば100-200分割、それぞれの点の<sup>14</sup>C年代値の確からしさをガウス関数で算出すると共に、交点法により対応する歴年代を決定する。求まった歴年代の確からしさは、対応する<sup>14</sup>C年代値の確からしさと同じとする。こうして土  $3\sigma$  の範囲を100-200分割した全ての点について歴年代と確からしさを算出し、確からしさの総和を1.0に規格化し、歴年代の軸について  $1\sigma$  の範囲を求める。可能性のある範囲が複数ある場合には、それぞれの確からしさを算出する。このような方法が確立法である。

C A L I B 4 (University of Washington) 等は、交点法及び確立法どちらの算出も可能なソフトになっているようであるが、I A A で使用しているO x C a l (Oxford University) は確立法のみの算出である。



土器付着炭化物のPick Up



本製品のPick Up

IAAA-40018	試験 料	BP年代および炭素の同位体比	試料採取場所：下老子塙川遺跡 C1 地区 S25 SH100 試料形態：木片（柱脚） 試料名(番号)：1	Libby Age (yrBP) $\delta^{13}\text{C}(\text{‰})$ $\Delta^{13}\text{C}(\text{‰})$ pMC(%) $\delta^{15}\text{N}(\text{‰})$ pMC(%) $\delta^{18}\text{O}(\text{‰})$ pMC(%)	1,060 ± 40 -26.47 ± 0.81 -20.2 ± 4.1 -79.88 ± 0.41 -25.5 ± 3.9 -79.54 ± 0.39 1,059 ± 40	Libby Age (yrBP) $\delta^{13}\text{C}(\text{‰})$ $\Delta^{13}\text{C}(\text{‰})$ pMC(%) $\delta^{15}\text{N}(\text{‰})$ pMC(%) $\delta^{18}\text{O}(\text{‰})$ pMC(%)	1,070 ± 40 -26.50 ± 0.61 -20.7 ± 4.0 -79.26 ± 0.40 -20.5 ± 3.8 -78.95 ± 0.38 -1.00 ± 42
IAAA-40019	試験 料	BP年代および炭素の同位体比	試料採取場所：下老子塙川遺跡 C1 地区 S21 SH128 試料形態：木片（柱脚） 試料名(番号)：2	Libby Age (yrBP) $\delta^{13}\text{C}(\text{‰})$ $\Delta^{13}\text{C}(\text{‰})$ pMC(%) $\delta^{15}\text{N}(\text{‰})$ $\delta^{18}\text{O}(\text{‰})$ pMC(%)	-1,730 ± 40 -24.0 ± 0.62 -19.0 ± 4.0 -80.60 ± 4.0 -19.9 ± 3.9 -80.71 ± 0.59 -1,720 ± 40	Libby Age (yrBP) $\delta^{13}\text{C}(\text{‰})$ $\Delta^{13}\text{C}(\text{‰})$ pMC(%) $\delta^{15}\text{N}(\text{‰})$ $\delta^{18}\text{O}(\text{‰})$ pMC(%)	-1,730 ± 40 -24.0 ± 0.60 -20.7 ± 4.0 -80.53 ± 4.0 -19.9 ± 3.9 -80.78 ± 0.59 -1,550 ± 40
IAAA-40020	試験 料	BP年代および炭素の同位体比	試料採取場所：下老子塙川遺跡 C1 地区 S27 SH145 試料形態：木片（柱脚） 試料名(番号)：3	Libby Age (yrBP) $\delta^{13}\text{C}(\text{‰})$ $\Delta^{13}\text{C}(\text{‰})$ pMC(%) $\delta^{15}\text{N}(\text{‰})$ $\delta^{18}\text{O}(\text{‰})$ pMC(%)	-1,850 ± 40 -25.0 ± 0.92 -20.4 ± 4.3 -79.86 ± 0.43 -20.8 ± 4.9 -79.92 ± 0.49 -1,860 ± 40	Libby Age (yrBP) $\delta^{13}\text{C}(\text{‰})$ $\Delta^{13}\text{C}(\text{‰})$ pMC(%) $\delta^{15}\text{N}(\text{‰})$ $\delta^{18}\text{O}(\text{‰})$ pMC(%)	-1,850 ± 40 -25.0 ± 0.67 -21.1 ± 4.0 -78.86 ± 0.41 -21.0 ± 3.9 -78.69 ± 0.38 -1,530 ± 40
IAAA-40021	試験 料	BP年代および炭素の同位体比	試料採取場所：下老子塙川遺跡 C1 地区 S213 SH129 試料形態：木片（梁脚） 試料名(番号)：4	Libby Age (yrBP) $\delta^{13}\text{C}(\text{‰})$ $\Delta^{13}\text{C}(\text{‰})$ pMC(%) $\delta^{15}\text{N}(\text{‰})$ $\delta^{18}\text{O}(\text{‰})$ pMC(%)	-1,840 ± 40 -26.5 ± 0.79 -20.5 ± 4.1 -79.55 ± 0.41 -20.5 ± 3.9 -79.25 ± 0.29 -1,870 ± 40	Libby Age (yrBP) $\delta^{13}\text{C}(\text{‰})$ $\Delta^{13}\text{C}(\text{‰})$ pMC(%) $\delta^{15}\text{N}(\text{‰})$ $\delta^{18}\text{O}(\text{‰})$ pMC(%)	-1,840 ± 40 -26.6 ± 0.65 -20.6 ± 4.1 -79.54 ± 0.41 -20.5 ± 3.9 -79.45 ± 0.39 -1,560 ± 40
IAAA-40022	試験 料	BP年代および炭素の同位体比	試料採取場所：下老子塙川遺跡 B6 地区 S12 試料形態：木片（梁脚） 試料名(番号)：5	Libby Age (yrBP) $\delta^{13}\text{C}(\text{‰})$ $\Delta^{13}\text{C}(\text{‰})$ pMC(%) $\delta^{15}\text{N}(\text{‰})$ $\delta^{18}\text{O}(\text{‰})$ pMC(%)	-1,720 ± 40 -28.48 ± 0.63 -19.0 ± 4.3 -80.70 ± 0.43 -19.8 ± 3.2 -80.12 ± 0.42 -1,730 ± 40	Libby Age (yrBP) $\delta^{13}\text{C}(\text{‰})$ $\Delta^{13}\text{C}(\text{‰})$ pMC(%) $\delta^{15}\text{N}(\text{‰})$ $\delta^{18}\text{O}(\text{‰})$ pMC(%)	-1,720 ± 40 -28.50 ± 0.79 -20.1 ± 4.1 -79.19 ± 0.41 -19.7 ± 3.9 -79.26 ± 0.39 -1,570 ± 40
IAAA-40023	試験 料	BP年代および炭素の同位体比	試料採取場所：下老子塙川遺跡 A8 地区 S14 試料形態：梁脚（梁脚） 試料名(番号)：6	Libby Age (yrBP) $\delta^{13}\text{C}(\text{‰})$ $\Delta^{13}\text{C}(\text{‰})$ pMC(%) $\delta^{15}\text{N}(\text{‰})$ $\delta^{18}\text{O}(\text{‰})$ pMC(%)	-1,720 ± 40 -28.48 ± 0.63 -19.0 ± 4.3 -80.70 ± 0.43 -19.8 ± 3.2 -80.12 ± 0.42 -1,730 ± 40	Libby Age (yrBP) $\delta^{13}\text{C}(\text{‰})$ $\Delta^{13}\text{C}(\text{‰})$ pMC(%) $\delta^{15}\text{N}(\text{‰})$ $\delta^{18}\text{O}(\text{‰})$ pMC(%)	-1,720 ± 40 -28.50 ± 0.79 -20.1 ± 4.1 -79.19 ± 0.41 -19.7 ± 3.9 -79.26 ± 0.39 -1,570 ± 40

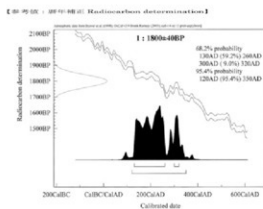
IAAA-40029	試料採取場所：下老子面川遺跡 B 6 地区 S23	Libby Age (yrBP) : 1,910 ± 40 $\delta^{13}\text{C}(\text{‰})$ : -25.20 ± 0.74 $\Delta^{14}\text{C}(\text{‰})$ : -21.13 ± 4.2 pMC(%) : 78.67 ± 0.42 $\delta^{18}\text{O}(\text{‰})$ : -21.17 ± 4.0 pMC(%) : 78.83 ± 0.45	試料形態：灰化物（碳化木炭） 試料名番号：16 a+イノダ-16 （参考） $\delta^{13}\text{C}$ の補正なし	C 4 地区 7 号土器集中地點 X6877CS δ <sup>13</sup> C(B6)、(加速度器) $\Delta^{14}\text{C}(\text{‰})$ $\delta^{18}\text{O}(\text{‰})$ pMC(%) （参考） $\delta^{13}\text{C}$ の補正なし	Libby Age (yrBP) : 2,650 ± 40 -23.84 ± 0.75 -278.4 ± 3.3 pMC(%) $\delta^{18}\text{O}(\text{‰})$ pMC(%) -276.5 ± 3.1 -72.37 ± 0.31
#571-12	試料採取場所：下老子面川遺跡 B 6 地区 S23	Libby Age (yrBP) : 1,990 ± 40 $\delta^{13}\text{C}(\text{‰})$ : 25.94 ± 0.66 $\Delta^{14}\text{C}(\text{‰})$ : 20.93 ± 3.9 pMC(%) : 79.01 ± 0.36	試料形態：灰化物（碳化木炭） 試料名番号：17 a+イノダ-17 （参考） $\delta^{13}\text{C}$ の補正なし	試料採取場所：下老子面川遺跡 C 4 地区 7 号土器集中地點 X6877CS δ <sup>13</sup> C(B6)、(加速度器) $\Delta^{14}\text{C}(\text{‰})$ pMC(%) （参考） $\delta^{13}\text{C}$ の補正なし	Libby Age (yrBP) : 2,760 ± 40 -25.89 ± 0.76 -290.4 ± 3.6 pMC(%) $\delta^{18}\text{O}(\text{‰})$ pMC(%) -291.4 ± 3.4 -70.96 ± 0.36
#571-13	試料採取場所：下老子面川遺跡 B 7 地区 S22	Libby Age (yrBP) : 1,990 ± 40 $\delta^{13}\text{C}(\text{‰})$ : -21.14 ± 2.8 pMC(%) : 78.86 ± 0.38 Age (yrBP) : 1,101 ± 40	試料形態：灰化物（碳化木炭） 試料名番号：18 a+イノダ-18 （参考） $\delta^{13}\text{C}$ の補正なし	試料採取場所：下老子面川遺跡 C 4 地区 7 号土器集中地點 X6877CS δ <sup>13</sup> C(B6)、(加速度器) $\Delta^{14}\text{C}(\text{‰})$ pMC(%) （参考） $\delta^{13}\text{C}$ の補正なし	Libby Age (yrBP) : 2,650 ± 40 -25.74 ± 0.59 -279.4 ± 3.7 pMC(%) $\delta^{18}\text{O}(\text{‰})$ pMC(%) -280.4 ± 3.4 -71.97 ± 0.34
#571-14	試料採取場所：下老子面川遺跡 B 7 地区 S19	Libby Age (yrBP) : 1,990 ± 40 $\delta^{13}\text{C}(\text{‰})$ : -20.93 ± 2.9 pMC(%) : 79.67 ± 0.36 $\delta^{18}\text{O}(\text{‰})$ : -21.05 ± 3.6 pMC(%) : 73.00 ± 0.38	試料形態：灰化物（碳化木炭） 試料名番号：19 a+イノダ-19 （参考） $\delta^{13}\text{C}$ の補正なし	試料採取場所：下老子面川遺跡 D 3 地区 ■壁 X687344 試料形態：灰化物（碳化木炭） 試料名番号：19 a+イノダ-19 （参考） $\delta^{13}\text{C}$ の補正なし	Libby Age (yrBP) : 2,650 ± 40 -25.74 ± 0.59 -279.4 ± 3.7 pMC(%) $\delta^{18}\text{O}(\text{‰})$ pMC(%) -275.4 ± 3.6 -71.97 ± 0.34
#571-15	試料採取場所：下老子面川遺跡 C 1 地区 S19	Libby Age (yrBP) : 1,950 ± 40 $\delta^{13}\text{C}(\text{‰})$ : -26.83 ± 0.66 $\Delta^{14}\text{C}(\text{‰})$ : -21.22 ± 3.8 pMC(%) : 78.72 ± 0.43 $\delta^{18}\text{O}(\text{‰})$ : -21.53 ± 4.1 pMC(%) : 78.43 ± 0.41	試料形態：灰化物（碳化木炭） 試料名番号：15 a+イノダ-15 （参考） $\delta^{13}\text{C}$ の補正なし	試料採取場所：下老子面川遺跡 E 3 地区 SI15-16 試料形態：灰化物（碳化木炭） 試料名番号：20 a+イノダ-20 （参考） $\delta^{13}\text{C}$ の補正なし	Libby Age (yrBP) : 2,650 ± 40 -25.90 ± 0.53 -291.4 ± 3.6 pMC(%) $\delta^{18}\text{O}(\text{‰})$ pMC(%) -272.26 ± 0.39
IAAA-00549	試料採取場所：下老子面川遺跡 C 1 地区 S19	Libby Age (yrBP) : 2,090 ± 40 $\delta^{13}\text{C}(\text{‰})$ : -24.73 ± 0.64 $\Delta^{14}\text{C}(\text{‰})$ : -29.44 ± 3.6 pMC(%) : 71.65 ± 0.34 $\delta^{18}\text{O}(\text{‰})$ : -25.41 ± 3.2 pMC(%) : 71.69 ± 0.38	試料形態：灰化物（碳化木炭） 試料名番号：16 a+イノダ-16 （参考） $\delta^{13}\text{C}$ の補正なし	試料採取場所：下老子面川遺跡 E 3 地区 SI15-16 試料形態：灰化物（碳化木炭） 試料名番号：20 a+イノダ-20 （参考） $\delta^{13}\text{C}$ の補正なし	Libby Age (yrBP) : 2,650 ± 40 -25.83 ± 0.53 -291.4 ± 3.6 pMC(%) $\delta^{18}\text{O}(\text{‰})$ pMC(%) -277.4 ± 3.9 -71.02 ± 0.36
#605-1		Age (yrBP) : 2,650 ± 40		Age (yrBP) : 2,650 ± 40	

IAAA-40455	試料採取場所：「老子」屋上遺跡 C 1 地区 SD3001	Lithy Aeo (gr/BP) $\delta^{13}\text{C}(\text{‰})$ $\Delta^{18}\text{O}(\text{‰})$ pMC(%)	$-1,286 \pm 40$ $-24.70 \pm 0.72$ $-20.5 \pm 4.0$ $-79.41 \pm 0.40$	試料形態：木片 試料名番号：26	試料採取場所：老子屋上遺跡 A 5 地区 SB366 試料形態：木片 (E標) 試料名番号：26	Lithy Aeo (gr/BP) $\delta^{13}\text{C}(\text{‰})$ $\Delta^{18}\text{O}(\text{‰})$ pMC(%)	$-250 \pm 60$ $-20.80 \pm 0.77$ $-30.1 \pm 6.7$ $-96.99 \pm 0.67$
#605-7	(参考) $\delta^{13}\text{C}$ の補正無し	Aeo (gr/BP)	$-1,540 \pm 40$	(参考) $\delta^{13}\text{C}$ の補正無し	Aeo (gr/BP)	$-21.8 \pm 6.0$	$-97.80 \pm 0.66$
IAAA-40456	試料採取場所：「老子」屋上遺跡 A 8 地区 SI4	Lithy Aeo (gr/BP) $\delta^{13}\text{C}(\text{‰})$ $\Delta^{18}\text{O}(\text{‰})$ pMC(%)	$-1,430 \pm 40$ $-27.44 \pm 0.81$ $-21.73 \pm 3.4$ $-78.21 \pm 0.34$	試料形態：木片 (E標) 試料名番号：27	試料採取場所：老子屋上遺跡 B 1 地区 SB3250 試料形態：木片 (E標) 試料名番号：27	Lithy Aeo (gr/BP) $\delta^{13}\text{C}(\text{‰})$ $\Delta^{18}\text{O}(\text{‰})$ pMC(%)	$-1,340 \pm 40$ $-25.35 \pm 0.80$ $-15.3 \pm 1.4$ $-84.66 \pm 0.34$
#605-8	(参考) $\delta^{13}\text{C}$ の補正無し	Aeo (gr/BP)	$-1,690 \pm 31$	(参考) $\delta^{13}\text{C}$ の補正無し	Aeo (gr/BP)	$-154.0 \pm 4.2$	$-81.69 \pm 0.2$
IAAA-40457	試料採取場所：「老子」屋上遺跡 B 6 地区 SE1	Lithy Aeo (gr/BP) $\delta^{13}\text{C}(\text{‰})$ $\Delta^{18}\text{O}(\text{‰})$ pMC(%)	$-2,010 \pm 30$ $-21.86 \pm 40$ $-20.30 \pm 0.74$ $-79.46 \pm 3.5$ $-76.20 \pm 0.38$	試料形態：木片 (E標) 試料名番号：28	試料採取場所：老子屋上遺跡 B 1 地区 SB3250 試料形態：木片 (E標) 試料名番号：28	Lithy Aeo (gr/BP) $\delta^{13}\text{C}(\text{‰})$ $\Delta^{18}\text{O}(\text{‰})$ pMC(%)	$-1,340 \pm 40$ $-22.50 \pm 0.89$ $-16.00 \pm 4.3$ $-84.00 \pm 0.43$
#605-9	(参考) $\delta^{13}\text{C}$ の補正無し	Aeo (gr/BP)	$-238.6 \pm 3.9$	(参考) $\delta^{13}\text{C}$ の補正無し	Aeo (gr/BP)	$-153.5 \pm 4.1$	$-84.45 \pm 0.41$
IAAA-40458	試料採取場所：「老子」屋上遺跡 B 7 地区 Nb1 試料名番号：X278/273	Lithy Aeo (gr/BP) $\delta^{13}\text{C}(\text{‰})$ $\Delta^{18}\text{O}(\text{‰})$ pMC(%)	$-76.14 \pm 0.56$ $-21.95 \pm 40$ $-25.42 \pm 0.69$ $-76.33 \pm 3.9$ $-76.77 \pm 0.39$	試料形態：木片 試料名番号：29	試料採取場所：老子屋上遺跡 B 5 地区 SB3258 試料形態：木片 (E標) 試料名番号：29	Lithy Aeo (gr/BP) $\delta^{13}\text{C}(\text{‰})$ $\Delta^{18}\text{O}(\text{‰})$ pMC(%)	$-1,460 \pm 40$ $-15.5 \pm 4.0$ $-84.45 \pm 0.41$
#605-10	(参考) $\delta^{13}\text{C}$ の補正無し	Aeo (gr/BP)	$-76.50 \pm 3.8$	(参考) $\delta^{13}\text{C}$ の補正無し	Aeo (gr/BP)	$-1,740 \pm 40$	$-1,740 \pm 40$
IAAA-40459	試料採取場所：「老子」屋上遺跡 B 7 地区 Nb1 試料名番号：X285/284	Lithy Aeo (gr/BP) $\delta^{13}\text{C}(\text{‰})$ $\Delta^{18}\text{O}(\text{‰})$ pMC(%)	$-2,056 \pm 40$ $-25.54 \pm 0.93$ $-22.9 \pm 3.7$ $-77.10 \pm 0.37$	試料形態：木片 (E標) 試料名番号：30	試料採取場所：老子屋上遺跡 B 5 地区 SB3258 試料形態：木片 (E標) 試料名番号：30	Lithy Aeo (gr/BP) $\delta^{13}\text{C}(\text{‰})$ $\Delta^{18}\text{O}(\text{‰})$ pMC(%)	$-1,810 \pm 40$ $-20.78 \pm 0.96$ $-20.20 \pm 3.8$ $-79.89 \pm 0.38$
#605-11	(参考) $\delta^{13}\text{C}$ の補正無し	Aeo (gr/BP)	$-2,060 \pm 40$	(参考) $\delta^{13}\text{C}$ の補正無し	Aeo (gr/BP)	$-105.0 \pm 3.6$	$-90.50 \pm 0.36$
#605-12						$-1,740 \pm 40$	$-1,740 \pm 40$

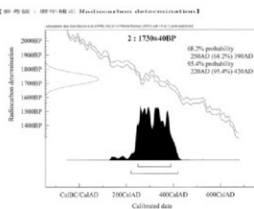
IAAA-40465	資料採取場所：下老子塙川流域 B5地区 S19 P5 試料形態：木片（樹皮） 採取名（番号）：31	Laby Age (yr/BP) $\delta^{13}\text{C}(\text{‰})$ $\Delta^{18}\text{O}(\text{‰})$ pMC(%) $\delta^{13}\text{C}(\text{‰})$ pMC(%) (参考)	$1,930 \pm 40$ $-25.72 \pm 0.98$ $-21.3 \pm 4.0$ $78.63 \pm 0.40$ $-21.4 \pm 3.8$ $78.52 \pm 0.28$ Age (yrBP)	Laby Age (yr/BP) $\delta^{13}\text{C}(\text{‰}), (\text{加速度})$ $\Delta^{18}\text{O}(\text{‰})$ pMC(%) $\delta^{13}\text{C}(\text{‰})$ pMC(%) δ <sup>13</sup> Cの補正無し (参考)	$1,910 \pm 40$ $-25.72 \pm 0.82$ $-21.6 \pm 4.1$ $78.64 \pm 0.41$ $-20.8 \pm 3.9$ $79.02 \pm 0.39$ Age (yrBP)
IAAA-40466	資料採取場所：下老子塙川流域 B5地区 S10前 P4 試料形態：木片（樹皮） 採取名（番号）：32	Laby Age (yr/BP) $\delta^{13}\text{C}(\text{‰})$ $\Delta^{18}\text{O}(\text{‰})$ pMC(%) $\delta^{13}\text{C}(\text{‰})$ pMC(%) Age (yrBP)	$1,900 \pm 40$ $-26.13 \pm 0.78$ $-21.0 \pm 3.8$ $78.97 \pm 0.38$ $-21.2 \pm 3.6$ $78.78 \pm 0.38$ Age (yrBP)	Laby Age (yr/BP) $\delta^{13}\text{C}(\text{‰}), (\text{加速度})$ $\Delta^{18}\text{O}(\text{‰})$ pMC(%) $\delta^{13}\text{C}(\text{‰})$ pMC(%) δ <sup>13</sup> Cの補正無し (参考)	$1,830 \pm 40$ $-25.94 \pm 0.71$ $-20.3 \pm 3.5$ $79.63 \pm 0.35$ $-20.7 \pm 3.3$ $79.53 \pm 0.33$ Age (yrBP)
IAAA-40467	資料採取場所：下老子塙川流域 B5地区 S11 P2 試料形態：木片（樹皮） 採取名（番号）：33	Laby Age (yr/BP) $\delta^{13}\text{C}(\text{‰})$ $\Delta^{18}\text{O}(\text{‰})$ pMC(%) $\delta^{13}\text{C}(\text{‰})$ pMC(%) Age (yrBP)	$1,910 \pm 40$ $-26.84 \pm 0.82$ $-21.2 \pm 3.9$ $78.80 \pm 0.39$ $-21.5 \pm 3.6$ $78.50 \pm 0.36$ Age (yrBP)	Laby Age (yr/BP) $\delta^{13}\text{C}(\text{‰}), (\text{加速度})$ $\Delta^{18}\text{O}(\text{‰})$ pMC(%) $\delta^{13}\text{C}(\text{‰})$ pMC(%) δ <sup>13</sup> Cの補正無し (参考)	$1,830 \pm 40$ $-26.16 \pm 0.98$ $-20.1 \pm 3.7$ $79.60 \pm 0.37$ $-20.5 \pm 3.6$ $79.61 \pm 0.36$ Age (yrBP)
IAAA-40468	資料採取場所：下老子塙川流域 B7地区 S19 試料形態：木片（樹皮） 採取名（番号）：34	Laby Age (yr/BP) $\delta^{13}\text{C}(\text{‰})$ $\Delta^{18}\text{O}(\text{‰})$ pMC(%) $\delta^{13}\text{C}(\text{‰})$ pMC(%) Age (yrBP)	$1,940 \pm 40$ $-26.3 \pm 0.83$ $-20.4 \pm 4.3$ $79.56 \pm 0.43$ $-21.3 \pm 4.5$ $78.69 \pm 0.30$ Age (yrBP)	Laby Age (yr/BP) $\delta^{13}\text{C}(\text{‰}), (\text{加速度})$ $\Delta^{18}\text{O}(\text{‰})$ pMC(%) $\delta^{13}\text{C}(\text{‰})$ pMC(%) δ <sup>13</sup> Cの補正無し (参考)	$1,830 \pm 40$ $-26.76 \pm 0.73$ $-20.3 \pm 3.6$ $79.61 \pm 0.36$ $-20.6 \pm 3.6$ $79.54 \pm 0.34$ Age (yrBP)
IAAA-40469	資料採取場所：下老子塙川流域 B7地区 S19 P1 試料形態：木片（樹皮） 採取名（番号）：35	Laby Age (yr/BP) $\delta^{13}\text{C}(\text{‰})$ $\Delta^{18}\text{O}(\text{‰})$ pMC(%) $\delta^{13}\text{C}(\text{‰})$ pMC(%) δ <sup>13</sup> Cの補正無し (参考)	$1,940 \pm 40$ $-28.59 \pm 0.83$ $-21.6 \pm 3.8$ $78.50 \pm 0.38$ $-20.0 \pm 3.5$ $77.92 \pm 0.25$ Age (yrBP)	Laby Age (yr/BP) $\delta^{13}\text{C}(\text{‰}), (\text{加速度})$ $\Delta^{18}\text{O}(\text{‰})$ pMC(%) $\delta^{13}\text{C}(\text{‰})$ pMC(%) δ <sup>13</sup> Cの補正無し (参考)	$1,830 \pm 40$ $-28.93 \pm 0.89$ $-20.4 \pm 3.8$ $78.58 \pm 0.38$ $-20.5 \pm 3.5$ $78.97 \pm 0.35$ Age (yrBP)
IAAA-40470	資料採取場所：下老子塙川流域 B7地区 S19 P4 試料形態：木片（樹皮） 採取名（番号）：36	Laby Age (yr/BP) $\delta^{13}\text{C}(\text{‰})$ $\Delta^{18}\text{O}(\text{‰})$ pMC(%) $\delta^{13}\text{C}(\text{‰})$ pMC(%) δ <sup>13</sup> Cの補正無し (参考)	$1,905 \pm 40$ $-25.72 \pm 0.78$ $-21.0 \pm 3.8$ $78.97 \pm 0.37$ $-20.5 \pm 3.5$ $79.05 \pm 0.30$ Age (yrBP)	Laby Age (yr/BP) $\delta^{13}\text{C}(\text{‰}), (\text{加速度})$ $\Delta^{18}\text{O}(\text{‰})$ pMC(%) $\delta^{13}\text{C}(\text{‰})$ pMC(%) δ <sup>13</sup> Cの補正無し (参考)	$1,830 \pm 40$ $-25.72 \pm 0.71$ $-20.3 \pm 3.5$ $79.63 \pm 0.35$ $-20.6 \pm 3.5$ $79.69 \pm 0.30$ Age (yrBP)

IAAA-40475	試料採取場所：下老子堂川流域 C1 区域 SII	SII	Lbry Acp (yHBP)	: 1,450 ± 40	試料採取場所：下老子堂川流域 C1 区域 SII	Lbry Acp (yHBP)	: 2,540 ± 40
試料 形 態	本片 (透明)		δ <sup>13</sup> C (‰) : -24.96 ± 0.82	= -24.96 ± 0.82	試料 形 態	δ <sup>13</sup> C (‰) : -27.11 ± 0.71	= -24.96 ± 0.71
試料名(番号)	: 41		Δ <sup>15</sup> N (‰) : -20.9 ± 4.0	= -20.9 ± 4.0	試料 形 態	δ <sup>13</sup> C (‰) : -27.11 ± 0.37	= -27.11 ± 0.37
			pMC (%) : 50	= 50	試料名(番号)	δ <sup>13</sup> C (‰) : -27.11 ± 3.5	= -27.11 ± 3.5
2605-27	(参考)		δ <sup>13</sup> C の補正無し		(参考)	δ <sup>13</sup> C の補正無し	
IAAA-40476	試料採取場所：下老子堂川流域 C1 区域 SII	SII	Lbry Acp (yHBP)	: 1,500 ± 40	試料採取場所：下老子堂川流域 C1 区域 SII	Lbry Acp (yHBP)	: 2,550 ± 40
試料 形 態	本片 (透明)		δ <sup>13</sup> C (‰) : -25.48 ± 0.90	= -25.48 ± 0.90	試料 形 態	δ <sup>13</sup> C (‰) : -27.0 ± 0.88	= -27.0 ± 0.88
試料名(番号)	: 42		Δ <sup>15</sup> N (‰) : -20.1 ± 5.2	= -20.1 ± 5.2	試料名(番号)	Δ <sup>13</sup> C (‰) : -233.7 ± 3.7	= -233.7 ± 3.7
			pMC (%) : 47	= 47	試料名(番号)	pMC (%) : 67	= 67.63 ± 0.35
2605-28	(参考)		δ <sup>13</sup> C の補正無し		(参考)	δ <sup>13</sup> C の補正無し	
IAAA-40477	試料採取場所：下老子堂川流域 C1 区域 SII	SII	Lbry Acp (yHBP)	: 1,900 ± 40	試料採取場所：下老子堂川流域 C1 区域 SII	Lbry Acp (yHBP)	: 2,490 ± 40
試料 形 態	本片 (透明)		δ <sup>13</sup> C (‰) : -27.38 ± 0.81	= -27.38 ± 0.81	試料 形 態	δ <sup>13</sup> C (‰) : -26.80 ± 0.70	= -26.80 ± 0.70
試料名(番号)	: 43		Δ <sup>15</sup> N (‰) : -20.7 ± 3.2	= -20.7 ± 3.2	試料名(番号)	Δ <sup>13</sup> C (‰) : -251.1 ± 0.64	= -251.1 ± 0.64
			pMC (%) : 68	= 68	試料名(番号)	pMC (%) : 73.49 ± 0.36	= 73.49 ± 0.36
2605-29	(参考)		δ <sup>13</sup> C の補正無し		(参考)	δ <sup>13</sup> C の補正無し	
IAAA-40478	試料採取場所：下老子堂川流域 C1 区域 SII	SII	Lbry Acp (yHBP)	: 1,940 ± 40	試料採取場所：下老子堂川流域 C1 区域 SII	Lbry Acp (yHBP)	: 2,410 ± 40
試料 形 態	本片 (透明)		δ <sup>13</sup> C (‰) : -27.38 ± 0.78	= -27.38 ± 0.78	試料 形 態	δ <sup>13</sup> C (‰) : -258.3 ± 3.5	= -258.3 ± 3.5
試料名(番号)	: 44		Δ <sup>15</sup> N (‰) : -20.6 ± 3.0	= -20.6 ± 3.0	試料名(番号)	Δ <sup>13</sup> C (‰) : -24.67 ± 0.35	= -24.67 ± 0.35
			pMC (%) : 49	= 49	試料名(番号)	pMC (%) : 2.410 ± 40	= 2.410 ± 40
2605-29	(参考)		δ <sup>13</sup> C の補正無し		(参考)	δ <sup>13</sup> C の補正無し	
IAAA-40479	試料採取場所：下老子堂川流域 C1 区域 SII	SII	Lbry Acp (yHBP)	: 2,380 ± 40	試料採取場所：下老子堂川流域 C1 区域 SII	Lbry Acp (yHBP)	: 2,490 ± 40
試料 形 態	本片 (透明)		δ <sup>13</sup> C (‰) : -28.69 ± 0.78	= -28.69 ± 0.78	試料 形 態	δ <sup>13</sup> C (‰) : -241.17 ± 0.64	= -241.17 ± 0.64
試料名(番号)	: 45		Δ <sup>15</sup> N (‰) : -26.5 ± 3.6	= -26.5 ± 3.6	試料名(番号)	Δ <sup>13</sup> C (‰) : -266.5 ± 3.9	= -266.5 ± 3.9
			pMC (%) : 50	= 50	試料名(番号)	pMC (%) : 73.35 ± 0.39	= 73.35 ± 0.39
2605-30	(参考)		δ <sup>13</sup> C の補正無し		(参考)	δ <sup>13</sup> C の補正無し	
IAAA-40480	試料採取場所：下老子堂川流域 C1 区域 SII	SII	Lbry Acp (yHBP)	: 2,660 ± 40	試料採取場所：下老子堂川流域 C1 区域 SII	Lbry Acp (yHBP)	: 2,450 ± 40
試料 形 態	本片 (透明)		δ <sup>13</sup> C (‰) : -22.97 ± 0.86	= -22.97 ± 0.86	試料 形 態	δ <sup>13</sup> C (‰) : -23.63 ± 0.56	= -23.63 ± 0.56
試料名(番号)	: 46		Δ <sup>15</sup> N (‰) : -23.6 ± 3.5	= -23.6 ± 3.5	試料名(番号)	Δ <sup>13</sup> C (‰) : -261.2 ± 3.6	= -261.2 ± 3.6
			pMC (%) : 50	= 50	試料名(番号)	pMC (%) : 73.38 ± 0.36	= 73.38 ± 0.36
2605-31	(参考)		δ <sup>13</sup> C の補正無し		(参考)	δ <sup>13</sup> C の補正無し	
IAAA-40481	試料採取場所：下老子堂川流域 C1 区域 SII	SII	Lbry Acp (yHBP)	: 2605-32	試料採取場所：下老子堂川流域 C1 区域 SII	Lbry Acp (yHBP)	: 27.90 ± 3.5
試料 形 態	本片 (透明)		δ <sup>13</sup> C (‰) : -27.0 ± 3.5	= -27.0 ± 3.5	試料 形 態	δ <sup>13</sup> C (‰) : -27.11 ± 3.5	= -27.11 ± 3.5
試料名(番号)	: 47		Δ <sup>15</sup> N (‰) : -20.5 ± 3.5	= -20.5 ± 3.5	試料名(番号)	Δ <sup>13</sup> C (‰) : -24.10 ± 40	= 24.10 ± 40

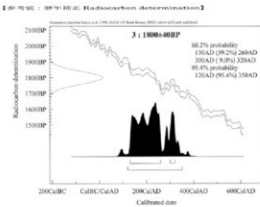
IAAA-40885	試料採取場所 : 下皇子塚川流域 C-L 地区 SO-9	Lithy Apatite(BP)	$-2,650 \pm 40$
試料形態 : 岩芯物	$\delta^{18}\text{C}(\text{‰})$ 、(加速度器)	$-25.75 \pm 0.88$	
試料名(番号) : 54	$\Delta^{13}\text{C}(\text{‰})$	$-273.9 \pm 3.7$	
(参考)	pMC(%)	$72.67 \pm 0.37$	
	$\delta^{18}\text{C}(\text{‰})$	$-271.1 \pm 3.5$	
	pMC(%)	$72.86 \pm 0.34$	
	$\Delta^{13}\text{C}(\text{‰})$	$-274.0 \pm 4.0$	
2605-27	試料採取場所 : 下皇子塚川流域 C-L 地区 SO-3	Lithy Apatite(BP)	$-2,690 \pm 40$
試料形態 : 岩芯物	$\delta^{18}\text{C}(\text{‰})$ 、(加速度器)	$-26.99 \pm 0.69$	
試料名(番号) : 62	$\Delta^{13}\text{C}(\text{‰})$	$-296.4 \pm 3.4$	
(参考)	pMC(%)	$72.36 \pm 0.34$	
	$\delta^{18}\text{C}(\text{‰})$	$-290.9 \pm 3.3$	
	pMC(%)	$73.97 \pm 0.35$	
	$\Delta^{13}\text{C}(\text{‰})$	$-242.0 \pm 4.0$	
2605-28	試料採取場所 : 下皇子塚川流域 C-L 地区 SO-4	Lithy Apatite(BP)	$-2,650 \pm 40$
試料形態 : 岩芯物	$\delta^{18}\text{C}(\text{‰})$ 、(加速度器)	$-27.90 \pm 0.79$	
試料名(番号) : 63	$\Delta^{13}\text{C}(\text{‰})$	$-267.8 \pm 3.8$	
(参考)	pMC(%)	$73.22 \pm 0.38$	
	$\delta^{18}\text{C}(\text{‰})$	$-272.2 \pm 3.6$	
	pMC(%)	$72.75 \pm 0.36$	
	$\Delta^{13}\text{C}(\text{‰})$	$-2550 \pm 40$	
2605-29	試料採取場所 : 下皇子塚川流域 C-L 地区 SO-5	Lithy Apatite(BP)	$-2,650 \pm 40$
試料形態 : 岩芯物	$\delta^{18}\text{C}(\text{‰})$ 、(加速度器)	$-25.75 \pm 0.88$	
試料名(番号) : 64	$\Delta^{13}\text{C}(\text{‰})$	$-273.9 \pm 3.7$	
(参考)	pMC(%)	$72.67 \pm 0.37$	
	$\delta^{18}\text{C}(\text{‰})$	$-271.1 \pm 3.5$	
	pMC(%)	$72.86 \pm 0.34$	
	$\Delta^{13}\text{C}(\text{‰})$	$-274.0 \pm 4.0$	



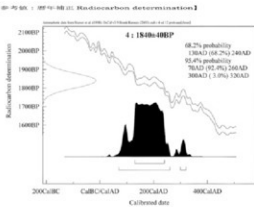
使用プログラム : OxCal v.3.9



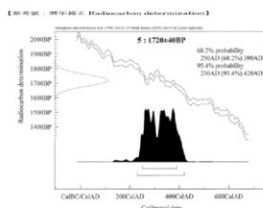
使用プログラム : OxCal v.3.9



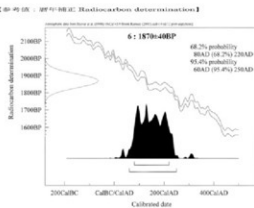
使用プログラム : OxCal v.3.9



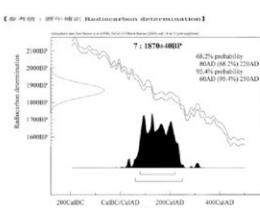
使用プログラム : OxCal v.3.9



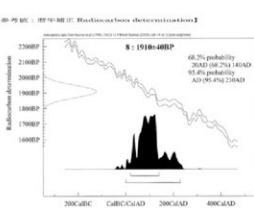
使用プログラム : OxCal v.3.9



使用プログラム : OxCal v.3.9



使用プログラム : OxCal v.3.9



使用プログラム : OxCal v.3.9